

Eingabe: Farbmétrisches Fernseh-Licht-System TLS00a

für Buntton $h^* = lab^*h = 40/360 = 0.111$

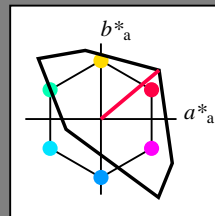
lab^*tch und lab^*nch

D65: Buntton O

LCH*Ma: 51 100 40

olv*Ma: 1.0 0.0 0.0

Dreiecks-Helligkeit t^*



%Umfang

$u^*_{rel} = 158$

%Regularität

$g^*_{H,rel} = 20$

$g^*_{C,rel} = 37$

TLS00a; adaptierte CIELAB-Daten

	$L^*=L^*_a$	a^*_a	b^*_a	$C^*_{ab,a}$	$h^*_{ab,a}$
O _{Ma}	50.5	76.92	64.55	100.42	40
Y _{Ma}	92.66	-20.69	90.75	93.08	103
L _{Ma}	83.63	-82.75	79.9	115.04	136
C _{Ma}	86.88	-46.16	-13.55	48.12	196
V _{Ma}	30.39	76.06	-103.59	128.52	306
M _{Ma}	57.3	94.35	-58.41	110.97	328
N _{Ma}	0.01	0.0	0.0	0.0	0
W _{Ma}	95.41	0.0	0.0	0.0	0
R _{CIE}	39.92	58.74	27.99	65.07	25
J _{CIE}	81.26	-2.88	71.56	71.62	92
G _{CIE}	52.23	-42.41	13.6	44.55	162
B _{CIE}	30.57	1.41	-46.46	46.49	272

Ausgabe: Farbmétrisches Fernseh-Licht-System TLS00a

für Buntton $h^* = lab^*h = 40/360 = 0.111$

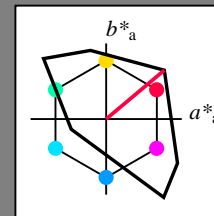
lab^*tch und lab^*nch

D65: Buntton O

LCH*Ma: 51 100 40

olv*Ma: 1.0 0.0 0.0

Dreiecks-Helligkeit t^*



%Umfang

$u^*_{rel} = 158$

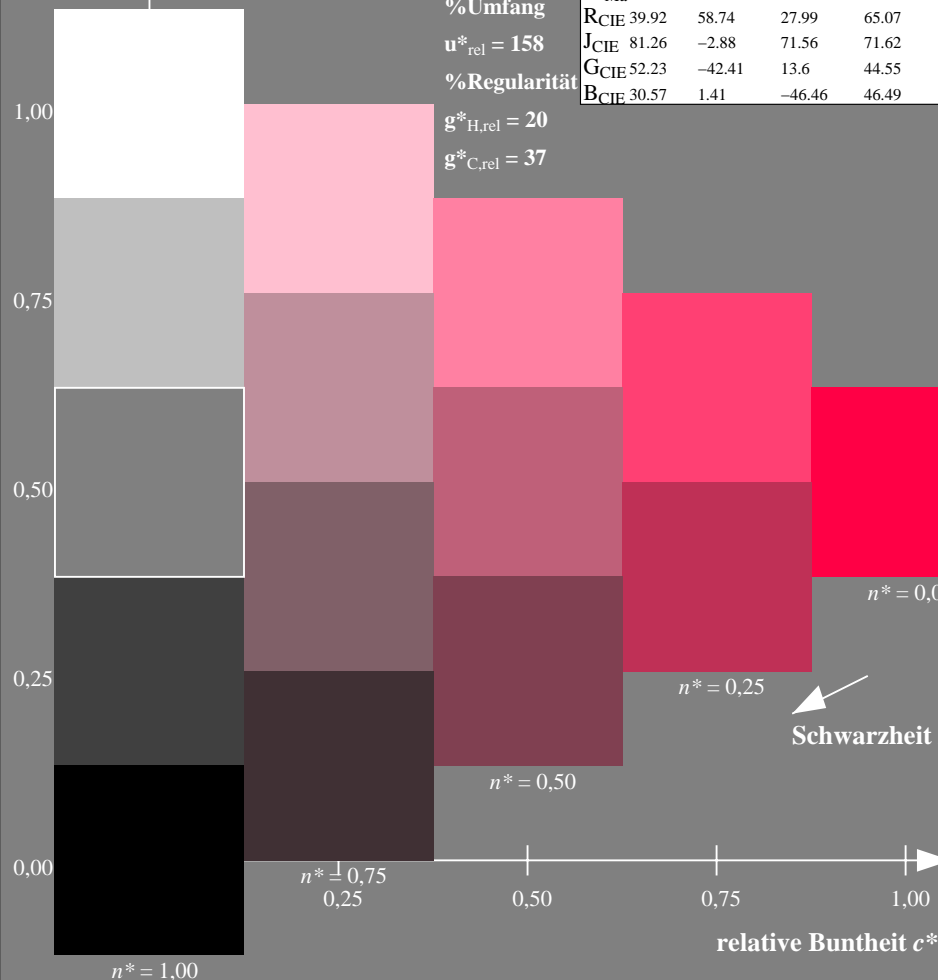
%Regularität

$g^*_{H,rel} = 20$

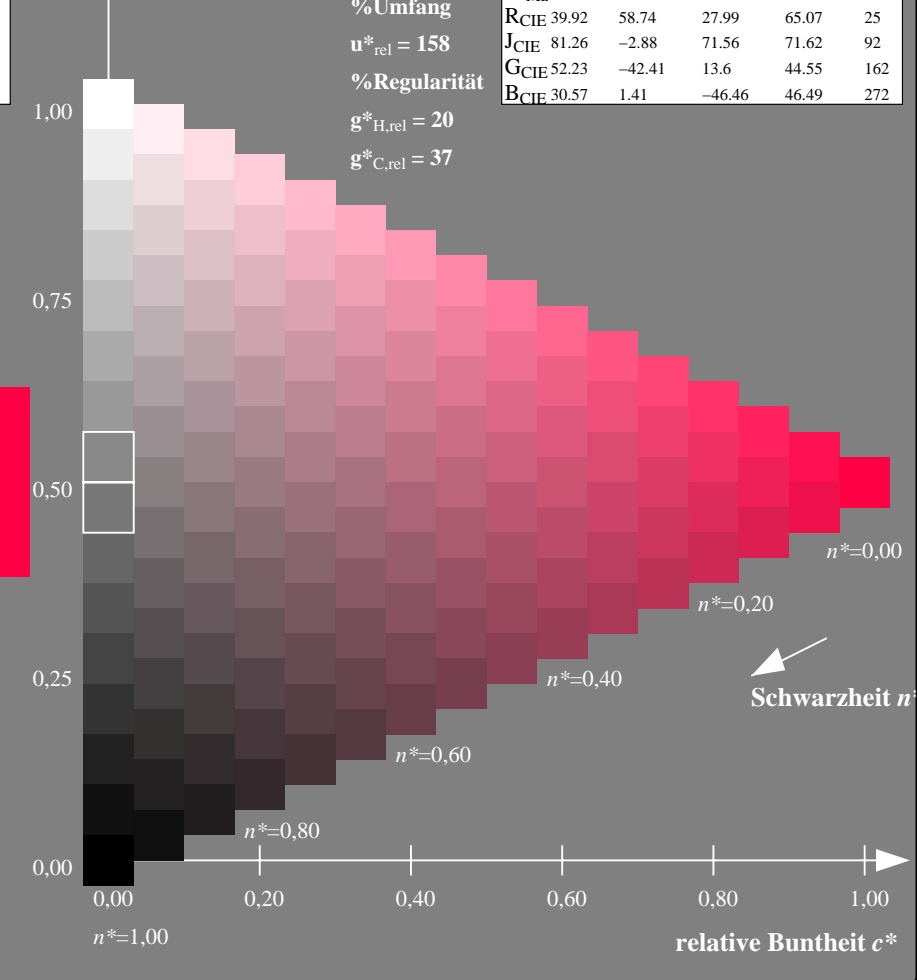
$g^*_{C,rel} = 37$

TLS00a; adaptierte CIELAB-Daten

	$L^*=L^*_a$	a^*_a	b^*_a	$C^*_{ab,a}$	$h^*_{ab,a}$
O _{Ma}	50.5	76.92	64.55	100.42	40
Y _{Ma}	92.66	-20.69	90.75	93.08	103
L _{Ma}	83.63	-82.75	79.9	115.04	136
C _{Ma}	86.88	-46.16	-13.55	48.12	196
V _{Ma}	30.39	76.06	-103.59	128.52	306
M _{Ma}	57.3	94.35	-58.41	110.97	328
N _{Ma}	0.01	0.0	0.0	0.0	0
W _{Ma}	95.41	0.0	0.0	0.0	0
R _{CIE}	39.92	58.74	27.99	65.07	25
J _{CIE}	81.26	-2.88	71.56	71.62	92
G _{CIE}	52.23	-42.41	13.6	44.55	162
B _{CIE}	30.57	1.41	-46.46	46.49	272



OG820-7N-130-0: 5-stufige Reihen für konstanten CIELAB Buntton 40/360 = 0.111 (links)



16-stufige Reihen für konstanten CIELAB Buntton 40/360 = 0.111 (rechts)

OG82: Prüfvorlage 1 nach DIN 33872-2, Buntton O; 1MR, DEH
Unterscheidbarkeit von 5- und 16-stufigen Farbreihen

Eingabe: $rgb (-> rgb^*_{de})$ $setrgbcolor$
Ausgabe 130-0: $g_p=1.0$; $g_N=1.0$

Eingabe: Farbmétrisches Fernseh-Licht-System TLS00a

für Buntton $h^* = lab^*h = 103/360 = 0.286$

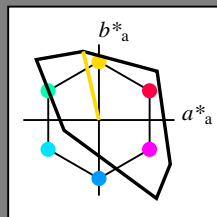
lab^*tch und lab^*nch

D65: Buntton Y

LCH*Ma: 93 93 103

olv*Ma: 1.0 1.0 0.0

Dreiecks-Helligkeit t^*



%Umfang

$u^*_{rel} = 158$

%Regularität

$g^*_{H,rel} = 20$

$g^*_{C,rel} = 37$

TLS00a; adaptierte CIELAB-Daten

	$L^*=L^*_a$	a^*_a	b^*_a	$C^*_{ab,a}$	$h^*_{ab,a}$
O _{Ma}	50.5	76.92	64.55	100.42	40
Y _{Ma}	92.66	-20.69	90.75	93.08	103
L _{Ma}	83.63	-82.75	79.9	115.04	136
C _{Ma}	86.88	-46.16	-13.55	48.12	196
V _{Ma}	30.39	76.06	-103.59	128.52	306
M _{Ma}	57.3	94.35	-58.41	110.97	328
N _{Ma}	0.01	0.0	0.0	0.0	0
W _{Ma}	95.41	0.0	0.0	0.0	0
R _{CIE}	39.92	58.74	27.99	65.07	25
J _{CIE}	81.26	-2.88	71.56	71.62	92
G _{CIE}	52.23	-42.41	13.6	44.55	162
B _{CIE}	30.57	1.41	-46.46	46.49	272

Ausgabe: Farbmétrisches Fernseh-Licht-System TLS00a

für Buntton $h^* = lab^*h = 103/360 = 0.286$

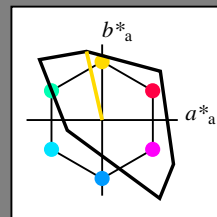
lab^*tch und lab^*nch

D65: Buntton Y

LCH*Ma: 93 93 103

olv*Ma: 1.0 1.0 0.0

Dreiecks-Helligkeit t^*



%Umfang

$u^*_{rel} = 158$

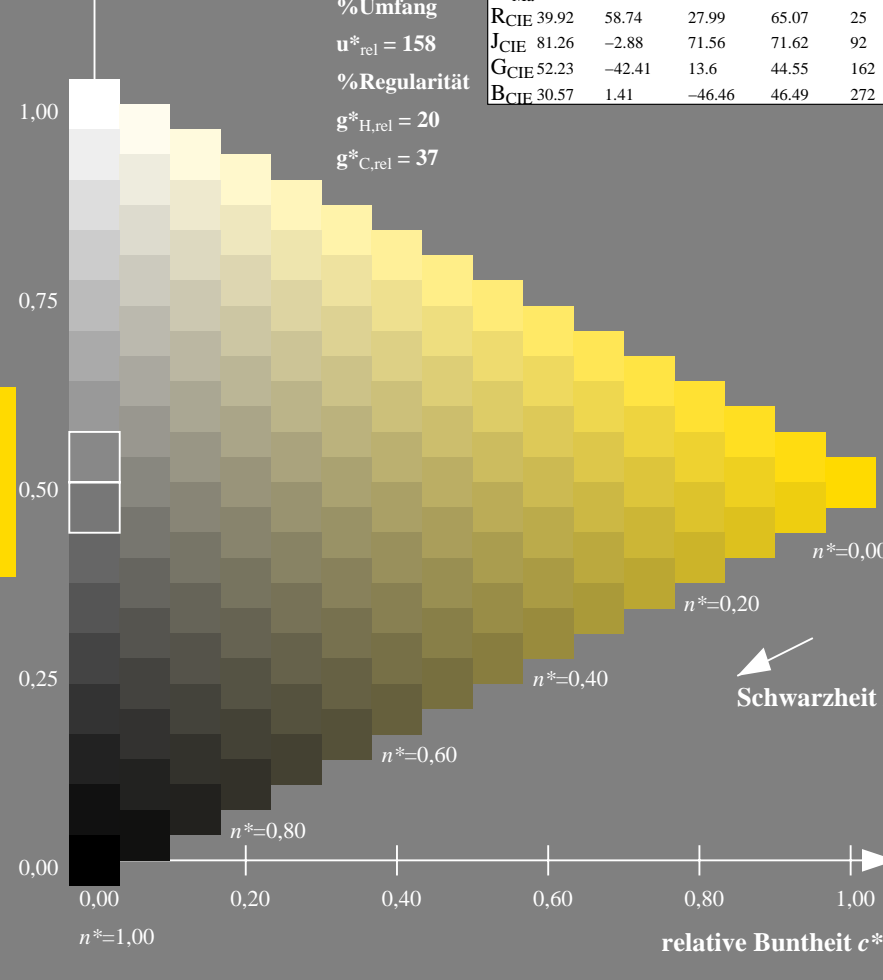
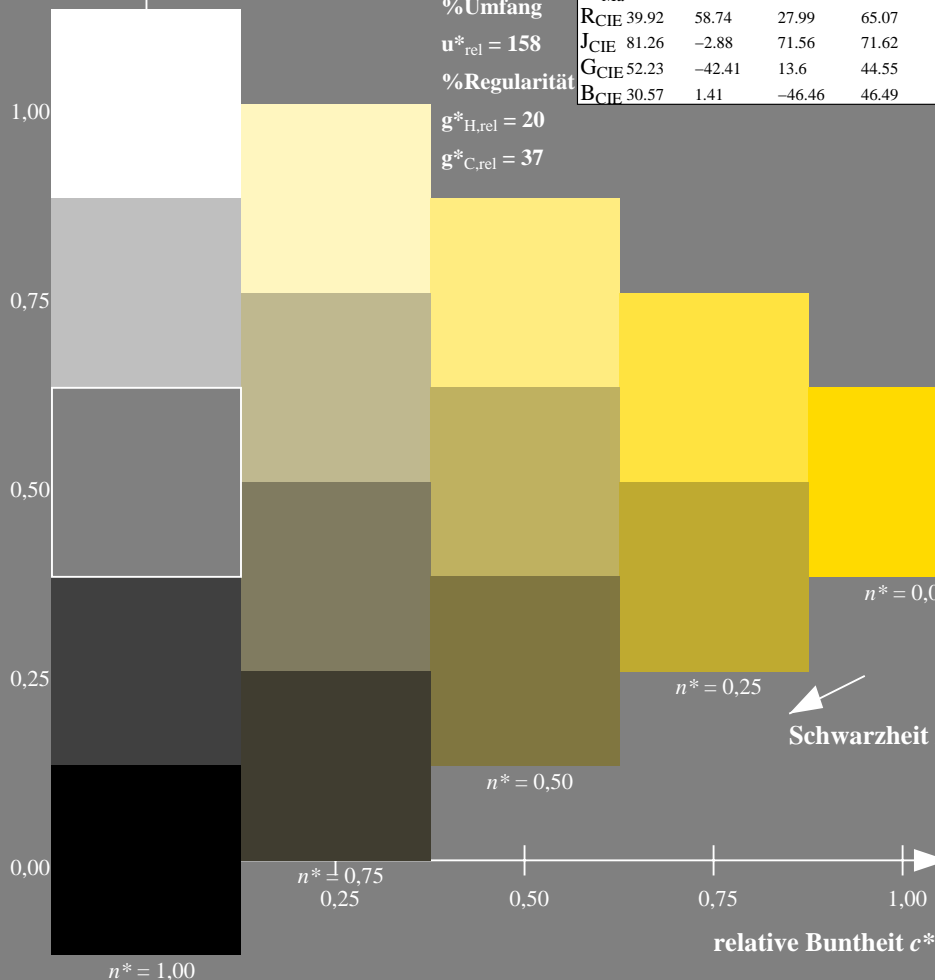
%Regularität

$g^*_{H,rel} = 20$

$g^*_{C,rel} = 37$

TLS00a; adaptierte CIELAB-Daten

	$L^*=L^*_a$	a^*_a	b^*_a	$C^*_{ab,a}$	$h^*_{ab,a}$
O _{Ma}	50.5	76.92	64.55	100.42	40
Y _{Ma}	92.66	-20.69	90.75	93.08	103
L _{Ma}	83.63	-82.75	79.9	115.04	136
C _{Ma}	86.88	-46.16	-13.55	48.12	196
V _{Ma}	30.39	76.06	-103.59	128.52	306
M _{Ma}	57.3	94.35	-58.41	110.97	328
N _{Ma}	0.01	0.0	0.0	0.0	0
W _{Ma}	95.41	0.0	0.0	0.0	0
R _{CIE}	39.92	58.74	27.99	65.07	25
J _{CIE}	81.26	-2.88	71.56	71.62	92
G _{CIE}	52.23	-42.41	13.6	44.55	162
B _{CIE}	30.57	1.41	-46.46	46.49	272



OG820-7N-130-1: 5-stufige Reihen für konstanten CIELAB Buntton 103/360 = 0.286 (links)

16-stufige Reihen für konstanten CIELAB Buntton 103/360 = 0.286 (rechts)

OG82: Prüfvorlage 1 nach DIN 33872-2, Buntton Y; 1MR, DEH
Unterscheidbarkeit von 5- und 16-stufigen Farbreihen

Eingabe: $rgb (-> rgb^*_{de})$ setrgbcolor
Ausgabe 130-1: $g_p=1.0$; $g_N=1.0$

Eingabe: Farbmétrisches Fernseh-Licht-System TLS00a

für Buntton $h^* = lab^*h = 136/360 = 0.378$

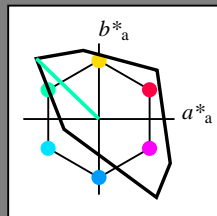
lab^*tch und lab^*nch

D65: Buntton L

LCH*Ma: 84 115 136

olv*Ma: 0.0 1.0 0.0

Dreiecks-Helligkeit t^*



%Umfang

$u^*_{rel} = 158$

%Regularität

$g^*_{H,rel} = 20$

$g^*_{C,rel} = 37$

TLS00a; adaptierte CIELAB-Daten

	$L^*=L^*_a$	a^*_a	b^*_a	$C^*_{ab,a}$	$h^*_{ab,a}$
O _{Ma}	50.5	76.92	64.55	100.42	40
Y _{Ma}	92.66	-20.69	90.75	93.08	103
L _{Ma}	83.63	-82.75	79.9	115.04	136
C _{Ma}	86.88	-46.16	-13.55	48.12	196
V _{Ma}	30.39	76.06	-103.59	128.52	306
M _{Ma}	57.3	94.35	-58.41	110.97	328
N _{Ma}	0.01	0.0	0.0	0.0	0
W _{Ma}	95.41	0.0	0.0	0.0	0
R _{CIE}	39.92	58.74	27.99	65.07	25
J _{CIE}	81.26	-2.88	71.56	71.62	92
G _{CIE}	52.23	-42.41	13.6	44.55	162
B _{CIE}	30.57	1.41	-46.46	46.49	272

Ausgabe: Farbmétrisches Fernseh-Licht-System TLS00a

für Buntton $h^* = lab^*h = 136/360 = 0.378$

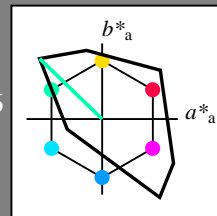
lab^*tch und lab^*nch

D65: Buntton L

LCH*Ma: 84 115 136

olv*Ma: 0.0 1.0 0.0

Dreiecks-Helligkeit t^*



%Umfang

$u^*_{rel} = 158$

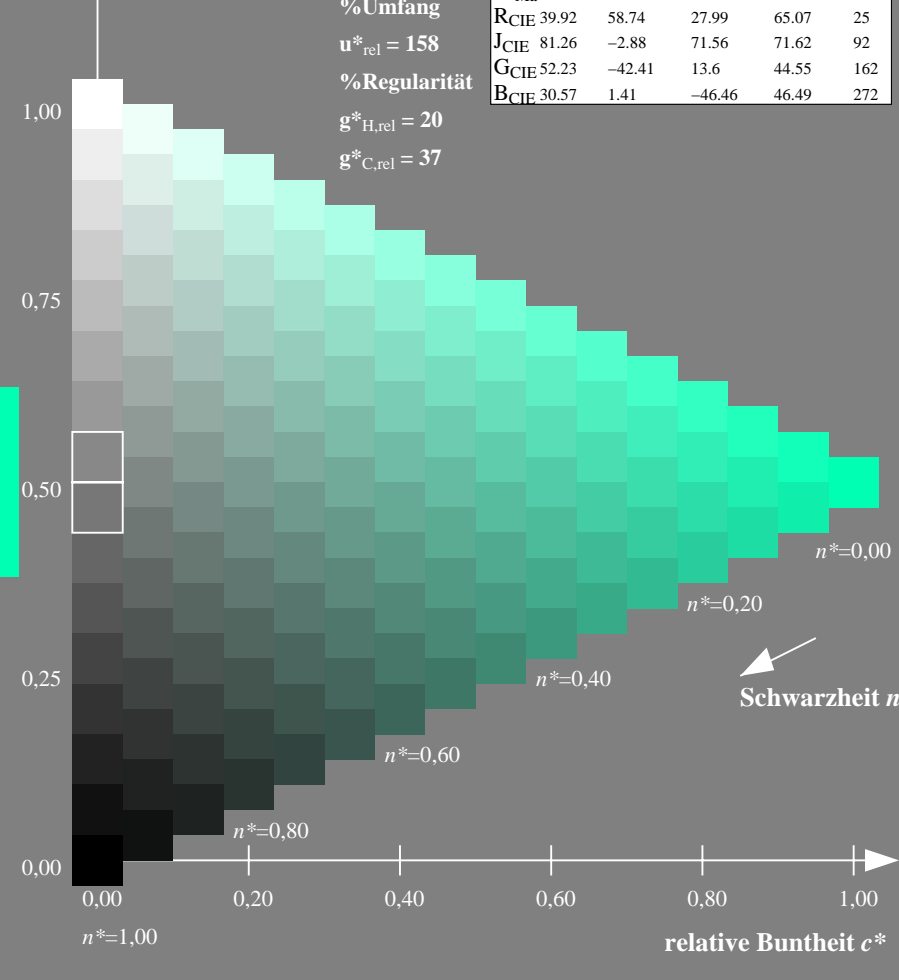
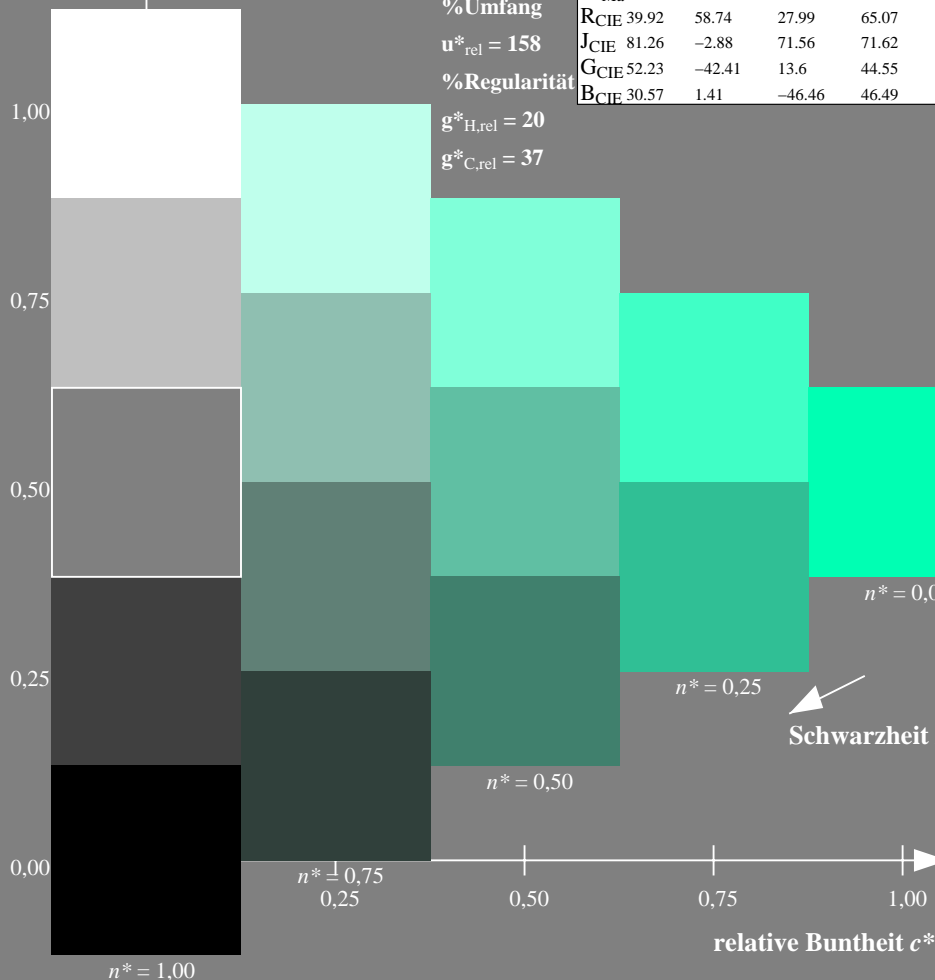
%Regularität

$g^*_{H,rel} = 20$

$g^*_{C,rel} = 37$

TLS00a; adaptierte CIELAB-Daten

	$L^*=L^*_a$	a^*_a	b^*_a	$C^*_{ab,a}$	$h^*_{ab,a}$
O _{Ma}	50.5	76.92	64.55	100.42	40
Y _{Ma}	92.66	-20.69	90.75	93.08	103
L _{Ma}	83.63	-82.75	79.9	115.04	136
C _{Ma}	86.88	-46.16	-13.55	48.12	196
V _{Ma}	30.39	76.06	-103.59	128.52	306
M _{Ma}	57.3	94.35	-58.41	110.97	328
N _{Ma}	0.01	0.0	0.0	0.0	0
W _{Ma}	95.41	0.0	0.0	0.0	0
R _{CIE}	39.92	58.74	27.99	65.07	25
J _{CIE}	81.26	-2.88	71.56	71.62	92
G _{CIE}	52.23	-42.41	13.6	44.55	162
B _{CIE}	30.57	1.41	-46.46	46.49	272



OG820-7N-130-2: 5-stufige Reihen für konstanten CIELAB Buntton 136/360 = 0.378 (links)

16-stufige Reihen für konstanten CIELAB Buntton 136/360 = 0.378 (rechts)

OG82: Prüfvorlage 1 nach DIN 33872-2, Buntton L; 1MR, DEH
Unterscheidbarkeit von 5- und 16-stufigen Farbreihen

Eingabe: rgb ($\rightarrow rgb^*_{de}$) $setrgbcolor$
Ausgabe 130-2: $g_p=1.0$; $g_N=1.0$

Eingabe: Farbmatisches Fernseh-Licht-System TLS00a

für Buntton $h^* = lab^*h = 196/360 = 0.545$

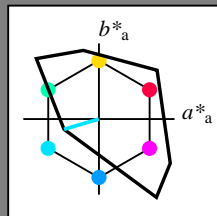
lab^*tch und lab^*nch

D65: Buntton C

LCH*Ma: 87 48 196

olv*Ma: 0.0 1.0 1.0

Dreiecks-Helligkeit t^*



%Umfang

$u^*_{rel} = 158$

%Regularität

$g^*_{H,rel} = 20$

$g^*_{C,rel} = 37$

TLS00a; adaptierte CIELAB-Daten

	$L^*=L^*_a$	a^*_a	b^*_a	$C^*_{ab,a}$	$h^*_{ab,a}$
O _{Ma}	50.5	76.92	64.55	100.42	40
Y _{Ma}	92.66	-20.69	90.75	93.08	103
L _{Ma}	83.63	-82.75	79.9	115.04	136
C _{Ma}	86.88	-46.16	-13.55	48.12	196
V _{Ma}	30.39	76.06	-103.59	128.52	306
M _{Ma}	57.3	94.35	-58.41	110.97	328
N _{Ma}	0.01	0.0	0.0	0.0	0
W _{Ma}	95.41	0.0	0.0	0.0	0
R _{CIE}	39.92	58.74	27.99	65.07	25
J _{CIE}	81.26	-2.88	71.56	71.62	92
G _{CIE}	52.23	-42.41	13.6	44.55	162
B _{CIE}	30.57	1.41	-46.46	46.49	272

Ausgabe: Farbmatisches Fernseh-Licht-System TLS00a

für Buntton $h^* = lab^*h = 196/360 = 0.545$

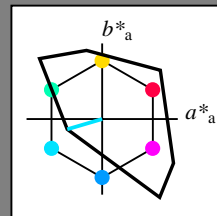
lab^*tch und lab^*nch

D65: Buntton C

LCH*Ma: 87 48 196

olv*Ma: 0.0 1.0 1.0

Dreiecks-Helligkeit t^*



%Umfang

$u^*_{rel} = 158$

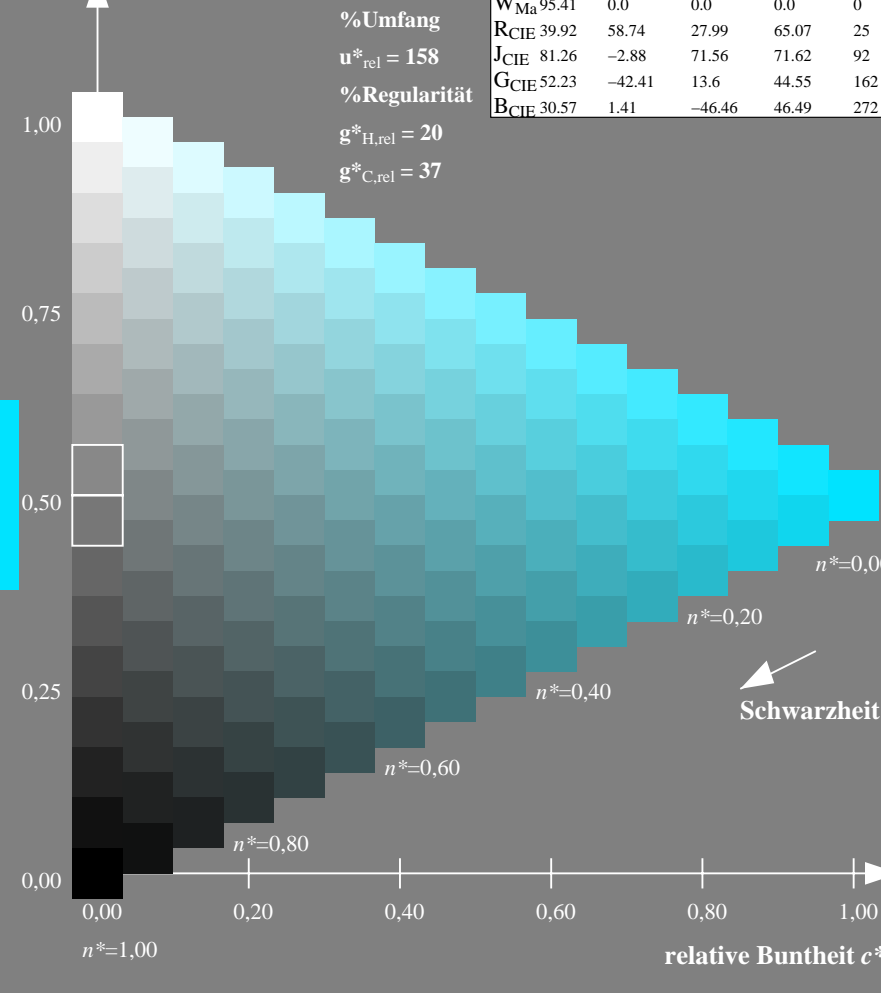
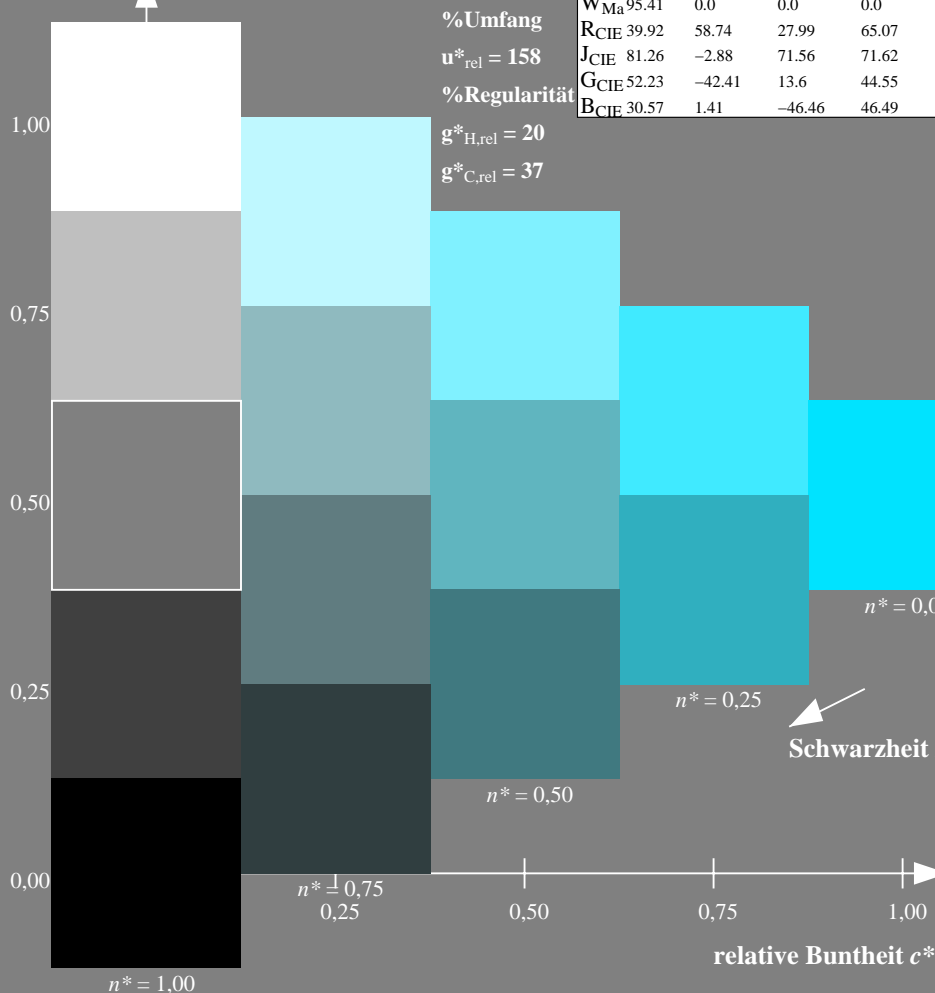
%Regularität

$g^*_{H,rel} = 20$

$g^*_{C,rel} = 37$

TLS00a; adaptierte CIELAB-Daten

	$L^*=L^*_a$	a^*_a	b^*_a	$C^*_{ab,a}$	$h^*_{ab,a}$
O _{Ma}	50.5	76.92	64.55	100.42	40
Y _{Ma}	92.66	-20.69	90.75	93.08	103
L _{Ma}	83.63	-82.75	79.9	115.04	136
C _{Ma}	86.88	-46.16	-13.55	48.12	196
V _{Ma}	30.39	76.06	-103.59	128.52	306
M _{Ma}	57.3	94.35	-58.41	110.97	328
N _{Ma}	0.01	0.0	0.0	0.0	0
W _{Ma}	95.41	0.0	0.0	0.0	0
R _{CIE}	39.92	58.74	27.99	65.07	25
J _{CIE}	81.26	-2.88	71.56	71.62	92
G _{CIE}	52.23	-42.41	13.6	44.55	162
B _{CIE}	30.57	1.41	-46.46	46.49	272



OG820-7N-130-3: 5-stufige Reihen für konstanten CIELAB Buntton 196/360 = 0.545 (links)

16-stufige Reihen für konstanten CIELAB Buntton 196/360 = 0.545 (rechts)

OG82: Prüfvorlage 1 nach DIN 33872-2, Buntton C; 1MR, DEH
Unterscheidbarkeit von 5- und 16-stufigen Farbreihen

Eingabe: $rgb (-> rgb^*_{de})$ setrgbcolor
Ausgabe 130-3: $g_p=1.0$; $g_N=1.0$

Eingabe: Farbmatisches Fernseh-Licht-System TLS00a

für Buntton $h^* = lab^*h = 306/360 = 0.851$

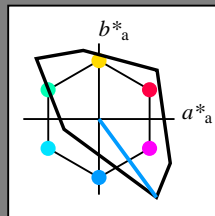
lab^*tch und lab^*nch

D65: Buntton V

LCH*Ma: 30 129 306

olv*Ma: 0.0 0.0 1.0

Dreiecks-Helligkeit t^*



%Umfang

$u^*_{rel} = 158$

%Regularität

$g^*_{H,rel} = 20$

$g^*_{C,rel} = 37$

TLS00a; adaptierte CIELAB-Daten

	$L^*=L^*_a$	a^*_a	b^*_a	$C^*_{ab,a}$	$h^*_{ab,a}$
O _{Ma}	50.5	76.92	64.55	100.42	40
Y _{Ma}	92.66	-20.69	90.75	93.08	103
L _{Ma}	83.63	-82.75	79.9	115.04	136
C _{Ma}	86.88	-46.16	-13.55	48.12	196
V _{Ma}	30.39	76.06	-103.59	128.52	306
M _{Ma}	57.3	94.35	-58.41	110.97	328
N _{Ma}	0.01	0.0	0.0	0.0	0
W _{Ma}	95.41	0.0	0.0	0.0	0
R _{CIE}	39.92	58.74	27.99	65.07	25
J _{CIE}	81.26	-2.88	71.56	71.62	92
G _{CIE}	52.23	-42.41	13.6	44.55	162
B _{CIE}	30.57	1.41	-46.46	46.49	272

Ausgabe: Farbmatisches Fernseh-Licht-System TLS00a

für Buntton $h^* = lab^*h = 306/360 = 0.851$

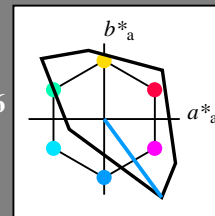
lab^*tch und lab^*nch

D65: Buntton V

LCH*Ma: 30 129 306

olv*Ma: 0.0 0.0 1.0

Dreiecks-Helligkeit t^*



%Umfang

$u^*_{rel} = 158$

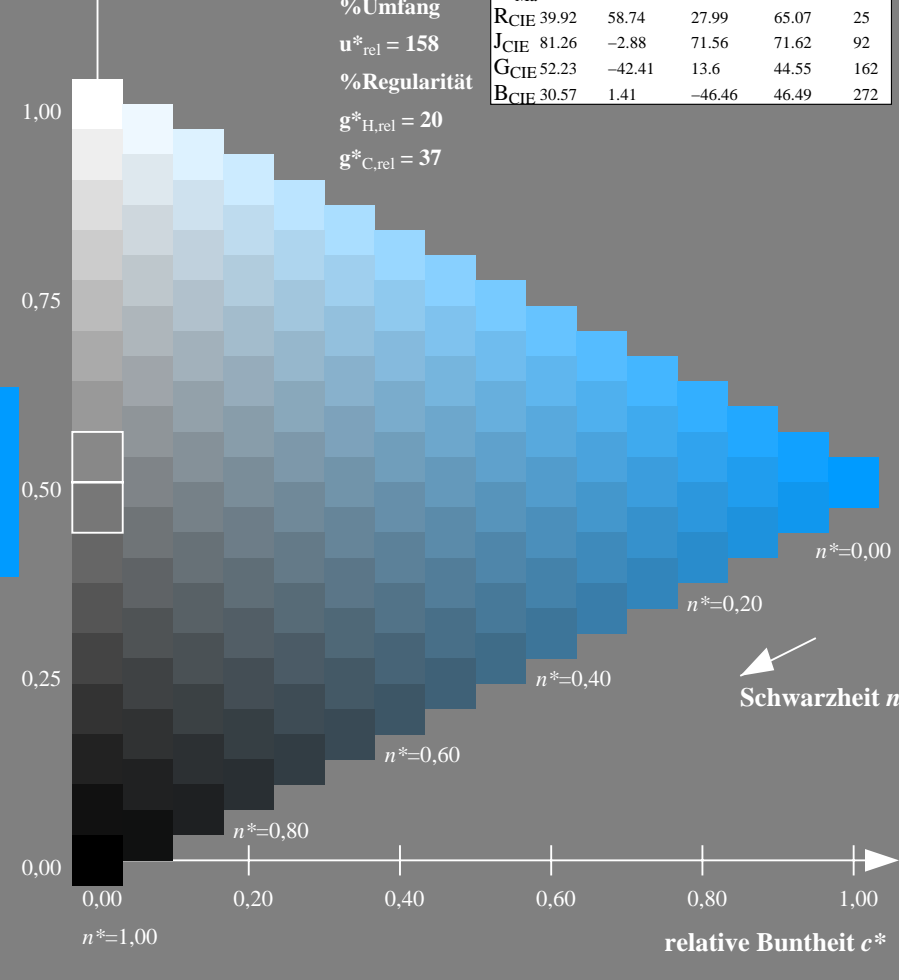
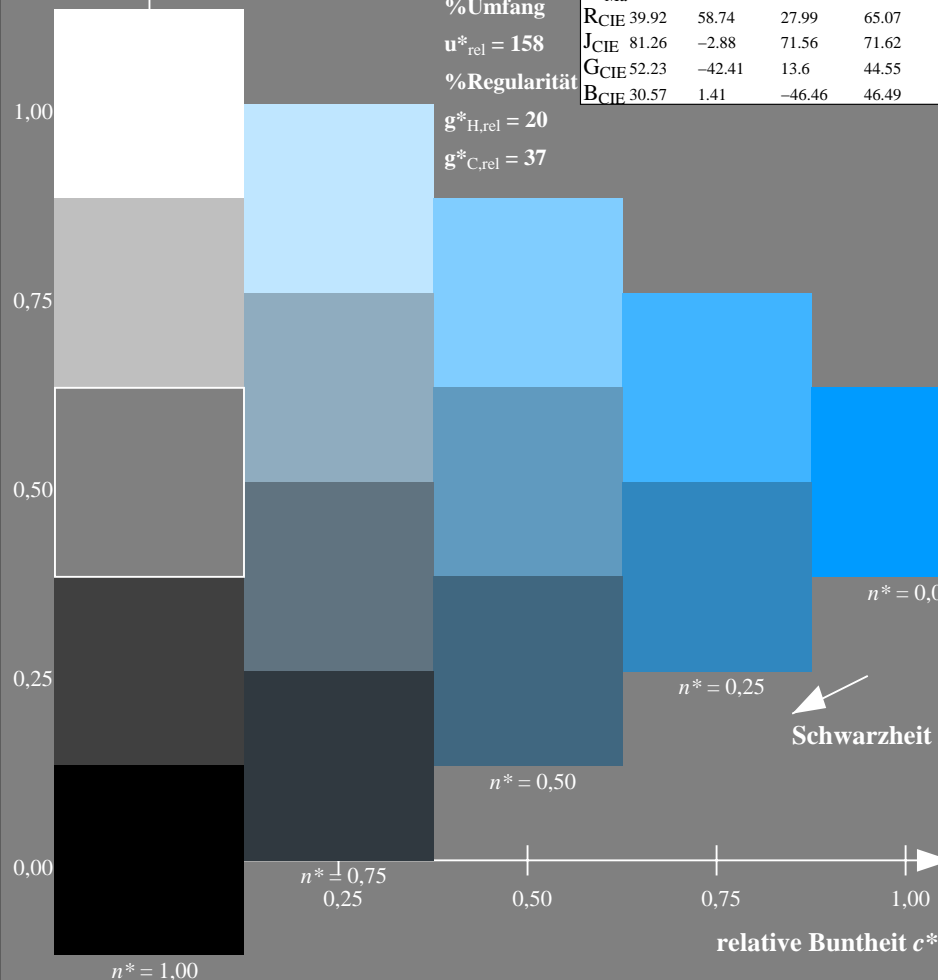
%Regularität

$g^*_{H,rel} = 20$

$g^*_{C,rel} = 37$

TLS00a; adaptierte CIELAB-Daten

	$L^*=L^*_a$	a^*_a	b^*_a	$C^*_{ab,a}$	$h^*_{ab,a}$
O _{Ma}	50.5	76.92	64.55	100.42	40
Y _{Ma}	92.66	-20.69	90.75	93.08	103
L _{Ma}	83.63	-82.75	79.9	115.04	136
C _{Ma}	86.88	-46.16	-13.55	48.12	196
V _{Ma}	30.39	76.06	-103.59	128.52	306
M _{Ma}	57.3	94.35	-58.41	110.97	328
N _{Ma}	0.01	0.0	0.0	0.0	0
W _{Ma}	95.41	0.0	0.0	0.0	0
R _{CIE}	39.92	58.74	27.99	65.07	25
J _{CIE}	81.26	-2.88	71.56	71.62	92
G _{CIE}	52.23	-42.41	13.6	44.55	162
B _{CIE}	30.57	1.41	-46.46	46.49	272



OG820-7N-130-4: 5-stufige Reihen für konstanten CIELAB Buntton 306/360 = 0.851 (links)

16-stufige Reihen für konstanten CIELAB Buntton 306/360 = 0.851 (rechts)

OG82: Prüfvorlage 1 nach DIN 33872-2, Buntton V; 1MR, DEH
Unterscheidbarkeit von 5- und 16-stufigen Farbreihen

Eingabe: $rgb \rightarrow rgb^*_{de}$ setrgbcolor
Ausgabe 130-4: $g_p=1.0$; $g_N=1.0$

Eingabe: Farbmatisches Fernseh-Licht-System TLS00a

für Buntton $h^* = lab^*h = 328/360 = 0.912$

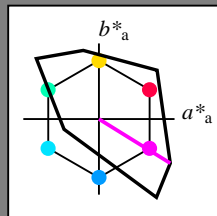
lab^*tch und lab^*nch

D65: Buntton M

LCH*Ma: 57 111 328

olv*Ma: 1.0 0.0 1.0

Dreiecks-Helligkeit t^*



%Umfang

$u^*_{rel} = 158$

%Regularität

$g^*_{H,rel} = 20$

$g^*_{C,rel} = 37$

TLS00a; adaptierte CIELAB-Daten

	$L^*=L^*_a$	a^*_a	b^*_a	$C^*_{ab,a}$	$h^*_{ab,a}$
O _{Ma}	50.5	76.92	64.55	100.42	40
Y _{Ma}	92.66	-20.69	90.75	93.08	103
L _{Ma}	83.63	-82.75	79.9	115.04	136
C _{Ma}	86.88	-46.16	-13.55	48.12	196
V _{Ma}	30.39	76.06	-103.59	128.52	306
M _{Ma}	57.3	94.35	-58.41	110.97	328
N _{Ma}	0.01	0.0	0.0	0.0	0
W _{Ma}	95.41	0.0	0.0	0.0	0
R _{CIE}	39.92	58.74	27.99	65.07	25
J _{CIE}	81.26	-2.88	71.56	71.62	92
G _{CIE}	52.23	-42.41	13.6	44.55	162
B _{CIE}	30.57	1.41	-46.46	46.49	272

Ausgabe: Farbmatisches Fernseh-Licht-System TLS00a

für Buntton $h^* = lab^*h = 328/360 = 0.912$

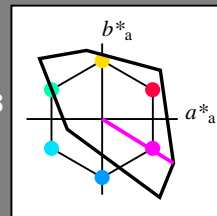
lab^*tch und lab^*nch

D65: Buntton M

LCH*Ma: 57 111 328

olv*Ma: 1.0 0.0 1.0

Dreiecks-Helligkeit t^*



%Umfang

$u^*_{rel} = 158$

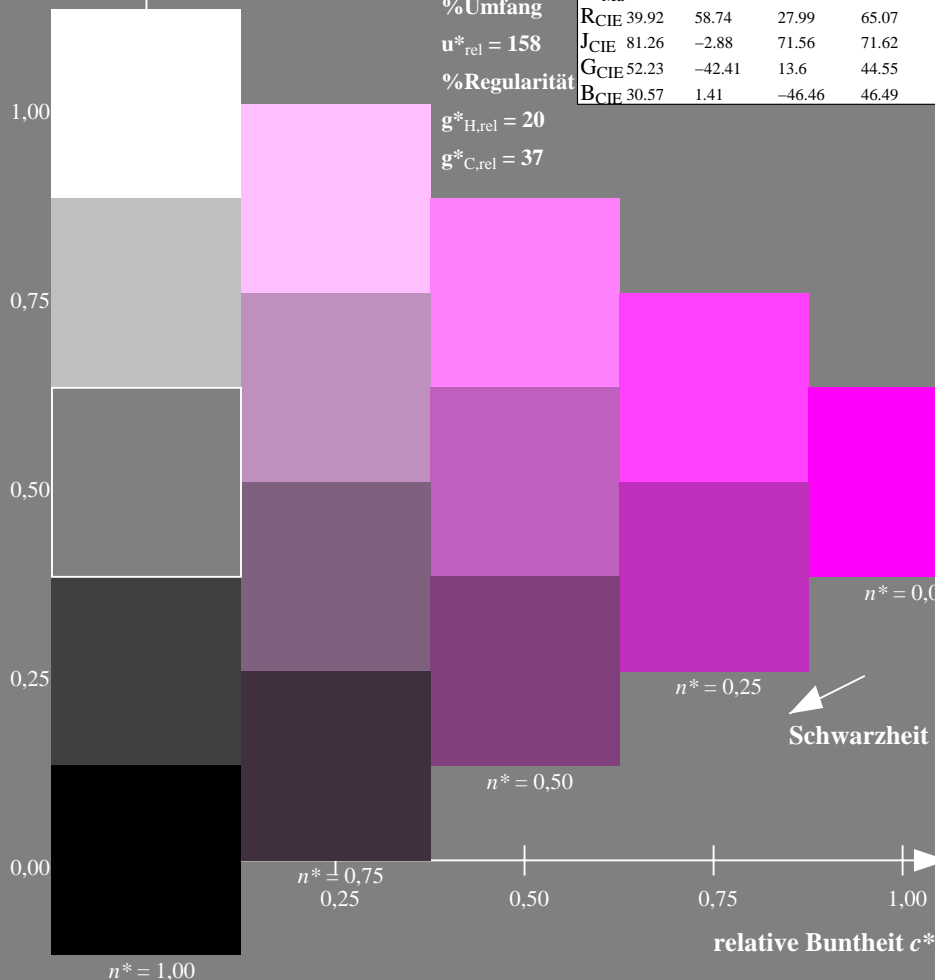
%Regularität

$g^*_{H,rel} = 20$

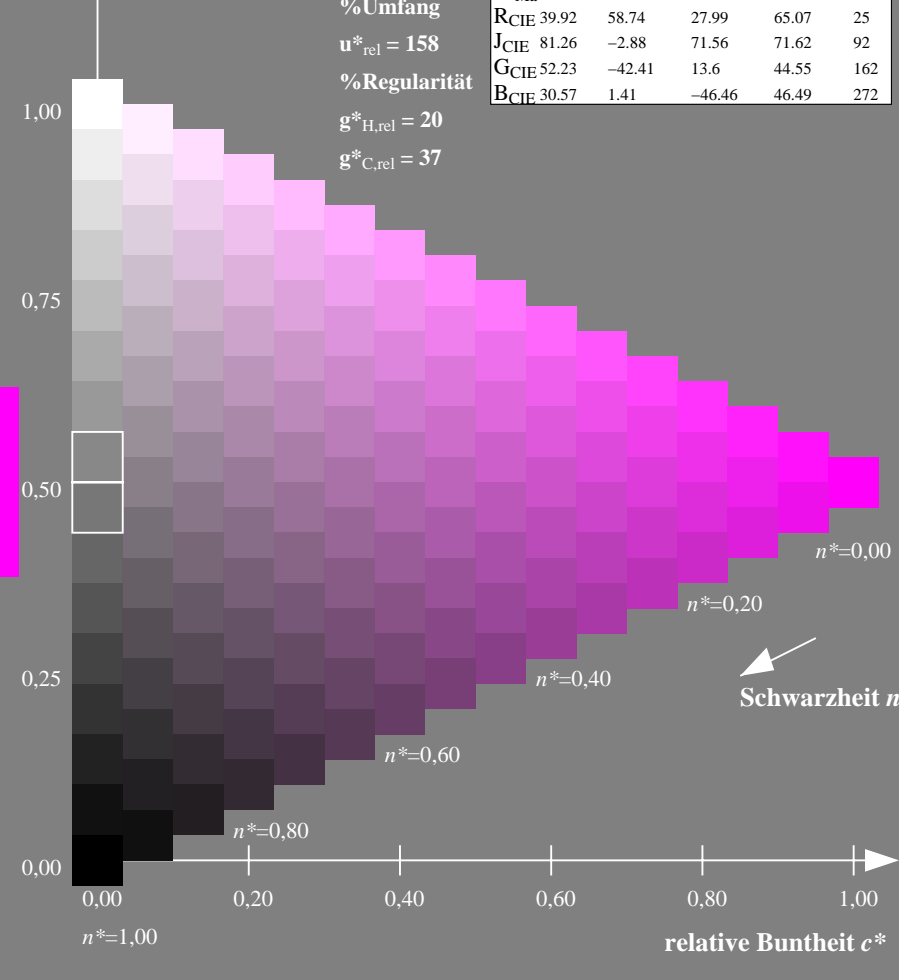
$g^*_{C,rel} = 37$

TLS00a; adaptierte CIELAB-Daten

	$L^*=L^*_a$	a^*_a	b^*_a	$C^*_{ab,a}$	$h^*_{ab,a}$
O _{Ma}	50.5	76.92	64.55	100.42	40
Y _{Ma}	92.66	-20.69	90.75	93.08	103
L _{Ma}	83.63	-82.75	79.9	115.04	136
C _{Ma}	86.88	-46.16	-13.55	48.12	196
V _{Ma}	30.39	76.06	-103.59	128.52	306
M _{Ma}	57.3	94.35	-58.41	110.97	328
N _{Ma}	0.01	0.0	0.0	0.0	0
W _{Ma}	95.41	0.0	0.0	0.0	0
R _{CIE}	39.92	58.74	27.99	65.07	25
J _{CIE}	81.26	-2.88	71.56	71.62	92
G _{CIE}	52.23	-42.41	13.6	44.55	162
B _{CIE}	30.57	1.41	-46.46	46.49	272



OG820-7N-130-5: 5-stufige Reihen für konstanten CIELAB Buntton 328/360 = 0.912 (links)



16-stufige Reihen für konstanten CIELAB Buntton 328/360 = 0.912 (rechts)

OG82: Prüfvorlage 1 nach DIN 33872-2, Buntton M; 1MR, DEH Eingabe: $rgb \rightarrow rgb^*_{de}$ setrgbcolor
Unterscheidbarkeit von 5- und 16-stufigen Farbreihen
Ausgabe 130-5: $g_p=1.0$; $g_N=1.0$

Eingabe: Farbmatisches Fernseh-Licht-System TLS00a

für Buntton $h^* = lab^*h = 25/360 = 0.071$

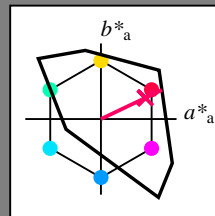
lab^*tch und lab^*nch

D65: Buntton R

LCH*Ma: 52 89 25

olv*Ma: 1.0 0.0 0.21

Dreiecks-Helligkeit t^*



%Umfang

$u^*_{rel} = 158$

%Regularität

$g^*_{H,rel} = 20$

$g^*_{C,rel} = 37$

TLS00a; adaptierte CIELAB-Daten

	$L^*=L^*_a$	a^*_a	b^*_a	$C^*_{ab,a}$	$h^*_{ab,a}$
O _{Ma}	50.5	76.92	64.55	100.42	40
Y _{Ma}	92.66	-20.69	90.75	93.08	103
L _{Ma}	83.63	-82.75	79.9	115.04	136
C _{Ma}	86.88	-46.16	-13.55	48.12	196
V _{Ma}	30.39	76.06	-103.59	128.52	306
M _{Ma}	57.3	94.35	-58.41	110.97	328
N _{Ma}	0.01	0.0	0.0	0.0	0
W _{Ma}	95.41	0.0	0.0	0.0	0
R _{CIE}	39.92	58.74	27.99	65.07	25
J _{CIE}	81.26	-2.88	71.56	71.62	92
G _{CIE}	52.23	-42.41	13.6	44.55	162
B _{CIE}	30.57	1.41	-46.46	46.49	272

Ausgabe: Farbmatisches Fernseh-Licht-System TLS00a

für Buntton $h^* = lab^*h = 25/360 = 0.071$

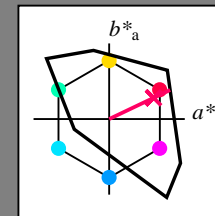
lab^*tch und lab^*nch

D65: Buntton R

LCH*Ma: 52 89 25

olv*Ma: 1.0 0.0 0.21

Dreiecks-Helligkeit t^*



%Umfang

$u^*_{rel} = 158$

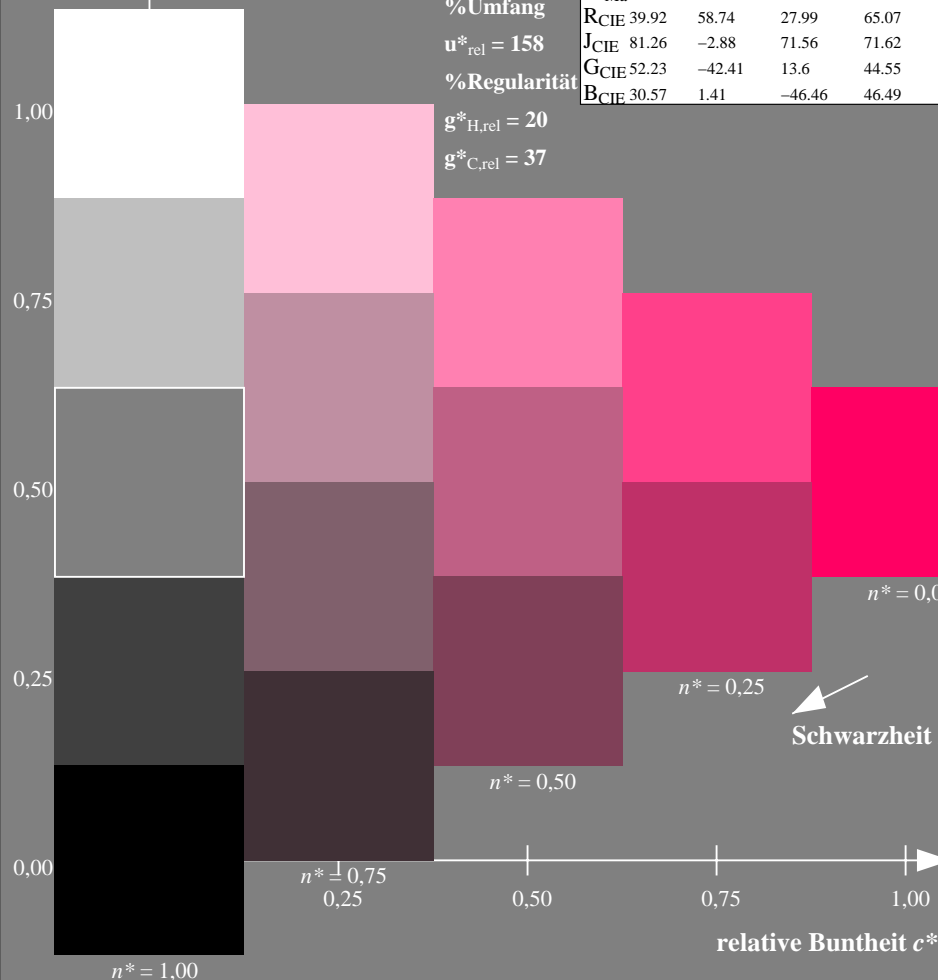
%Regularität

$g^*_{H,rel} = 20$

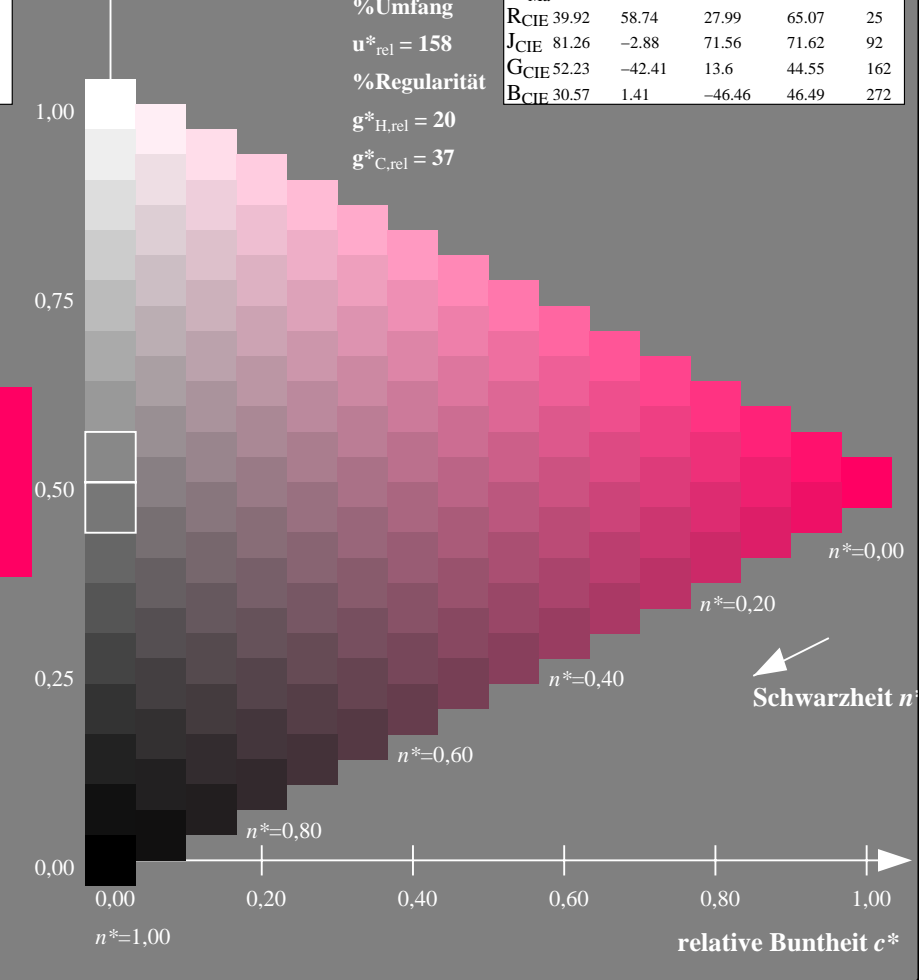
$g^*_{C,rel} = 37$

TLS00a; adaptierte CIELAB-Daten

	$L^*=L^*_a$	a^*_a	b^*_a	$C^*_{ab,a}$	$h^*_{ab,a}$
O _{Ma}	50.5	76.92	64.55	100.42	40
Y _{Ma}	92.66	-20.69	90.75	93.08	103
L _{Ma}	83.63	-82.75	79.9	115.04	136
C _{Ma}	86.88	-46.16	-13.55	48.12	196
V _{Ma}	30.39	76.06	-103.59	128.52	306
M _{Ma}	57.3	94.35	-58.41	110.97	328
N _{Ma}	0.01	0.0	0.0	0.0	0
W _{Ma}	95.41	0.0	0.0	0.0	0
R _{CIE}	39.92	58.74	27.99	65.07	25
J _{CIE}	81.26	-2.88	71.56	71.62	92
G _{CIE}	52.23	-42.41	13.6	44.55	162
B _{CIE}	30.57	1.41	-46.46	46.49	272



OG820-7N-130-6: 5-stufige Reihen für konstanten CIELAB Buntton 25/360 = 0.071 (links)



16-stufige Reihen für konstanten CIELAB Buntton 25/360 = 0.071 (rechts)

OG82: Prüfvorlage 1 nach DIN 33872-2, Buntton R; 1MR, DEEHEingabe: $rgb(->rgb^*_{dee})$ setrgbcol
Unterscheidbarkeit von 5- und 16-stufigen Farbreihen
Ausgabe 130-6: $g_p=1.0$; $g_N=1.0$

Eingabe: Farbmétrisches Fernseh-Licht-System TLS00a

für Buntton $h^* = lab^*h = 92/360 = 0.256$

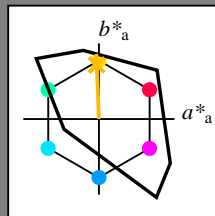
lab^*tch und lab^*nch

D65: Buntton J

LCH*Ma: 85 86 92

olv*Ma: 1.0 0.82 0.0

Dreiecks-Helligkeit t^*



%Umfang

$u^*_{rel} = 158$

%Regularität

$g^*_{H,rel} = 20$

$g^*_{C,rel} = 37$

TLS00a; adaptierte CIELAB-Daten

	$L^*=L^*_a$	a^*_a	b^*_a	$C^*_{ab,a}$	$h^*_{ab,a}$
O _{Ma}	50.5	76.92	64.55	100.42	40
Y _{Ma}	92.66	-20.69	90.75	93.08	103
L _{Ma}	83.63	-82.75	79.9	115.04	136
C _{Ma}	86.88	-46.16	-13.55	48.12	196
V _{Ma}	30.39	76.06	-103.59	128.52	306
M _{Ma}	57.3	94.35	-58.41	110.97	328
N _{Ma}	0.01	0.0	0.0	0.0	0
W _{Ma}	95.41	0.0	0.0	0.0	0
R _{CIE}	39.92	58.74	27.99	65.07	25
J _{CIE}	81.26	-2.88	71.56	71.62	92
G _{CIE}	52.23	-42.41	13.6	44.55	162
B _{CIE}	30.57	1.41	-46.46	46.49	272

Ausgabe: Farbmétrisches Fernseh-Licht-System TLS00a

für Buntton $h^* = lab^*h = 92/360 = 0.256$

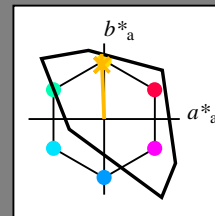
lab^*tch und lab^*nch

D65: Buntton J

LCH*Ma: 85 86 92

olv*Ma: 1.0 0.82 0.0

Dreiecks-Helligkeit t^*



%Umfang

$u^*_{rel} = 158$

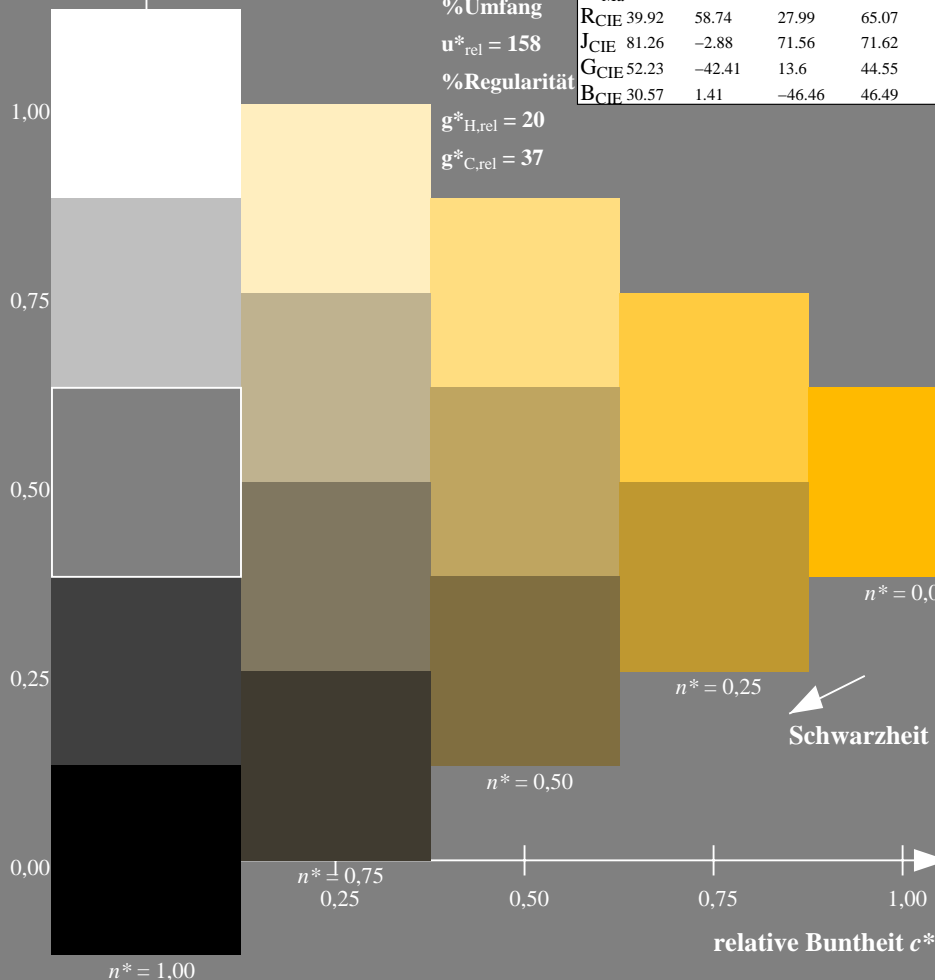
%Regularität

$g^*_{H,rel} = 20$

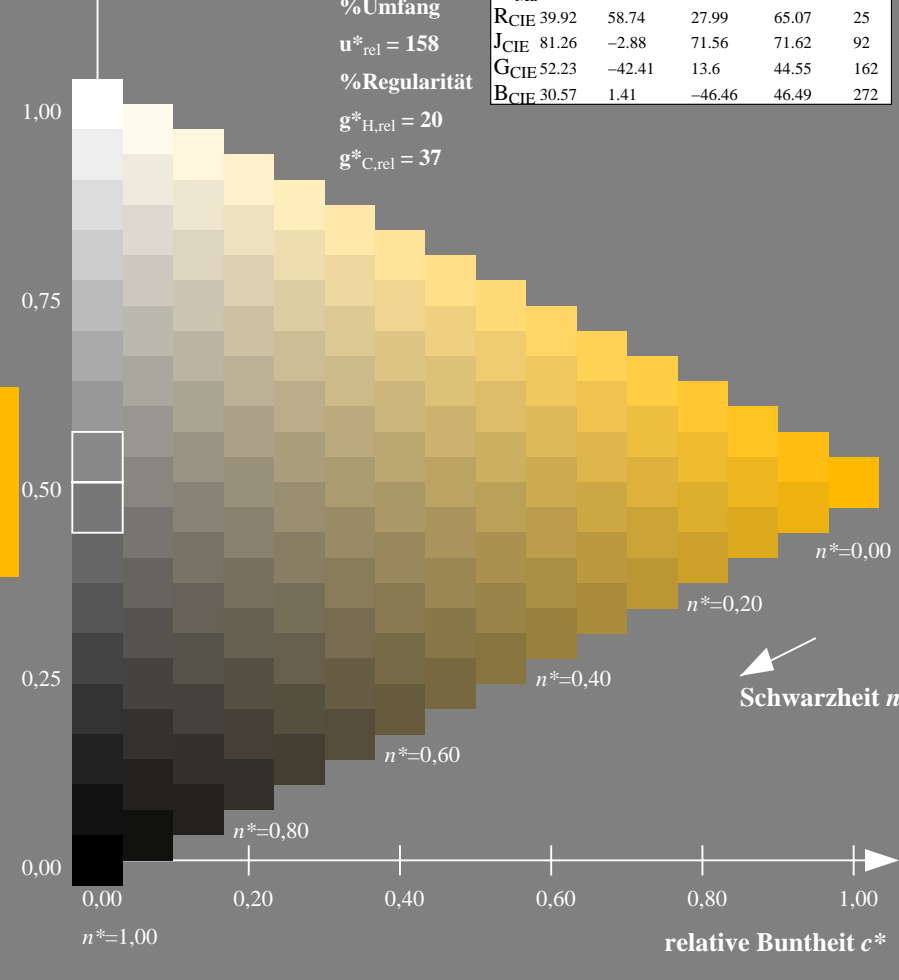
$g^*_{C,rel} = 37$

TLS00a; adaptierte CIELAB-Daten

	$L^*=L^*_a$	a^*_a	b^*_a	$C^*_{ab,a}$	$h^*_{ab,a}$
O _{Ma}	50.5	76.92	64.55	100.42	40
Y _{Ma}	92.66	-20.69	90.75	93.08	103
L _{Ma}	83.63	-82.75	79.9	115.04	136
C _{Ma}	86.88	-46.16	-13.55	48.12	196
V _{Ma}	30.39	76.06	-103.59	128.52	306
M _{Ma}	57.3	94.35	-58.41	110.97	328
N _{Ma}	0.01	0.0	0.0	0.0	0
W _{Ma}	95.41	0.0	0.0	0.0	0
R _{CIE}	39.92	58.74	27.99	65.07	25
J _{CIE}	81.26	-2.88	71.56	71.62	92
G _{CIE}	52.23	-42.41	13.6	44.55	162
B _{CIE}	30.57	1.41	-46.46	46.49	272



OG820-7N-130-7: 5-stufige Reihen für konstanten CIELAB Buntton 92/360 = 0.256 (links)



16-stufige Reihen für konstanten CIELAB Buntton 92/360 = 0.256 (rechts)

OG82: Prüfvorlage 1 nach DIN 33872-2, Buntton J; 1MR, DEEH Eingabe: $rgb \rightarrow rgb^*_{dee}$ setrgbcol
Unterscheidbarkeit von 5- und 16-stufigen Farbreihen
Ausgabe 130-7: $g_p=1.0$; $g_N=1.0$

Eingabe: Farbmatisches Fernseh-Licht-System TLS00a

für Buntton $h^* = lab^*h = 162/360 = 0.451$

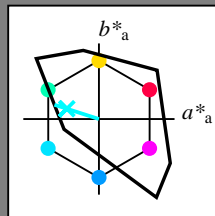
lab^*tch und lab^*nch

D65: Buntton G

LCH*Ma: 86 62 162

olv*Ma: 0.0 1.0 0.65

Dreiecks-Helligkeit t^*



%Umfang

$u^*_{rel} = 158$

%Regularität

$g^*_{H,rel} = 20$

$g^*_{C,rel} = 37$

TLS00a; adaptierte CIELAB-Daten

	$L^*=L^*_a$	a^*_a	b^*_a	$C^*_{ab,a}$	$h^*_{ab,a}$
O _{Ma}	50.5	76.92	64.55	100.42	40
Y _{Ma}	92.66	-20.69	90.75	93.08	103
L _{Ma}	83.63	-82.75	79.9	115.04	136
C _{Ma}	86.88	-46.16	-13.55	48.12	196
V _{Ma}	30.39	76.06	-103.59	128.52	306
M _{Ma}	57.3	94.35	-58.41	110.97	328
N _{Ma}	0.01	0.0	0.0	0.0	0
W _{Ma}	95.41	0.0	0.0	0.0	0
R _{CIE}	39.92	58.74	27.99	65.07	25
J _{CIE}	81.26	-2.88	71.56	71.62	92
G _{CIE}	52.23	-42.41	13.6	44.55	162
B _{CIE}	30.57	1.41	-46.46	46.49	272

Ausgabe: Farbmatisches Fernseh-Licht-System TLS00a

für Buntton $h^* = lab^*h = 162/360 = 0.451$

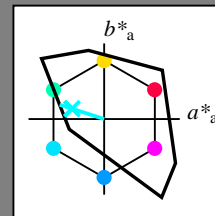
lab^*tch und lab^*nch

D65: Buntton G

LCH*Ma: 86 62 162

olv*Ma: 0.0 1.0 0.65

Dreiecks-Helligkeit t^*



%Umfang

$u^*_{rel} = 158$

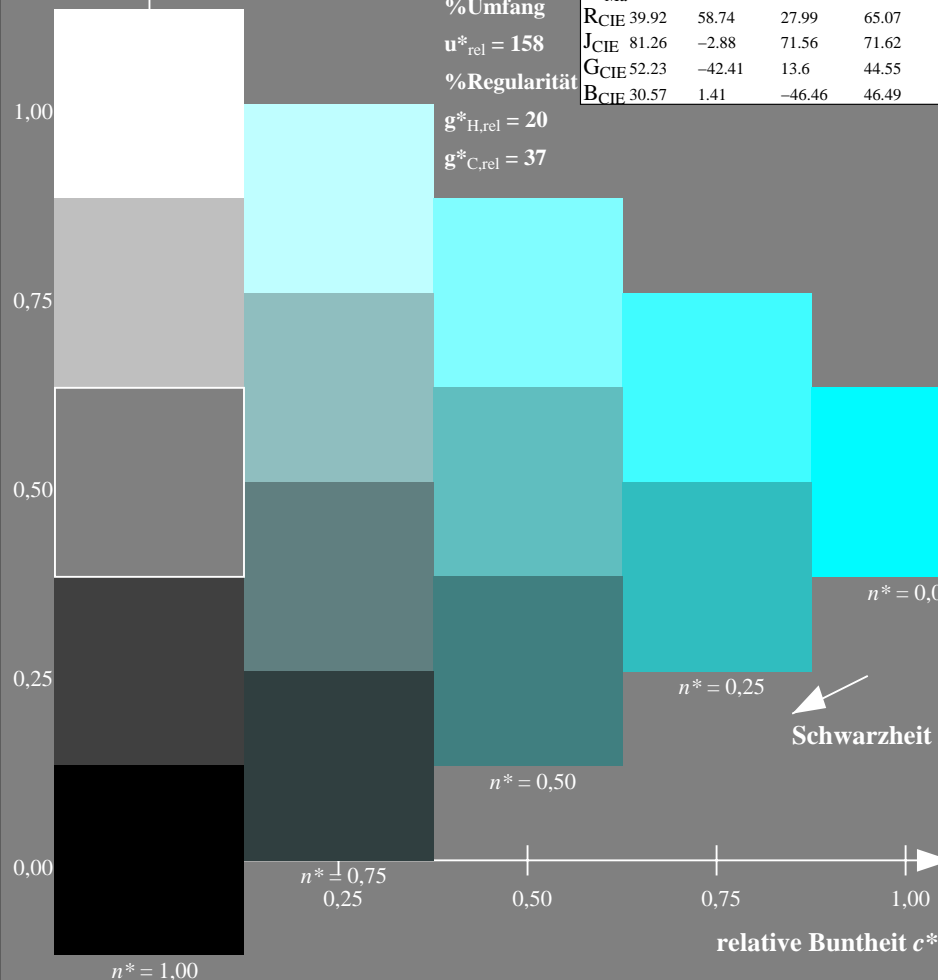
%Regularität

$g^*_{H,rel} = 20$

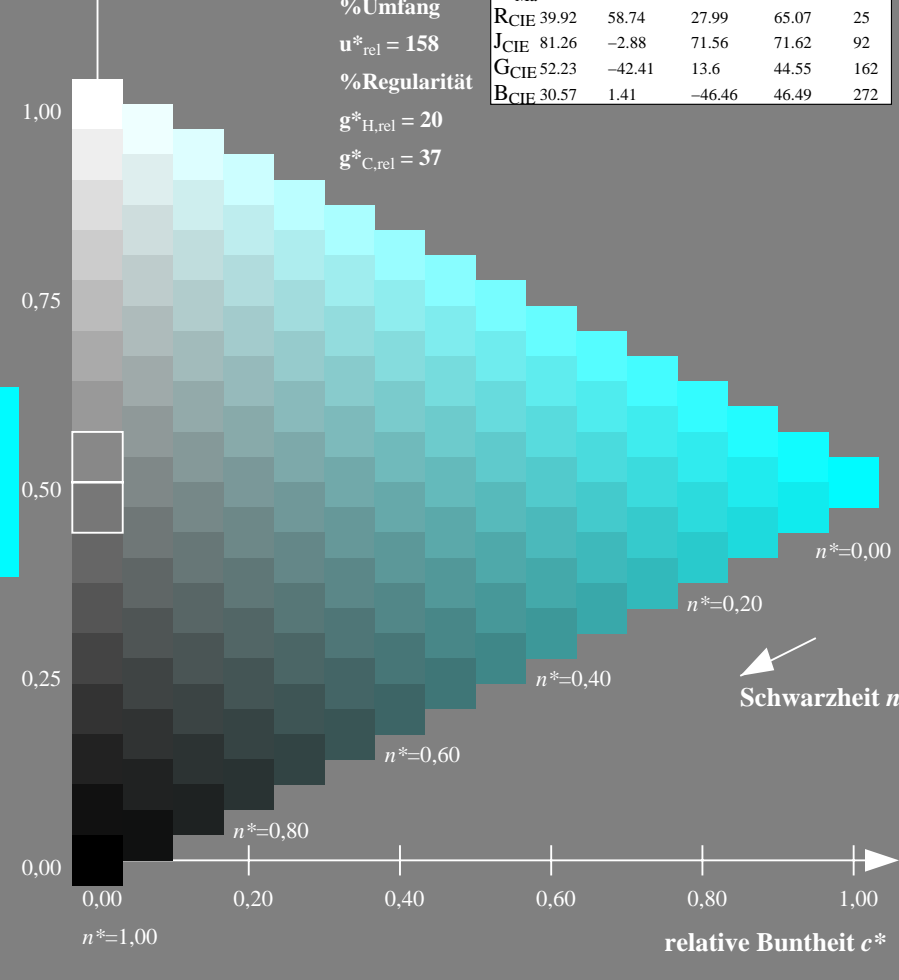
$g^*_{C,rel} = 37$

TLS00a; adaptierte CIELAB-Daten

	$L^*=L^*_a$	a^*_a	b^*_a	$C^*_{ab,a}$	$h^*_{ab,a}$
O _{Ma}	50.5	76.92	64.55	100.42	40
Y _{Ma}	92.66	-20.69	90.75	93.08	103
L _{Ma}	83.63	-82.75	79.9	115.04	136
C _{Ma}	86.88	-46.16	-13.55	48.12	196
V _{Ma}	30.39	76.06	-103.59	128.52	306
M _{Ma}	57.3	94.35	-58.41	110.97	328
N _{Ma}	0.01	0.0	0.0	0.0	0
W _{Ma}	95.41	0.0	0.0	0.0	0
R _{CIE}	39.92	58.74	27.99	65.07	25
J _{CIE}	81.26	-2.88	71.56	71.62	92
G _{CIE}	52.23	-42.41	13.6	44.55	162
B _{CIE}	30.57	1.41	-46.46	46.49	272



OG820-7N-130-8: 5-stufige Reihen für konstanten CIELAB Buntton 162/360 = 0.451 (links)



16-stufige Reihen für konstanten CIELAB Buntton 162/360 = 0.451 (rechts)

OG82: Prüfvorlage 1 nach DIN 33872-2, Buntton G; 1MR, DEEHEingabe: $rgb \rightarrow rgb^*_{dee}$ setrgbcold
Unterscheidbarkeit von 5- und 16-stufigen Farbreihen
Ausgabe 130-8: $g_p=1.0$; $g_N=1.0$

94hnliche ISO-Prüfvorlagen: <http://www.ps.bam.de/24705T>, <http://www.ps.bam.de/9241>
Technische Information: <http://www.ps.bam.de/33872> Version 2.1, io=1,1, CIELAB

TUB-Registrierung: 20110801-OG82/OG82L0NA.TXT /.PS TUB-Material: Code=rha4ta
Anwendung für Ausgabe von Displays: Monitor- oder Datenprojektor-System

Eingabe: Farbmétrisches Fernseh-Licht-System TLS00a

für Buntton $h^* = lab^*h = 272/360 = 0.755$

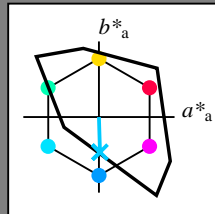
lab^*tch und lab^*nch

D65: Buntton B

LCH*Ma: 65 49 272

olv*Ma: 0.0 0.61 1.0

Dreiecks-Helligkeit t^*



%Umfang

$u^*_{rel} = 158$

%Regularität

$g^*_{H,rel} = 20$

$g^*_{C,rel} = 37$

TLS00a; adaptierte CIELAB-Daten

	$L^*=L^*_a$	a^*_a	b^*_a	$C^*_{ab,a}$	$h^*_{ab,a}$
O _{Ma}	50.5	76.92	64.55	100.42	40
Y _{Ma}	92.66	-20.69	90.75	93.08	103
L _{Ma}	83.63	-82.75	79.9	115.04	136
C _{Ma}	86.88	-46.16	-13.55	48.12	196
V _{Ma}	30.39	76.06	-103.59	128.52	306
M _{Ma}	57.3	94.35	-58.41	110.97	328
N _{Ma}	0.01	0.0	0.0	0.0	0
W _{Ma}	95.41	0.0	0.0	0.0	0
R _{CIE}	39.92	58.74	27.99	65.07	25
J _{CIE}	81.26	-2.88	71.56	71.62	92
G _{CIE}	52.23	-42.41	13.6	44.55	162
B _{CIE}	30.57	1.41	-46.46	46.49	272

Ausgabe: Farbmétrisches Fernseh-Licht-System TLS00a

für Buntton $h^* = lab^*h = 272/360 = 0.755$

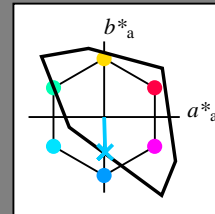
lab^*tch und lab^*nch

D65: Buntton B

LCH*Ma: 65 49 272

olv*Ma: 0.0 0.61 1.0

Dreiecks-Helligkeit t^*



%Umfang

$u^*_{rel} = 158$

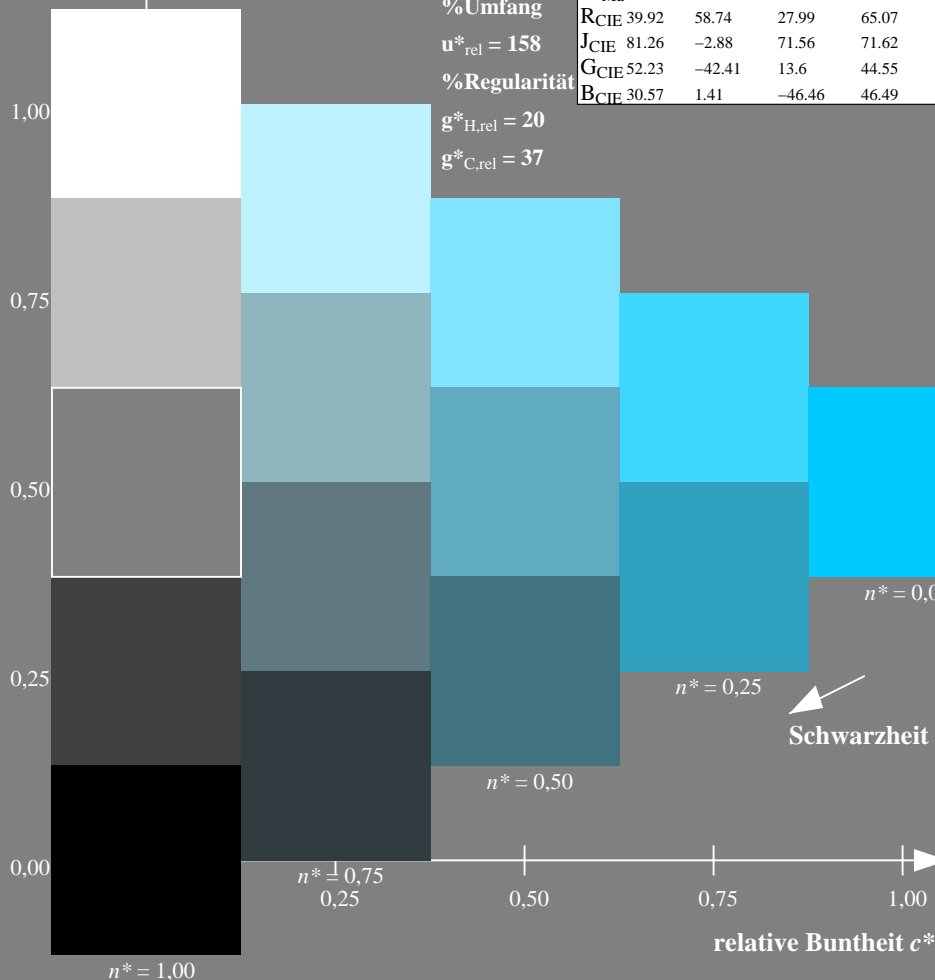
%Regularität

$g^*_{H,rel} = 20$

$g^*_{C,rel} = 37$

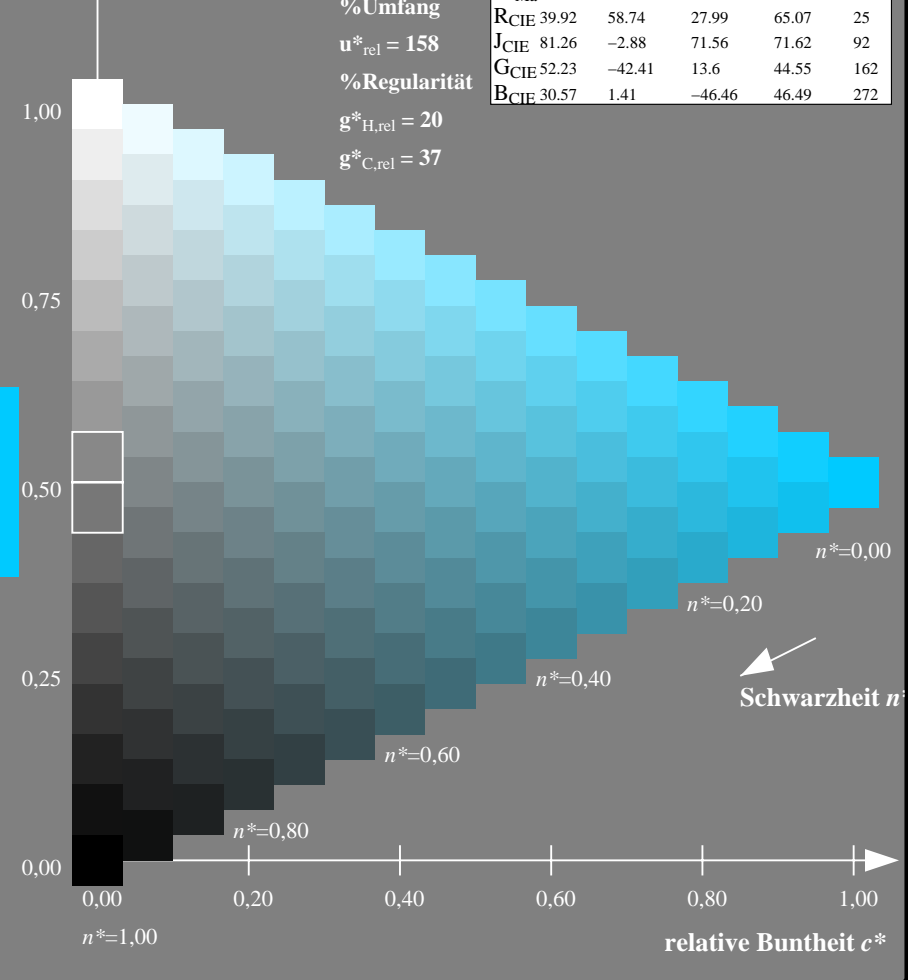
TLS00a; adaptierte CIELAB-Daten

	$L^*=L^*_a$	a^*_a	b^*_a	$C^*_{ab,a}$	$h^*_{ab,a}$
O _{Ma}	50.5	76.92	64.55	100.42	40
Y _{Ma}	92.66	-20.69	90.75	93.08	103
L _{Ma}	83.63	-82.75	79.9	115.04	136
C _{Ma}	86.88	-46.16	-13.55	48.12	196
V _{Ma}	30.39	76.06	-103.59	128.52	306
M _{Ma}	57.3	94.35	-58.41	110.97	328
N _{Ma}	0.01	0.0	0.0	0.0	0
W _{Ma}	95.41	0.0	0.0	0.0	0
R _{CIE}	39.92	58.74	27.99	65.07	25
J _{CIE}	81.26	-2.88	71.56	71.62	92
G _{CIE}	52.23	-42.41	13.6	44.55	162
B _{CIE}	30.57	1.41	-46.46	46.49	272



OG820-7N-130-9: 5-stufige Reihen für konstanten CIELAB Buntton 272/360 = 0.755 (links)

OG82: Prüfvorlage 1 nach DIN 33872-2, Buntton B; 1MR, DEEHEingabe: rgb (->rgb*dee) setrgbcold
Unterscheidbarkeit von 5- und 16-stufigen Farbreihen

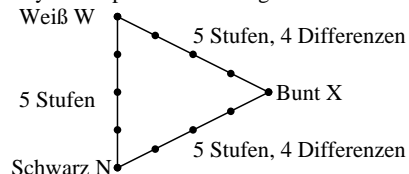


16-stufige Reihen für konstanten CIELAB Buntton 272/360 = 0.755 (rechts)

Eingabe: rgb (->rgb*dee) setrgbcold
Ausgabe 130-9: gp=1.0; gN=1.0

Unterscheidbarkeit von 5-stufigen Farbreihen (Ja/Nein-Entscheidung)

Layoutbeispiel: drei 5-stufige Farbreihen



Es gibt drei Grundfarben auf jeder Seite:
Schwarz N, Weiß W und Bunt X.
Zehn Seiten enthalten 10 Bunttonebenen
X = OYLCVM und RJGB.
Es gibt maximal 12 unterscheidbare Stufen.

Alle Stufen der drei Serien N-W, W-X und X-N sollen unterscheidbar sein auf allen Seiten.

Sind die drei 5-stufigen Reihen auf allen Seiten unterscheidbar? **unterstreiche: Ja/Nein**

Nur im Fall von Nein: Sind die drei 5-stufigen Reihen auf Seite x von 10 Seiten unterscheidbar?

Unterstreiche Ja/Nein und gib im Fall von Nein die Anzahl unterscheidbarer Stufen an
Seite 1: Ja/Nein, wenn Nein ../12 Stufendifferenzen sind unterscheidbar von O = Orangerot
Seite 2: Ja/Nein, wenn Nein ../12 Stufendifferenzen sind unterscheidbar von Y = Gelb
Seite 3: Ja/Nein, wenn Nein ../12 Stufendifferenzen sind unterscheidbar von L = Laubgrün
Seite 4: Ja/Nein, wenn Nein ../12 Stufendifferenzen sind unterscheidbar von C = Cyanblau
Seite 5: Ja/Nein, wenn Nein ../12 Stufendifferenzen sind unterscheidbar von V = Violettblau
Seite 6: Ja/Nein, wenn Nein ../12 Stufendifferenzen sind unterscheidbar von M = Magentarot
Seite 7: Ja/Nein, wenn Nein ../12 Stufendifferenzen sind unterscheidbar von R = Elementarrot
Seite 8: Ja/Nein, wenn Nein ../12 Stufendifferenzen sind unterscheidbar von J = Elementargelb
Seite 9: Ja/Nein, wenn Nein ../12 Stufendifferenzen sind unterscheidbar von G = Elementargrün
Seite 10: Ja/Nein, wenn Nein ../12 Stufendifferenzen sind unterscheidbar von B = Elementarblau

Summe: ../10 Ja-Seiten und ../120 Stufendifferenzen unterscheidbar

Teil 1

OG820-3N-130-10

Dokumentation von Dateiformat, Hard- und Software für diese Prüfung:

PDF-Datei: http://130.149.60.45/farbmetrik/OG82/OG82L0NP.PDF **unterstreiche Ja/Nein**

PS-Datei: http://130.149.60.45/farbmetrik/OG82/OG82L0NA.PS **oder unterstreiche Ja/Nein**

benutztes Rechner-Betriebssystem:

nur eines von Windows/Mac/Unix/anderes und Version:.....

Die Beurteilung ist für die Geräteausgabe: **unterstreiche Monitor/Datenprojektor/Drucker**

Geräte-Modell, -Treiber und -Version:.....

Geräteausgabe mit PDF/PS-Datei: **unterstreiche PDF-/PS-Datei**

Für Geräteausgabe mit PDF-Datei OG82L0NP.PDF:

entweder PDF-Dateitransfer "download, copy" nach PDF-Gerät.....
oder mit Rechnersystem-Interpretation durch "Display-PDF":.....
oder mit Software, z. B. Adobe-Reader/-Acrobat und Version:.....
oder mit Software, z. B. Ghostscript und Version:.....

Für Geräteausgabe mit PS-Datei OG82L0NA.PS:

entweder PS-Dateitransfer "download, copy" nach PS-Gerät.....
oder mit Rechnersystem-Interpretation durch "Display-PS":.....
oder mit Software, z. B. Ghostscript und Version:.....
oder mit Software, z. B. Mac-Yap und Version:.....

Spezielle Anmerkungen:

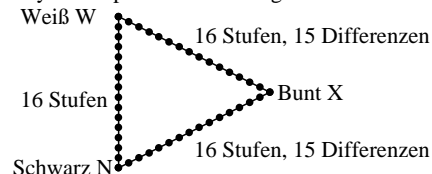
.....
.....
.....

Teil 3

OG820-7N-130-10

Unterscheidbarkeit von 16-stufigen Farbreihen (Ja/Nein-Entscheidung)

Layoutbeispiel: drei 16-stufige Farbreihen



Es gibt drei Grundfarben auf jeder Seite:
Schwarz N, Weiß W und Bunt X.
Zehn Seiten enthalten 10 Bunttonebenen
X = OYLCVM und RJGB.
Es gibt maximal 45 unterscheidbare Stufen.

Alle Stufen der drei Serien N-W, W-X und X-N sollen unterscheidbar sein auf allen Seiten.

Sind die drei 16-stufigen Reihen auf allen Seiten unterscheidbar? **unterstreiche: Ja/Nein**

Nur im Fall von Nein: Sind die drei 16-stufigen Reihen auf Seite x von 10 Seiten unterscheidbar?

Unterstreiche Ja/Nein und gib im Fall von Nein die Anzahl unterscheidbarer Stufen an
Seite 1: Ja/Nein, wenn Nein ../45 Stufendifferenzen sind unterscheidbar von O = Orangerot
Seite 2: Ja/Nein, wenn Nein ../45 Stufendifferenzen sind unterscheidbar von Y = Gelb
Seite 3: Ja/Nein, wenn Nein ../45 Stufendifferenzen sind unterscheidbar von L = Laubgrün
Seite 4: Ja/Nein, wenn Nein ../45 Stufendifferenzen sind unterscheidbar von C = Cyanblau
Seite 5: Ja/Nein, wenn Nein ../45 Stufendifferenzen sind unterscheidbar von V = Violettblau
Seite 6: Ja/Nein, wenn Nein ../45 Stufendifferenzen sind unterscheidbar von M = Magentarot
Seite 7: Ja/Nein, wenn Nein ../45 Stufendifferenzen sind unterscheidbar von R = Elementarrot
Seite 8: Ja/Nein, wenn Nein ../45 Stufendifferenzen sind unterscheidbar von J = Elementargelb
Seite 9: Ja/Nein, wenn Nein ../45 Stufendifferenzen sind unterscheidbar von G = Elementargrün
Seite 10: Ja/Nein, wenn Nein ../45 Stufendifferenzen sind unterscheidbar von B = Elementarblau

Summe: ../10 Ja-Seiten und ../450 Stufendifferenzen unterscheidbar

Teil 2

OG821-3N-130-10

Dokumentation der Beurteiler-Farbseigenschaften für diese Prüfung:

Der Beurteiler hat normales Farbsehen nach einer Prüfung:

entweder nach DIN 6160:1996 mit Anomalskop nach Nagel
oder mit Farbpunkt-Prüftafeln nach Ishihara
oder mit, bitte nennen:.....

unterstreiche Ja/Nein

unterstreiche Ja/unbekannt

unterstreiche Ja/unbekannt

unterstreiche Ja/unbekannt

Für visuelle Bewertung der Display(Monitor, Daten-Projektor)-Ausgabe

Büro-Arbeitsplatz-Beleuchtung ist Tageslicht (bedeckter/Nordhimmel)

PDF-Datei: http://130.149.60.45/farbmetrik/OG82/OG82F1P2.PDF

PS-Datei: http://130.149.60.45/farbmetrik/OG82/OG82F1P2.PS

Bild A7-130-2: Kontrastbereich: (>F:0) (F:0) (E:0) (D:0) (C:0) (A:0) (9:0) (7:0) (5:0) (3:0) (<3:0)

vergleiche Normdruckausgabe nach ISO/IEC 15775 mit Bereich F:0

Anmerkung: Bei Tageslichtbürobeleuchtung ist der Kontrastbereich oft:

am Display zwischen: >F:0 und E:0 (Monitor), D:0 und 3:0 (Datenprojektor)

Nur für optionale farbmimetrische Kennzeichnung mit PDF/PS-Dateiausgabe

PDF-Datei: http://130.149.60.45/farbmetrik/OG82/OG82F1P2.PDF

Bild A7-130-2

unterstreiche Ja/Nein

PS-Datei: http://130.149.60.45/farbmetrik/OG82/OG82F1P2.PS

Bild A7-130-2

oder unterstreiche Ja/Nein

Farbmessung und Kennzeichnung für:

CIE-Normlichtart D65, CIE-2-Grad-Beobachter, CIE-45/0-Geometrie

unterstreiche Ja/Nein

Wenn Nein, bitte andere Parameter nennen:

Farbmimetrische Kennzeichnung mit PS-Datei für Farben der Spalten A bis T

Ersatz der CIELAB-Daten in Datei www.ps.bam.de/Dg17/10L/L17g00NP.PS und Transfer

der PS-Datei L17g00NP.PS in PDF-Datei L17g00NP.PDF

unterstreiche Ja/Nein

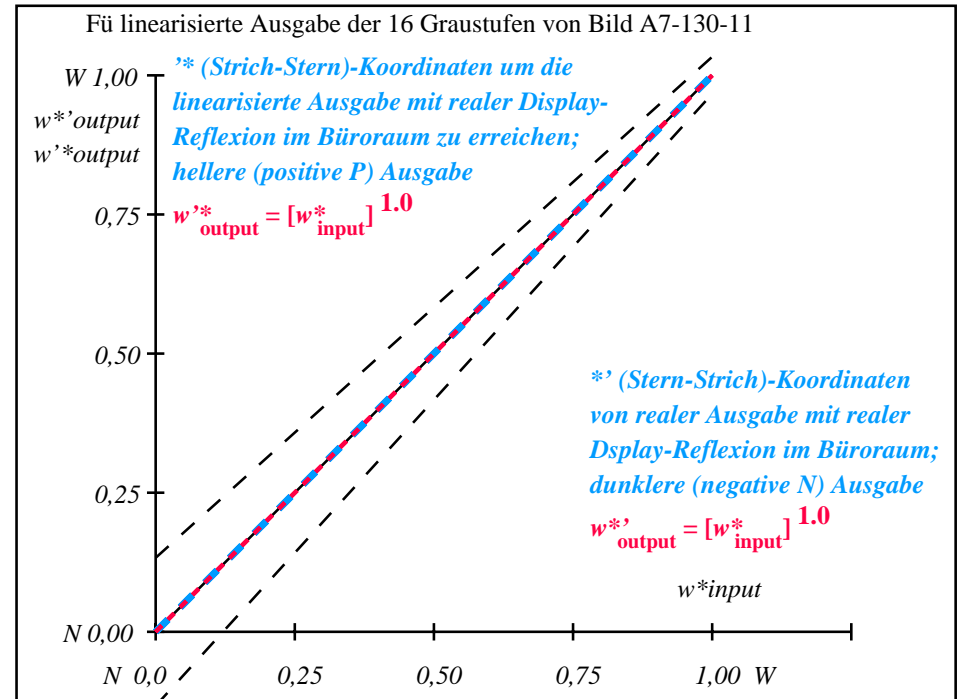
Wenn Nein, bitte andere Methode beschreiben:

Teil 4

OG821-7N-130-10

i	LAB*ref	l*out	LAB*out	LAB*out/c-ref	ΔE*	Start-Ausgabe S1
1	0.0	0.0	0.0	0.0	0.0	Kennzeichnung nach
2	6.36	0.0	0.07	6.36	0.0	ISO/IEC 15775 Anhang G
3	12.72	0.0	0.13	12.72	0.0	und DIN 33866-1 Anhang G
4	19.08	0.0	0.2	19.08	0.0	
5	25.44	0.0	0.27	25.44	0.0	
6	31.8	0.0	0.33	31.8	0.0	
7	38.16	0.0	0.4	38.16	0.0	
8	44.52	0.0	0.47	44.52	0.0	
9	50.89	0.0	0.53	50.89	0.0	
10	57.25	0.0	0.6	57.25	0.0	
11	63.61	0.0	0.67	63.61	0.0	
12	69.97	0.0	0.73	69.97	0.0	
13	76.33	0.0	0.8	76.33	0.0	
14	82.69	0.0	0.87	82.69	0.0	
15	89.05	0.0	0.93	89.05	0.0	Mittlerer Helligkeitsabstand (16 Stufen)
16	95.41	0.0	1.0	95.41	0.0	ΔE* _{CIELAB} = 0.0
17	0.0	0.0	0.0	0.0	0.0	
18	23.85	0.0	0.25	23.85	0.0	
19	47.71	0.0	0.5	47.71	0.0	
20	71.56	0.0	0.75	71.56	0.0	Mittlerer Helligkeitsabstand (5 Stufen)
21	95.41	0.0	1.0	95.41	0.0	ΔL* _{CIELAB} = 0.0
Mittlerer Farbwiedergabe-Index:					R* _{ab,m} = 100	

OG820-3N-130-11: File: Measure unknown; Device: Device unknown; Date: Date unknown



$L^*/Y_{intended}$ (absolut)	0.0/0.0	6.4/0.7	12.7/1.5	19.1/2.8	25.4/4.6	31.8/7.0	38.2/10.2	44.5/14.2	50.9/19.2	57.2/25.2	63.6/32.3	70.0/40.7	76.3/50.4	82.7/61.6	89.0/74.3	95.4/88.6
$w^* w^* w^*$ setrgb gp=1.0																
Nr. und Hex-Code	00;F	01;E	02;D	03;C	04;B	05;A	06;9	07;8	08;7	09;6	10;5	11;4	12;3	13;2	14;1	15;0
$w^* = l^*_{CIELAB, r}$ (relativ)																
$w^*_{intended}$	0.000	0.067	0.133	0.200	0.267	0.333	0.400	0.467	0.533	0.600	0.667	0.733	0.800	0.867	0.933	1.000
w^*_{out}	0.0	0.067	0.133	0.2	0.267	0.333	0.4	0.467	0.533	0.6	0.667	0.733	0.8	0.867	0.933	1.0

OG820-7N, Bild A7-130-11: 16 visuell gleichabständige L^* -Graustufen; PS-Operator: $w^* w^* w^* \text{setrgbcolor}$

OG82: Ein-Ausgabe-Beziehung nach ISO 9241-306; 1MR, DEH Eingabe: $rgb \rightarrow rgb^*_{de}$ setrgbcolor
Gesehener Y-Kontrast $Y_W:Y_N=88,9:0,31$; Y_N -Bereich 0,0 to <0,46 Ausgabe 130-11: $gp=1.0$; $g_N=1.0$

Eingabe: Farbmétrisches Fernseh-Licht-System TLS00a

für Buntton $h^* = lab^*h = 40/360 = 0.111$

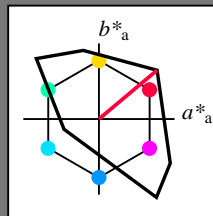
lab^*tch und lab^*nch

D65: Buntton O

LCH*Ma: 51 100 40

olv*Ma: 1.0 0.0 0.0

Dreiecks-Helligkeit t^*



%Umfang

$u^*_{rel} = 158$

%Regularität

$g^*_{H,rel} = 20$

$g^*_{C,rel} = 37$

TLS00a; adaptierte CIELAB-Daten

	$L^* = L^*_a$	a^*_a	b^*_a	$C^*_{ab,a}$	$h^*_{ab,a}$
O _{Ma}	50.5	76.92	64.55	100.42	40
Y _{Ma}	92.66	-20.69	90.75	93.08	103
L _{Ma}	83.63	-82.75	79.9	115.04	136
C _{Ma}	86.88	-46.16	-13.55	48.12	196
V _{Ma}	30.39	76.06	-103.59	128.52	306
M _{Ma}	57.3	94.35	-58.41	110.97	328
N _{Ma}	0.01	0.0	0.0	0.0	0
W _{Ma}	95.41	0.0	0.0	0.0	0
R _{CIE}	39.92	58.74	27.99	65.07	25
J _{CIE}	81.26	-2.88	71.56	71.62	92
G _{CIE}	52.23	-42.41	13.6	44.55	162
B _{CIE}	30.57	1.41	-46.46	46.49	272

Ausgabe: Farbmétrisches Fernseh-Licht-System TLS00a

für Buntton $h^* = lab^*h = 40/360 = 0.111$

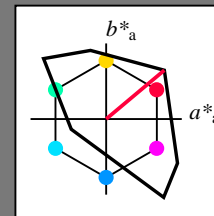
lab^*tch und lab^*nch

D65: Buntton O

LCH*Ma: 51 100 40

olv*Ma: 1.0 0.0 0.0

Dreiecks-Helligkeit t^*



%Umfang

$u^*_{rel} = 158$

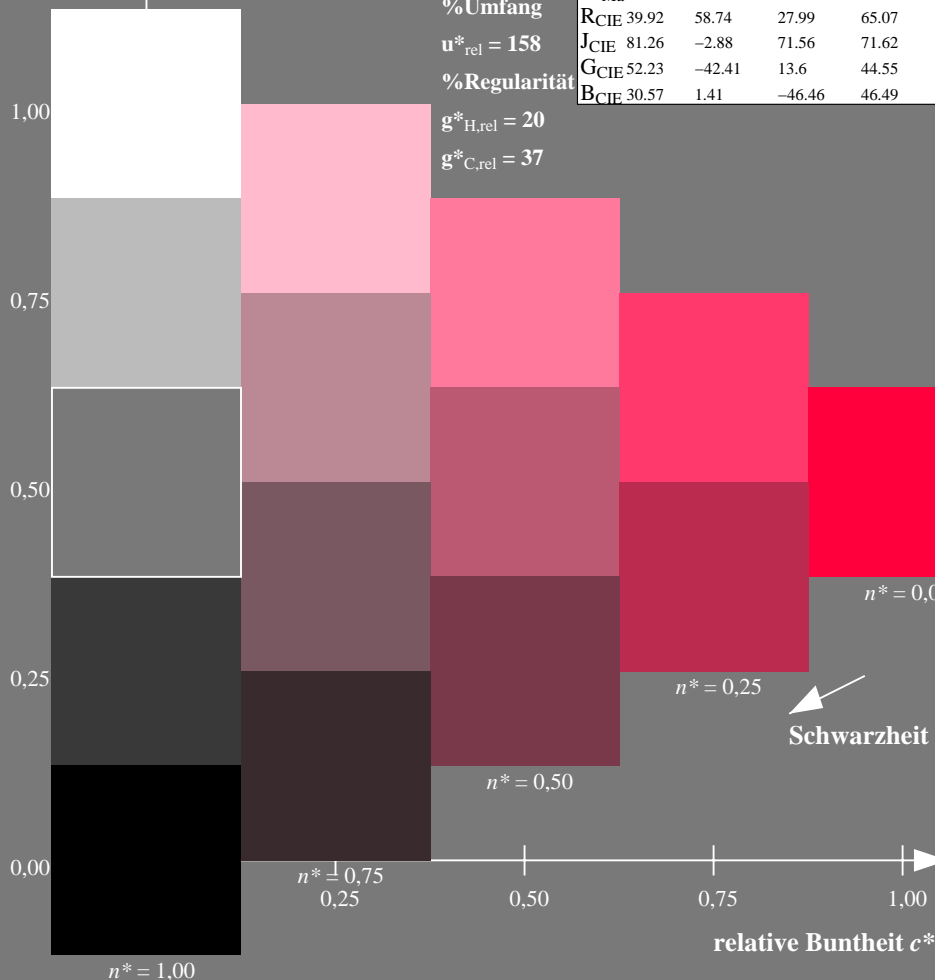
%Regularität

$g^*_{H,rel} = 20$

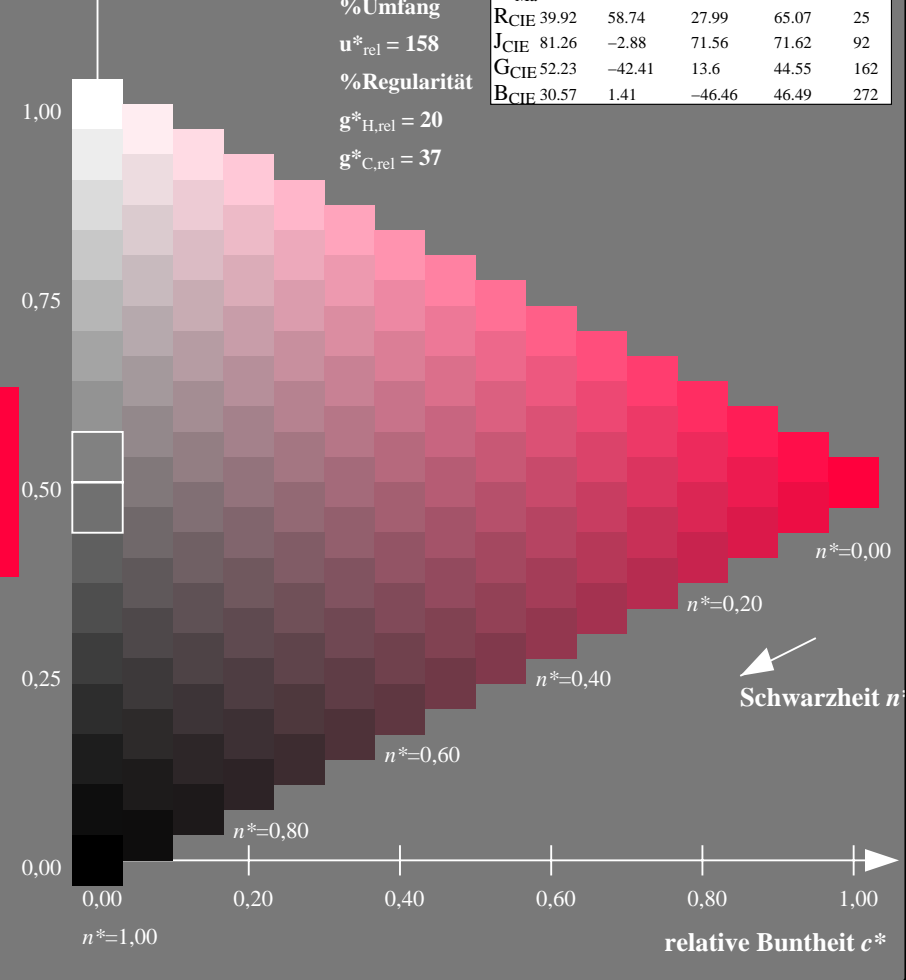
$g^*_{C,rel} = 37$

TLS00a; adaptierte CIELAB-Daten

	$L^* = L^*_a$	a^*_a	b^*_a	$C^*_{ab,a}$	$h^*_{ab,a}$
O _{Ma}	50.5	76.92	64.55	100.42	40
Y _{Ma}	92.66	-20.69	90.75	93.08	103
L _{Ma}	83.63	-82.75	79.9	115.04	136
C _{Ma}	86.88	-46.16	-13.55	48.12	196
V _{Ma}	30.39	76.06	-103.59	128.52	306
M _{Ma}	57.3	94.35	-58.41	110.97	328
N _{Ma}	0.01	0.0	0.0	0.0	0
W _{Ma}	95.41	0.0	0.0	0.0	0
R _{CIE}	39.92	58.74	27.99	65.07	25
J _{CIE}	81.26	-2.88	71.56	71.62	92
G _{CIE}	52.23	-42.41	13.6	44.55	162
B _{CIE}	30.57	1.41	-46.46	46.49	272



OG820-7N-131-0: 5-stufige Reihen für konstanten CIELAB Buntton 40/360 = 0.111 (links)



16-stufige Reihen für konstanten CIELAB Buntton 40/360 = 0.111 (rechts)

OG82: Prüfvorlage 1 nach DIN 33872-2, Buntton O; 1MR, DEH
Unterscheidbarkeit von 5- und 16-stufigen Farbreihen

Eingabe: rgb ($\rightarrow rgb^*_{de}$) $setrgbcolor$
Ausgabe 130-0: $g_p=1.0$; $g_N=1.08$

Eingabe: Farbmatisches Fernseh-Licht-System TLS00a

für Buntton $h^* = lab^*h = 103/360 = 0.286$

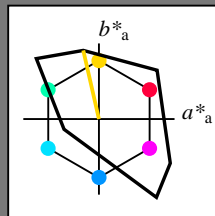
lab^*tch und lab^*nch

D65: Buntton Y

LCH*Ma: 93 93 103

olv*Ma: 1.0 1.0 0.0

Dreiecks-Helligkeit t^*



%Umfang

$u^*_{rel} = 158$

%Regularität

$g^*_{H,rel} = 20$

$g^*_{C,rel} = 37$

TLS00a; adaptierte CIELAB-Daten

	$L^*=L^*_a$	a^*_a	b^*_a	$C^*_{ab,a}$	$h^*_{ab,a}$
O _{Ma}	50.5	76.92	64.55	100.42	40
Y _{Ma}	92.66	-20.69	90.75	93.08	103
L _{Ma}	83.63	-82.75	79.9	115.04	136
C _{Ma}	86.88	-46.16	-13.55	48.12	196
V _{Ma}	30.39	76.06	-103.59	128.52	306
M _{Ma}	57.3	94.35	-58.41	110.97	328
N _{Ma}	0.01	0.0	0.0	0.0	0
W _{Ma}	95.41	0.0	0.0	0.0	0
R _{CIE}	39.92	58.74	27.99	65.07	25
J _{CIE}	81.26	-2.88	71.56	71.62	92
G _{CIE}	52.23	-42.41	13.6	44.55	162
B _{CIE}	30.57	1.41	-46.46	46.49	272

Ausgabe: Farbmatisches Fernseh-Licht-System TLS00a

für Buntton $h^* = lab^*h = 103/360 = 0.286$

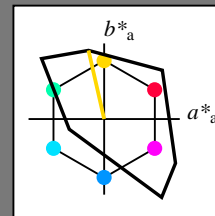
lab^*tch und lab^*nch

D65: Buntton Y

LCH*Ma: 93 93 103

olv*Ma: 1.0 1.0 0.0

Dreiecks-Helligkeit t^*



%Umfang

$u^*_{rel} = 158$

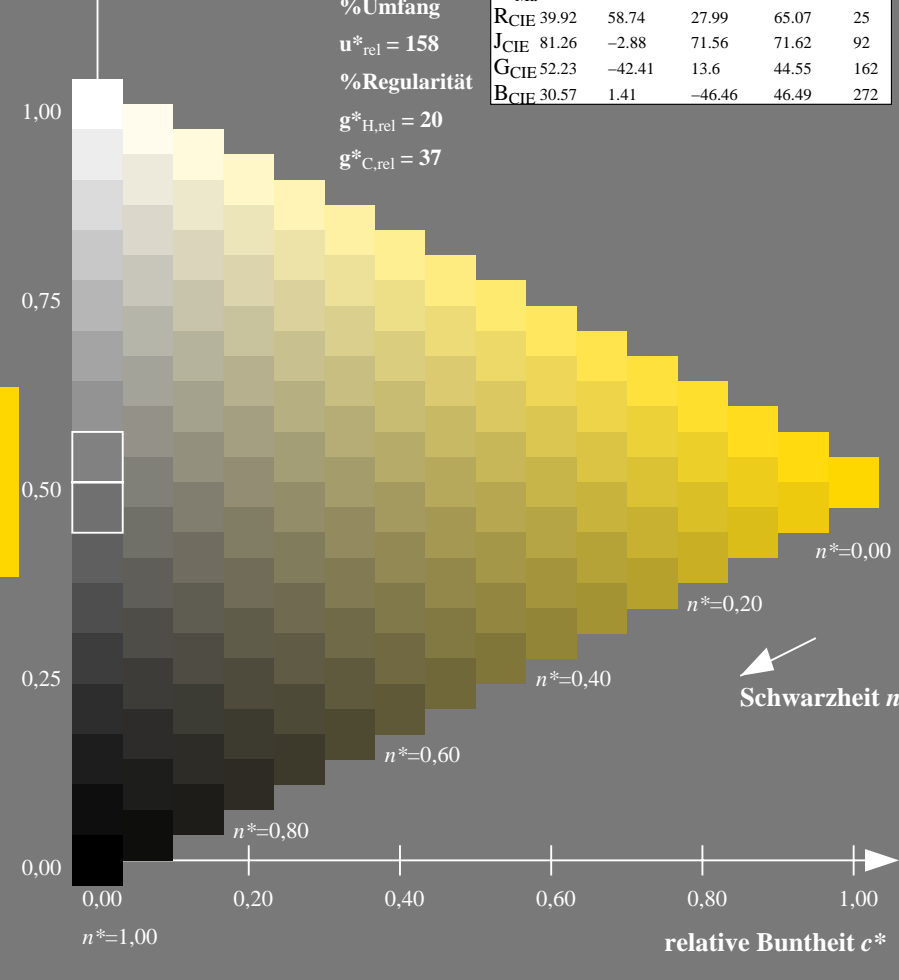
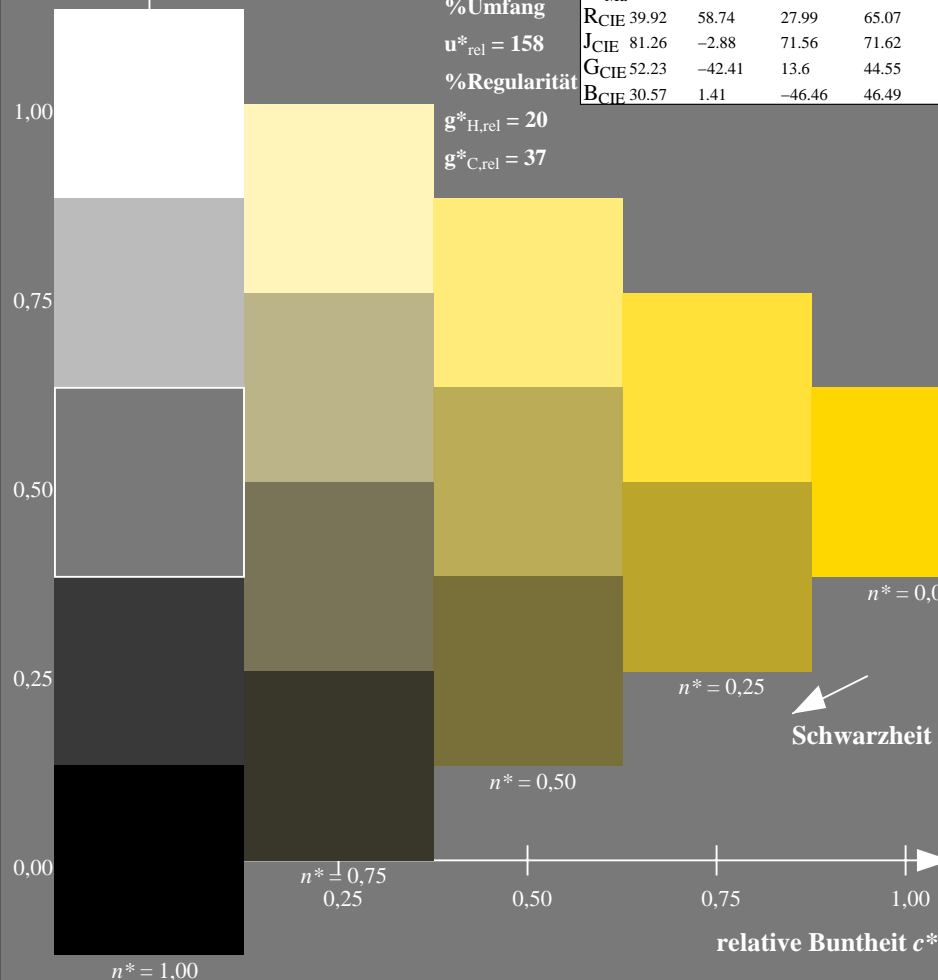
%Regularität

$g^*_{H,rel} = 20$

$g^*_{C,rel} = 37$

TLS00a; adaptierte CIELAB-Daten

	$L^*=L^*_a$	a^*_a	b^*_a	$C^*_{ab,a}$	$h^*_{ab,a}$
O _{Ma}	50.5	76.92	64.55	100.42	40
Y _{Ma}	92.66	-20.69	90.75	93.08	103
L _{Ma}	83.63	-82.75	79.9	115.04	136
C _{Ma}	86.88	-46.16	-13.55	48.12	196
V _{Ma}	30.39	76.06	-103.59	128.52	306
M _{Ma}	57.3	94.35	-58.41	110.97	328
N _{Ma}	0.01	0.0	0.0	0.0	0
W _{Ma}	95.41	0.0	0.0	0.0	0
R _{CIE}	39.92	58.74	27.99	65.07	25
J _{CIE}	81.26	-2.88	71.56	71.62	92
G _{CIE}	52.23	-42.41	13.6	44.55	162
B _{CIE}	30.57	1.41	-46.46	46.49	272



OG820-7N-131-1: 5-stufige Reihen für konstanten CIELAB Buntton 103/360 = 0.286 (links)

16-stufige Reihen für konstanten CIELAB Buntton 103/360 = 0.286 (rechts)

OG82: Prüfvorlage 1 nach DIN 33872-2, Buntton Y; 1MR, DEH
Unterscheidbarkeit von 5- und 16-stufigen Farbreihen

Eingabe: $rgb (-> rgb^*_{de})$ setrgbcolor
Ausgabe 130-1: $g_p=1.0$; $g_N=1.08$

Eingabe: Farbmatisches Fernseh-Licht-System TLS00a

für Buntton $h^* = lab^*h = 136/360 = 0.378$

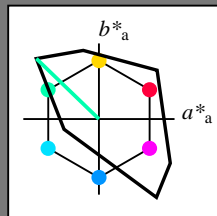
lab^*tch und lab^*nch

D65: Buntton L

LCH*Ma: 84 115 136

olv*Ma: 0.0 1.0 0.0

Dreiecks-Helligkeit t^*



%Umfang

$u^*_{rel} = 158$

%Regularität

$g^*_{H,rel} = 20$

$g^*_{C,rel} = 37$

TLS00a; adaptierte CIELAB-Daten

	$L^*=L^*_a$	a^*_a	b^*_a	$C^*_{ab,a}$	$h^*_{ab,a}$
O _{Ma}	50.5	76.92	64.55	100.42	40
Y _{Ma}	92.66	-20.69	90.75	93.08	103
L _{Ma}	83.63	-82.75	79.9	115.04	136
C _{Ma}	86.88	-46.16	-13.55	48.12	196
V _{Ma}	30.39	76.06	-103.59	128.52	306
M _{Ma}	57.3	94.35	-58.41	110.97	328
N _{Ma}	0.01	0.0	0.0	0.0	0
W _{Ma}	95.41	0.0	0.0	0.0	0
R _{CIE}	39.92	58.74	27.99	65.07	25
J _{CIE}	81.26	-2.88	71.56	71.62	92
G _{CIE}	52.23	-42.41	13.6	44.55	162
B _{CIE}	30.57	1.41	-46.46	46.49	272

Ausgabe: Farbmatisches Fernseh-Licht-System TLS00a

für Buntton $h^* = lab^*h = 136/360 = 0.378$

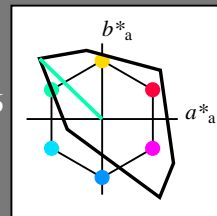
lab^*tch und lab^*nch

D65: Buntton L

LCH*Ma: 84 115 136

olv*Ma: 0.0 1.0 0.0

Dreiecks-Helligkeit t^*



%Umfang

$u^*_{rel} = 158$

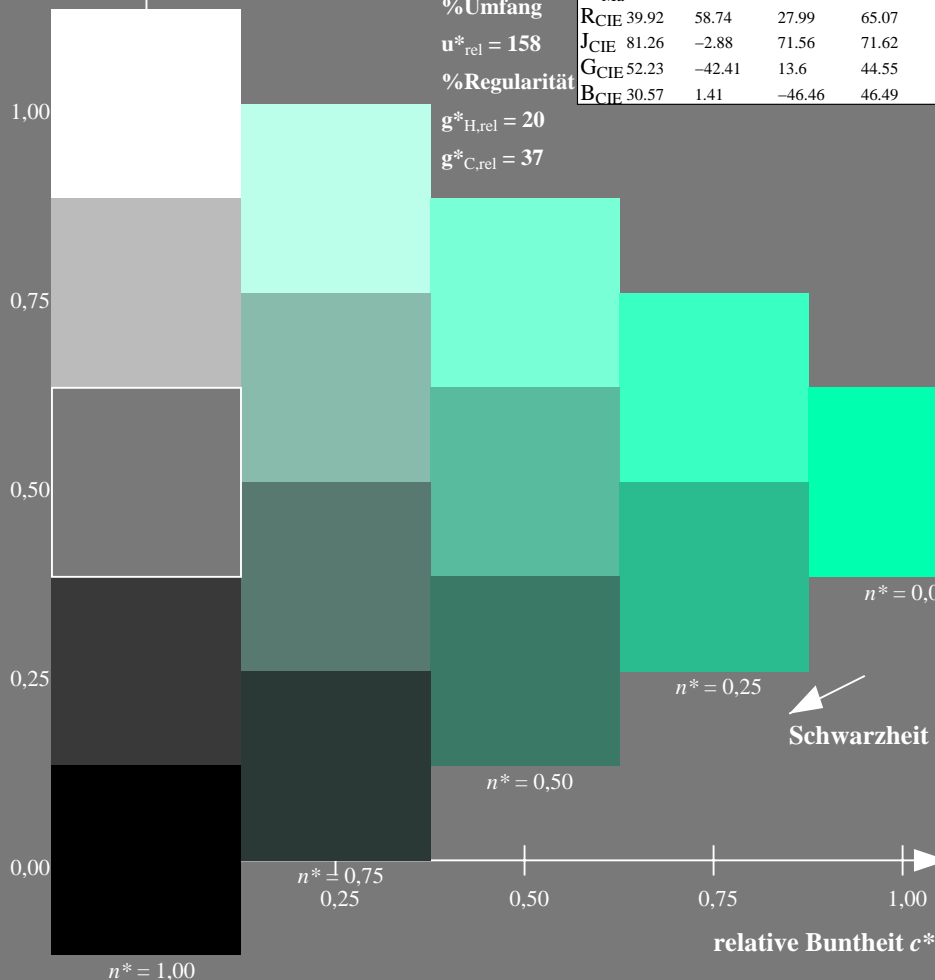
%Regularität

$g^*_{H,rel} = 20$

$g^*_{C,rel} = 37$

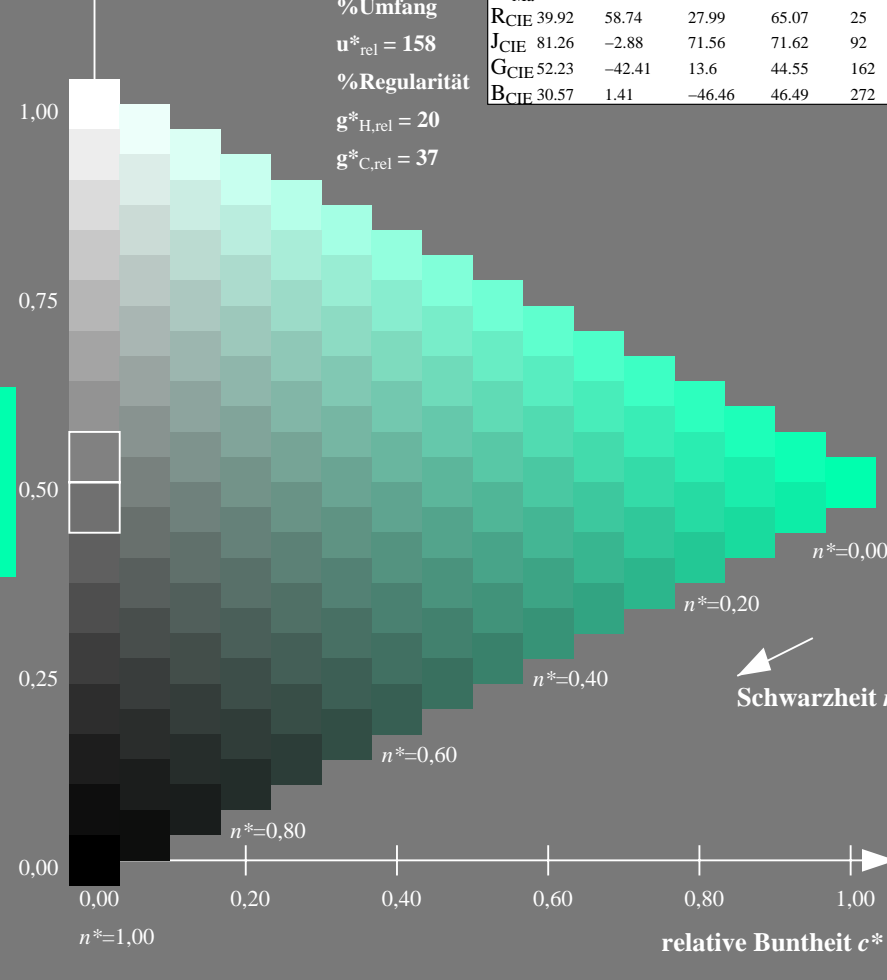
TLS00a; adaptierte CIELAB-Daten

	$L^*=L^*_a$	a^*_a	b^*_a	$C^*_{ab,a}$	$h^*_{ab,a}$
O _{Ma}	50.5	76.92	64.55	100.42	40
Y _{Ma}	92.66	-20.69	90.75	93.08	103
L _{Ma}	83.63	-82.75	79.9	115.04	136
C _{Ma}	86.88	-46.16	-13.55	48.12	196
V _{Ma}	30.39	76.06	-103.59	128.52	306
M _{Ma}	57.3	94.35	-58.41	110.97	328
N _{Ma}	0.01	0.0	0.0	0.0	0
W _{Ma}	95.41	0.0	0.0	0.0	0
R _{CIE}	39.92	58.74	27.99	65.07	25
J _{CIE}	81.26	-2.88	71.56	71.62	92
G _{CIE}	52.23	-42.41	13.6	44.55	162
B _{CIE}	30.57	1.41	-46.46	46.49	272



OG820-7N-131-2: 5-stufige Reihen für konstanten CIELAB Buntton 136/360 = 0.378 (links)

OG82: Prüfvorlage 1 nach DIN 33872-2, Buntton L; 1MR, DEH
Unterscheidbarkeit von 5- und 16-stufigen Farbreihen



16-stufige Reihen für konstanten CIELAB Buntton 136/360 = 0.378 (rechts)

Eingabe: $rgb \rightarrow rgb^*_{de}$ setrgbcolor
Ausgabe 130-2: $g_p=1.0$; $g_N=1.08$

94hnliche ISO-Prüfvorlagen: <http://www.ps.bam.de/24705T>, <http://www.ps.bam.de/9241>
Technische Information: <http://www.ps.bam.de/33872> Version 2.1, io=1,1, CIELAB

TUB-Registrierung: 20110801-OG82/OG82L0NA.TXT /.PS TUB-Material: Code=rha4ta
Anwendung für Ausgabe von Displays: Monitor- oder Datenprojektor-System

Eingabe: Farbmétrisches Fernseh-Licht-System TLS00a

für Buntton $h^* = lab^*h = 196/360 = 0.545$

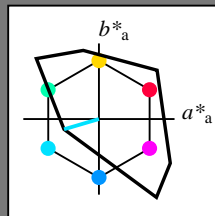
lab^*tch und lab^*nch

D65: Buntton C

LCH*Ma: 87 48 196

olv*Ma: 0.0 1.0 1.0

Dreiecks-Helligkeit t^*



%Umfang

$u^*_{rel} = 158$

%Regularität

$g^*_{H,rel} = 20$

$g^*_{C,rel} = 37$

TLS00a; adaptierte CIELAB-Daten

	$L^*=L^*_a$	a^*_a	b^*_a	$C^*_{ab,a}$	$h^*_{ab,a}$
O _{Ma}	50.5	76.92	64.55	100.42	40
Y _{Ma}	92.66	-20.69	90.75	93.08	103
L _{Ma}	83.63	-82.75	79.9	115.04	136
C _{Ma}	86.88	-46.16	-13.55	48.12	196
V _{Ma}	30.39	76.06	-103.59	128.52	306
M _{Ma}	57.3	94.35	-58.41	110.97	328
N _{Ma}	0.01	0.0	0.0	0.0	0
W _{Ma}	95.41	0.0	0.0	0.0	0
R _{CIE}	39.92	58.74	27.99	65.07	25
J _{CIE}	81.26	-2.88	71.56	71.62	92
G _{CIE}	52.23	-42.41	13.6	44.55	162
B _{CIE}	30.57	1.41	-46.46	46.49	272

Ausgabe: Farbmétrisches Fernseh-Licht-System TLS00a

für Buntton $h^* = lab^*h = 196/360 = 0.545$

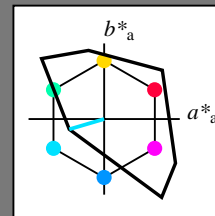
lab^*tch und lab^*nch

D65: Buntton C

LCH*Ma: 87 48 196

olv*Ma: 0.0 1.0 1.0

Dreiecks-Helligkeit t^*



%Umfang

$u^*_{rel} = 158$

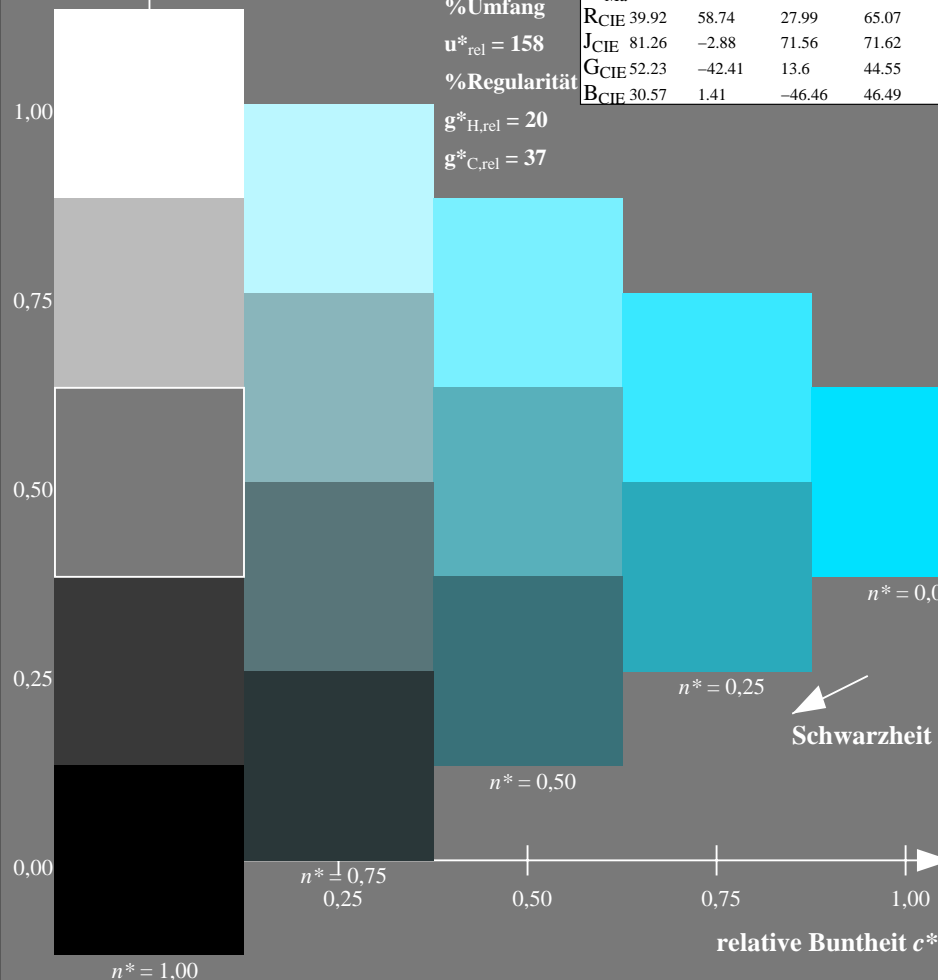
%Regularität

$g^*_{H,rel} = 20$

$g^*_{C,rel} = 37$

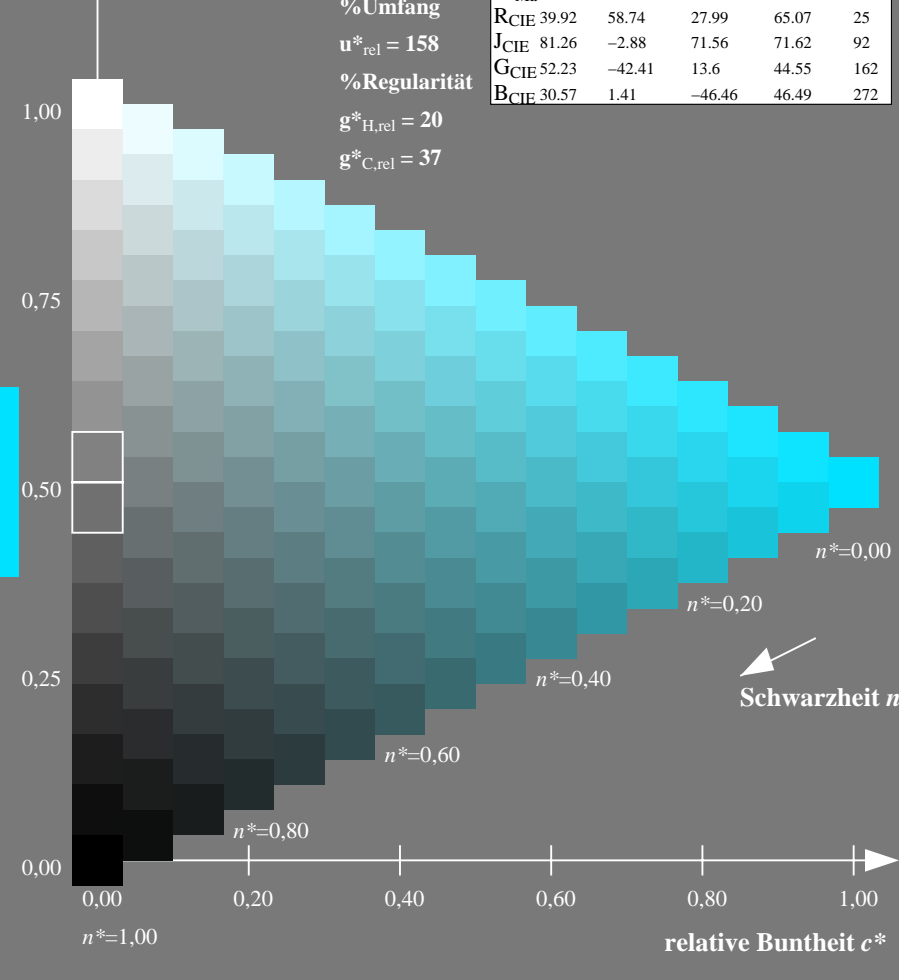
TLS00a; adaptierte CIELAB-Daten

	$L^*=L^*_a$	a^*_a	b^*_a	$C^*_{ab,a}$	$h^*_{ab,a}$
O _{Ma}	50.5	76.92	64.55	100.42	40
Y _{Ma}	92.66	-20.69	90.75	93.08	103
L _{Ma}	83.63	-82.75	79.9	115.04	136
C _{Ma}	86.88	-46.16	-13.55	48.12	196
V _{Ma}	30.39	76.06	-103.59	128.52	306
M _{Ma}	57.3	94.35	-58.41	110.97	328
N _{Ma}	0.01	0.0	0.0	0.0	0
W _{Ma}	95.41	0.0	0.0	0.0	0
R _{CIE}	39.92	58.74	27.99	65.07	25
J _{CIE}	81.26	-2.88	71.56	71.62	92
G _{CIE}	52.23	-42.41	13.6	44.55	162
B _{CIE}	30.57	1.41	-46.46	46.49	272



OG820-7N-131-3: 5-stufige Reihen für konstanten CIELAB Buntton 196/360 = 0.545 (links)

OG82: Prüfvorlage 1 nach DIN 33872-2, Buntton C; 1MR, DEH
Unterscheidbarkeit von 5- und 16-stufigen Farbreihen



16-stufige Reihen für konstanten CIELAB Buntton 196/360 = 0.545 (rechts)

Eingabe: $rgb (-> rgb^*_{de})$ setrgbcolor
Ausgabe 130-3: $g_p=1.0$; $g_N=1.08$

94hnliche ISO-Prüfvorlagen: <http://www.ps.bam.de/24705T>, <http://www.ps.bam.de/9241>
Technische Information: <http://www.ps.bam.de/33872> Version 2.1, io=1,1, CIELAB

TUB-Registrierung: 20110801-OG82/OG82L0NA.TXT /.PS TUB-Material: Code=rh4ta
Anwendung für Ausgabe von Displays: Monitor- oder Datenprojektor-System

Eingabe: Farbmatisches Fernseh-Licht-System TLS00a

für Buntton $h^* = lab^*h = 306/360 = 0.851$

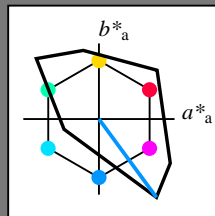
lab^*tch und lab^*nch

D65: Buntton V

LCH*Ma: 30 129 306

olv*Ma: 0.0 0.0 1.0

Dreiecks-Helligkeit t^*



%Umfang

$u^*_{rel} = 158$

%Regularität

$g^*_{H,rel} = 20$

$g^*_{C,rel} = 37$

TLS00a; adaptierte CIELAB-Daten

	$L^*=L^*_a$	a^*_a	b^*_a	$C^*_{ab,a}$	$h^*_{ab,a}$
O _{Ma}	50.5	76.92	64.55	100.42	40
Y _{Ma}	92.66	-20.69	90.75	93.08	103
L _{Ma}	83.63	-82.75	79.9	115.04	136
C _{Ma}	86.88	-46.16	-13.55	48.12	196
V _{Ma}	30.39	76.06	-103.59	128.52	306
M _{Ma}	57.3	94.35	-58.41	110.97	328
N _{Ma}	0.01	0.0	0.0	0.0	0
W _{Ma}	95.41	0.0	0.0	0.0	0
R _{CIE}	39.92	58.74	27.99	65.07	25
J _{CIE}	81.26	-2.88	71.56	71.62	92
G _{CIE}	52.23	-42.41	13.6	44.55	162
B _{CIE}	30.57	1.41	-46.46	46.49	272

Ausgabe: Farbmatisches Fernseh-Licht-System TLS00a

für Buntton $h^* = lab^*h = 306/360 = 0.851$

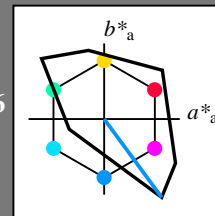
lab^*tch und lab^*nch

D65: Buntton V

LCH*Ma: 30 129 306

olv*Ma: 0.0 0.0 1.0

Dreiecks-Helligkeit t^*



%Umfang

$u^*_{rel} = 158$

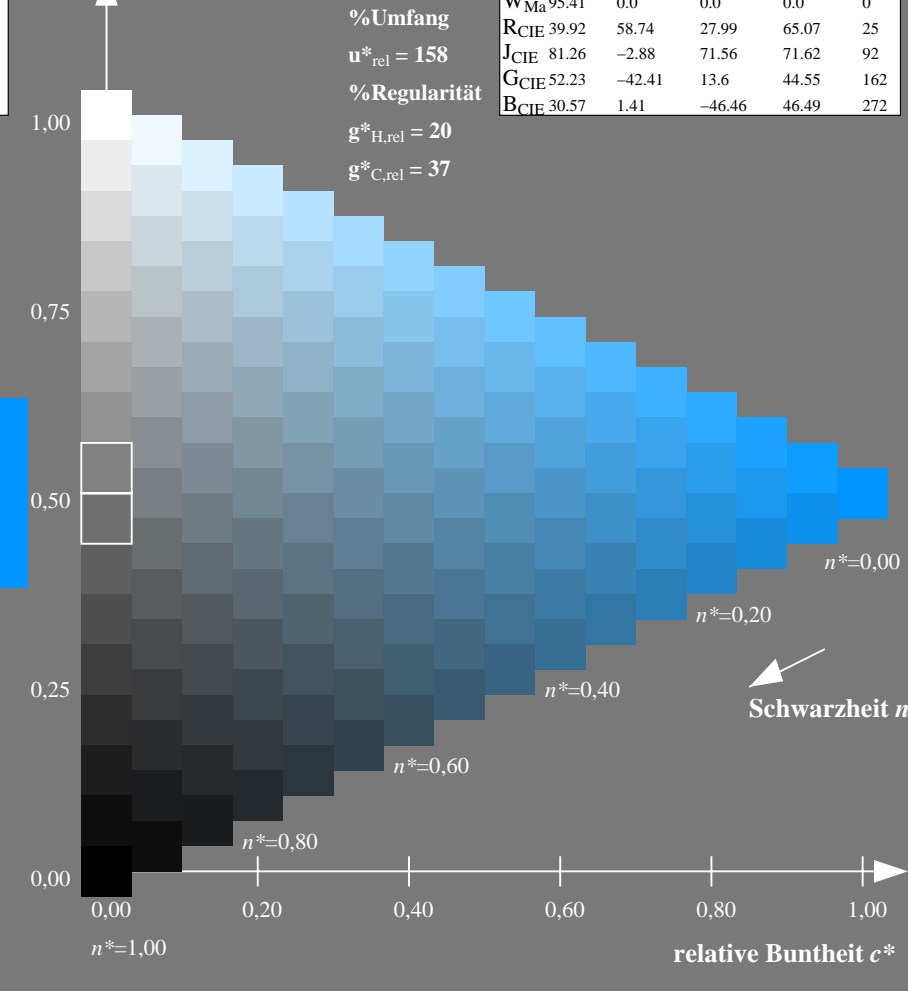
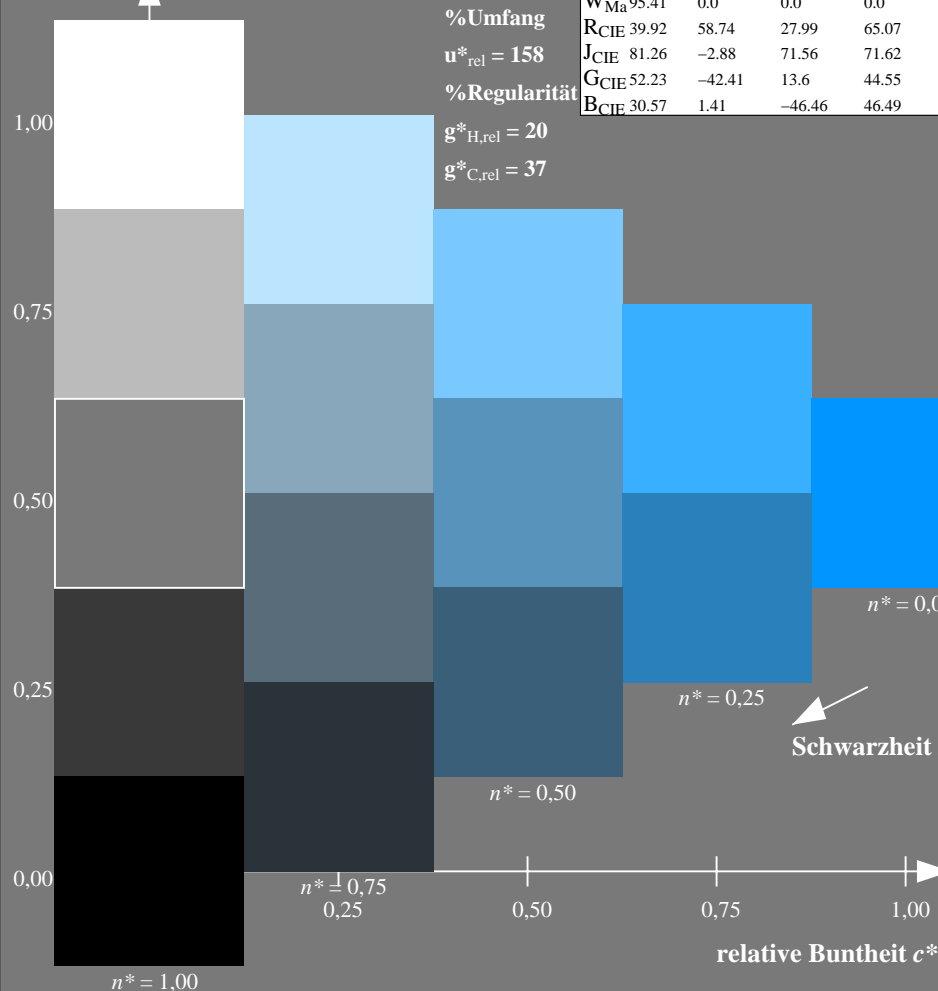
%Regularität

$g^*_{H,rel} = 20$

$g^*_{C,rel} = 37$

TLS00a; adaptierte CIELAB-Daten

	$L^*=L^*_a$	a^*_a	b^*_a	$C^*_{ab,a}$	$h^*_{ab,a}$
O _{Ma}	50.5	76.92	64.55	100.42	40
Y _{Ma}	92.66	-20.69	90.75	93.08	103
L _{Ma}	83.63	-82.75	79.9	115.04	136
C _{Ma}	86.88	-46.16	-13.55	48.12	196
V _{Ma}	30.39	76.06	-103.59	128.52	306
M _{Ma}	57.3	94.35	-58.41	110.97	328
N _{Ma}	0.01	0.0	0.0	0.0	0
W _{Ma}	95.41	0.0	0.0	0.0	0
R _{CIE}	39.92	58.74	27.99	65.07	25
J _{CIE}	81.26	-2.88	71.56	71.62	92
G _{CIE}	52.23	-42.41	13.6	44.55	162
B _{CIE}	30.57	1.41	-46.46	46.49	272



OG820-7N-131-4: 5-stufige Reihen für konstanten CIELAB Buntton 306/360 = 0.851 (links)

16-stufige Reihen für konstanten CIELAB Buntton 306/360 = 0.851 (rechts)

OG82: Prüfvorlage 1 nach DIN 33872-2, Buntton V; 1MR, DEH
Unterscheidbarkeit von 5- und 16-stufigen Farbreihen

Eingabe: $rgb \rightarrow rgb^*_{de}$ setrgbcolor
Ausgabe 130-4: $g_p=1.0$; $g_N=1.08$

Eingabe: Farbmatisches Fernseh-Licht-System TLS00a

für Buntton $h^* = lab^*h = 328/360 = 0.912$

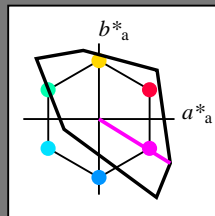
lab^*tch und lab^*nch

D65: Buntton M

LCH*Ma: 57 111 328

olv*Ma: 1.0 0.0 1.0

Dreiecks-Helligkeit t^*



%Umfang

$u^*_{rel} = 158$

%Regularität

$g^*_{H,rel} = 20$

$g^*_{C,rel} = 37$

TLS00a; adaptierte CIELAB-Daten

	$L^*=L^*_a$	a^*_a	b^*_a	$C^*_{ab,a}$	$h^*_{ab,a}$
O _{Ma}	50.5	76.92	64.55	100.42	40
Y _{Ma}	92.66	-20.69	90.75	93.08	103
L _{Ma}	83.63	-82.75	79.9	115.04	136
C _{Ma}	86.88	-46.16	-13.55	48.12	196
V _{Ma}	30.39	76.06	-103.59	128.52	306
M _{Ma}	57.3	94.35	-58.41	110.97	328
N _{Ma}	0.01	0.0	0.0	0.0	0
W _{Ma}	95.41	0.0	0.0	0.0	0
R _{CIE}	39.92	58.74	27.99	65.07	25
J _{CIE}	81.26	-2.88	71.56	71.62	92
G _{CIE}	52.23	-42.41	13.6	44.55	162
B _{CIE}	30.57	1.41	-46.46	46.49	272

Ausgabe: Farbmatisches Fernseh-Licht-System TLS00a

für Buntton $h^* = lab^*h = 328/360 = 0.912$

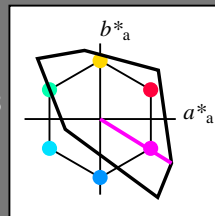
lab^*tch und lab^*nch

D65: Buntton M

LCH*Ma: 57 111 328

olv*Ma: 1.0 0.0 1.0

Dreiecks-Helligkeit t^*



%Umfang

$u^*_{rel} = 158$

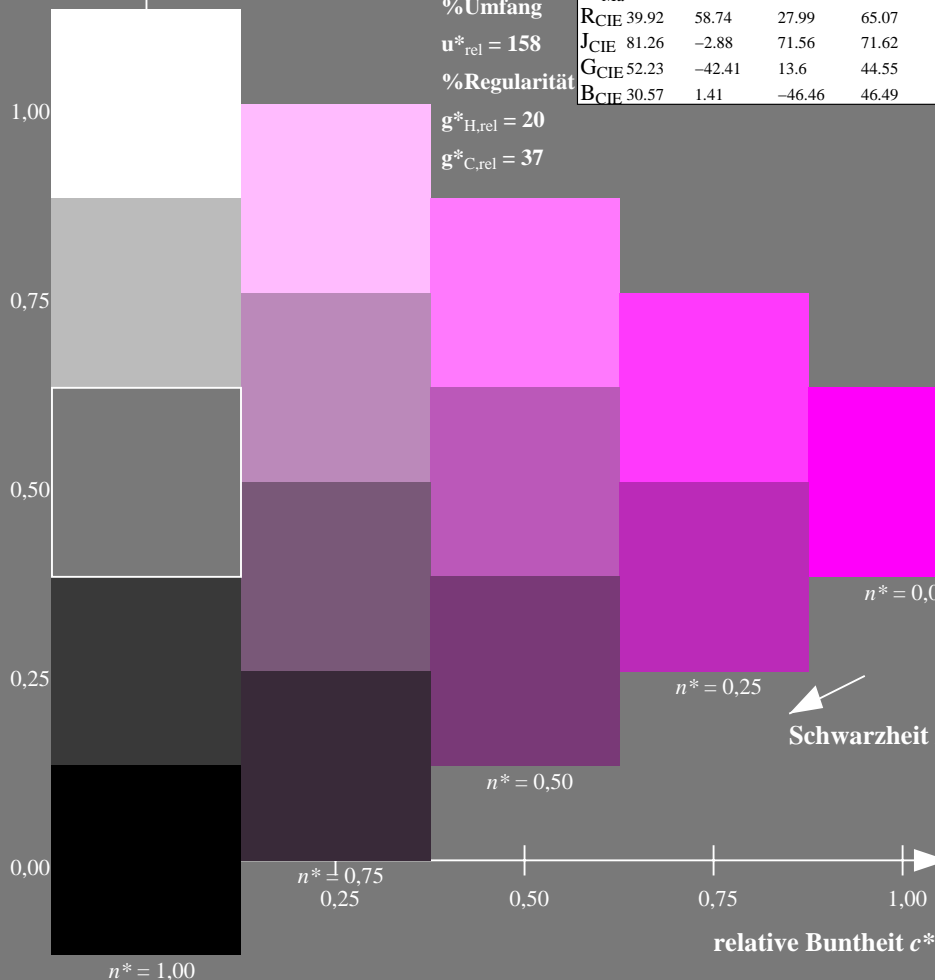
%Regularität

$g^*_{H,rel} = 20$

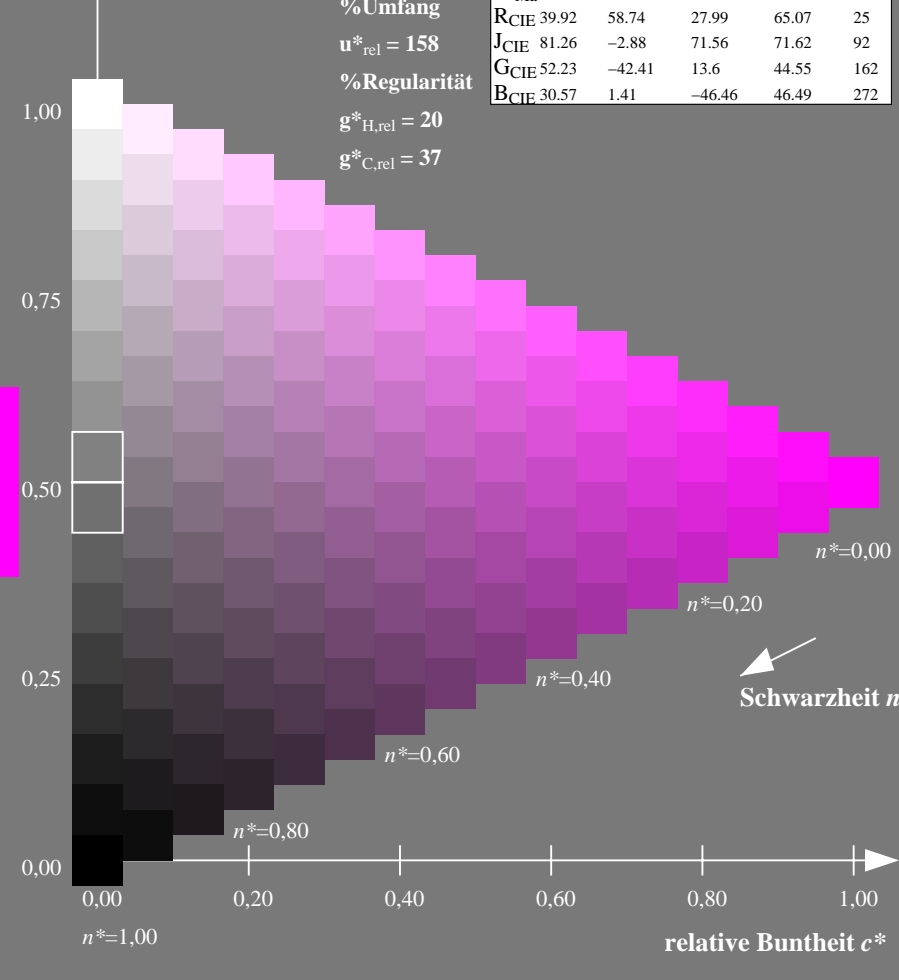
$g^*_{C,rel} = 37$

TLS00a; adaptierte CIELAB-Daten

	$L^*=L^*_a$	a^*_a	b^*_a	$C^*_{ab,a}$	$h^*_{ab,a}$
O _{Ma}	50.5	76.92	64.55	100.42	40
Y _{Ma}	92.66	-20.69	90.75	93.08	103
L _{Ma}	83.63	-82.75	79.9	115.04	136
C _{Ma}	86.88	-46.16	-13.55	48.12	196
V _{Ma}	30.39	76.06	-103.59	128.52	306
M _{Ma}	57.3	94.35	-58.41	110.97	328
N _{Ma}	0.01	0.0	0.0	0.0	0
W _{Ma}	95.41	0.0	0.0	0.0	0
R _{CIE}	39.92	58.74	27.99	65.07	25
J _{CIE}	81.26	-2.88	71.56	71.62	92
G _{CIE}	52.23	-42.41	13.6	44.55	162
B _{CIE}	30.57	1.41	-46.46	46.49	272



OG820-7N-131-5: 5-stufige Reihen für konstanten CIELAB Buntton 328/360 = 0.912 (links)



16-stufige Reihen für konstanten CIELAB Buntton 328/360 = 0.912 (rechts)

OG82: Prüfvorlage 1 nach DIN 33872-2, Buntton M; 1MR, DEH Eingabe: $rgb \rightarrow rgb^*_{de}$ setrgbcolor
Unterscheidbarkeit von 5- und 16-stufigen Farbreihen
Ausgabe 130-5: $g_p=1.0$; $g_N=1.08$

Eingabe: Farbmatisches Fernseh-Licht-System TLS00a

für Buntton $h^* = lab^*h = 92/360 = 0.256$

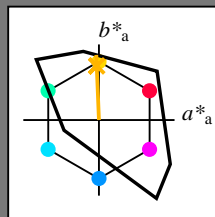
lab^*tch und lab^*nch

D65: Buntton J

LCH*Ma: 85 86 92

olv*Ma: 1.0 0.82 0.0

Dreiecks-Helligkeit t^*



%Umfang

$u^*_{rel} = 158$

%Regularität

$g^*_{H,rel} = 20$

$g^*_{C,rel} = 37$

TLS00a; adaptierte CIELAB-Daten

	$L^*=L^*_a$	a^*_a	b^*_a	$C^*_{ab,a}$	$h^*_{ab,a}$
O _{Ma}	50.5	76.92	64.55	100.42	40
Y _{Ma}	92.66	-20.69	90.75	93.08	103
L _{Ma}	83.63	-82.75	79.9	115.04	136
C _{Ma}	86.88	-46.16	-13.55	48.12	196
V _{Ma}	30.39	76.06	-103.59	128.52	306
M _{Ma}	57.3	94.35	-58.41	110.97	328
N _{Ma}	0.01	0.0	0.0	0.0	0
W _{Ma}	95.41	0.0	0.0	0.0	0
R _{CIE}	39.92	58.74	27.99	65.07	25
J _{CIE}	81.26	-2.88	71.56	71.62	92
G _{CIE}	52.23	-42.41	13.6	44.55	162
B _{CIE}	30.57	1.41	-46.46	46.49	272

Ausgabe: Farbmatisches Fernseh-Licht-System TLS00a

für Buntton $h^* = lab^*h = 92/360 = 0.256$

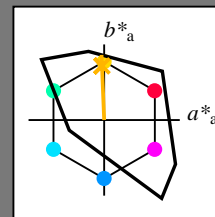
lab^*tch und lab^*nch

D65: Buntton J

LCH*Ma: 85 86 92

olv*Ma: 1.0 0.82 0.0

Dreiecks-Helligkeit t^*



%Umfang

$u^*_{rel} = 158$

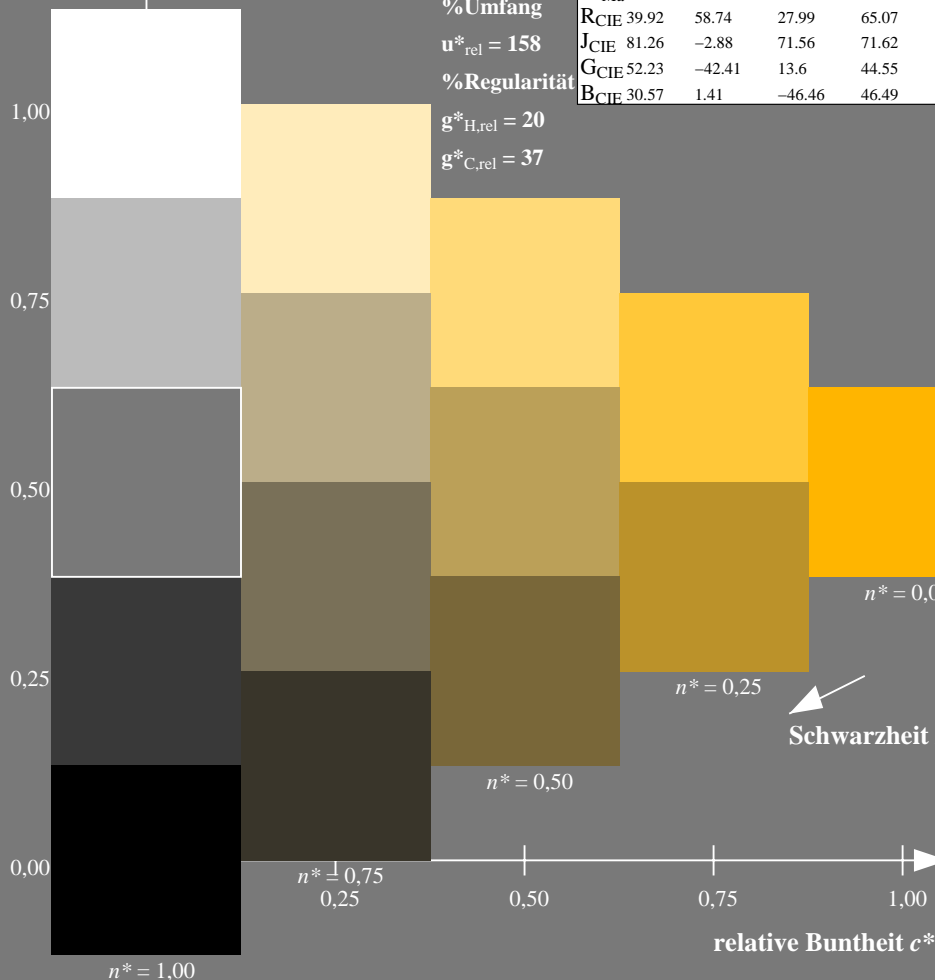
%Regularität

$g^*_{H,rel} = 20$

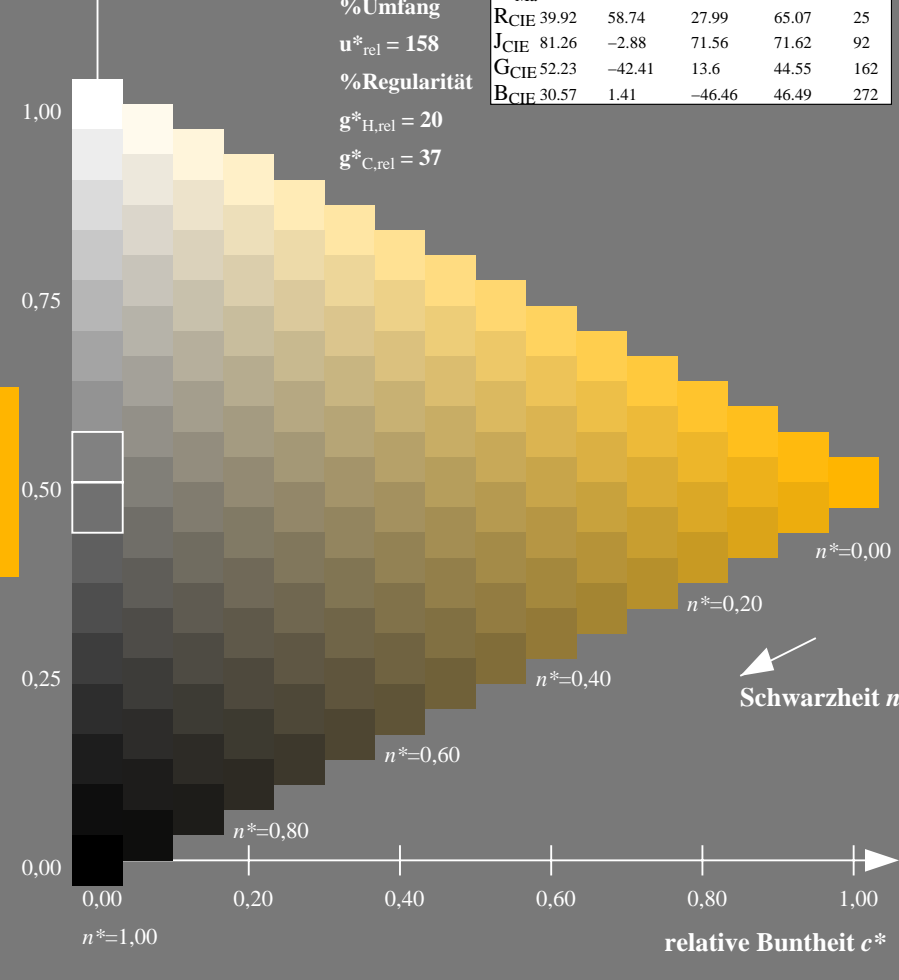
$g^*_{C,rel} = 37$

TLS00a; adaptierte CIELAB-Daten

	$L^*=L^*_a$	a^*_a	b^*_a	$C^*_{ab,a}$	$h^*_{ab,a}$
O _{Ma}	50.5	76.92	64.55	100.42	40
Y _{Ma}	92.66	-20.69	90.75	93.08	103
L _{Ma}	83.63	-82.75	79.9	115.04	136
C _{Ma}	86.88	-46.16	-13.55	48.12	196
V _{Ma}	30.39	76.06	-103.59	128.52	306
M _{Ma}	57.3	94.35	-58.41	110.97	328
N _{Ma}	0.01	0.0	0.0	0.0	0
W _{Ma}	95.41	0.0	0.0	0.0	0
R _{CIE}	39.92	58.74	27.99	65.07	25
J _{CIE}	81.26	-2.88	71.56	71.62	92
G _{CIE}	52.23	-42.41	13.6	44.55	162
B _{CIE}	30.57	1.41	-46.46	46.49	272



OG820-7N-131-7: 5-stufige Reihen für konstanten CIELAB Buntton 92/360 = 0.256 (links)



16-stufige Reihen für konstanten CIELAB Buntton 92/360 = 0.256 (rechts)

OG82: Prüfvorlage 1 nach DIN 33872-2, Buntton J; 1MR, DEEH Eingabe: $rgb \rightarrow rgb^*_{dee}$ setrgbcol
Unterscheidbarkeit von 5- und 16-stufigen Farbreihen
Ausgabe 130-7: $g_p=1.0$; $g_N=1.08$

Eingabe: Farbmatisches Fernseh-Licht-System TLS00a

für Buntton $h^* = lab^*h = 162/360 = 0.451$

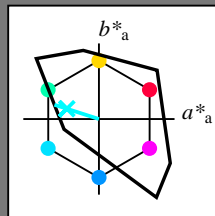
lab^*tch und lab^*nch

D65: Buntton G

LCH*Ma: 86 62 162

olv*Ma: 0.0 1.0 0.65

Dreiecks-Helligkeit t^*



%Umfang

$u^*_{rel} = 158$

%Regularität

$g^*_{H,rel} = 20$

$g^*_{C,rel} = 37$

TLS00a; adaptierte CIELAB-Daten

	$L^*=L^*_a$	a^*_a	b^*_a	$C^*_{ab,a}$	$h^*_{ab,a}$
O _{Ma}	50.5	76.92	64.55	100.42	40
Y _{Ma}	92.66	-20.69	90.75	93.08	103
L _{Ma}	83.63	-82.75	79.9	115.04	136
C _{Ma}	86.88	-46.16	-13.55	48.12	196
V _{Ma}	30.39	76.06	-103.59	128.52	306
M _{Ma}	57.3	94.35	-58.41	110.97	328
N _{Ma}	0.01	0.0	0.0	0.0	0
W _{Ma}	95.41	0.0	0.0	0.0	0
R _{CIE}	39.92	58.74	27.99	65.07	25
J _{CIE}	81.26	-2.88	71.56	71.62	92
G _{CIE}	52.23	-42.41	13.6	44.55	162
B _{CIE}	30.57	1.41	-46.46	46.49	272

Ausgabe: Farbmatisches Fernseh-Licht-System TLS00a

für Buntton $h^* = lab^*h = 162/360 = 0.451$

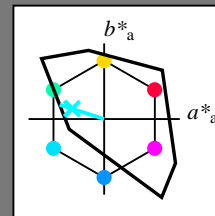
lab^*tch und lab^*nch

D65: Buntton G

LCH*Ma: 86 62 162

olv*Ma: 0.0 1.0 0.65

Dreiecks-Helligkeit t^*



%Umfang

$u^*_{rel} = 158$

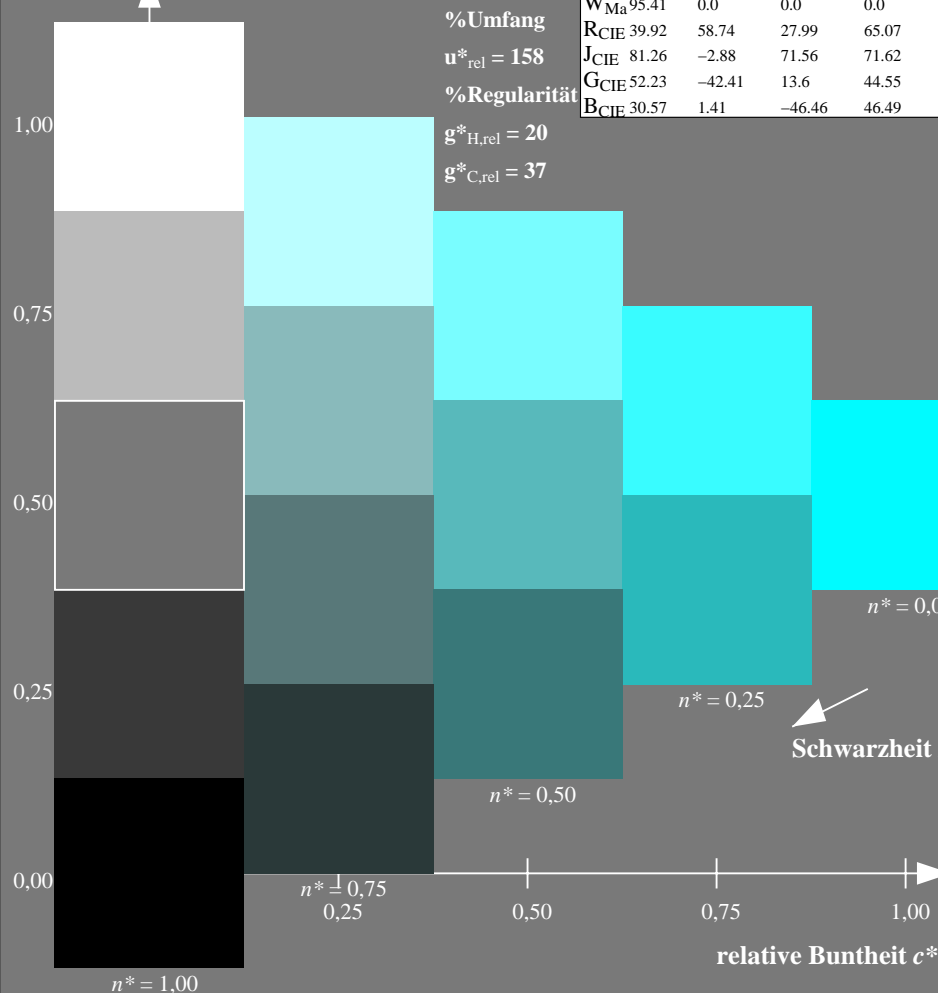
%Regularität

$g^*_{H,rel} = 20$

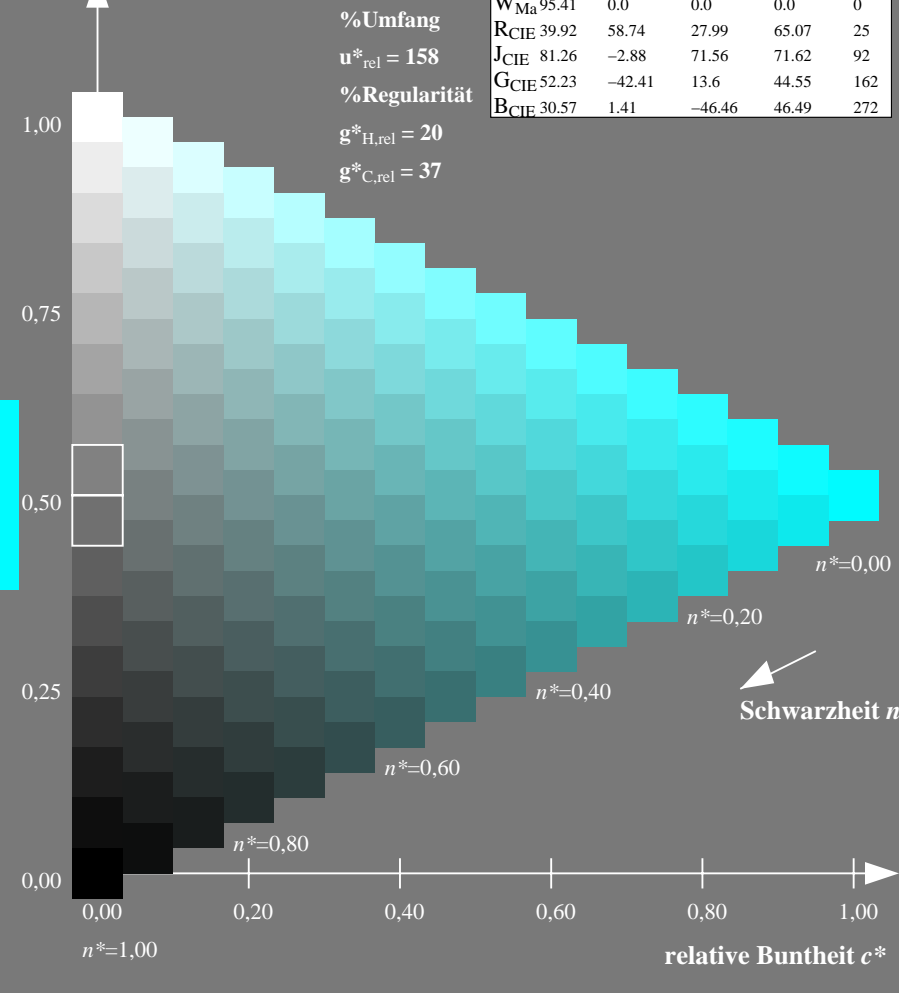
$g^*_{C,rel} = 37$

TLS00a; adaptierte CIELAB-Daten

	$L^*=L^*_a$	a^*_a	b^*_a	$C^*_{ab,a}$	$h^*_{ab,a}$
O _{Ma}	50.5	76.92	64.55	100.42	40
Y _{Ma}	92.66	-20.69	90.75	93.08	103
L _{Ma}	83.63	-82.75	79.9	115.04	136
C _{Ma}	86.88	-46.16	-13.55	48.12	196
V _{Ma}	30.39	76.06	-103.59	128.52	306
M _{Ma}	57.3	94.35	-58.41	110.97	328
N _{Ma}	0.01	0.0	0.0	0.0	0
W _{Ma}	95.41	0.0	0.0	0.0	0
R _{CIE}	39.92	58.74	27.99	65.07	25
J _{CIE}	81.26	-2.88	71.56	71.62	92
G _{CIE}	52.23	-42.41	13.6	44.55	162
B _{CIE}	30.57	1.41	-46.46	46.49	272



OG820-7N-131-8: 5-stufige Reihen für konstanten CIELAB Buntton 162/360 = 0.451 (links)



16-stufige Reihen für konstanten CIELAB Buntton 162/360 = 0.451 (rechts)

OG82: Prüfvorlage 1 nach DIN 33872-2, Buntton G; 1MR, DEEHEingabe: $rgb(->rgb^*_{dee})$ setrgbcold
Unterscheidbarkeit von 5- und 16-stufigen Farbreihen
Ausgabe 130-8: $g_p=1.0$; $g_N=1.08$

Eingabe: Farbmétrisches Fernseh-Licht-System TLS00a

für Buntton $h^* = lab^*h = 272/360 = 0.755$

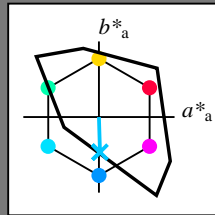
lab^*tch und lab^*nch

D65: Buntton B

LCH*Ma: 65 49 272

olv*Ma: 0.0 0.61 1.0

Dreiecks-Helligkeit t^*



%Umfang

$u^*_{rel} = 158$

%Regularität

$g^*_{H,rel} = 20$

$g^*_{C,rel} = 37$

TLS00a; adaptierte CIELAB-Daten

	$L^*=L^*_a$	a^*_a	b^*_a	$C^*_{ab,a}$	$h^*_{ab,a}$
O _{Ma}	50.5	76.92	64.55	100.42	40
Y _{Ma}	92.66	-20.69	90.75	93.08	103
L _{Ma}	83.63	-82.75	79.9	115.04	136
C _{Ma}	86.88	-46.16	-13.55	48.12	196
V _{Ma}	30.39	76.06	-103.59	128.52	306
M _{Ma}	57.3	94.35	-58.41	110.97	328
N _{Ma}	0.01	0.0	0.0	0.0	0
W _{Ma}	95.41	0.0	0.0	0.0	0
R _{CIE}	39.92	58.74	27.99	65.07	25
J _{CIE}	81.26	-2.88	71.56	71.62	92
G _{CIE}	52.23	-42.41	13.6	44.55	162
B _{CIE}	30.57	1.41	-46.46	46.49	272

Ausgabe: Farbmétrisches Fernseh-Licht-System TLS00a

für Buntton $h^* = lab^*h = 272/360 = 0.755$

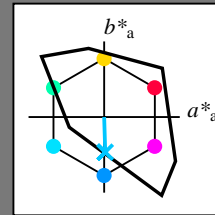
lab^*tch und lab^*nch

D65: Buntton B

LCH*Ma: 65 49 272

olv*Ma: 0.0 0.61 1.0

Dreiecks-Helligkeit t^*



%Umfang

$u^*_{rel} = 158$

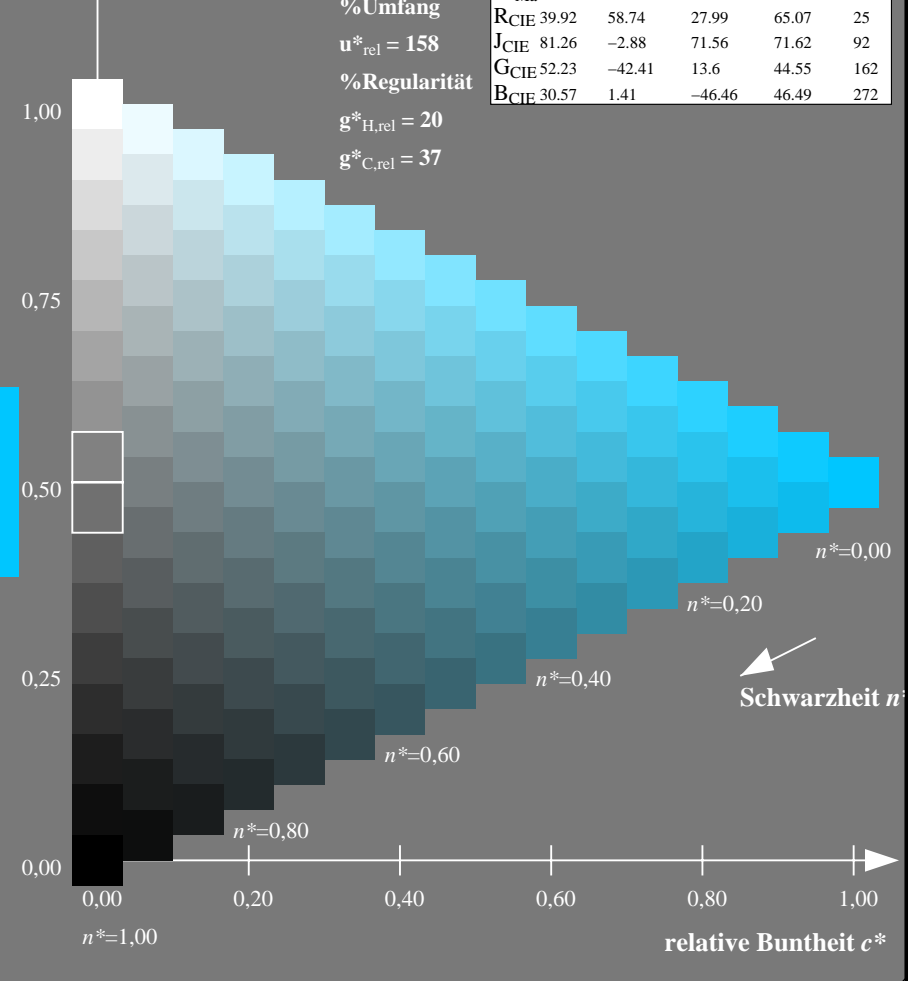
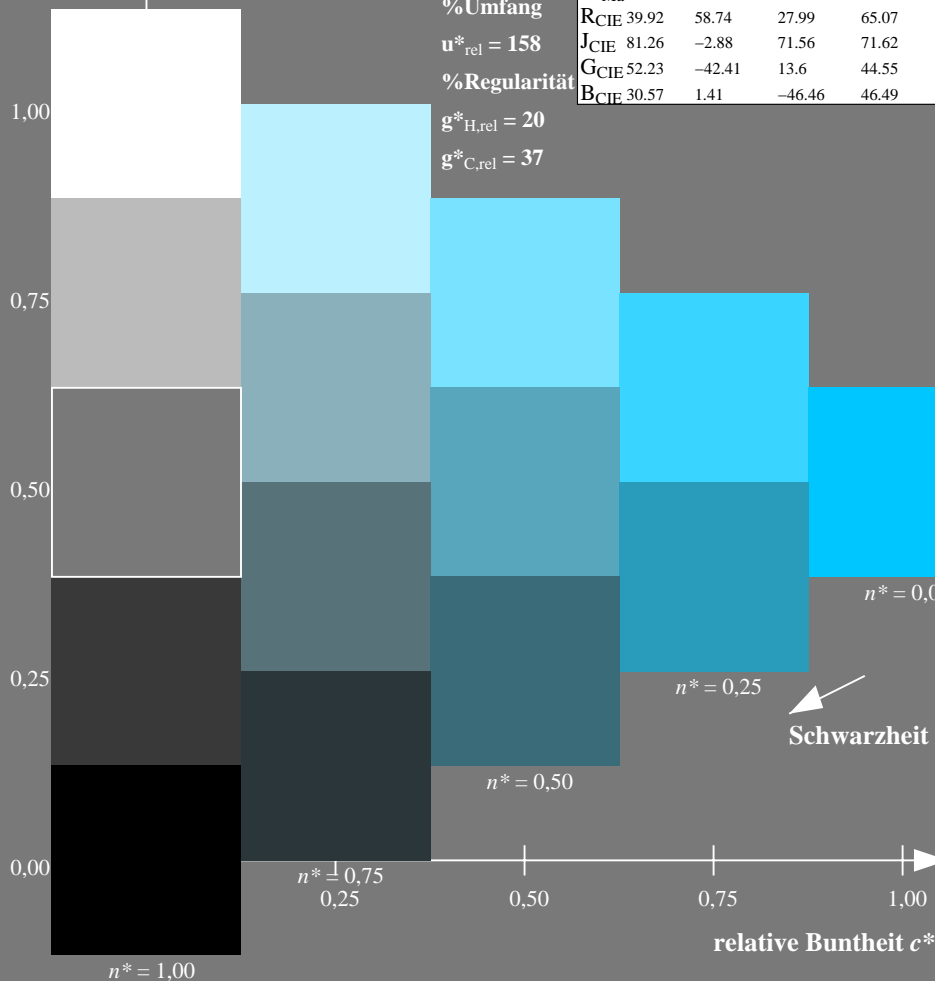
%Regularität

$g^*_{H,rel} = 20$

$g^*_{C,rel} = 37$

TLS00a; adaptierte CIELAB-Daten

	$L^*=L^*_a$	a^*_a	b^*_a	$C^*_{ab,a}$	$h^*_{ab,a}$
O _{Ma}	50.5	76.92	64.55	100.42	40
Y _{Ma}	92.66	-20.69	90.75	93.08	103
L _{Ma}	83.63	-82.75	79.9	115.04	136
C _{Ma}	86.88	-46.16	-13.55	48.12	196
V _{Ma}	30.39	76.06	-103.59	128.52	306
M _{Ma}	57.3	94.35	-58.41	110.97	328
N _{Ma}	0.01	0.0	0.0	0.0	0
W _{Ma}	95.41	0.0	0.0	0.0	0
R _{CIE}	39.92	58.74	27.99	65.07	25
J _{CIE}	81.26	-2.88	71.56	71.62	92
G _{CIE}	52.23	-42.41	13.6	44.55	162
B _{CIE}	30.57	1.41	-46.46	46.49	272



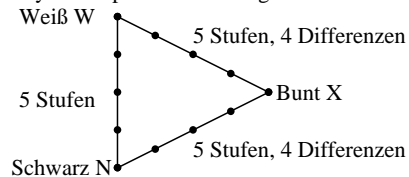
OG820-7N-131-9: 5-stufige Reihen für konstanten CIELAB Buntton 272/360 = 0.755 (links)

16-stufige Reihen für konstanten CIELAB Buntton 272/360 = 0.755 (rechts)

OG82: Prüfvorlage 1 nach DIN 33872-2, Buntton B; 1MR, DEEHEingabe: $rgb \rightarrow rgb^*_{dee}$ setrgbcol
Unterscheidbarkeit von 5- und 16-stufigen Farbreihen
Ausgabe 130-9: $g_p=1.0$; $g_N=1.08$

Unterscheidbarkeit von 5-stufigen Farbreihen (Ja/Nein-Entscheidung)

Layoutbeispiel: drei 5-stufige Farbreihen



Es gibt drei Grundfarben auf jeder Seite:
Schwarz N, Weiß W und Bunt X.
Zehn Seiten enthalten 10 Bunttonebenen
X = OYLCVM und RJGB.
Es gibt maximal 12 unterscheidbare Stufen.

Alle Stufen der drei Serien N-W, W-X und X-N sollen unterscheidbar sein auf **allen** Seiten.
Sind die drei 5-stufigen Reihen auf allen Seiten unterscheidbar? unterstreiche: Ja/Nein

Nur im Fall von Nein: Sind die drei 5-stufigen Reihen auf Seite x von 10 Seiten unterscheidbar?
Unterstreiche Ja/Nein und gib im Fall von Nein die Anzahl unterscheidbarer Stufen an
Seite 1: Ja/Nein, wenn Nein ../12 Stufendifferenzen sind unterscheidbar von O = Orangerot
Seite 2: Ja/Nein, wenn Nein ../12 Stufendifferenzen sind unterscheidbar von Y = Gelb
Seite 3: Ja/Nein, wenn Nein ../12 Stufendifferenzen sind unterscheidbar von L = Laubgrün
Seite 4: Ja/Nein, wenn Nein ../12 Stufendifferenzen sind unterscheidbar von C = Cyanblau
Seite 5: Ja/Nein, wenn Nein ../12 Stufendifferenzen sind unterscheidbar von V = Violettblau
Seite 6: Ja/Nein, wenn Nein ../12 Stufendifferenzen sind unterscheidbar von M = Magentarot
Seite 7: Ja/Nein, wenn Nein ../12 Stufendifferenzen sind unterscheidbar von R = Elementarrot
Seite 8: Ja/Nein, wenn Nein ../12 Stufendifferenzen sind unterscheidbar von J = Elementargelb
Seite 9: Ja/Nein, wenn Nein ../12 Stufendifferenzen sind unterscheidbar von G = Elementargrün
Seite 10: Ja/Nein, wenn Nein ../12 Stufendifferenzen sind unterscheidbar von B = Elementarblau

Summe: ../10 Ja-Seiten und ../120 Stufendifferenzen unterscheidbar

Teil 1

OG820-3N-131-10

Dokumentation von Dateiformat, Hard- und Software für diese Prüfung:

PDF-Datei: http://130.149.60.45/farbmetrik/OG82/OG82L0NP.PDF **unterstreiche Ja/Nein**

PS-Datei: http://130.149.60.45/farbmetrik/OG82/OG82L0NA.PS **oder unterstreiche Ja/Nein**

benutztes Rechner-Betriebssystem:

nur eines von Windows/Mac/Unix/anderes und Version:.....

Die Beurteilung ist für die Geräteausgabe: unterstreiche Monitor/Datenprojektor/Drucker

Geräte-Modell, -Treiber und -Version:.....

Geräteausgabe mit PDF/PS-Datei: unterstreiche PDF-/PS-Datei

Für Geräteausgabe mit PDF-Datei OG82L0NP.PDF:

entweder PDF-Dateitransfer "download, copy" nach PDF-Gerät.....
oder mit Rechnersystem-Interpretation durch "Display-PDF":.....
oder mit Software, z. B. Adobe-Reader/-Acrobat und Version:.....
oder mit Software, z. B. Ghostscript und Version:.....

Für Geräteausgabe mit PS-Datei OG82L0NA.PS:

entweder PS-Dateitransfer "download, copy" nach PS-Gerät.....
oder mit Rechnersystem-Interpretation durch "Display-PS":.....
oder mit Software, z. B. Ghostscript und Version:.....
oder mit Software, z. B. Mac-Yap und Version:.....

Spezielle Anmerkungen:
.....
.....
.....

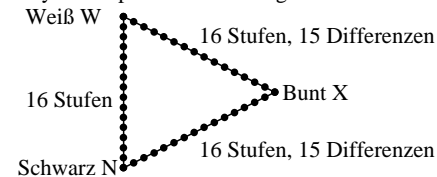
Teil 3

OG820-7N-131-10

OG82: Vordruck A für Prüfvorlage 1 nach DIN 33872-2; 1MR, DEH
Unterscheidbarkeit von Farbstufen (Ja/Nein-Entscheidung) Ausgabe 130-10: $g_P=1.0$; $g_N=1.08$

Unterscheidbarkeit von 16-stufigen Farbreihen (Ja/Nein-Entscheidung)

Layoutbeispiel: drei 16-stufige Farbreihen



Es gibt drei Grundfarben auf jeder Seite:
Schwarz N, Weiß W und Bunt X.
Zehn Seiten enthalten 10 Bunttonebenen
X = OYLCVM und RJGB.
Es gibt maximal 45 unterscheidbare Stufen.

Alle Stufen der drei Serien N-W, W-X und X-N sollen unterscheidbar sein auf **allen** Seiten.
Sind die drei 16-stufigen Reihen auf allen Seiten unterscheidbar? unterstreiche: Ja/Nein

Nur im Fall von Nein: Sind die drei 16-stufigen Reihen auf Seite x von 10 Seiten unterscheidbar?
Unterstreiche Ja/Nein und gib im Fall von Nein die Anzahl unterscheidbarer Stufen an
Seite 1: Ja/Nein, wenn Nein ../45 Stufendifferenzen sind unterscheidbar von O = Orangerot
Seite 2: Ja/Nein, wenn Nein ../45 Stufendifferenzen sind unterscheidbar von Y = Gelb
Seite 3: Ja/Nein, wenn Nein ../45 Stufendifferenzen sind unterscheidbar von L = Laubgrün
Seite 4: Ja/Nein, wenn Nein ../45 Stufendifferenzen sind unterscheidbar von C = Cyanblau
Seite 5: Ja/Nein, wenn Nein ../45 Stufendifferenzen sind unterscheidbar von V = Violettblau
Seite 6: Ja/Nein, wenn Nein ../45 Stufendifferenzen sind unterscheidbar von M = Magentarot
Seite 7: Ja/Nein, wenn Nein ../45 Stufendifferenzen sind unterscheidbar von R = Elementarrot
Seite 8: Ja/Nein, wenn Nein ../45 Stufendifferenzen sind unterscheidbar von J = Elementargelb
Seite 9: Ja/Nein, wenn Nein ../45 Stufendifferenzen sind unterscheidbar von G = Elementargrün
Seite 10: Ja/Nein, wenn Nein ../45 Stufendifferenzen sind unterscheidbar von B = Elementarblau

Summe: ../10 Ja-Seiten und ../450 Stufendifferenzen unterscheidbar

Teil 2

OG821-3N-131-10

Dokumentation der Beurteiler-Farbseigenschaften für diese Prüfung:

Der Beurteiler hat **normales** Farbsehen nach einer Prüfung:
entweder nach DIN 6160:1996 mit Anomalskop nach *Nagel*
oder mit Farbpunkt-Prüftafeln nach *Ishihara*
oder mit, bitte nennen:.....

unterstreiche Ja/Nein
unterstreiche Ja/unbekannt
unterstreiche Ja/unbekannt
unterstreiche Ja/unbekannt

Für visuelle Bewertung der Display(Monitor, Daten-Projektor)-Ausgabe

Büro-Arbeitsplatz-Beleuchtung ist Tageslicht (bedeckter/Nordhimmel)

PDF-Datei: http://130.149.60.45/farbmetrik/OG82/OG82F1P2.PDF

PS-Datei: http://130.149.60.45/farbmetrik/OG82/OG82F1P2.PS

Bild A7-131-2: Kontrastbereich: (>F:0) (F:0) (E:0) (D:0) (C:0) (A:0) (9:0) (7:0) (5:0) (3:0) (<3:0)

vergleiche Normdruckausgabe nach ISO/IEC 15775 mit Bereich F:0

Anmerkung: Bei Tageslichtbürobeleuchtung ist der Kontrastbereich oft:

am Display zwischen: >F:0 und E:0 (Monitor), D:0 und 3:0 (Datenprojektor)

Nur für optionale farbmimetrische Kennzeichnung mit PDF/PS-Dateiausgabe

PDF-Datei: http://130.149.60.45/farbmetrik/OG82/OG82F1P2.PDF

Bild A7-131-2

unterstreiche Ja/Nein

PS-Datei: http://130.149.60.45/farbmetrik/OG82/OG82F1P2.PS

Bild A7-131-2

oder unterstreiche Ja/Nein

Farbmessung und Kennzeichnung für:

CIE-Normlichtart D65, CIE-2-Grad-Beobachter, CIE-45/0-Geometrie

unterstreiche Ja/Nein

Wenn Nein, bitte andere Parameter nennen:

Farbmimetrische Kennzeichnung mit PS-Datei für Farben der Spalten A bis T

Ersatz der CIELAB-Daten in Datei www.ps.bam.de/Dg17/10L/L17g00NP.PS und Transfer

der PS-Datei L17g00NP.PS in PDF-Datei L17g00NP.PDF

unterstreiche Ja/Nein

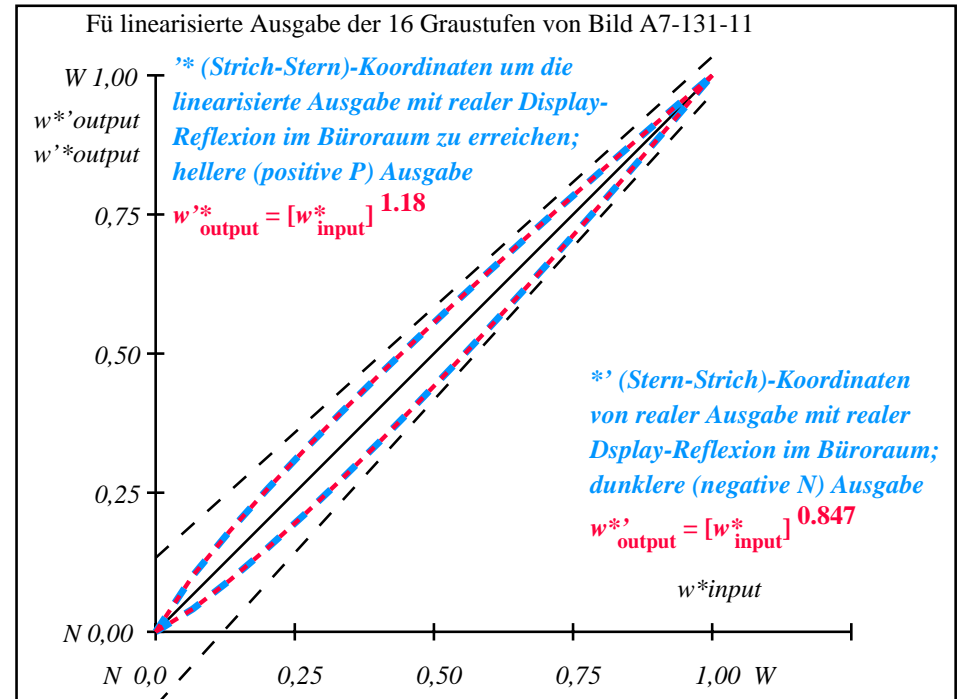
Wenn Nein, bitte andere Methode beschreiben:

Teil 4

OG821-7N-131-10

i	LAB*ref	l*out	LAB*out	LAB*out/c-ref	ΔE*
1	5.69 0.0 0.0	0.0 0.0 0.0	5.69 0.0 0.0	0.0 0.0 0.0	0.01
2	11.67 0.0 0.0	0.04 0.04 0.04	9.36 0.0 0.0	-2.3 0.0 0.0	2.31
3	17.65 0.0 0.0	0.09 0.09 0.09	14.01 0.0 0.0	-3.63 0.0 0.0	3.64
4	23.63 0.0 0.0	0.15 0.15 0.15	19.12 0.0 0.0	-4.5 0.0 0.0	4.51
5	29.62 0.0 0.0	0.21 0.21 0.21	24.55 0.0 0.0	-5.06 0.0 0.0	5.07
6	35.6 0.0 0.0	0.27 0.27 0.27	30.23 0.0 0.0	-5.36 0.0 0.0	5.37
7	41.58 0.0 0.0	0.34 0.34 0.34	36.12 0.0 0.0	-5.45 0.0 0.0	5.46
8	47.56 0.0 0.0	0.41 0.41 0.41	42.19 0.0 0.0	-5.36 0.0 0.0	5.37
9	53.54 0.0 0.0	0.48 0.48 0.48	48.42 0.0 0.0	-5.11 0.0 0.0	5.12
10	59.52 0.0 0.0	0.55 0.55 0.55	54.79 0.0 0.0	-4.72 0.0 0.0	4.73
11	65.5 0.0 0.0	0.62 0.62 0.62	61.29 0.0 0.0	-4.2 0.0 0.0	4.21
12	71.48 0.0 0.0	0.69 0.69 0.69	67.91 0.0 0.0	-3.56 0.0 0.0	3.57
13	77.47 0.0 0.0	0.77 0.77 0.77	74.64 0.0 0.0	-2.82 0.0 0.0	2.83
14	83.45 0.0 0.0	0.84 0.84 0.84	81.47 0.0 0.0	-1.97 0.0 0.0	1.98
15	89.43 0.0 0.0	0.92 0.92 0.92	88.4 0.0 0.0	-1.02 0.0 0.0	1.03
16	95.41 0.0 0.0	1.0 0.0 0.0	95.41 0.0 0.0	0.0 0.0 0.0	0.01
17	5.69 0.0 0.0	0.0 0.0 0.0	5.69 0.0 0.0	0.0 0.0 0.0	0.01
18	28.12 0.0 0.0	0.19 0.19 0.19	23.17 0.0 0.0	-4.94 0.0 0.0	4.95
19	50.55 0.0 0.0	0.44 0.44 0.44	45.29 0.0 0.0	-5.25 0.0 0.0	5.26
20	72.98 0.0 0.0	0.71 0.71 0.71	69.58 0.0 0.0	-3.39 0.0 0.0	3.4
21	95.41 0.0 0.0	1.0 0.0 0.0	95.41 0.0 0.0	0.0 0.0 0.0	0.01
Mittlerer Helligkeitsabstand (16 Stufen)					ΔE* _{CIELAB} = 3.4
Mittlerer Helligkeitsabstand (5 Stufen)					ΔE* _{CIELAB} = 2.7
Mittlerer Farbwiedergabe-Index:					R _{ab,m} = 85

OG820-3N-131-11: File: Measure unknown; Device: Device unknown; Date: Date unknown



OG821-3N-131-11: File: Measure unknown; Device: Device unknown; Date: Date unknown

$L^*/Y_{intended}$ (absolut)	5.7/0.6	11.7/1.4	17.7/2.4	23.6/4.0	29.6/6.1	35.6/8.8	41.6/12.2	47.6/16.5	53.5/21.5	59.5/27.6	65.5/34.7	71.5/42.9	77.5/52.3	83.4/63.0	89.4/75.1	95.4/88.6
$w^* w^* w^*$ setrgb $g_N=1.18$ Nr. und Hex-Code	00;F	01;E	02;D	03;C	04;B	05;A	06;9	07;8	08;7	09;6	10;5	11;4	12;3	13;2	14;1	15;0
$w^*=l^*_{CIELAB, r}$ (relativ)																
$w^*_{intended}$	0.000	0.067	0.133	0.200	0.267	0.333	0.400	0.467	0.533	0.600	0.667	0.733	0.800	0.867	0.933	1.000
w^*_{out}	0.0	0.041	0.093	0.15	0.211	0.273	0.339	0.407	0.476	0.547	0.62	0.693	0.769	0.845	0.921	1.0

OG820-7N, Bild A7-131-11: 16 visuell gleichabständige L^* -Graustufen; PS-Operator: $w^* w^* w^*_{setrgbcolor}$

OG82: Ein-Ausgabe-Beziehung nach ISO 9241-306; 1MR, DEH Eingabe: $rgb \rightarrow rgb^*_{de}$ setrgbcolor
Gesehener Y-Kontrast $Y_W:Y_N=88,9:0,62$; Y_N -Bereich 0,46 to <0,9 Ausgabe 130-11: $g_P=1.0$; $g_N=1.08$

Eingabe: Farbmatisches Fernseh-Licht-System TLS00a

für Buntton $h^* = lab^*h = 40/360 = 0.111$

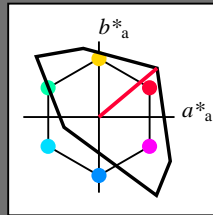
lab^*tch und lab^*nch

D65: Buntton O

LCH*Ma: 51 100 40

olv*Ma: 1.0 0.0 0.0

Dreiecks-Helligkeit t^*



%Umfang

$u^*_{rel} = 158$

%Regularität

$g^*_{H,rel} = 20$

$g^*_{C,rel} = 37$

TLS00a; adaptierte CIELAB-Daten

	$L^*=L^*_a$	a^*_a	b^*_a	$C^*_{ab,a}$	$h^*_{ab,a}$
O _{Ma}	50.5	76.92	64.55	100.42	40
Y _{Ma}	92.66	-20.69	90.75	93.08	103
L _{Ma}	83.63	-82.75	79.9	115.04	136
C _{Ma}	86.88	-46.16	-13.55	48.12	196
V _{Ma}	30.39	76.06	-103.59	128.52	306
M _{Ma}	57.3	94.35	-58.41	110.97	328
N _{Ma}	0.01	0.0	0.0	0.0	0
W _{Ma}	95.41	0.0	0.0	0.0	0
R _{CIE}	39.92	58.74	27.99	65.07	25
J _{CIE}	81.26	-2.88	71.56	71.62	92
G _{CIE}	52.23	-42.41	13.6	44.55	162
B _{CIE}	30.57	1.41	-46.46	46.49	272

Ausgabe: Farbmatisches Fernseh-Licht-System TLS00a

für Buntton $h^* = lab^*h = 40/360 = 0.111$

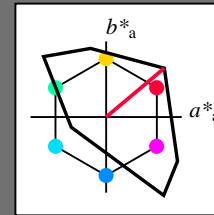
lab^*tch und lab^*nch

D65: Buntton O

LCH*Ma: 51 100 40

olv*Ma: 1.0 0.0 0.0

Dreiecks-Helligkeit t^*



%Umfang

$u^*_{rel} = 158$

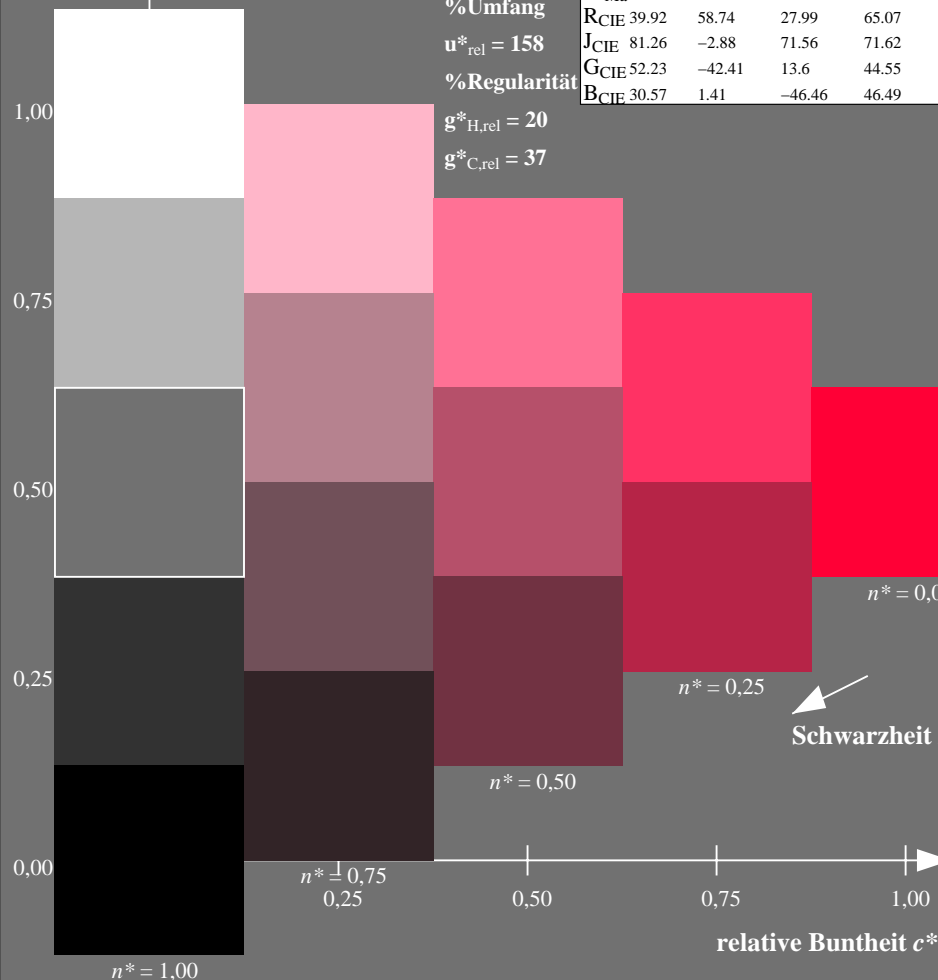
%Regularität

$g^*_{H,rel} = 20$

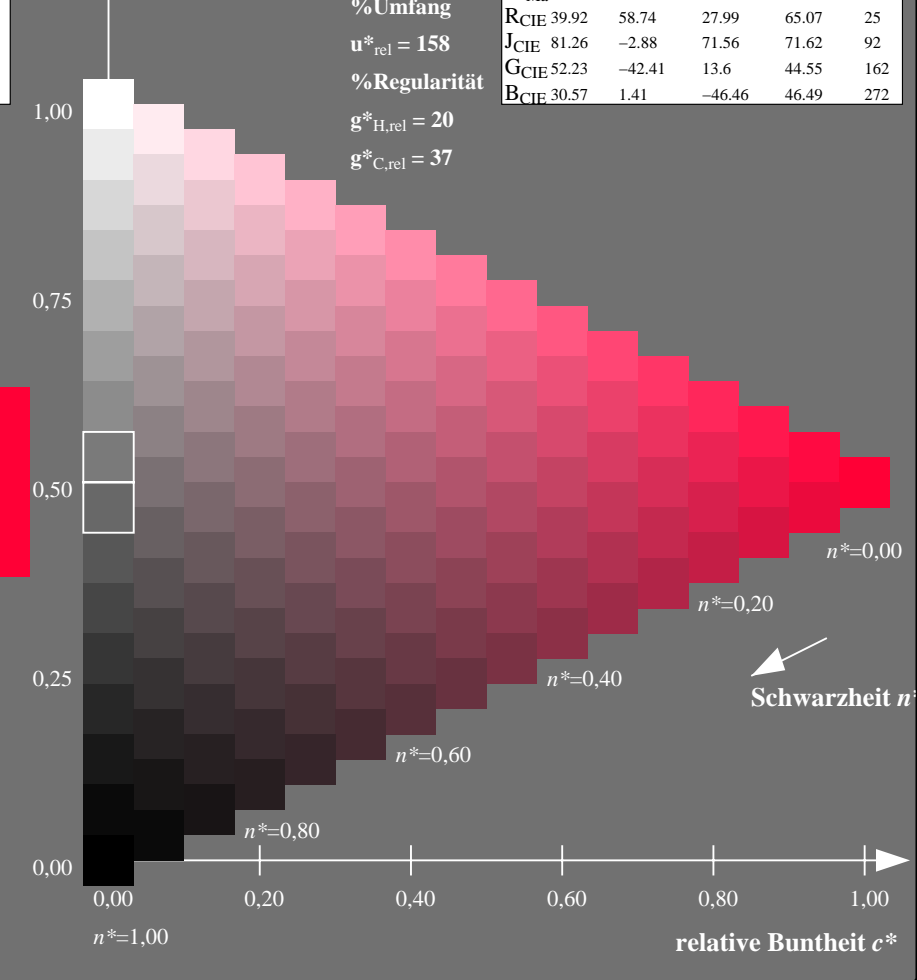
$g^*_{C,rel} = 37$

TLS00a; adaptierte CIELAB-Daten

	$L^*=L^*_a$	a^*_a	b^*_a	$C^*_{ab,a}$	$h^*_{ab,a}$
O _{Ma}	50.5	76.92	64.55	100.42	40
Y _{Ma}	92.66	-20.69	90.75	93.08	103
L _{Ma}	83.63	-82.75	79.9	115.04	136
C _{Ma}	86.88	-46.16	-13.55	48.12	196
V _{Ma}	30.39	76.06	-103.59	128.52	306
M _{Ma}	57.3	94.35	-58.41	110.97	328
N _{Ma}	0.01	0.0	0.0	0.0	0
W _{Ma}	95.41	0.0	0.0	0.0	0
R _{CIE}	39.92	58.74	27.99	65.07	25
J _{CIE}	81.26	-2.88	71.56	71.62	92
G _{CIE}	52.23	-42.41	13.6	44.55	162
B _{CIE}	30.57	1.41	-46.46	46.49	272



OG820-7N-132-0: 5-stufige Reihen für konstanten CIELAB Buntton 40/360 = 0.111 (links)



16-stufige Reihen für konstanten CIELAB Buntton 40/360 = 0.111 (rechts)

OG82: Prüfvorlage 1 nach DIN 33872-2, Buntton O; 1MR, DEH
Unterscheidbarkeit von 5- und 16-stufigen Farbreihen

Eingabe: $rgb \rightarrow rgb^*_{de}$ setrgbcolor
Ausgabe 130-0: $g_p=1.0$; $g_N=1.17$

Eingabe: Farbmétrisches Fernseh-Licht-System TLS00a

für Buntton $h^* = lab^*h = 103/360 = 0.286$

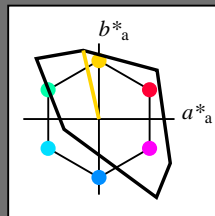
lab^*tch und lab^*nch

D65: Buntton Y

LCH*Ma: 93 93 103

olv*Ma: 1.0 1.0 0.0

Dreiecks-Helligkeit t^*



%Umfang

$u^*_{rel} = 158$

%Regularität

$g^*_{H,rel} = 20$

$g^*_{C,rel} = 37$

TLS00a; adaptierte CIELAB-Daten

	$L^*=L^*_a$	a^*_a	b^*_a	$C^*_{ab,a}$	$h^*_{ab,a}$
O _{Ma}	50.5	76.92	64.55	100.42	40
Y _{Ma}	92.66	-20.69	90.75	93.08	103
L _{Ma}	83.63	-82.75	79.9	115.04	136
C _{Ma}	86.88	-46.16	-13.55	48.12	196
V _{Ma}	30.39	76.06	-103.59	128.52	306
M _{Ma}	57.3	94.35	-58.41	110.97	328
N _{Ma}	0.01	0.0	0.0	0.0	0
W _{Ma}	95.41	0.0	0.0	0.0	0
R _{CIE}	39.92	58.74	27.99	65.07	25
J _{CIE}	81.26	-2.88	71.56	71.62	92
G _{CIE}	52.23	-42.41	13.6	44.55	162
B _{CIE}	30.57	1.41	-46.46	46.49	272

Ausgabe: Farbmétrisches Fernseh-Licht-System TLS00a

für Buntton $h^* = lab^*h = 103/360 = 0.286$

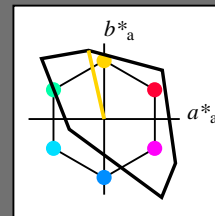
lab^*tch und lab^*nch

D65: Buntton Y

LCH*Ma: 93 93 103

olv*Ma: 1.0 1.0 0.0

Dreiecks-Helligkeit t^*



%Umfang

$u^*_{rel} = 158$

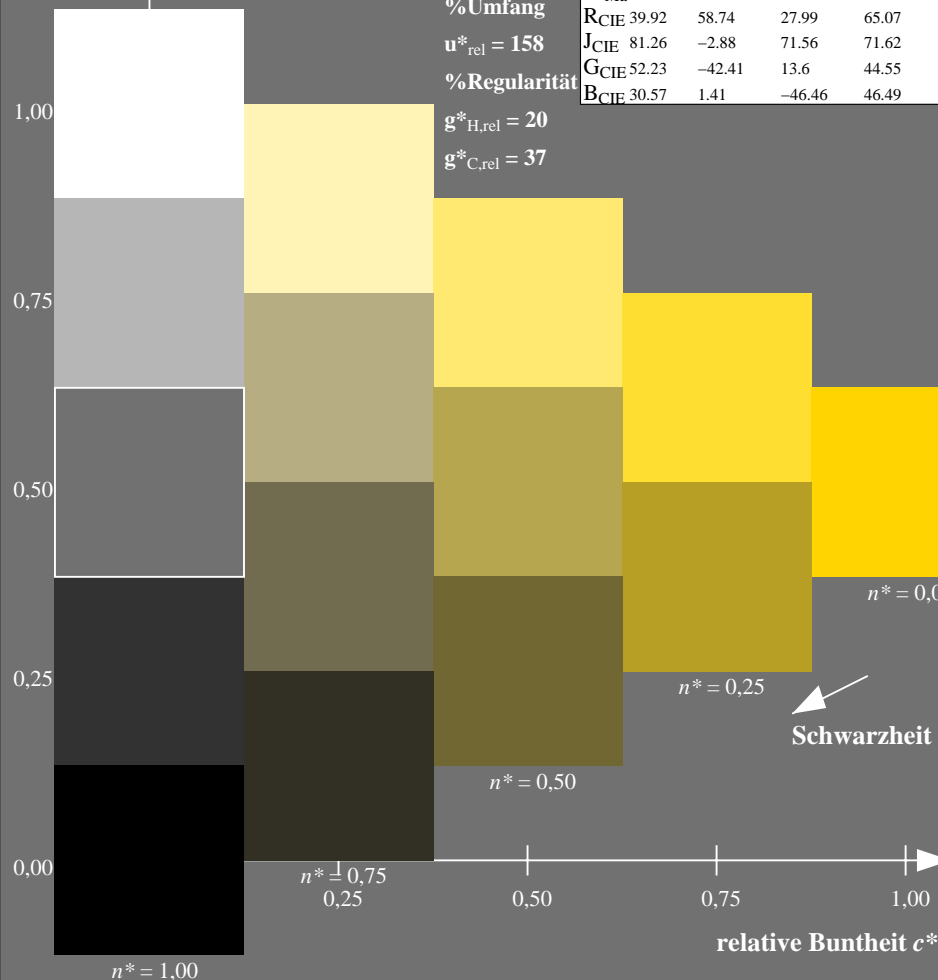
%Regularität

$g^*_{H,rel} = 20$

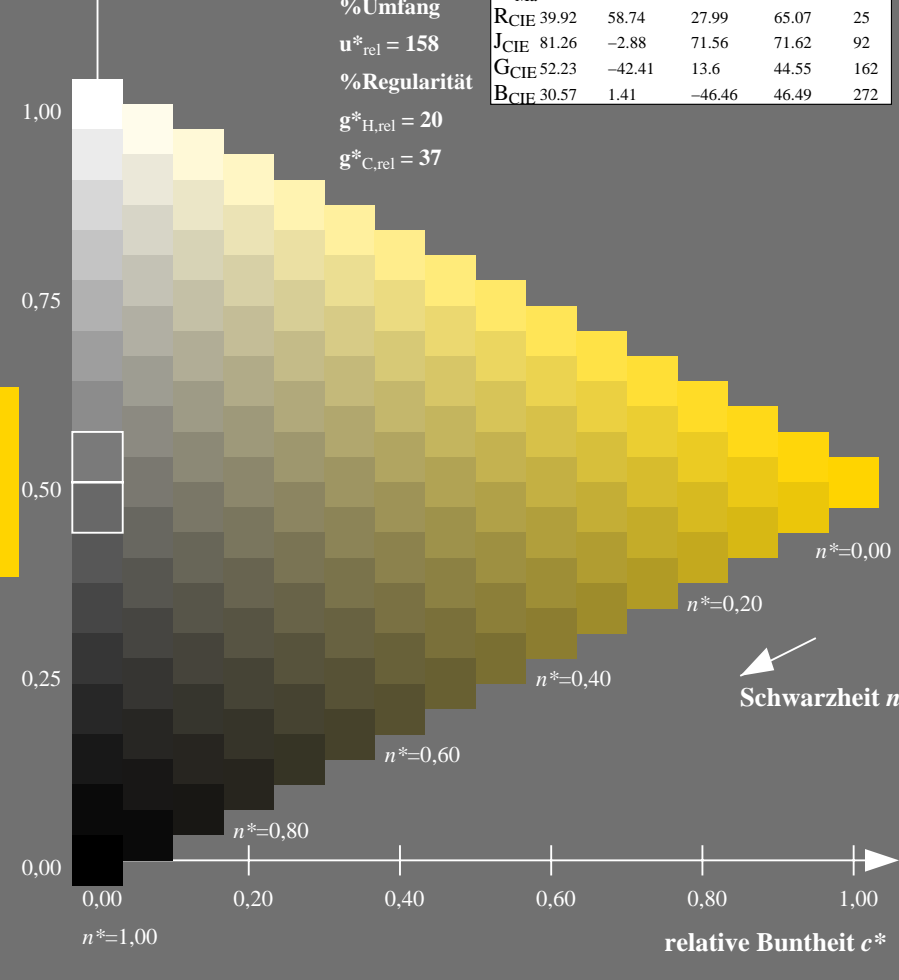
$g^*_{C,rel} = 37$

TLS00a; adaptierte CIELAB-Daten

	$L^*=L^*_a$	a^*_a	b^*_a	$C^*_{ab,a}$	$h^*_{ab,a}$
O _{Ma}	50.5	76.92	64.55	100.42	40
Y _{Ma}	92.66	-20.69	90.75	93.08	103
L _{Ma}	83.63	-82.75	79.9	115.04	136
C _{Ma}	86.88	-46.16	-13.55	48.12	196
V _{Ma}	30.39	76.06	-103.59	128.52	306
M _{Ma}	57.3	94.35	-58.41	110.97	328
N _{Ma}	0.01	0.0	0.0	0.0	0
W _{Ma}	95.41	0.0	0.0	0.0	0
R _{CIE}	39.92	58.74	27.99	65.07	25
J _{CIE}	81.26	-2.88	71.56	71.62	92
G _{CIE}	52.23	-42.41	13.6	44.55	162
B _{CIE}	30.57	1.41	-46.46	46.49	272



OG820-7N-132-1: 5-stufige Reihen für konstanten CIELAB Buntton 103/360 = 0.286 (links)



16-stufige Reihen für konstanten CIELAB Buntton 103/360 = 0.286 (rechts)

OG82: Prüfvorlage 1 nach DIN 33872-2, Buntton Y; 1MR, DEH
Eingabe: $rgb \rightarrow rgb^*_{de}$ setrgbcolor
Ausgabe 130-1: $g_p=1.0$; $g_N=1.17$

Eingabe: Farbmétrisches Fernseh-Licht-System TLS00a

für Buntton $h^* = lab^*h = 136/360 = 0.378$

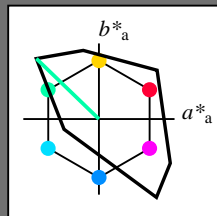
lab^*tch und lab^*nch

D65: Buntton L

LCH*Ma: 84 115 136

olv*Ma: 0.0 1.0 0.0

Dreiecks-Helligkeit t^*



%Umfang

$u^*_{rel} = 158$

%Regularität

$g^*_{H,rel} = 20$

$g^*_{C,rel} = 37$

TLS00a; adaptierte CIELAB-Daten

	$L^*=L^*_a$	a^*_a	b^*_a	$C^*_{ab,a}$	$h^*_{ab,a}$
O _{Ma}	50.5	76.92	64.55	100.42	40
Y _{Ma}	92.66	-20.69	90.75	93.08	103
L _{Ma}	83.63	-82.75	79.9	115.04	136
C _{Ma}	86.88	-46.16	-13.55	48.12	196
V _{Ma}	30.39	76.06	-103.59	128.52	306
M _{Ma}	57.3	94.35	-58.41	110.97	328
N _{Ma}	0.01	0.0	0.0	0.0	0
W _{Ma}	95.41	0.0	0.0	0.0	0
R _{CIE}	39.92	58.74	27.99	65.07	25
J _{CIE}	81.26	-2.88	71.56	71.62	92
G _{CIE}	52.23	-42.41	13.6	44.55	162
B _{CIE}	30.57	1.41	-46.46	46.49	272

Ausgabe: Farbmétrisches Fernseh-Licht-System TLS00a

für Buntton $h^* = lab^*h = 136/360 = 0.378$

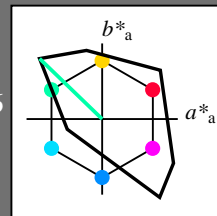
lab^*tch und lab^*nch

D65: Buntton L

LCH*Ma: 84 115 136

olv*Ma: 0.0 1.0 0.0

Dreiecks-Helligkeit t^*



%Umfang

$u^*_{rel} = 158$

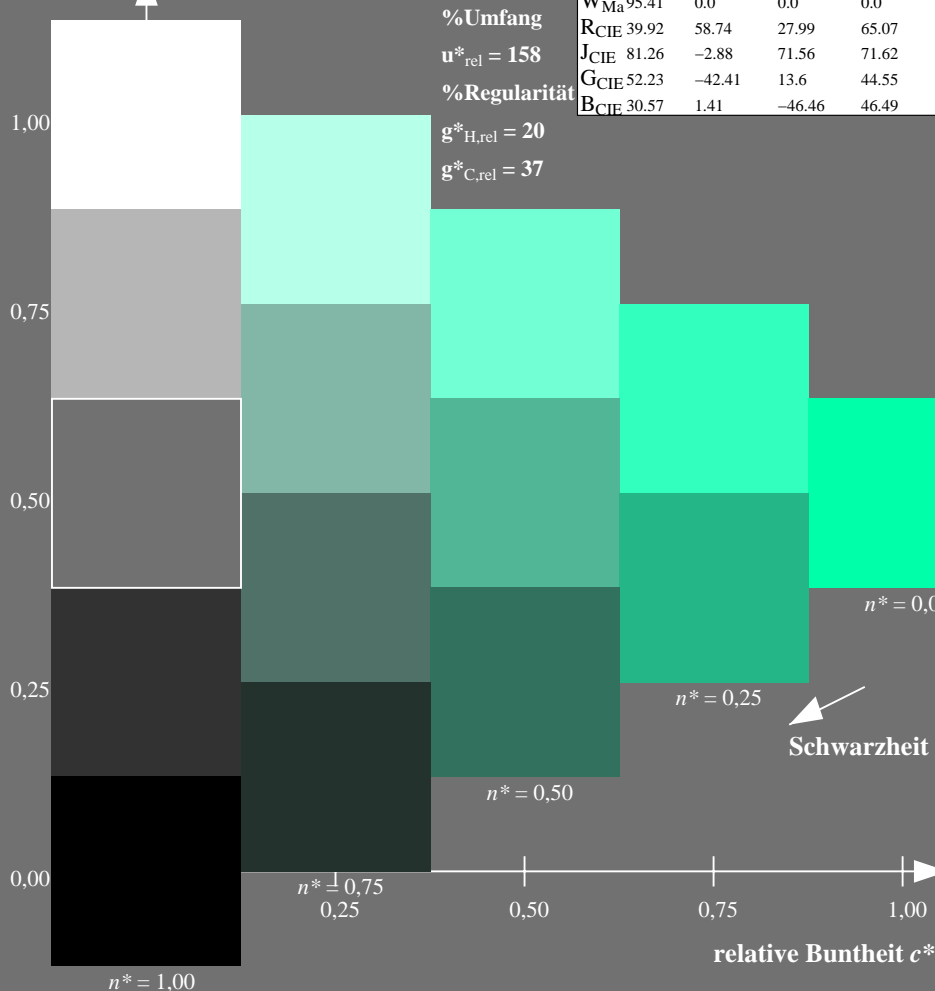
%Regularität

$g^*_{H,rel} = 20$

$g^*_{C,rel} = 37$

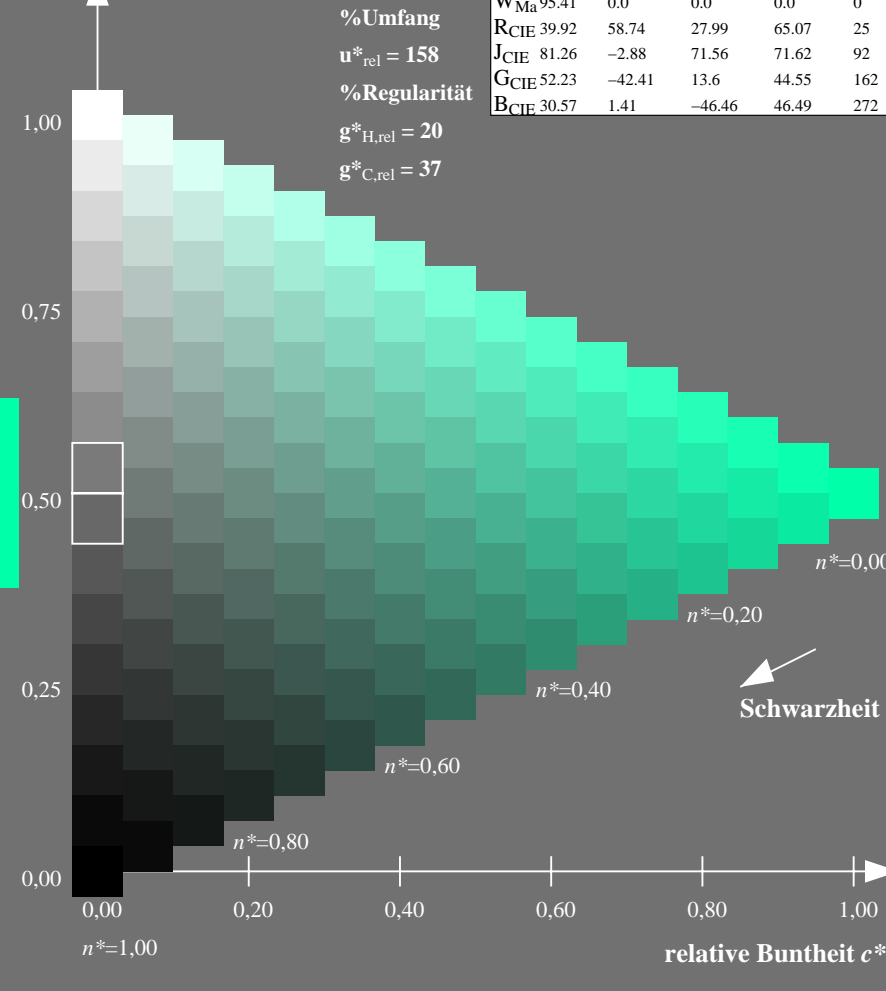
TLS00a; adaptierte CIELAB-Daten

	$L^*=L^*_a$	a^*_a	b^*_a	$C^*_{ab,a}$	$h^*_{ab,a}$
O _{Ma}	50.5	76.92	64.55	100.42	40
Y _{Ma}	92.66	-20.69	90.75	93.08	103
L _{Ma}	83.63	-82.75	79.9	115.04	136
C _{Ma}	86.88	-46.16	-13.55	48.12	196
V _{Ma}	30.39	76.06	-103.59	128.52	306
M _{Ma}	57.3	94.35	-58.41	110.97	328
N _{Ma}	0.01	0.0	0.0	0.0	0
W _{Ma}	95.41	0.0	0.0	0.0	0
R _{CIE}	39.92	58.74	27.99	65.07	25
J _{CIE}	81.26	-2.88	71.56	71.62	92
G _{CIE}	52.23	-42.41	13.6	44.55	162
B _{CIE}	30.57	1.41	-46.46	46.49	272



OG820-7N-132-2: 5-stufige Reihen für konstanten CIELAB Buntton 136/360 = 0.378 (links)

OG82: Prüfvorlage 1 nach DIN 33872-2, Buntton L; 1MR, DEH
Unterscheidbarkeit von 5- und 16-stufigen Farbreihen



16-stufige Reihen für konstanten CIELAB Buntton 136/360 = 0.378 (rechts)

Eingabe: $rgb \rightarrow rgb^*_{de}$ setrgbcolor
Ausgabe 130-2: $g_p=1.0$; $g_N=1.17$

94nliche ISO-Prüfvorlagen: <http://www.ps.bam.de/24705T>, <http://www.ps.bam.de/9241>
Technische Information: <http://www.ps.bam.de/33872> Version 2.1, io=1,1, CIELAB

TUB-Registrierung: 20110801-OG82/OG82L0NA.TXT /.PS TUB-Material: Code=rha4ta
Anwendung für Ausgabe von Displays: Monitor- oder Datenprojektor-System

Eingabe: Farbmétrisches Fernseh-Licht-System TLS00a

für Buntton $h^* = lab^*h = 196/360 = 0.545$

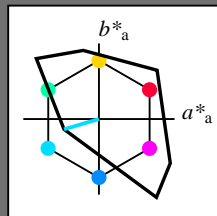
lab^*tch und lab^*nch

D65: Buntton C

LCH*Ma: 87 48 196

olv*Ma: 0.0 1.0 1.0

Dreiecks-Helligkeit t^*



%Umfang

$u^*_{rel} = 158$

%Regularität

$g^*_{H,rel} = 20$

$g^*_{C,rel} = 37$

TLS00a; adaptierte CIELAB-Daten

	$L^*=L^*_a$	a^*_a	b^*_a	$C^*_{ab,a}$	$h^*_{ab,a}$
O _{Ma}	50.5	76.92	64.55	100.42	40
Y _{Ma}	92.66	-20.69	90.75	93.08	103
L _{Ma}	83.63	-82.75	79.9	115.04	136
C _{Ma}	86.88	-46.16	-13.55	48.12	196
V _{Ma}	30.39	76.06	-103.59	128.52	306
M _{Ma}	57.3	94.35	-58.41	110.97	328
N _{Ma}	0.01	0.0	0.0	0.0	0
W _{Ma}	95.41	0.0	0.0	0.0	0
R _{CIE}	39.92	58.74	27.99	65.07	25
J _{CIE}	81.26	-2.88	71.56	71.62	92
G _{CIE}	52.23	-42.41	13.6	44.55	162
B _{CIE}	30.57	1.41	-46.46	46.49	272

Ausgabe: Farbmétrisches Fernseh-Licht-System TLS00a

für Buntton $h^* = lab^*h = 196/360 = 0.545$

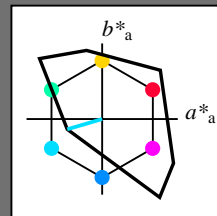
lab^*tch und lab^*nch

D65: Buntton C

LCH*Ma: 87 48 196

olv*Ma: 0.0 1.0 1.0

Dreiecks-Helligkeit t^*



%Umfang

$u^*_{rel} = 158$

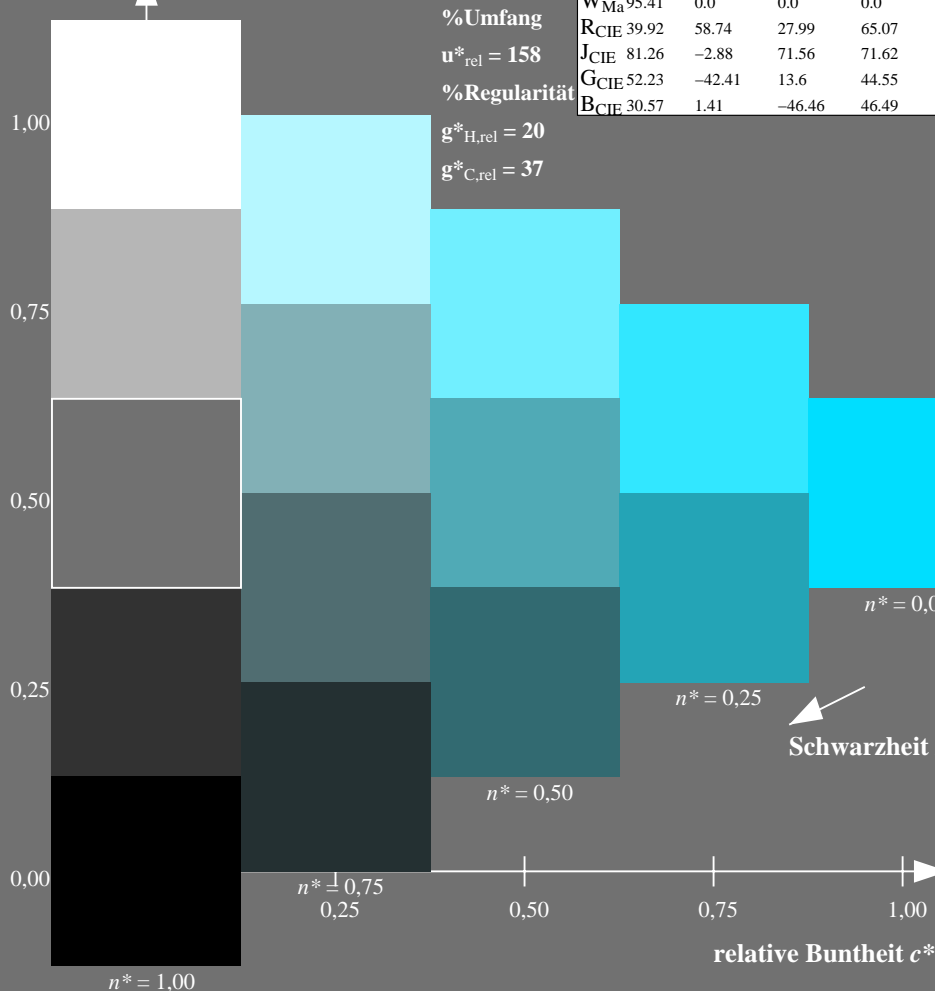
%Regularität

$g^*_{H,rel} = 20$

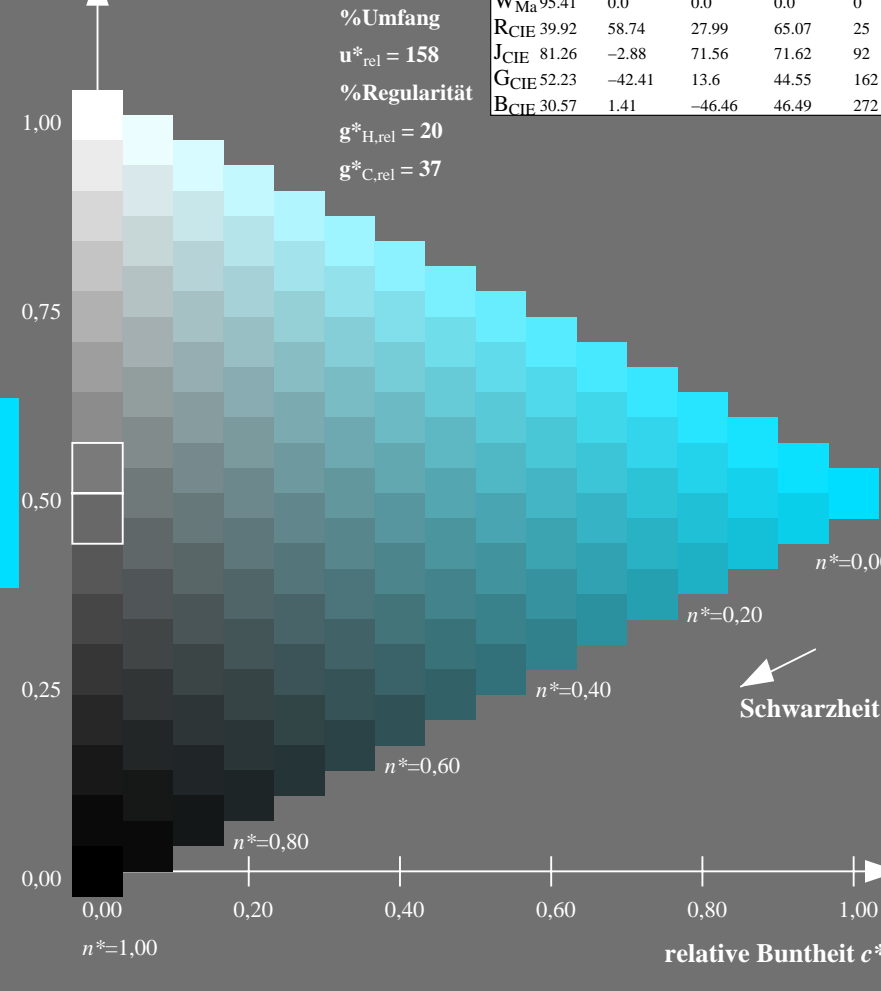
$g^*_{C,rel} = 37$

TLS00a; adaptierte CIELAB-Daten

	$L^*=L^*_a$	a^*_a	b^*_a	$C^*_{ab,a}$	$h^*_{ab,a}$
O _{Ma}	50.5	76.92	64.55	100.42	40
Y _{Ma}	92.66	-20.69	90.75	93.08	103
L _{Ma}	83.63	-82.75	79.9	115.04	136
C _{Ma}	86.88	-46.16	-13.55	48.12	196
V _{Ma}	30.39	76.06	-103.59	128.52	306
M _{Ma}	57.3	94.35	-58.41	110.97	328
N _{Ma}	0.01	0.0	0.0	0.0	0
W _{Ma}	95.41	0.0	0.0	0.0	0
R _{CIE}	39.92	58.74	27.99	65.07	25
J _{CIE}	81.26	-2.88	71.56	71.62	92
G _{CIE}	52.23	-42.41	13.6	44.55	162
B _{CIE}	30.57	1.41	-46.46	46.49	272



OG820-7N-132-3: 5-stufige Reihen für konstanten CIELAB Buntton 196/360 = 0.545 (links)



16-stufige Reihen für konstanten CIELAB Buntton 196/360 = 0.545 (rechts)

OG82: Prüfvorlage 1 nach DIN 33872-2, Buntton C; 1MR, DEH
Eingabe: rgb ($\rightarrow rgb^*_{de}$) $setrgbcolor$
Ausgabe 130-3: $g_p=1.0$; $g_N=1.17$

Eingabe: Farbmétrisches Fernseh-Licht-System TLS00a

für Buntton $h^* = lab^*h = 306/360 = 0.851$

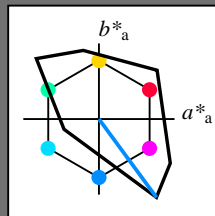
lab^*tch und lab^*nch

D65: Buntton V

LCH*Ma: 30 129 306

olv*Ma: 0.0 0.0 1.0

Dreiecks-Helligkeit t^*



%Umfang

$u^*_{rel} = 158$

%Regularität

$g^*_{H,rel} = 20$

$g^*_{C,rel} = 37$

TLS00a; adaptierte CIELAB-Daten

	$L^*=L^*_a$	a^*_a	b^*_a	$C^*_{ab,a}$	$h^*_{ab,a}$
O _{Ma}	50.5	76.92	64.55	100.42	40
Y _{Ma}	92.66	-20.69	90.75	93.08	103
L _{Ma}	83.63	-82.75	79.9	115.04	136
C _{Ma}	86.88	-46.16	-13.55	48.12	196
V _{Ma}	30.39	76.06	-103.59	128.52	306
M _{Ma}	57.3	94.35	-58.41	110.97	328
N _{Ma}	0.01	0.0	0.0	0.0	0
W _{Ma}	95.41	0.0	0.0	0.0	0
R _{CIE}	39.92	58.74	27.99	65.07	25
J _{CIE}	81.26	-2.88	71.56	71.62	92
G _{CIE}	52.23	-42.41	13.6	44.55	162
B _{CIE}	30.57	1.41	-46.46	46.49	272

Ausgabe: Farbmétrisches Fernseh-Licht-System TLS00a

für Buntton $h^* = lab^*h = 306/360 = 0.851$

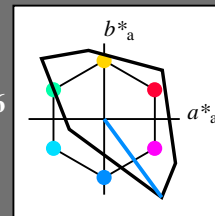
lab^*tch und lab^*nch

D65: Buntton V

LCH*Ma: 30 129 306

olv*Ma: 0.0 0.0 1.0

Dreiecks-Helligkeit t^*



%Umfang

$u^*_{rel} = 158$

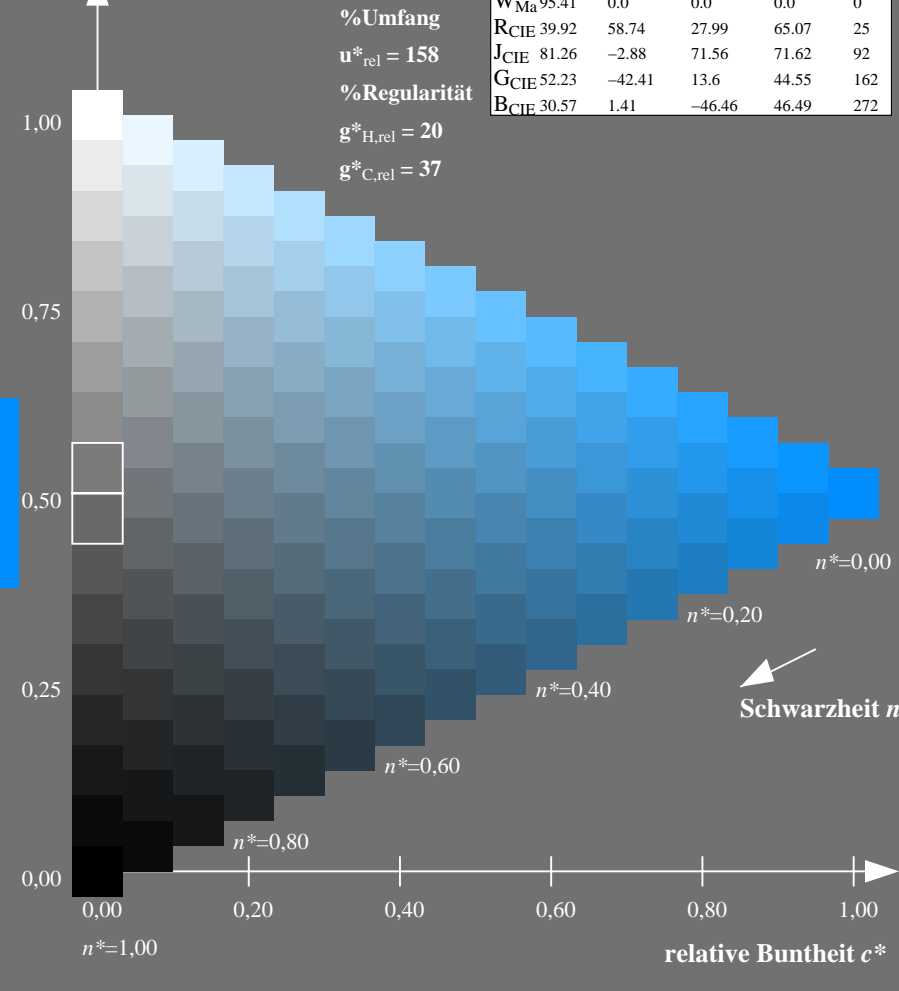
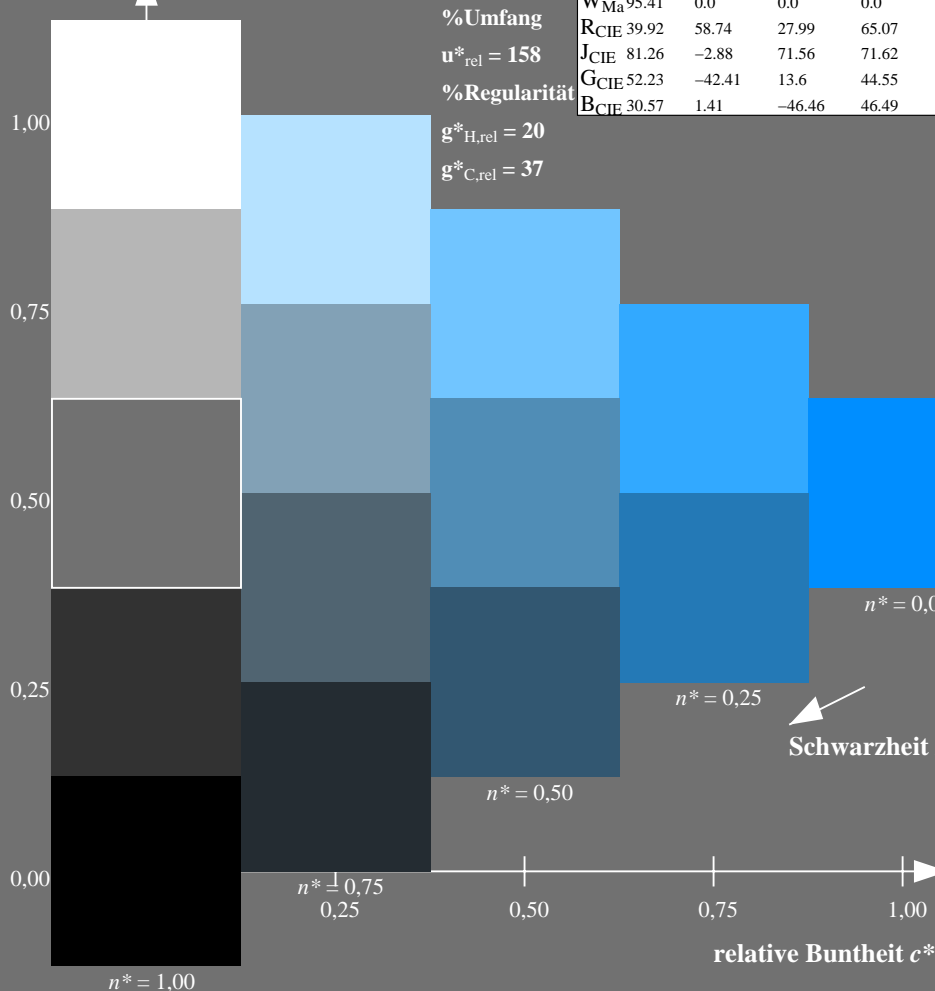
%Regularität

$g^*_{H,rel} = 20$

$g^*_{C,rel} = 37$

TLS00a; adaptierte CIELAB-Daten

	$L^*=L^*_a$	a^*_a	b^*_a	$C^*_{ab,a}$	$h^*_{ab,a}$
O _{Ma}	50.5	76.92	64.55	100.42	40
Y _{Ma}	92.66	-20.69	90.75	93.08	103
L _{Ma}	83.63	-82.75	79.9	115.04	136
C _{Ma}	86.88	-46.16	-13.55	48.12	196
V _{Ma}	30.39	76.06	-103.59	128.52	306
M _{Ma}	57.3	94.35	-58.41	110.97	328
N _{Ma}	0.01	0.0	0.0	0.0	0
W _{Ma}	95.41	0.0	0.0	0.0	0
R _{CIE}	39.92	58.74	27.99	65.07	25
J _{CIE}	81.26	-2.88	71.56	71.62	92
G _{CIE}	52.23	-42.41	13.6	44.55	162
B _{CIE}	30.57	1.41	-46.46	46.49	272



OG820-7N-132-4: 5-stufige Reihen für konstanten CIELAB Buntton 306/360 = 0.851 (links)

16-stufige Reihen für konstanten CIELAB Buntton 306/360 = 0.851 (rechts)

OG82: Prüfvorlage 1 nach DIN 33872-2, Buntton V; 1MR, DEH
Unterscheidbarkeit von 5- und 16-stufigen Farbreihen

Eingabe: $rgb (-> rgb^*_{de})$ setrgbcolor
Ausgabe 130-4: $g_p=1.0$; $g_N=1.17$

Eingabe: Farbmétrisches Fernseh-Licht-System TLS00a

für Buntton $h^* = lab^*h = 328/360 = 0.912$

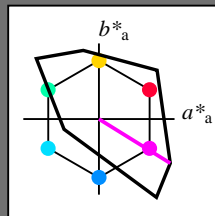
lab^*tch und lab^*nch

D65: Buntton M

LCH*Ma: 57 111 328

olv*Ma: 1.0 0.0 1.0

Dreiecks-Helligkeit t^*



%Umfang

$u^*_{rel} = 158$

%Regularität

$g^*_{H,rel} = 20$

$g^*_{C,rel} = 37$

TLS00a; adaptierte CIELAB-Daten

	$L^*=L^*_a$	a^*_a	b^*_a	$C^*_{ab,a}$	$h^*_{ab,a}$
O _{Ma}	50.5	76.92	64.55	100.42	40
Y _{Ma}	92.66	-20.69	90.75	93.08	103
L _{Ma}	83.63	-82.75	79.9	115.04	136
C _{Ma}	86.88	-46.16	-13.55	48.12	196
V _{Ma}	30.39	76.06	-103.59	128.52	306
M _{Ma}	57.3	94.35	-58.41	110.97	328
N _{Ma}	0.01	0.0	0.0	0.0	0
W _{Ma}	95.41	0.0	0.0	0.0	0
R _{CIE}	39.92	58.74	27.99	65.07	25
J _{CIE}	81.26	-2.88	71.56	71.62	92
G _{CIE}	52.23	-42.41	13.6	44.55	162
B _{CIE}	30.57	1.41	-46.46	46.49	272

Ausgabe: Farbmétrisches Fernseh-Licht-System TLS00a

für Buntton $h^* = lab^*h = 328/360 = 0.912$

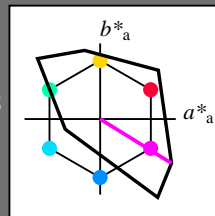
lab^*tch und lab^*nch

D65: Buntton M

LCH*Ma: 57 111 328

olv*Ma: 1.0 0.0 1.0

Dreiecks-Helligkeit t^*



%Umfang

$u^*_{rel} = 158$

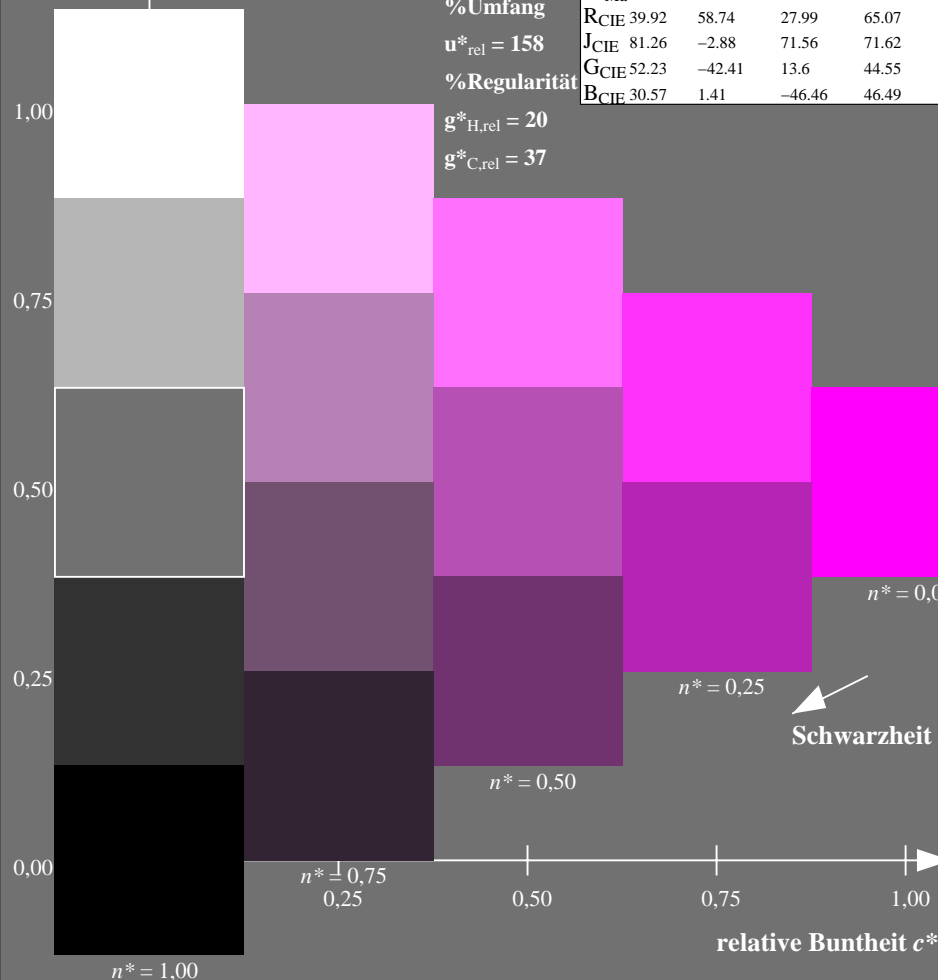
%Regularität

$g^*_{H,rel} = 20$

$g^*_{C,rel} = 37$

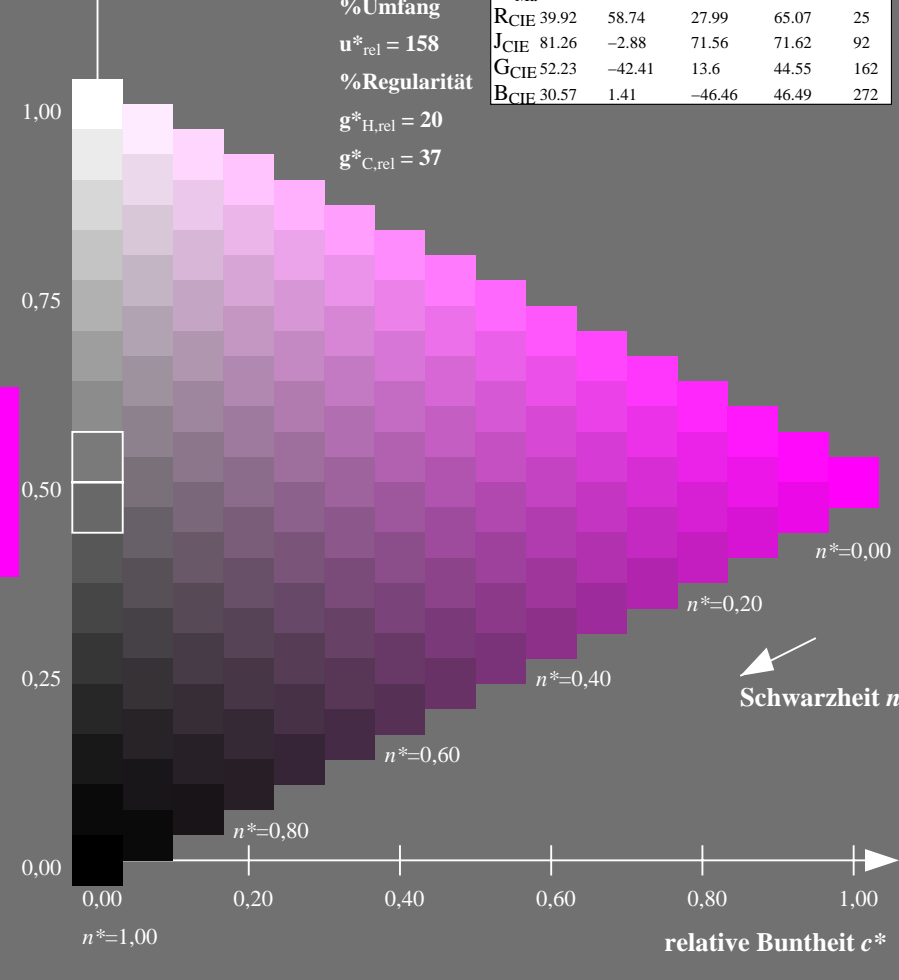
TLS00a; adaptierte CIELAB-Daten

	$L^*=L^*_a$	a^*_a	b^*_a	$C^*_{ab,a}$	$h^*_{ab,a}$
O _{Ma}	50.5	76.92	64.55	100.42	40
Y _{Ma}	92.66	-20.69	90.75	93.08	103
L _{Ma}	83.63	-82.75	79.9	115.04	136
C _{Ma}	86.88	-46.16	-13.55	48.12	196
V _{Ma}	30.39	76.06	-103.59	128.52	306
M _{Ma}	57.3	94.35	-58.41	110.97	328
N _{Ma}	0.01	0.0	0.0	0.0	0
W _{Ma}	95.41	0.0	0.0	0.0	0
R _{CIE}	39.92	58.74	27.99	65.07	25
J _{CIE}	81.26	-2.88	71.56	71.62	92
G _{CIE}	52.23	-42.41	13.6	44.55	162
B _{CIE}	30.57	1.41	-46.46	46.49	272



OG820-7N-132-5: 5-stufige Reihen für konstanten CIELAB Buntton 328/360 = 0.912 (links)

OG82: Prüfvorlage 1 nach DIN 33872-2, Buntton M; 1MR, DEH Eingabe: $rgb \rightarrow rgb^*_{de}$ setrgbcolor
Unterscheidbarkeit von 5- und 16-stufigen Farbreihen



16-stufige Reihen für konstanten CIELAB Buntton 328/360 = 0.912 (rechts)

Ausgabe 130-5: $g_p=1.0$; $g_N=1.17$

94nliche ISO-Prüfvorlagen: <http://www.ps.bam.de/24705T>, <http://www.ps.bam.de/9241>
Technische Information: <http://www.ps.bam.de/33872> Version 2.1, io=1,1, CIELAB

TUB-Registrierung: 20110801-OG82/OG82L0NA.TXT /.PS TUB-Material: Code=rha4ta
Anwendung für Ausgabe von Displays: Monitor- oder Datenprojektor-System

Eingabe: Farbmatisches Fernseh-Licht-System TLS00a

für Buntton $h^* = lab^*h = 25/360 = 0.071$

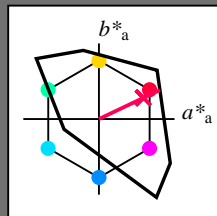
lab^*tch und lab^*nch

D65: Buntton R

LCH*Ma: 52 89 25

olv*Ma: 1.0 0.0 0.21

Dreiecks-Helligkeit t^*



%Umfang

$u^*_{rel} = 158$

%Regularität

$g^*_{H,rel} = 20$

$g^*_{C,rel} = 37$

TLS00a; adaptierte CIELAB-Daten

	$L^*=L^*_a$	a^*_a	b^*_a	$C^*_{ab,a}$	$h^*_{ab,a}$
O _{Ma}	50.5	76.92	64.55	100.42	40
Y _{Ma}	92.66	-20.69	90.75	93.08	103
L _{Ma}	83.63	-82.75	79.9	115.04	136
C _{Ma}	86.88	-46.16	-13.55	48.12	196
V _{Ma}	30.39	76.06	-103.59	128.52	306
M _{Ma}	57.3	94.35	-58.41	110.97	328
N _{Ma}	0.01	0.0	0.0	0.0	0
W _{Ma}	95.41	0.0	0.0	0.0	0
R _{CIE}	39.92	58.74	27.99	65.07	25
J _{CIE}	81.26	-2.88	71.56	71.62	92
G _{CIE}	52.23	-42.41	13.6	44.55	162
B _{CIE}	30.57	1.41	-46.46	46.49	272

Ausgabe: Farbmatisches Fernseh-Licht-System TLS00a

für Buntton $h^* = lab^*h = 25/360 = 0.071$

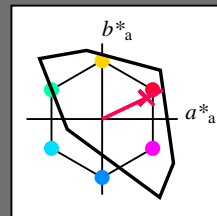
lab^*tch und lab^*nch

D65: Buntton R

LCH*Ma: 52 89 25

olv*Ma: 1.0 0.0 0.21

Dreiecks-Helligkeit t^*



%Umfang

$u^*_{rel} = 158$

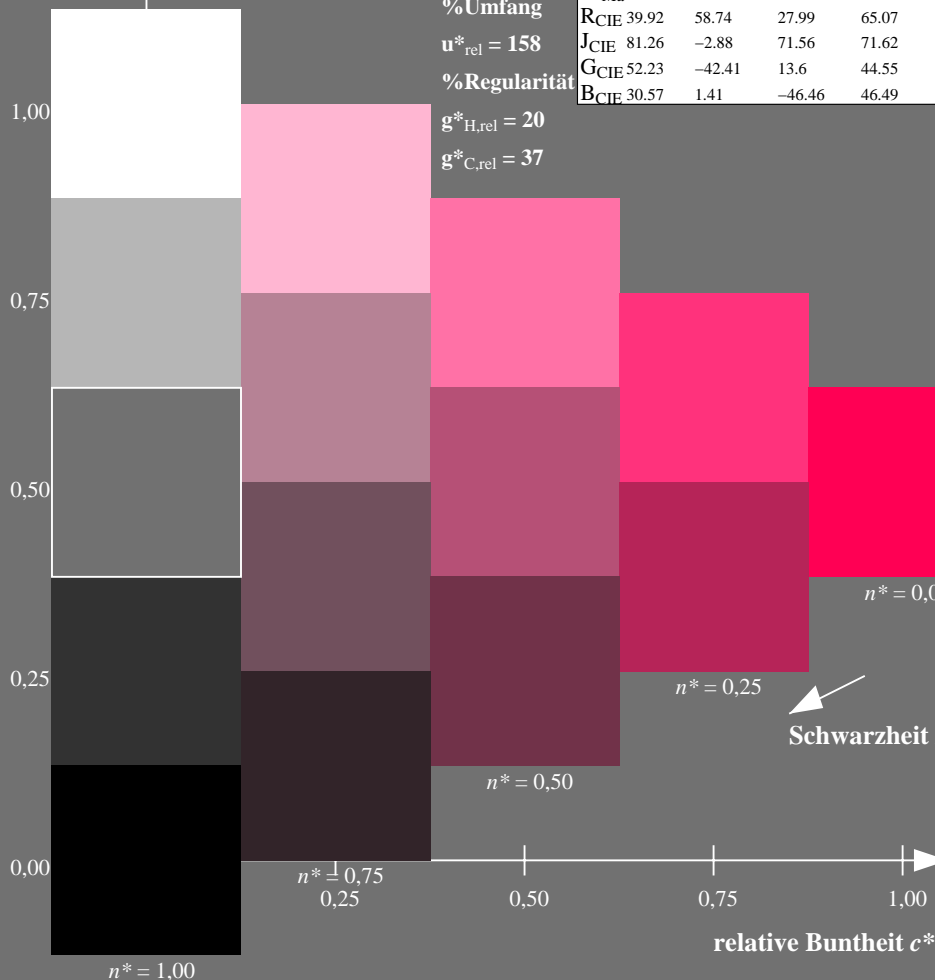
%Regularität

$g^*_{H,rel} = 20$

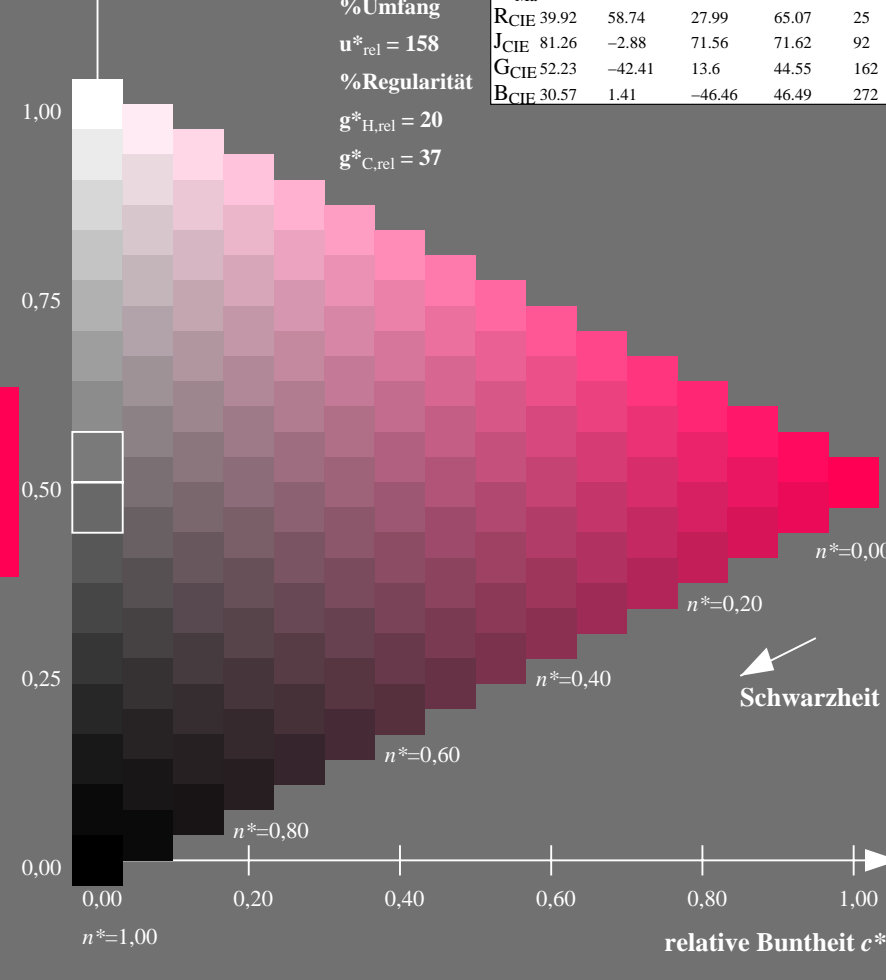
$g^*_{C,rel} = 37$

TLS00a; adaptierte CIELAB-Daten

	$L^*=L^*_a$	a^*_a	b^*_a	$C^*_{ab,a}$	$h^*_{ab,a}$
O _{Ma}	50.5	76.92	64.55	100.42	40
Y _{Ma}	92.66	-20.69	90.75	93.08	103
L _{Ma}	83.63	-82.75	79.9	115.04	136
C _{Ma}	86.88	-46.16	-13.55	48.12	196
V _{Ma}	30.39	76.06	-103.59	128.52	306
M _{Ma}	57.3	94.35	-58.41	110.97	328
N _{Ma}	0.01	0.0	0.0	0.0	0
W _{Ma}	95.41	0.0	0.0	0.0	0
R _{CIE}	39.92	58.74	27.99	65.07	25
J _{CIE}	81.26	-2.88	71.56	71.62	92
G _{CIE}	52.23	-42.41	13.6	44.55	162
B _{CIE}	30.57	1.41	-46.46	46.49	272



OG820-7N-132-6: 5-stufige Reihen für konstanten CIELAB Buntton 25/360 = 0.071 (links)



16-stufige Reihen für konstanten CIELAB Buntton 25/360 = 0.071 (rechts)

OG82: Prüfvorlage 1 nach DIN 33872-2, Buntton R; 1MR, DEEHEingabe: rgb (->rgb*dee) setrgbcold
Ausgabe 130-6: $g_p=1.0$; $g_N=1.17$

Eingabe: Farbmatisches Fernseh-Licht-System TLS00a

für Buntton $h^* = lab^*h = 92/360 = 0.256$

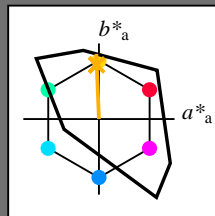
lab^*tch und lab^*nch

D65: Buntton J

LCH*Ma: 85 86 92

olv*Ma: 1.0 0.82 0.0

Dreiecks-Helligkeit t^*



%Umfang

$u^*_{rel} = 158$

%Regularität

$g^*_{H,rel} = 20$

$g^*_{C,rel} = 37$

TLS00a; adaptierte CIELAB-Daten

	$L^*=L^*_a$	a^*_a	b^*_a	$C^*_{ab,a}$	$h^*_{ab,a}$
O _{Ma}	50.5	76.92	64.55	100.42	40
Y _{Ma}	92.66	-20.69	90.75	93.08	103
L _{Ma}	83.63	-82.75	79.9	115.04	136
C _{Ma}	86.88	-46.16	-13.55	48.12	196
V _{Ma}	30.39	76.06	-103.59	128.52	306
M _{Ma}	57.3	94.35	-58.41	110.97	328
N _{Ma}	0.01	0.0	0.0	0.0	0
W _{Ma}	95.41	0.0	0.0	0.0	0
R _{CIE}	39.92	58.74	27.99	65.07	25
J _{CIE}	81.26	-2.88	71.56	71.62	92
G _{CIE}	52.23	-42.41	13.6	44.55	162
B _{CIE}	30.57	1.41	-46.46	46.49	272

Ausgabe: Farbmatisches Fernseh-Licht-System TLS00a

für Buntton $h^* = lab^*h = 92/360 = 0.256$

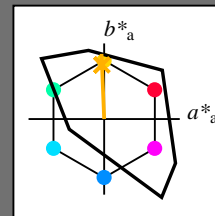
lab^*tch und lab^*nch

D65: Buntton J

LCH*Ma: 85 86 92

olv*Ma: 1.0 0.82 0.0

Dreiecks-Helligkeit t^*



%Umfang

$u^*_{rel} = 158$

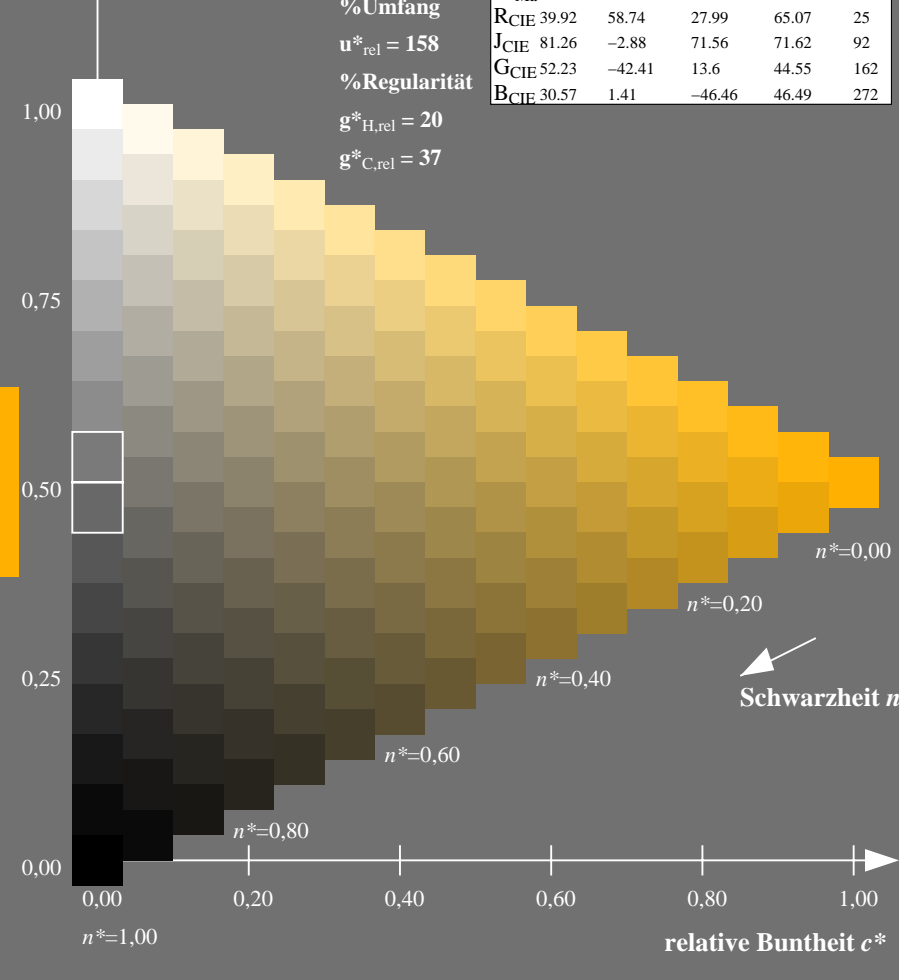
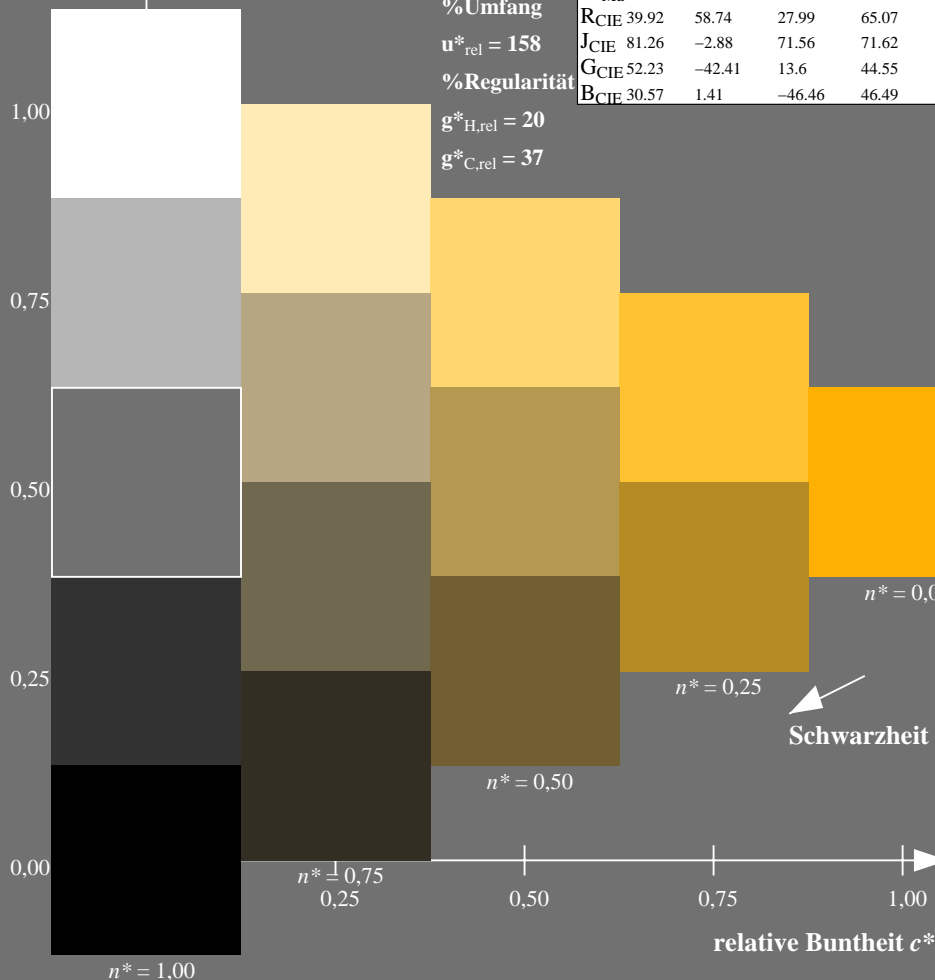
%Regularität

$g^*_{H,rel} = 20$

$g^*_{C,rel} = 37$

TLS00a; adaptierte CIELAB-Daten

	$L^*=L^*_a$	a^*_a	b^*_a	$C^*_{ab,a}$	$h^*_{ab,a}$
O _{Ma}	50.5	76.92	64.55	100.42	40
Y _{Ma}	92.66	-20.69	90.75	93.08	103
L _{Ma}	83.63	-82.75	79.9	115.04	136
C _{Ma}	86.88	-46.16	-13.55	48.12	196
V _{Ma}	30.39	76.06	-103.59	128.52	306
M _{Ma}	57.3	94.35	-58.41	110.97	328
N _{Ma}	0.01	0.0	0.0	0.0	0
W _{Ma}	95.41	0.0	0.0	0.0	0
R _{CIE}	39.92	58.74	27.99	65.07	25
J _{CIE}	81.26	-2.88	71.56	71.62	92
G _{CIE}	52.23	-42.41	13.6	44.55	162
B _{CIE}	30.57	1.41	-46.46	46.49	272



OG820-7N-132-7: 5-stufige Reihen für konstanten CIELAB Buntton 92/360 = 0.256 (links)

16-stufige Reihen für konstanten CIELAB Buntton 92/360 = 0.256 (rechts)

OG82: Prüfvorlage 1 nach DIN 33872-2, Buntton J; 1MR, DEEH Eingabe: $rgb \rightarrow rgb^*_{dee}$ setrgbcol
Unterscheidbarkeit von 5- und 16-stufigen Farbreihen
Ausgabe 130-7: $g_p=1.0$; $g_N=1.17$

Eingabe: Farbmatisches Fernseh-Licht-System TLS00a

für Buntton $h^* = lab^*h = 162/360 = 0.451$

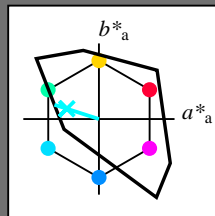
lab^*tch und lab^*nch

D65: Buntton G

LCH*Ma: 86 62 162

olv*Ma: 0.0 1.0 0.65

Dreiecks-Helligkeit t^*



%Umfang

$u^*_{rel} = 158$

%Regularität

$g^*_{H,rel} = 20$

$g^*_{C,rel} = 37$

TLS00a; adaptierte CIELAB-Daten

	$L^*=L^*_a$	a^*_a	b^*_a	$C^*_{ab,a}$	$h^*_{ab,a}$
O _{Ma}	50.5	76.92	64.55	100.42	40
Y _{Ma}	92.66	-20.69	90.75	93.08	103
L _{Ma}	83.63	-82.75	79.9	115.04	136
C _{Ma}	86.88	-46.16	-13.55	48.12	196
V _{Ma}	30.39	76.06	-103.59	128.52	306
M _{Ma}	57.3	94.35	-58.41	110.97	328
N _{Ma}	0.01	0.0	0.0	0.0	0
W _{Ma}	95.41	0.0	0.0	0.0	0
R _{CIE}	39.92	58.74	27.99	65.07	25
J _{CIE}	81.26	-2.88	71.56	71.62	92
G _{CIE}	52.23	-42.41	13.6	44.55	162
B _{CIE}	30.57	1.41	-46.46	46.49	272

Ausgabe: Farbmatisches Fernseh-Licht-System TLS00a

für Buntton $h^* = lab^*h = 162/360 = 0.451$

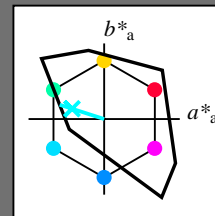
lab^*tch und lab^*nch

D65: Buntton G

LCH*Ma: 86 62 162

olv*Ma: 0.0 1.0 0.65

Dreiecks-Helligkeit t^*



%Umfang

$u^*_{rel} = 158$

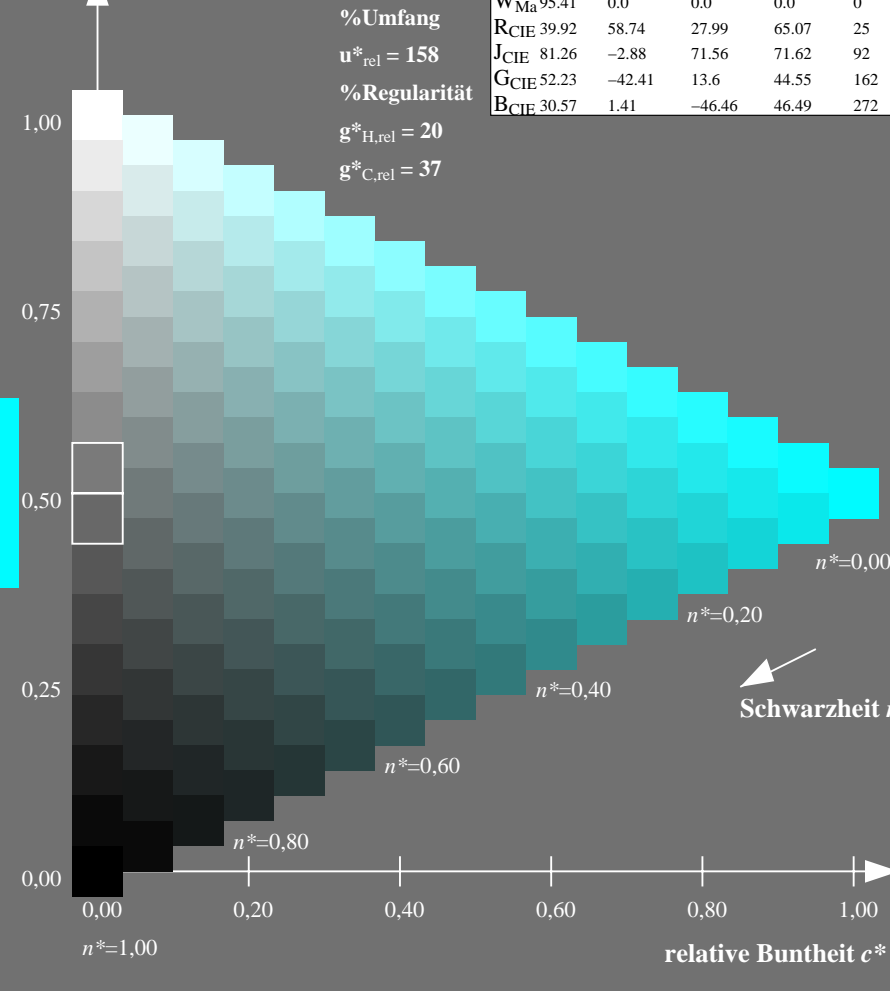
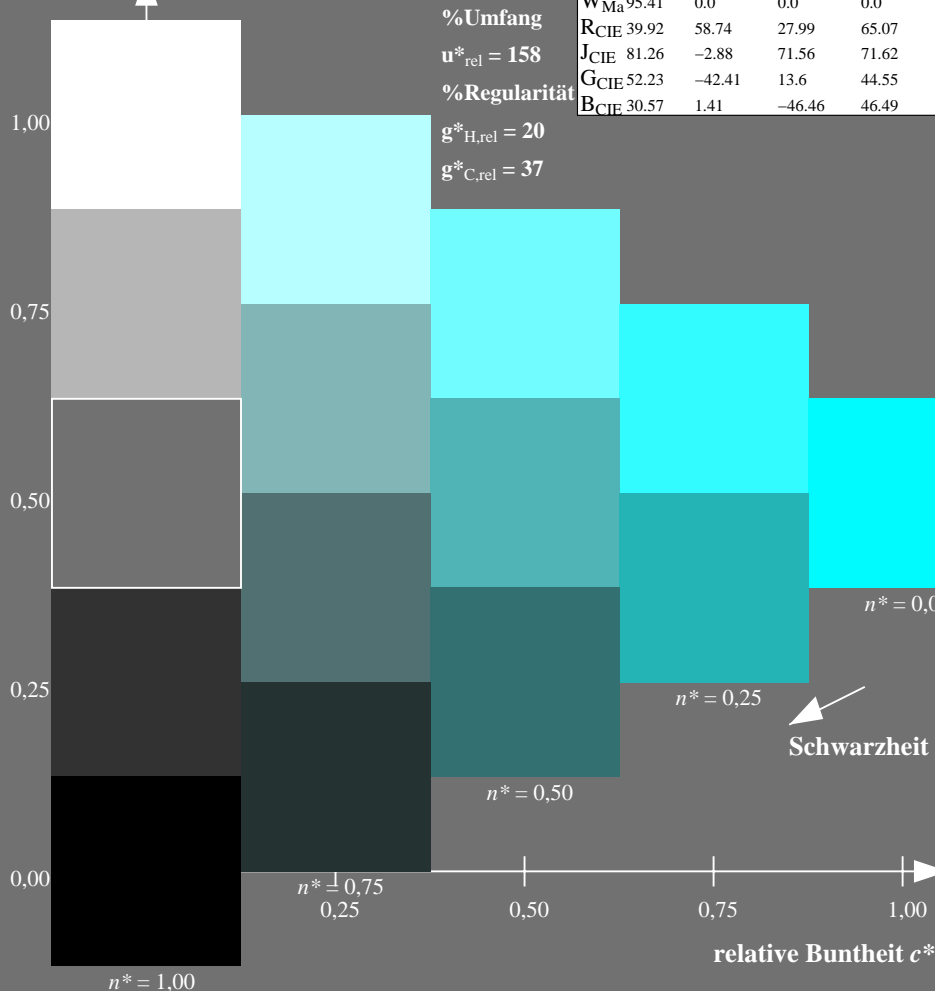
%Regularität

$g^*_{H,rel} = 20$

$g^*_{C,rel} = 37$

TLS00a; adaptierte CIELAB-Daten

	$L^*=L^*_a$	a^*_a	b^*_a	$C^*_{ab,a}$	$h^*_{ab,a}$
O _{Ma}	50.5	76.92	64.55	100.42	40
Y _{Ma}	92.66	-20.69	90.75	93.08	103
L _{Ma}	83.63	-82.75	79.9	115.04	136
C _{Ma}	86.88	-46.16	-13.55	48.12	196
V _{Ma}	30.39	76.06	-103.59	128.52	306
M _{Ma}	57.3	94.35	-58.41	110.97	328
N _{Ma}	0.01	0.0	0.0	0.0	0
W _{Ma}	95.41	0.0	0.0	0.0	0
R _{CIE}	39.92	58.74	27.99	65.07	25
J _{CIE}	81.26	-2.88	71.56	71.62	92
G _{CIE}	52.23	-42.41	13.6	44.55	162
B _{CIE}	30.57	1.41	-46.46	46.49	272



OG820-7N-132-8: 5-stufige Reihen für konstanten CIELAB Buntton 162/360 = 0.451 (links)

16-stufige Reihen für konstanten CIELAB Buntton 162/360 = 0.451 (rechts)

OG82: Prüfvorlage 1 nach DIN 33872-2, Buntton G; 1MR, DEE
Eingabe: $rgb \rightarrow rgb^*_{dee}$ setrgbcol
Ausgabe 130-8: $g_p=1.0$; $g_N=1.17$

Eingabe: Farbmatisches Fernseh-Licht-System TLS00a

für Buntton $h^* = lab^*h = 272/360 = 0.755$

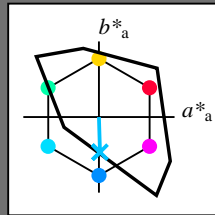
lab^*tch und lab^*nch

D65: Buntton B

LCH*Ma: 65 49 272

olv*Ma: 0.0 0.61 1.0

Dreiecks-Helligkeit t^*



%Umfang

$u^*_{rel} = 158$

%Regularität

$g^*_{H,rel} = 20$

$g^*_{C,rel} = 37$

TLS00a; adaptierte CIELAB-Daten

	$L^*=L^*_a$	a^*_a	b^*_a	$C^*_{ab,a}$	$h^*_{ab,a}$
O _{Ma}	50.5	76.92	64.55	100.42	40
Y _{Ma}	92.66	-20.69	90.75	93.08	103
L _{Ma}	83.63	-82.75	79.9	115.04	136
C _{Ma}	86.88	-46.16	-13.55	48.12	196
V _{Ma}	30.39	76.06	-103.59	128.52	306
M _{Ma}	57.3	94.35	-58.41	110.97	328
N _{Ma}	0.01	0.0	0.0	0.0	0
W _{Ma}	95.41	0.0	0.0	0.0	0
R _{CIE}	39.92	58.74	27.99	65.07	25
J _{CIE}	81.26	-2.88	71.56	71.62	92
G _{CIE}	52.23	-42.41	13.6	44.55	162
B _{CIE}	30.57	1.41	-46.46	46.49	272

Ausgabe: Farbmatisches Fernseh-Licht-System TLS00a

für Buntton $h^* = lab^*h = 272/360 = 0.755$

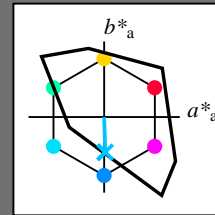
lab^*tch und lab^*nch

D65: Buntton B

LCH*Ma: 65 49 272

olv*Ma: 0.0 0.61 1.0

Dreiecks-Helligkeit t^*



%Umfang

$u^*_{rel} = 158$

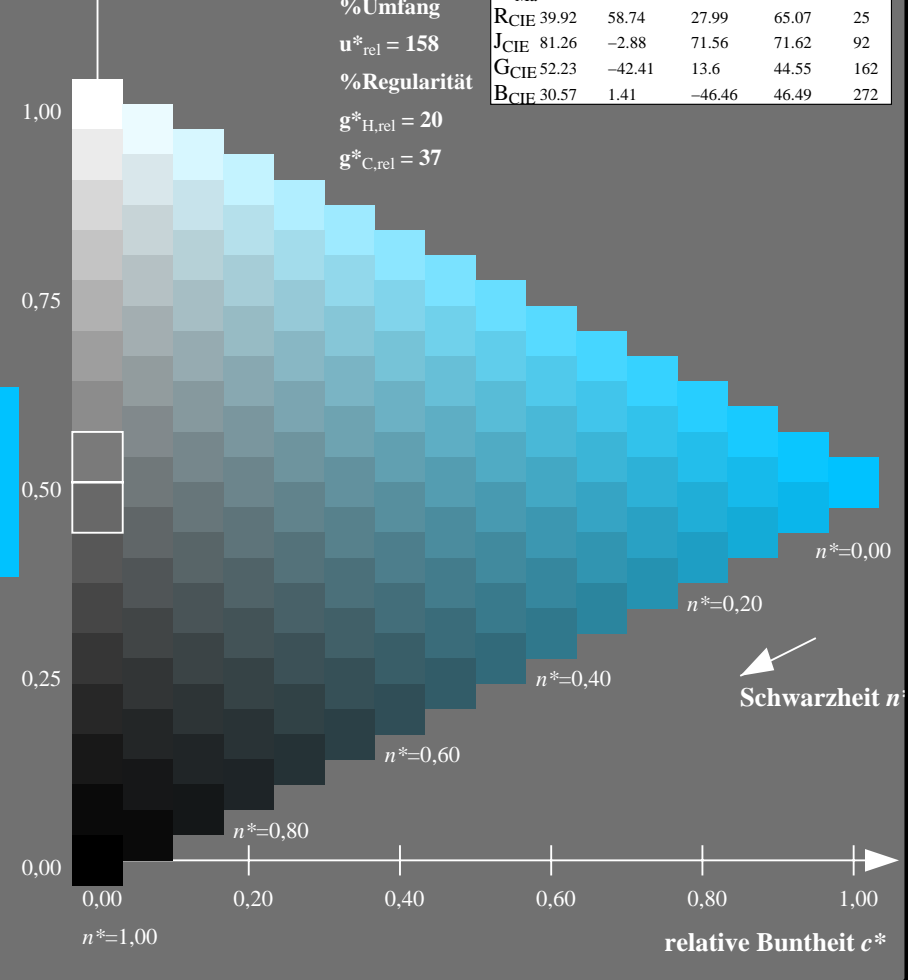
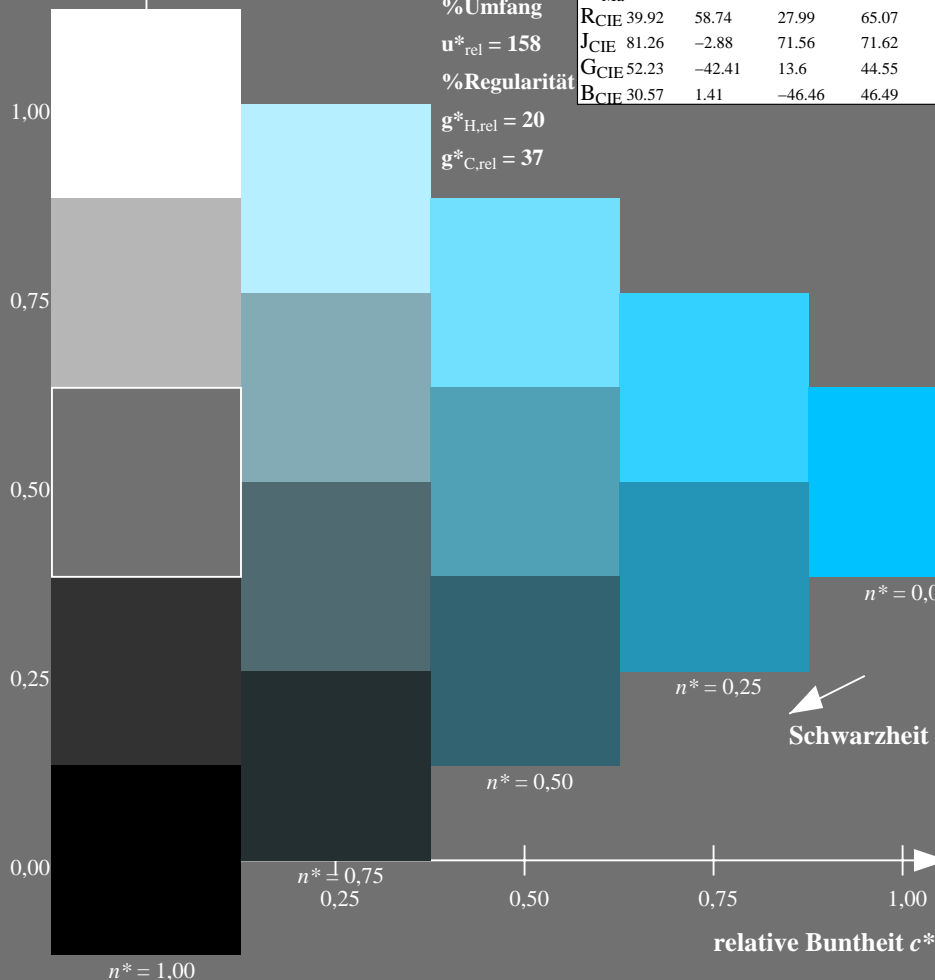
%Regularität

$g^*_{H,rel} = 20$

$g^*_{C,rel} = 37$

TLS00a; adaptierte CIELAB-Daten

	$L^*=L^*_a$	a^*_a	b^*_a	$C^*_{ab,a}$	$h^*_{ab,a}$
O _{Ma}	50.5	76.92	64.55	100.42	40
Y _{Ma}	92.66	-20.69	90.75	93.08	103
L _{Ma}	83.63	-82.75	79.9	115.04	136
C _{Ma}	86.88	-46.16	-13.55	48.12	196
V _{Ma}	30.39	76.06	-103.59	128.52	306
M _{Ma}	57.3	94.35	-58.41	110.97	328
N _{Ma}	0.01	0.0	0.0	0.0	0
W _{Ma}	95.41	0.0	0.0	0.0	0
R _{CIE}	39.92	58.74	27.99	65.07	25
J _{CIE}	81.26	-2.88	71.56	71.62	92
G _{CIE}	52.23	-42.41	13.6	44.55	162
B _{CIE}	30.57	1.41	-46.46	46.49	272



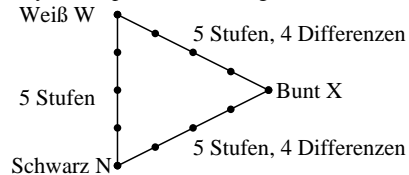
OG820-7N-132-9: 5-stufige Reihen für konstanten CIELAB Buntton 272/360 = 0.755 (links)

16-stufige Reihen für konstanten CIELAB Buntton 272/360 = 0.755 (rechts)

OG82: Prüfvorlage 1 nach DIN 33872-2, Buntton B; 1MR, DEEHEingabe: rgb (->rgb*dee) setrgbcold
Ausgabe 130-9: $g_p=1.0$; $g_N=1.17$

Unterscheidbarkeit von 5-stufigen Farbreihen (Ja/Nein-Entscheidung)

Layoutbeispiel: drei 5-stufige Farbreihen



Es gibt drei Grundfarben auf jeder Seite:
Schwarz N, Weiß W und Bunt X.
Zehn Seiten enthalten 10 Bunttonebenen
X = OYLCVM und RJGB.
Es gibt maximal 12 unterscheidbare Stufen.

Alle Stufen der drei Serien N-W, W-X und X-N sollen unterscheidbar sein auf **allen** Seiten.
Sind die drei 5-stufigen Reihen auf allen Seiten unterscheidbar? unterstreiche: Ja/Nein

Nur im Fall von Nein: Sind die drei 5-stufigen Reihen auf Seite x von 10 Seiten unterscheidbar?
Unterstreiche Ja/Nein und gib im Fall von Nein die Anzahl unterscheidbarer Stufen an
Seite 1: Ja/Nein, wenn Nein ../12 Stufendifferenzen sind unterscheidbar von O = Orangerot
Seite 2: Ja/Nein, wenn Nein ../12 Stufendifferenzen sind unterscheidbar von Y = Gelb
Seite 3: Ja/Nein, wenn Nein ../12 Stufendifferenzen sind unterscheidbar von L = Laubgrün
Seite 4: Ja/Nein, wenn Nein ../12 Stufendifferenzen sind unterscheidbar von C = Cyanblau
Seite 5: Ja/Nein, wenn Nein ../12 Stufendifferenzen sind unterscheidbar von V = Violettblau
Seite 6: Ja/Nein, wenn Nein ../12 Stufendifferenzen sind unterscheidbar von M = Magentarot
Seite 7: Ja/Nein, wenn Nein ../12 Stufendifferenzen sind unterscheidbar von R = Elementarrot
Seite 8: Ja/Nein, wenn Nein ../12 Stufendifferenzen sind unterscheidbar von J = Elementargelb
Seite 9: Ja/Nein, wenn Nein ../12 Stufendifferenzen sind unterscheidbar von G = Elementargrün
Seite 10: Ja/Nein, wenn Nein ../12 Stufendifferenzen sind unterscheidbar von B = Elementarblau

Summe: ../10 Ja-Seiten und ../120 Stufendifferenzen unterscheidbar

Teil 1

OG820-3N-132-10

Dokumentation von Dateiformat, Hard- und Software für diese Prüfung:

PDF-Datei: http://130.149.60.45/farbmetrik/OG82/OG82L0NP.PDF unterstreiche Ja/Nein

PS-Datei: http://130.149.60.45/farbmetrik/OG82/OG82L0NA.PS oder unterstreiche Ja/Nein

benutztes Rechner-Betriebssystem:

nur eines von Windows/Mac/Unix/anderes und Version:.....

Die Beurteilung ist für die Geräteausgabe: unterstreiche Monitor/Datenprojektor/Drucker

Geräte-Modell, -Treiber und -Version:.....

Geräteausgabe mit PDF/PS-Datei: unterstreiche PDF-/PS-Datei

Für Geräteausgabe mit PDF-Datei OG82L0NP.PDF:

entweder PDF-Dateitransfer "download, copy" nach PDF-Gerät.....
oder mit Rechnersystem-Interpretation durch "Display-PDF":.....
oder mit Software, z. B. Adobe-Reader/-Acrobat und Version:.....
oder mit Software, z. B. Ghostscript und Version:.....

Für Geräteausgabe mit PS-Datei OG82L0NA.PS:

entweder PS-Dateitransfer "download, copy" nach PS-Gerät.....
oder mit Rechnersystem-Interpretation durch "Display-PS":.....
oder mit Software, z. B. Ghostscript und Version:.....
oder mit Software, z. B. Mac-Yap und Version:.....

Spezielle Anmerkungen:

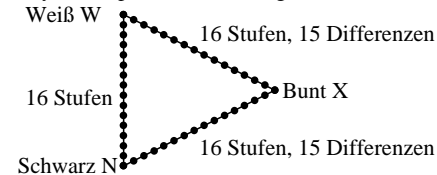
.....
.....
.....

Teil 3

OG820-7N-132-10

Unterscheidbarkeit von 16-stufigen Farbreihen (Ja/Nein-Entscheidung)

Layoutbeispiel: drei 16-stufige Farbreihen



Es gibt drei Grundfarben auf jeder Seite:
Schwarz N, Weiß W und Bunt X.
Zehn Seiten enthalten 10 Bunttonebenen
X = OYLCVM und RJGB.
Es gibt maximal 45 unterscheidbare Stufen.

Alle Stufen der drei Serien N-W, W-X und X-N sollen unterscheidbar sein auf **allen** Seiten.
Sind die drei 16-stufigen Reihen auf allen Seiten unterscheidbar? unterstreiche: Ja/Nein

Nur im Fall von Nein: Sind die drei 16-stufigen Reihen auf Seite x von 10 Seiten unterscheidbar?
Unterstreiche Ja/Nein und gib im Fall von Nein die Anzahl unterscheidbarer Stufen an
Seite 1: Ja/Nein, wenn Nein ../45 Stufendifferenzen sind unterscheidbar von O = Orangerot
Seite 2: Ja/Nein, wenn Nein ../45 Stufendifferenzen sind unterscheidbar von Y = Gelb
Seite 3: Ja/Nein, wenn Nein ../45 Stufendifferenzen sind unterscheidbar von L = Laubgrün
Seite 4: Ja/Nein, wenn Nein ../45 Stufendifferenzen sind unterscheidbar von C = Cyanblau
Seite 5: Ja/Nein, wenn Nein ../45 Stufendifferenzen sind unterscheidbar von V = Violettblau
Seite 6: Ja/Nein, wenn Nein ../45 Stufendifferenzen sind unterscheidbar von M = Magentarot
Seite 7: Ja/Nein, wenn Nein ../45 Stufendifferenzen sind unterscheidbar von R = Elementarrot
Seite 8: Ja/Nein, wenn Nein ../45 Stufendifferenzen sind unterscheidbar von J = Elementargelb
Seite 9: Ja/Nein, wenn Nein ../45 Stufendifferenzen sind unterscheidbar von G = Elementargrün
Seite 10: Ja/Nein, wenn Nein ../45 Stufendifferenzen sind unterscheidbar von B = Elementarblau

Summe: ../10 Ja-Seiten und ../450 Stufendifferenzen unterscheidbar

Teil 2

OG821-3N-132-10

Dokumentation der Beurteiler-Farbseigenschaften für diese Prüfung:

Der Beurteiler hat **normales** Farbsehen nach einer Prüfung:
entweder nach DIN 6160:1996 mit Anomalskop nach *Nagel*
oder mit Farbpunkt-Prüftafeln nach *Ishihara*
oder mit, bitte nennen:.....

unterstreiche Ja/Nein
unterstreiche Ja/unbekannt
unterstreiche Ja/unbekannt
unterstreiche Ja/unbekannt

Für visuelle Bewertung der Display(Monitor, Daten-Projektor)-Ausgabe

Büro-Arbeitsplatz-Beleuchtung ist Tageslicht (bedeckter/Nordhimmel)

PDF-Datei: http://130.149.60.45/farbmetrik/OG82/OG82F1P2.PDF

PS-Datei: http://130.149.60.45/farbmetrik/OG82/OG82F1P2.PS

Bild A7-132-2: Kontrastbereich: (>F:0) (F:0) (E:0) (D:0) (C:0) (A:0) (9:0) (7:0) (5:0) (3:0) (<3:0)

vergleiche Normdruckausgabe nach ISO/IEC 15775 mit Bereich F:0

Anmerkung: Bei Tageslichtbürobeleuchtung ist der Kontrastbereich oft:

am Display zwischen: >F:0 und E:0 (Monitor), D:0 und 3:0 (Datenprojektor)

Nur für optionale farbmimetrische Kennzeichnung mit PDF/PS-Dateiausgabe

PDF-Datei: http://130.149.60.45/farbmetrik/OG82/OG82F1P2.PDF

Bild A7-132-2

unterstreiche Ja/Nein

PS-Datei: http://130.149.60.45/farbmetrik/OG82/OG82F1P2.PS

Bild A7-132-2

oder unterstreiche Ja/Nein

Farbmessung und Kennzeichnung für:

CIE-Normlichtart D65, CIE-2-Grad-Beobachter, CIE-45/0-Geometrie

unterstreiche Ja/Nein

Wenn Nein, bitte andere Parameter nennen:

Farbmimetrische Kennzeichnung mit PS-Datei für Farben der Spalten A bis T

Ersatz der CIELAB-Daten in Datei www.ps.bam.de/Dg17/10L/L17g00NP.PS und Transfer

der PS-Datei L17g00NP.PS in PDF-Datei L17g00NP.PDF

unterstreiche Ja/Nein

Wenn Nein, bitte andere Methode beschreiben:

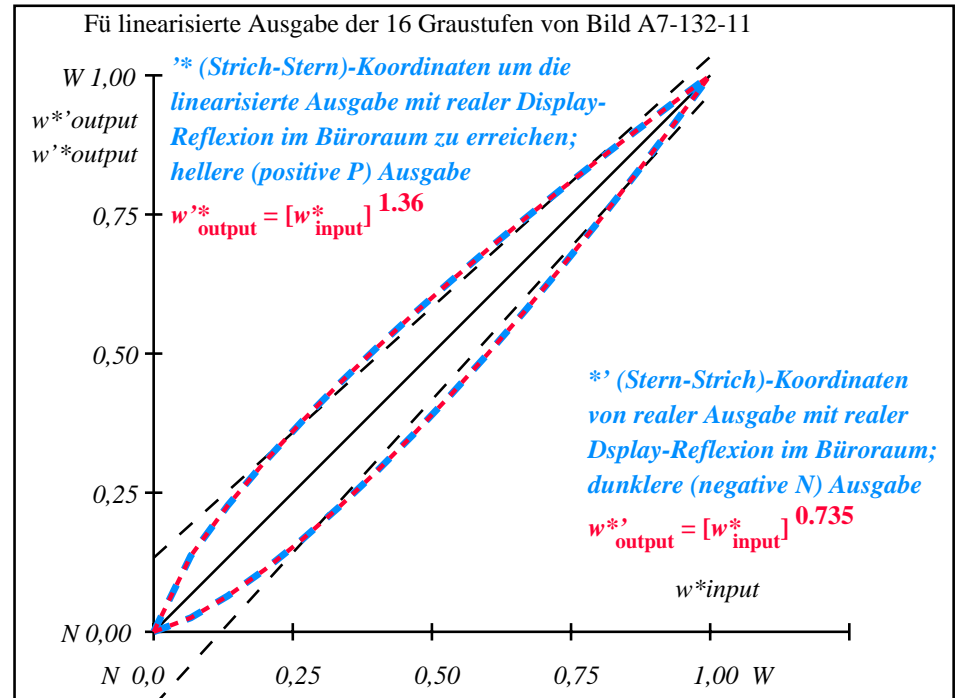
Teil 4

OG821-7N-132-10

OG82: Vordruck A für Prüfvorlage 1 nach DIN 33872-2; 1MR, DEH
Unterscheidbarkeit von Farbstufen (Ja/Nein-Entscheidung) Ausgabe 130-10: $g_P=1.0$; $g_N=1.17$

i	LAB*ref	l*out	LAB*out	LAB*out/c-ref	ΔE*	Start-Ausgabe S1
1	10.99	0.0	0.0	0.0	0.0	Kennzeichnung nach
2	16.62	0.0	0.03	13.12	0.0	ISO/IEC 15775 Anhang G
3	22.25	0.0	0.06	16.44	0.0	und DIN 33866-1 Anhang G
4	27.88	0.0	0.11	20.45	0.0	
5	33.5	0.0	0.17	24.98	0.0	
6	39.13	0.0	0.22	29.94	0.0	
7	44.76	0.0	0.29	35.27	0.0	
8	50.39	0.0	0.35	40.93	0.0	
9	56.02	0.0	0.43	46.9	0.0	
10	61.64	0.0	0.5	53.13	0.0	
11	67.27	0.0	0.58	59.63	0.0	
12	72.9	0.0	0.66	66.36	0.0	
13	78.53	0.0	0.74	73.31	0.0	
14	84.15	0.0	0.82	80.48	0.0	
15	89.78	0.0	0.91	87.85	0.0	Mittlerer Helligkeitsabstand (16 Stufen)
16	95.41	0.0	1.0	95.41	0.0	$\Delta E^*_{\text{CIELAB}} = 6.0$
17	10.99	0.0	0.0	10.99	0.0	
18	32.1	0.0	0.15	23.81	0.0	
19	53.2	0.0	0.39	43.88	0.0	
20	74.31	0.0	0.68	68.08	0.0	Mittlerer Helligkeitsabstand (5 Stufen)
21	95.41	0.0	1.0	95.41	0.0	$\Delta L^*_{\text{CIELAB}} = 4.8$
Mittlerer Farbwiedergabe-Index:					$R^*_{\text{ab,m}} = 74$	

OG820-3N-132-11: File: Measure unknown; Device: Device unknown; Date: Date unknown



L^*/Y_{intended} (absolut)	11.0/1.3	16.6/2.2	22.2/3.6	27.9/5.4	33.5/7.8	39.1/10.7	44.8/14.4	50.4/18.7	56.0/23.9	61.6/30.0	67.3/37.0	72.9/45.0	78.5/54.1	84.2/64.4	89.8/75.8	95.4/88.6
$w^* w^* w^*$ setrgb $g_N=1.36$ Nr. und Hex-Code	00;F	01;E	02;D	03;C	04;B	05;A	06;9	07;8	08;7	09;6	10;5	11;4	12;3	13;2	14;1	15;0
$w^* = l^*_{\text{CIELAB}, r}$ (relativ)																
w^*_{intended}	0.000	0.067	0.133	0.200	0.267	0.333	0.400	0.467	0.533	0.600	0.667	0.733	0.800	0.867	0.933	1.000
w^*_{out}	0.0	0.025	0.064	0.112	0.166	0.224	0.288	0.355	0.425	0.499	0.577	0.655	0.738	0.824	0.91	1.0

OG820-7N, Bild A7-132-11: 16 visuell gleichabständige L^* -Graustufen; PS-Operator: $w^* w^* w^* \text{setrgbcolor}$

OG82: Ein-Ausgabe-Beziehung nach ISO 9241-306; 1MR, DEH Eingabe: $rgb \rightarrow rgb^*_{\text{de}}$ setrgbcolor
Gesehener Y-Kontrast $Y_W:Y_N=88,9:1,25$; Y_N -Bereich 0,93 to <1,8 Ausgabe 130-11: $g_P=1.0$; $g_N=1.17$

Eingabe: Farbmatisches Fernseh-Licht-System TLS00a

für Buntton $h^* = lab^*h = 40/360 = 0.111$

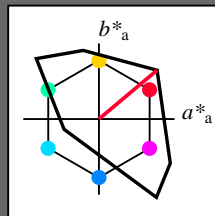
lab^*tch und lab^*nch

D65: Buntton O

LCH*Ma: 51 100 40

olv*Ma: 1.0 0.0 0.0

Dreiecks-Helligkeit t^*



%Umfang

$u^*_{rel} = 158$

%Regularität

$g^*_{H,rel} = 20$

$g^*_{C,rel} = 37$

TLS00a; adaptierte CIELAB-Daten

	$L^*=L^*_a$	a^*_a	b^*_a	$C^*_{ab,a}$	$h^*_{ab,a}$
O _{Ma}	50.5	76.92	64.55	100.42	40
Y _{Ma}	92.66	-20.69	90.75	93.08	103
L _{Ma}	83.63	-82.75	79.9	115.04	136
C _{Ma}	86.88	-46.16	-13.55	48.12	196
V _{Ma}	30.39	76.06	-103.59	128.52	306
M _{Ma}	57.3	94.35	-58.41	110.97	328
N _{Ma}	0.01	0.0	0.0	0.0	0
W _{Ma}	95.41	0.0	0.0	0.0	0
R _{CIE}	39.92	58.74	27.99	65.07	25
J _{CIE}	81.26	-2.88	71.56	71.62	92
G _{CIE}	52.23	-42.41	13.6	44.55	162
B _{CIE}	30.57	1.41	-46.46	46.49	272

Ausgabe: Farbmatisches Fernseh-Licht-System TLS00a

für Buntton $h^* = lab^*h = 40/360 = 0.111$

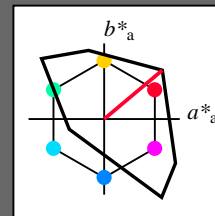
lab^*tch und lab^*nch

D65: Buntton O

LCH*Ma: 51 100 40

olv*Ma: 1.0 0.0 0.0

Dreiecks-Helligkeit t^*



%Umfang

$u^*_{rel} = 158$

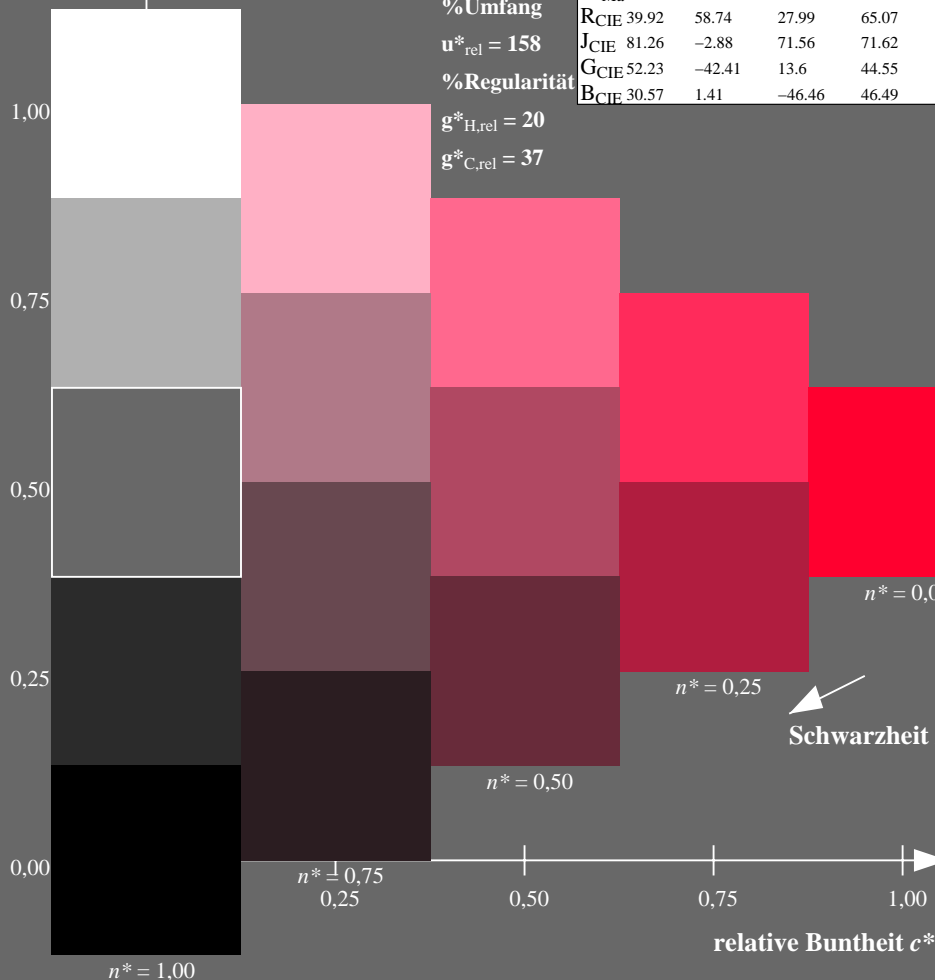
%Regularität

$g^*_{H,rel} = 20$

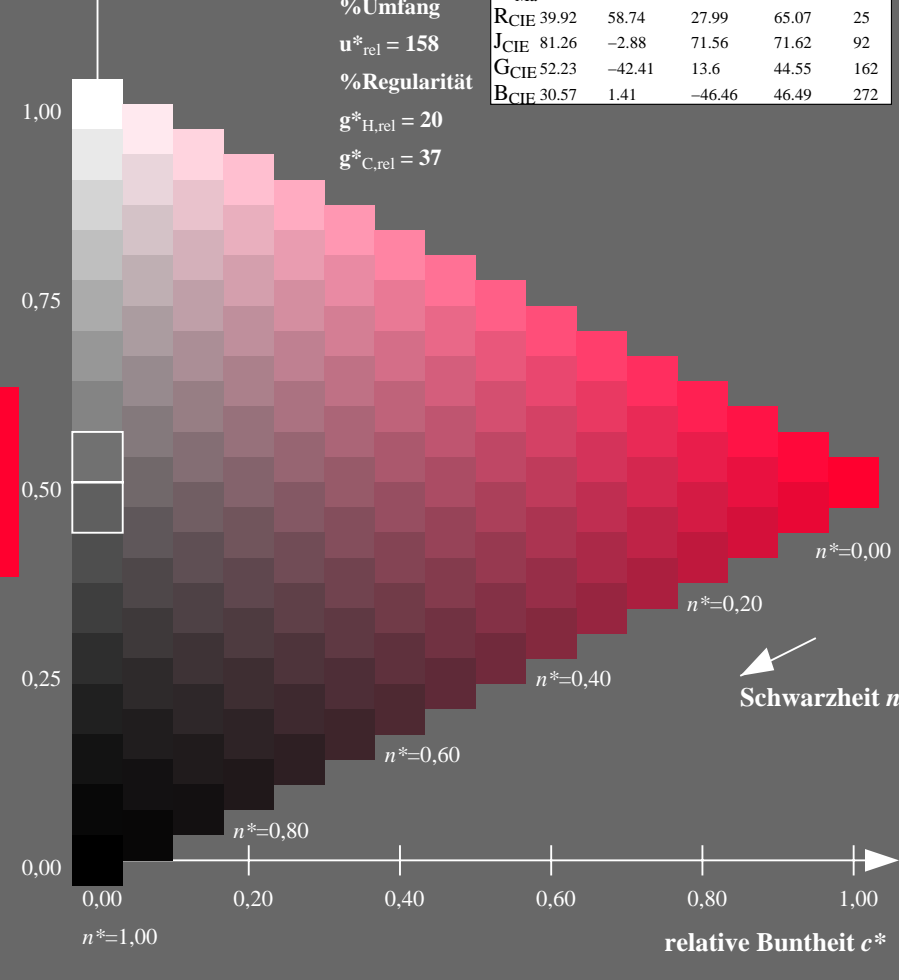
$g^*_{C,rel} = 37$

TLS00a; adaptierte CIELAB-Daten

	$L^*=L^*_a$	a^*_a	b^*_a	$C^*_{ab,a}$	$h^*_{ab,a}$
O _{Ma}	50.5	76.92	64.55	100.42	40
Y _{Ma}	92.66	-20.69	90.75	93.08	103
L _{Ma}	83.63	-82.75	79.9	115.04	136
C _{Ma}	86.88	-46.16	-13.55	48.12	196
V _{Ma}	30.39	76.06	-103.59	128.52	306
M _{Ma}	57.3	94.35	-58.41	110.97	328
N _{Ma}	0.01	0.0	0.0	0.0	0
W _{Ma}	95.41	0.0	0.0	0.0	0
R _{CIE}	39.92	58.74	27.99	65.07	25
J _{CIE}	81.26	-2.88	71.56	71.62	92
G _{CIE}	52.23	-42.41	13.6	44.55	162
B _{CIE}	30.57	1.41	-46.46	46.49	272



OG820-7N-133-0: 5-stufige Reihen für konstanten CIELAB Buntton 40/360 = 0.111 (links)



16-stufige Reihen für konstanten CIELAB Buntton 40/360 = 0.111 (rechts)

OG82: Prüfvorlage 1 nach DIN 33872-2, Buntton O; 1MR, DEH
Unterscheidbarkeit von 5- und 16-stufigen Farbreihen

Eingabe: $rgb \rightarrow rgb^*_{de}$ setrgbcolor
Ausgabe 130-0: $g_p=1.0$; $g_N=1.29$

Eingabe: Farbmétrisches Fernseh-Licht-System TLS00a

für Buntton $h^* = lab^*h = 103/360 = 0.286$

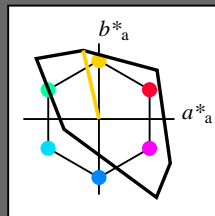
lab^*tch und lab^*nch

D65: Buntton Y

LCH*Ma: 93 93 103

olv*Ma: 1.0 1.0 0.0

Dreiecks-Helligkeit t^*



%Umfang

$u^*_{rel} = 158$

%Regularität

$g^*_{H,rel} = 20$

$g^*_{C,rel} = 37$

TLS00a; adaptierte CIELAB-Daten

	$L^*=L^*_a$	a^*_a	b^*_a	$C^*_{ab,a}$	$h^*_{ab,a}$
O _{Ma}	50.5	76.92	64.55	100.42	40
Y _{Ma}	92.66	-20.69	90.75	93.08	103
L _{Ma}	83.63	-82.75	79.9	115.04	136
C _{Ma}	86.88	-46.16	-13.55	48.12	196
V _{Ma}	30.39	76.06	-103.59	128.52	306
M _{Ma}	57.3	94.35	-58.41	110.97	328
N _{Ma}	0.01	0.0	0.0	0.0	0
W _{Ma}	95.41	0.0	0.0	0.0	0
R _{CIE}	39.92	58.74	27.99	65.07	25
J _{CIE}	81.26	-2.88	71.56	71.62	92
G _{CIE}	52.23	-42.41	13.6	44.55	162
B _{CIE}	30.57	1.41	-46.46	46.49	272

Ausgabe: Farbmétrisches Fernseh-Licht-System TLS00a

für Buntton $h^* = lab^*h = 103/360 = 0.286$

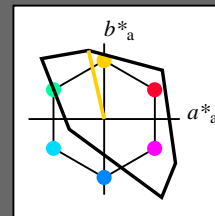
lab^*tch und lab^*nch

D65: Buntton Y

LCH*Ma: 93 93 103

olv*Ma: 1.0 1.0 0.0

Dreiecks-Helligkeit t^*



%Umfang

$u^*_{rel} = 158$

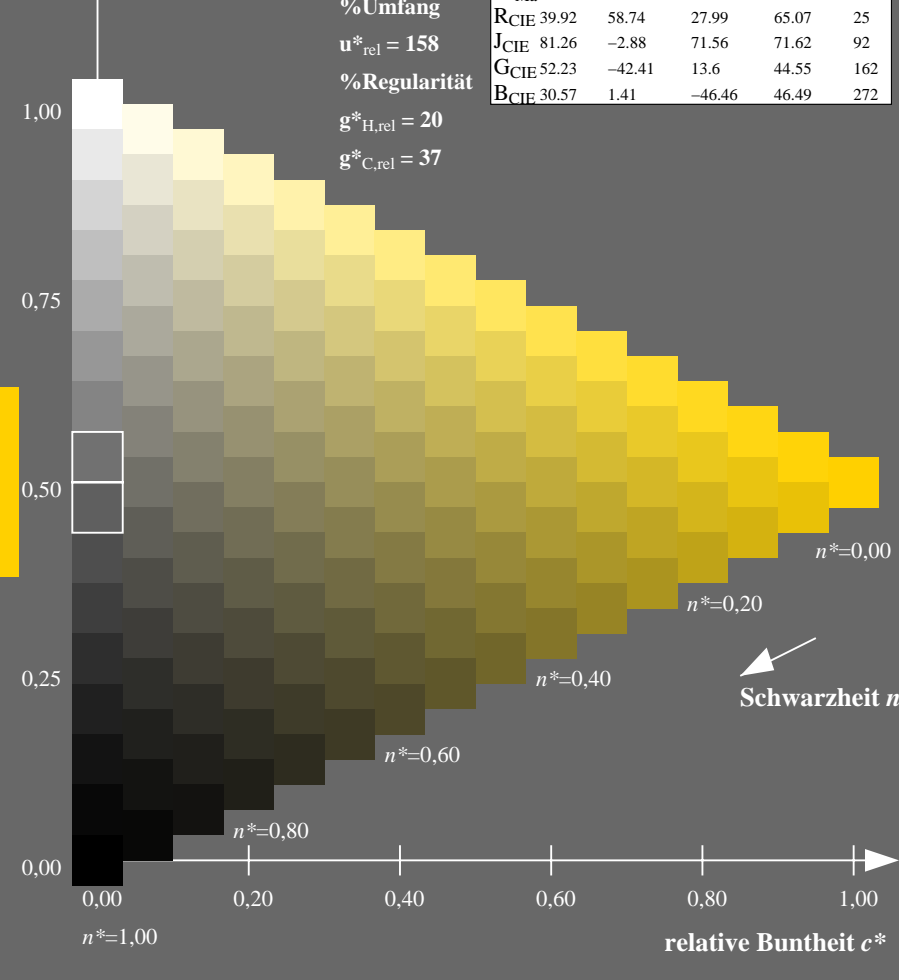
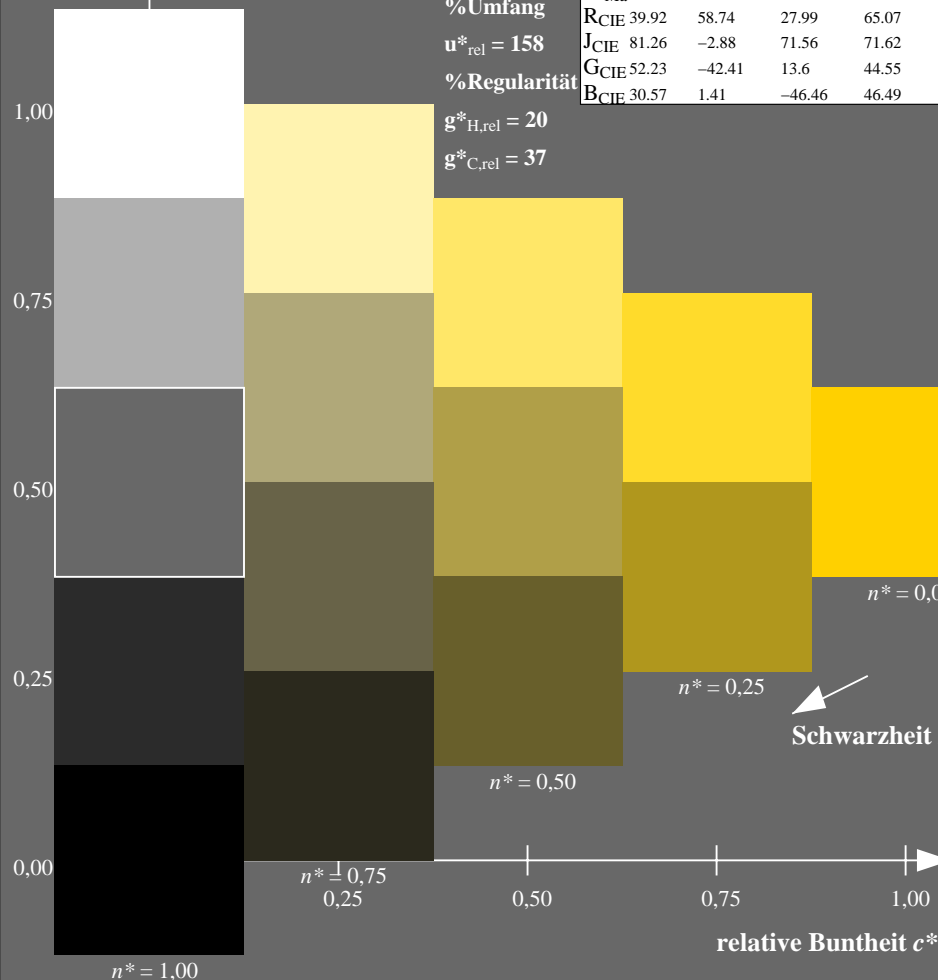
%Regularität

$g^*_{H,rel} = 20$

$g^*_{C,rel} = 37$

TLS00a; adaptierte CIELAB-Daten

	$L^*=L^*_a$	a^*_a	b^*_a	$C^*_{ab,a}$	$h^*_{ab,a}$
O _{Ma}	50.5	76.92	64.55	100.42	40
Y _{Ma}	92.66	-20.69	90.75	93.08	103
L _{Ma}	83.63	-82.75	79.9	115.04	136
C _{Ma}	86.88	-46.16	-13.55	48.12	196
V _{Ma}	30.39	76.06	-103.59	128.52	306
M _{Ma}	57.3	94.35	-58.41	110.97	328
N _{Ma}	0.01	0.0	0.0	0.0	0
W _{Ma}	95.41	0.0	0.0	0.0	0
R _{CIE}	39.92	58.74	27.99	65.07	25
J _{CIE}	81.26	-2.88	71.56	71.62	92
G _{CIE}	52.23	-42.41	13.6	44.55	162
B _{CIE}	30.57	1.41	-46.46	46.49	272



OG820-7N-133-1: 5-stufige Reihen für konstanten CIELAB Buntton 103/360 = 0.286 (links)

16-stufige Reihen für konstanten CIELAB Buntton 103/360 = 0.286 (rechts)

OG82: Prüfvorlage 1 nach DIN 33872-2, Buntton Y; 1MR, DEH
Unterscheidbarkeit von 5- und 16-stufigen Farbreihen

Eingabe: $rgb (-> rgb^*_{de})$ setrgbcolor
Ausgabe 130-1: $g_p=1.0$; $g_N=1.29$

Eingabe: Farbmétrisches Fernseh-Licht-System TLS00a

für Buntton $h^* = lab^*h = 136/360 = 0.378$

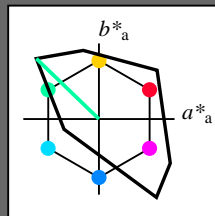
lab^*tch und lab^*nch

D65: Buntton L

LCH*Ma: 84 115 136

olv*Ma: 0.0 1.0 0.0

Dreiecks-Helligkeit t^*



%Umfang

$u^*_{rel} = 158$

%Regularität

$g^*_{H,rel} = 20$

$g^*_{C,rel} = 37$

TLS00a; adaptierte CIELAB-Daten

	$L^*=L^*_a$	a^*_a	b^*_a	$C^*_{ab,a}$	$h^*_{ab,a}$
O _{Ma}	50.5	76.92	64.55	100.42	40
Y _{Ma}	92.66	-20.69	90.75	93.08	103
L _{Ma}	83.63	-82.75	79.9	115.04	136
C _{Ma}	86.88	-46.16	-13.55	48.12	196
V _{Ma}	30.39	76.06	-103.59	128.52	306
M _{Ma}	57.3	94.35	-58.41	110.97	328
N _{Ma}	0.01	0.0	0.0	0.0	0
W _{Ma}	95.41	0.0	0.0	0.0	0
R _{CIE}	39.92	58.74	27.99	65.07	25
J _{CIE}	81.26	-2.88	71.56	71.62	92
G _{CIE}	52.23	-42.41	13.6	44.55	162
B _{CIE}	30.57	1.41	-46.46	46.49	272

Ausgabe: Farbmétrisches Fernseh-Licht-System TLS00a

für Buntton $h^* = lab^*h = 136/360 = 0.378$

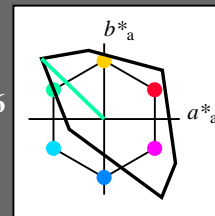
lab^*tch und lab^*nch

D65: Buntton L

LCH*Ma: 84 115 136

olv*Ma: 0.0 1.0 0.0

Dreiecks-Helligkeit t^*



%Umfang

$u^*_{rel} = 158$

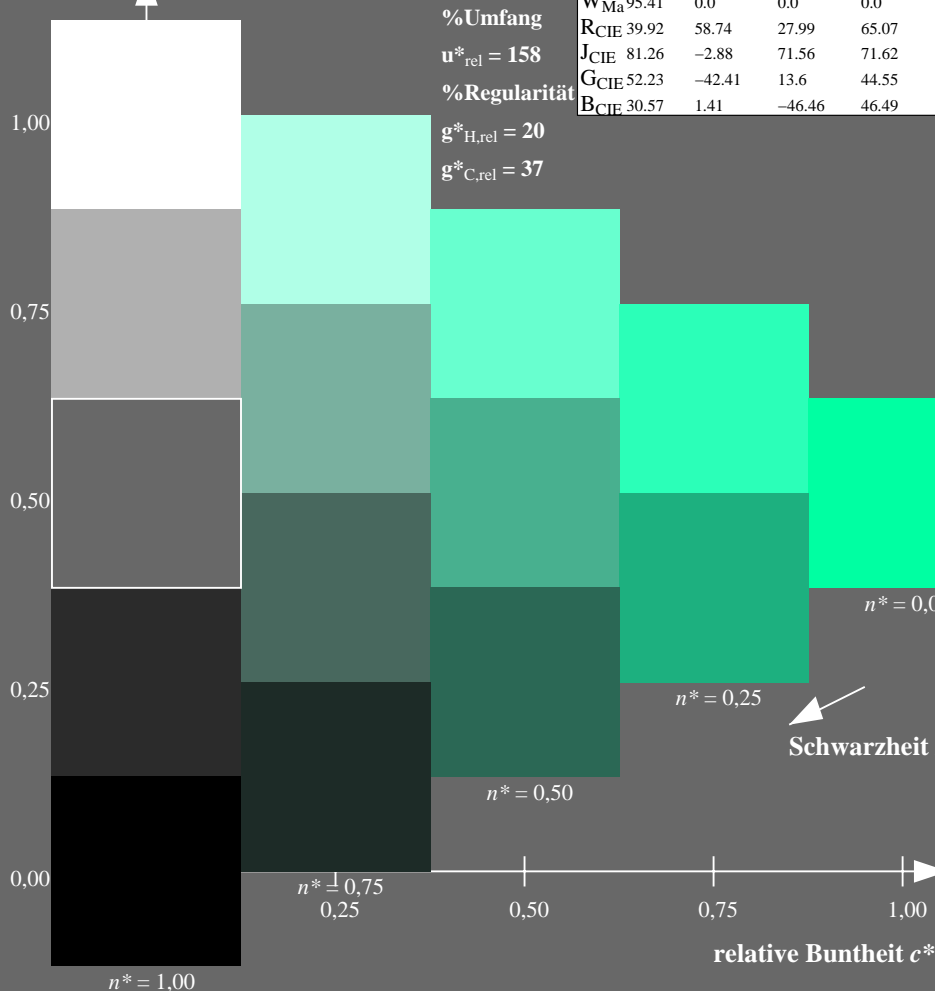
%Regularität

$g^*_{H,rel} = 20$

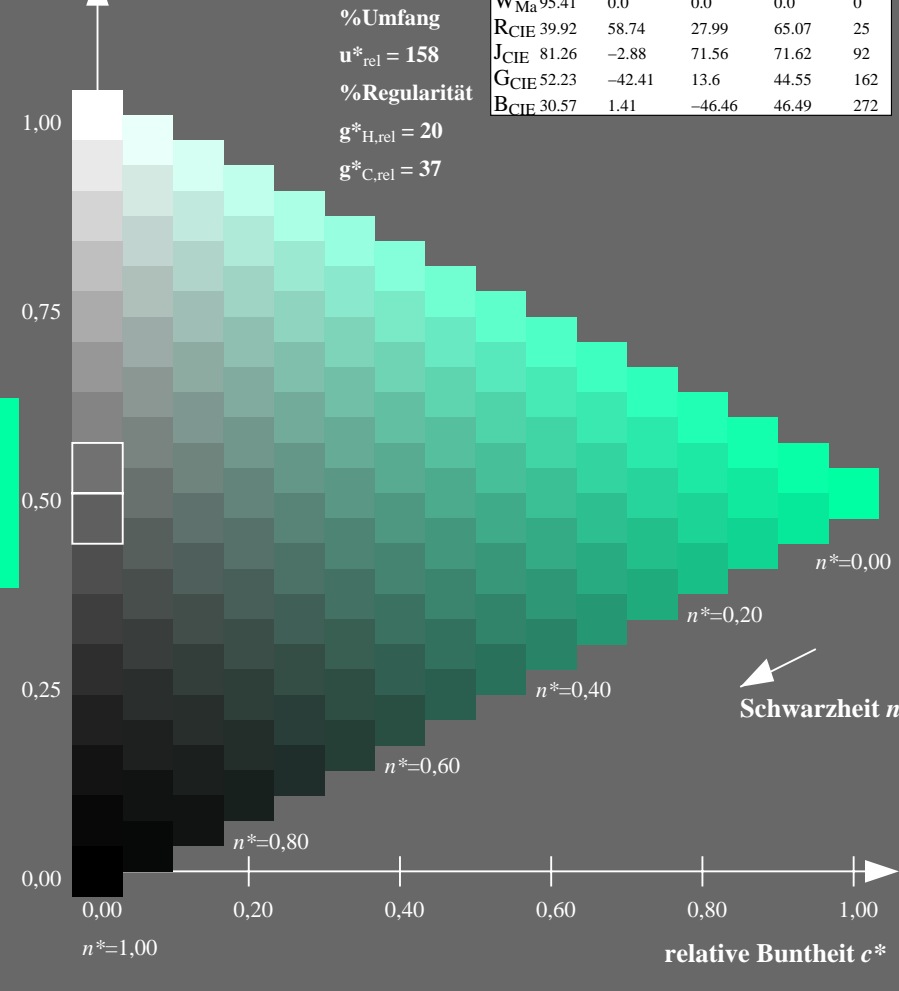
$g^*_{C,rel} = 37$

TLS00a; adaptierte CIELAB-Daten

	$L^*=L^*_a$	a^*_a	b^*_a	$C^*_{ab,a}$	$h^*_{ab,a}$
O _{Ma}	50.5	76.92	64.55	100.42	40
Y _{Ma}	92.66	-20.69	90.75	93.08	103
L _{Ma}	83.63	-82.75	79.9	115.04	136
C _{Ma}	86.88	-46.16	-13.55	48.12	196
V _{Ma}	30.39	76.06	-103.59	128.52	306
M _{Ma}	57.3	94.35	-58.41	110.97	328
N _{Ma}	0.01	0.0	0.0	0.0	0
W _{Ma}	95.41	0.0	0.0	0.0	0
R _{CIE}	39.92	58.74	27.99	65.07	25
J _{CIE}	81.26	-2.88	71.56	71.62	92
G _{CIE}	52.23	-42.41	13.6	44.55	162
B _{CIE}	30.57	1.41	-46.46	46.49	272



OG820-7N-133-2: 5-stufige Reihen für konstanten CIELAB Buntton 136/360 = 0.378 (links)



16-stufige Reihen für konstanten CIELAB Buntton 136/360 = 0.378 (rechts)

OG82: Prüfvorlage 1 nach DIN 33872-2, Buntton L; 1MR, DEH
Eingabe: $rgb \rightarrow rgb^*_{de}$ setrgbcolor
Ausgabe 130-2: $g_p=1.0$; $g_N=1.29$

Eingabe: Farbmétrisches Fernseh-Licht-System TLS00a

für Buntton $h^* = lab^*h = 196/360 = 0.545$

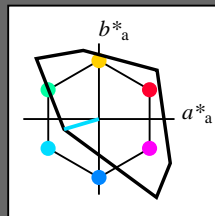
lab^*tch und lab^*nch

D65: Buntton C

LCH*Ma: 87 48 196

olv*Ma: 0.0 1.0 1.0

Dreiecks-Helligkeit t^*



%Umfang

$u^*_{rel} = 158$

%Regularität

$g^*_{H,rel} = 20$

$g^*_{C,rel} = 37$

TLS00a; adaptierte CIELAB-Daten

	$L^*=L^*_a$	a^*_a	b^*_a	$C^*_{ab,a}$	$h^*_{ab,a}$
O _{Ma}	50.5	76.92	64.55	100.42	40
Y _{Ma}	92.66	-20.69	90.75	93.08	103
L _{Ma}	83.63	-82.75	79.9	115.04	136
C _{Ma}	86.88	-46.16	-13.55	48.12	196
V _{Ma}	30.39	76.06	-103.59	128.52	306
M _{Ma}	57.3	94.35	-58.41	110.97	328
N _{Ma}	0.01	0.0	0.0	0.0	0
W _{Ma}	95.41	0.0	0.0	0.0	0
R _{CIE}	39.92	58.74	27.99	65.07	25
J _{CIE}	81.26	-2.88	71.56	71.62	92
G _{CIE}	52.23	-42.41	13.6	44.55	162
B _{CIE}	30.57	1.41	-46.46	46.49	272

Ausgabe: Farbmétrisches Fernseh-Licht-System TLS00a

für Buntton $h^* = lab^*h = 196/360 = 0.545$

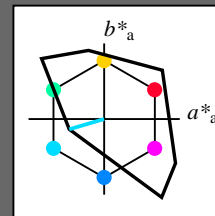
lab^*tch und lab^*nch

D65: Buntton C

LCH*Ma: 87 48 196

olv*Ma: 0.0 1.0 1.0

Dreiecks-Helligkeit t^*



%Umfang

$u^*_{rel} = 158$

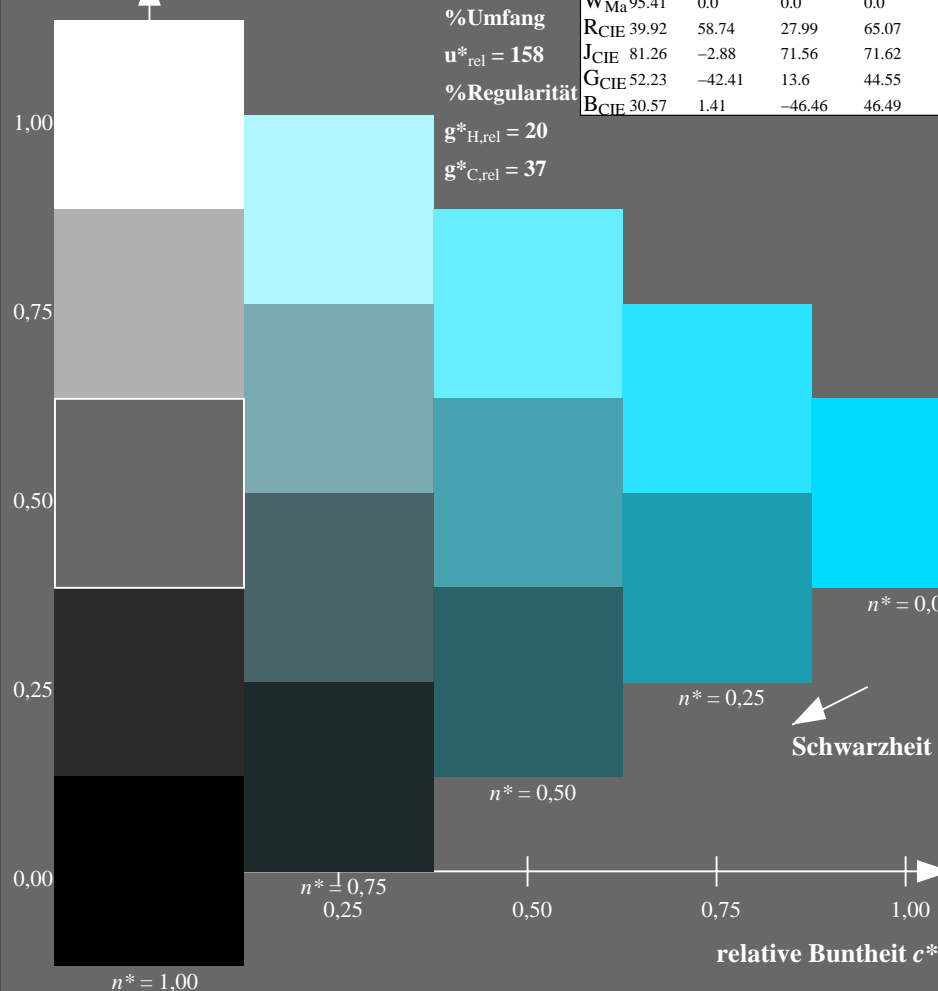
%Regularität

$g^*_{H,rel} = 20$

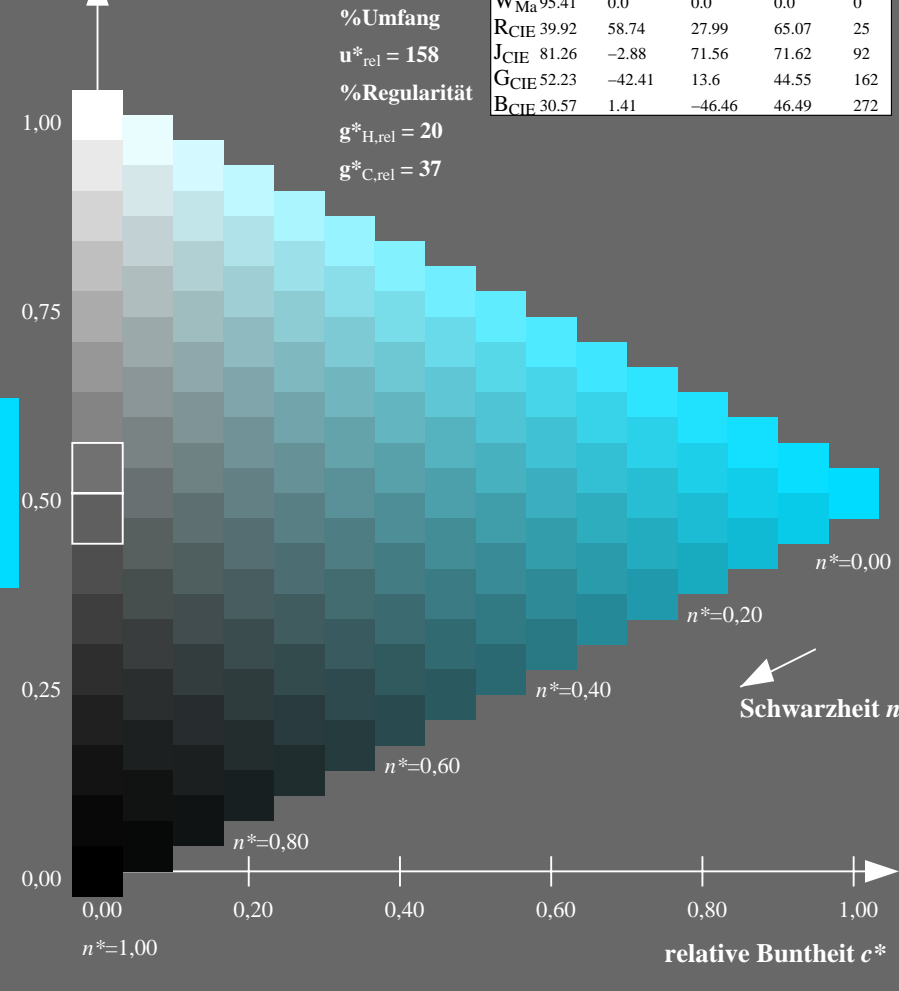
$g^*_{C,rel} = 37$

TLS00a; adaptierte CIELAB-Daten

	$L^*=L^*_a$	a^*_a	b^*_a	$C^*_{ab,a}$	$h^*_{ab,a}$
O _{Ma}	50.5	76.92	64.55	100.42	40
Y _{Ma}	92.66	-20.69	90.75	93.08	103
L _{Ma}	83.63	-82.75	79.9	115.04	136
C _{Ma}	86.88	-46.16	-13.55	48.12	196
V _{Ma}	30.39	76.06	-103.59	128.52	306
M _{Ma}	57.3	94.35	-58.41	110.97	328
N _{Ma}	0.01	0.0	0.0	0.0	0
W _{Ma}	95.41	0.0	0.0	0.0	0
R _{CIE}	39.92	58.74	27.99	65.07	25
J _{CIE}	81.26	-2.88	71.56	71.62	92
G _{CIE}	52.23	-42.41	13.6	44.55	162
B _{CIE}	30.57	1.41	-46.46	46.49	272



OG820-7N-133-3: 5-stufige Reihen für konstanten CIELAB Buntton 196/360 = 0.545 (links)



16-stufige Reihen für konstanten CIELAB Buntton 196/360 = 0.545 (rechts)

OG82: Prüfvorlage 1 nach DIN 33872-2, Buntton C; 1MR, DEH
Eingabe: rgb ($\rightarrow rgb^*_{de}$) $setrgbcolor$
Ausgabe 130-3: $g_p=1.0$; $g_N=1.29$

Eingabe: Farbmétrisches Fernseh-Licht-System TLS00a

für Buntton $h^* = lab^*h = 306/360 = 0.851$

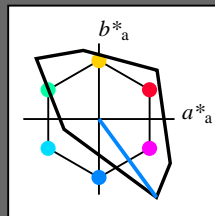
lab^*tch und lab^*nch

D65: Buntton V

LCH*Ma: 30 129 306

olv*Ma: 0.0 0.0 1.0

Dreiecks-Helligkeit t^*



%Umfang

$u^*_{rel} = 158$

%Regularität

$g^*_{H,rel} = 20$

$g^*_{C,rel} = 37$

TLS00a; adaptierte CIELAB-Daten

	$L^*=L^*_a$	a^*_a	b^*_a	$C^*_{ab,a}$	$h^*_{ab,a}$
O _{Ma}	50.5	76.92	64.55	100.42	40
Y _{Ma}	92.66	-20.69	90.75	93.08	103
L _{Ma}	83.63	-82.75	79.9	115.04	136
C _{Ma}	86.88	-46.16	-13.55	48.12	196
V _{Ma}	30.39	76.06	-103.59	128.52	306
M _{Ma}	57.3	94.35	-58.41	110.97	328
N _{Ma}	0.01	0.0	0.0	0.0	0
W _{Ma}	95.41	0.0	0.0	0.0	0
R _{CIE}	39.92	58.74	27.99	65.07	25
J _{CIE}	81.26	-2.88	71.56	71.62	92
G _{CIE}	52.23	-42.41	13.6	44.55	162
B _{CIE}	30.57	1.41	-46.46	46.49	272

Ausgabe: Farbmétrisches Fernseh-Licht-System TLS00a

für Buntton $h^* = lab^*h = 306/360 = 0.851$

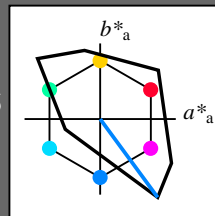
lab^*tch und lab^*nch

D65: Buntton V

LCH*Ma: 30 129 306

olv*Ma: 0.0 0.0 1.0

Dreiecks-Helligkeit t^*



%Umfang

$u^*_{rel} = 158$

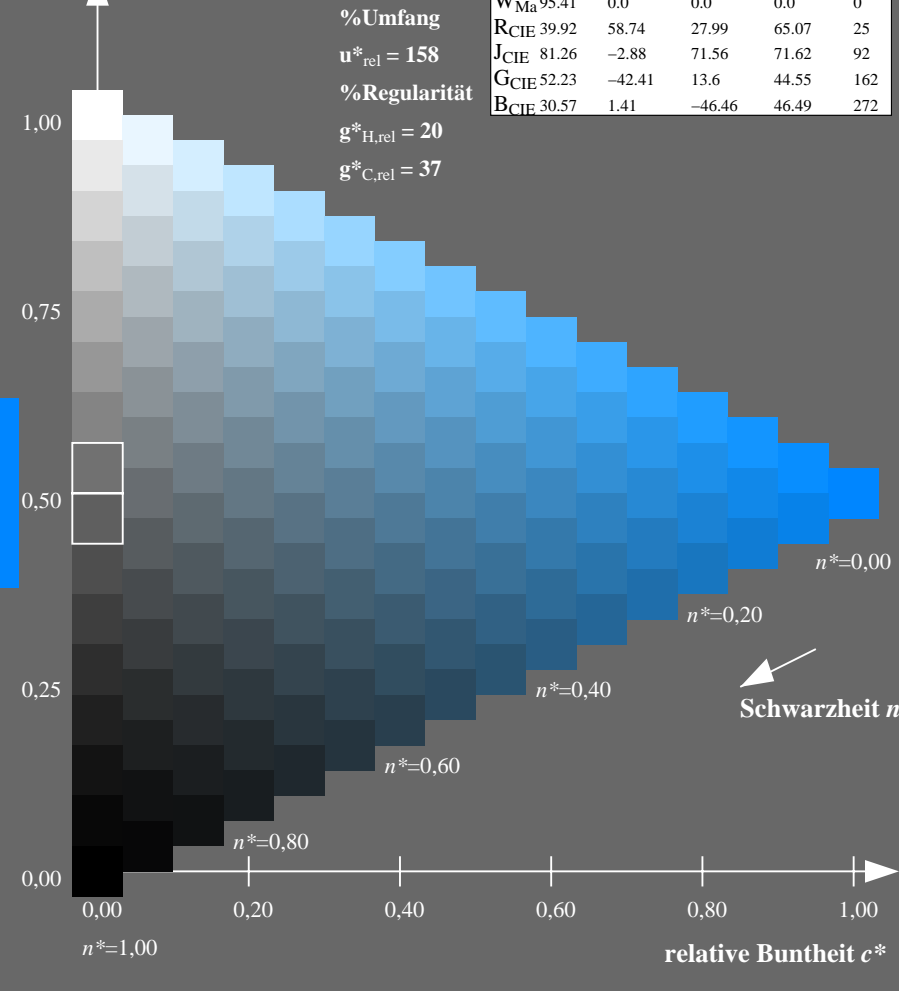
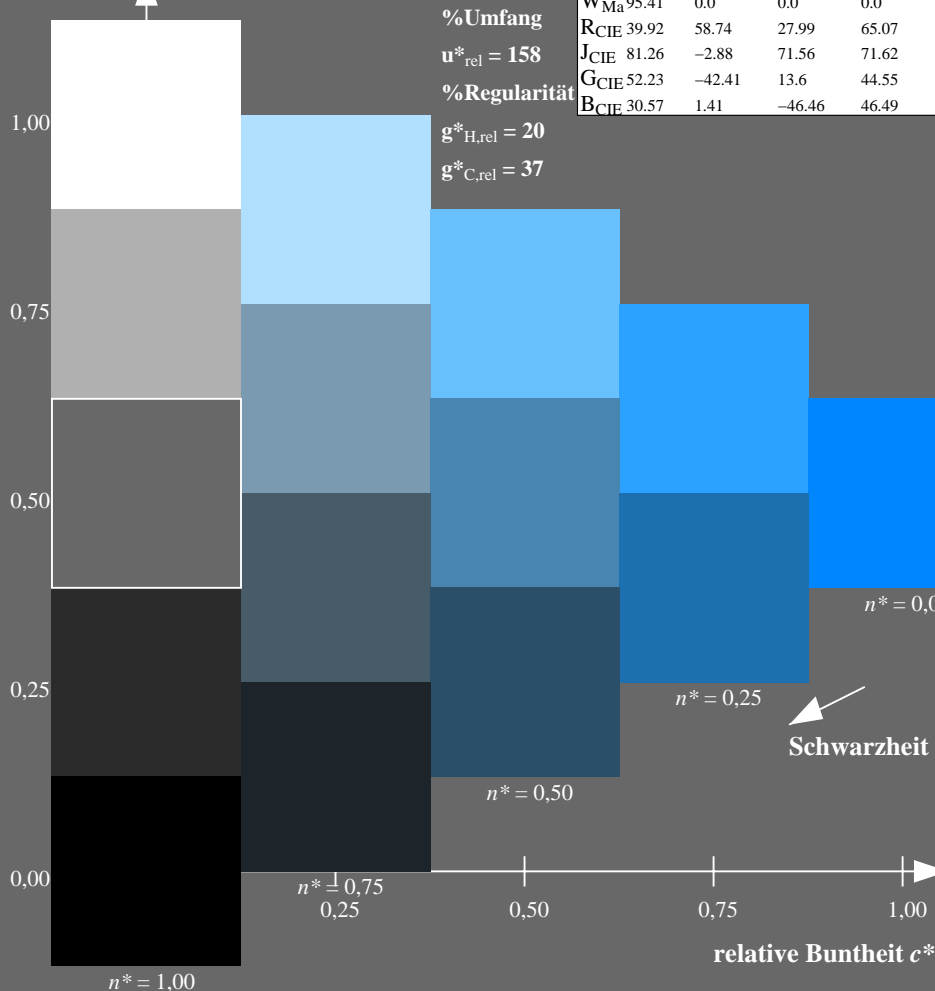
%Regularität

$g^*_{H,rel} = 20$

$g^*_{C,rel} = 37$

TLS00a; adaptierte CIELAB-Daten

	$L^*=L^*_a$	a^*_a	b^*_a	$C^*_{ab,a}$	$h^*_{ab,a}$
O _{Ma}	50.5	76.92	64.55	100.42	40
Y _{Ma}	92.66	-20.69	90.75	93.08	103
L _{Ma}	83.63	-82.75	79.9	115.04	136
C _{Ma}	86.88	-46.16	-13.55	48.12	196
V _{Ma}	30.39	76.06	-103.59	128.52	306
M _{Ma}	57.3	94.35	-58.41	110.97	328
N _{Ma}	0.01	0.0	0.0	0.0	0
W _{Ma}	95.41	0.0	0.0	0.0	0
R _{CIE}	39.92	58.74	27.99	65.07	25
J _{CIE}	81.26	-2.88	71.56	71.62	92
G _{CIE}	52.23	-42.41	13.6	44.55	162
B _{CIE}	30.57	1.41	-46.46	46.49	272



OG820-7N-133-4: 5-stufige Reihen für konstanten CIELAB Buntton 306/360 = 0.851 (links)

16-stufige Reihen für konstanten CIELAB Buntton 306/360 = 0.851 (rechts)

OG82: Prüfvorlage 1 nach DIN 33872-2, Buntton V; 1MR, DEH
Unterscheidbarkeit von 5- und 16-stufigen Farbreihen

Eingabe: rgb ($\rightarrow rgb^*_{de}$) $setrgbcolor$
Ausgabe 130-4: $g_p=1.0$; $g_N=1.29$

Eingabe: Farbmétrisches Fernseh-Licht-System TLS00a

für Buntton $h^* = lab^*h = 328/360 = 0.912$

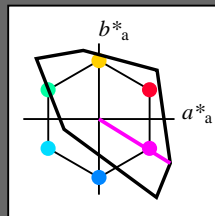
lab^*tch und lab^*nch

D65: Buntton M

LCH*Ma: 57 111 328

olv*Ma: 1.0 0.0 1.0

Dreiecks-Helligkeit t^*



%Umfang

$u^*_{rel} = 158$

%Regularität

$g^*_{H,rel} = 20$

$g^*_{C,rel} = 37$

TLS00a; adaptierte CIELAB-Daten

	$L^*=L^*_a$	a^*_a	b^*_a	$C^*_{ab,a}$	$h^*_{ab,a}$
O _{Ma}	50.5	76.92	64.55	100.42	40
Y _{Ma}	92.66	-20.69	90.75	93.08	103
L _{Ma}	83.63	-82.75	79.9	115.04	136
C _{Ma}	86.88	-46.16	-13.55	48.12	196
V _{Ma}	30.39	76.06	-103.59	128.52	306
M _{Ma}	57.3	94.35	-58.41	110.97	328
N _{Ma}	0.01	0.0	0.0	0.0	0
W _{Ma}	95.41	0.0	0.0	0.0	0
R _{CIE}	39.92	58.74	27.99	65.07	25
J _{CIE}	81.26	-2.88	71.56	71.62	92
G _{CIE}	52.23	-42.41	13.6	44.55	162
B _{CIE}	30.57	1.41	-46.46	46.49	272

Ausgabe: Farbmétrisches Fernseh-Licht-System TLS00a

für Buntton $h^* = lab^*h = 328/360 = 0.912$

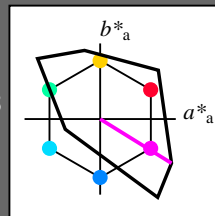
lab^*tch und lab^*nch

D65: Buntton M

LCH*Ma: 57 111 328

olv*Ma: 1.0 0.0 1.0

Dreiecks-Helligkeit t^*



%Umfang

$u^*_{rel} = 158$

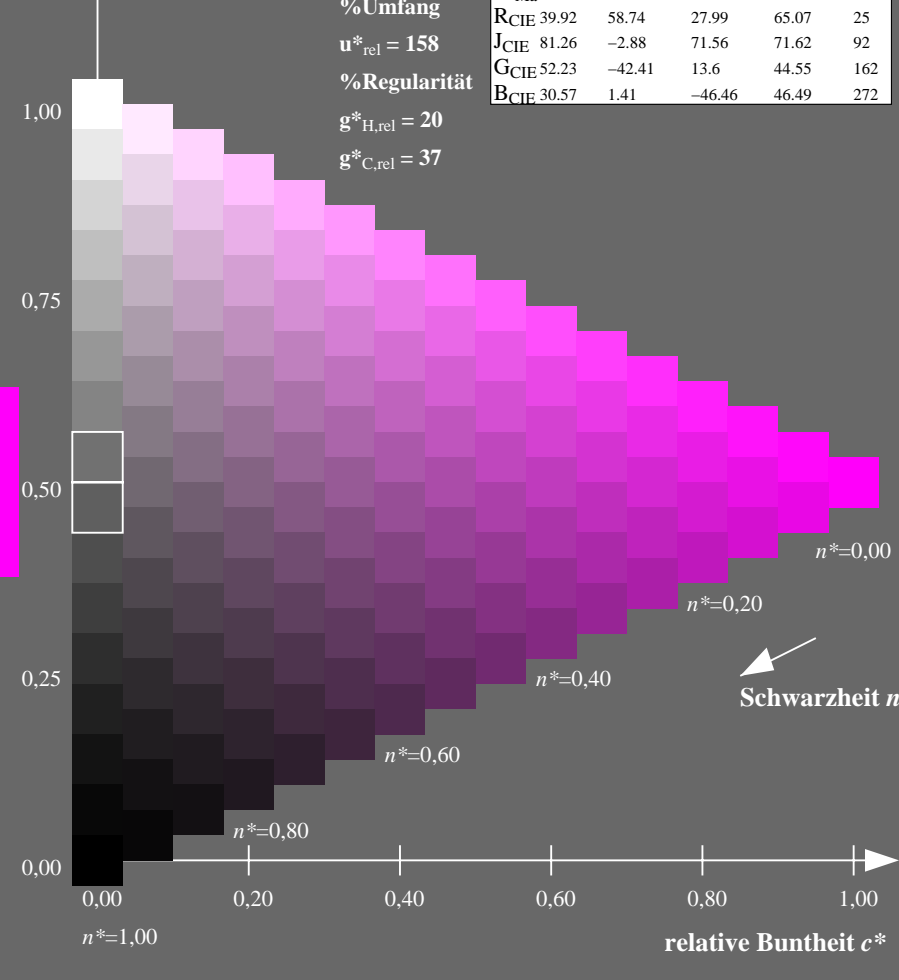
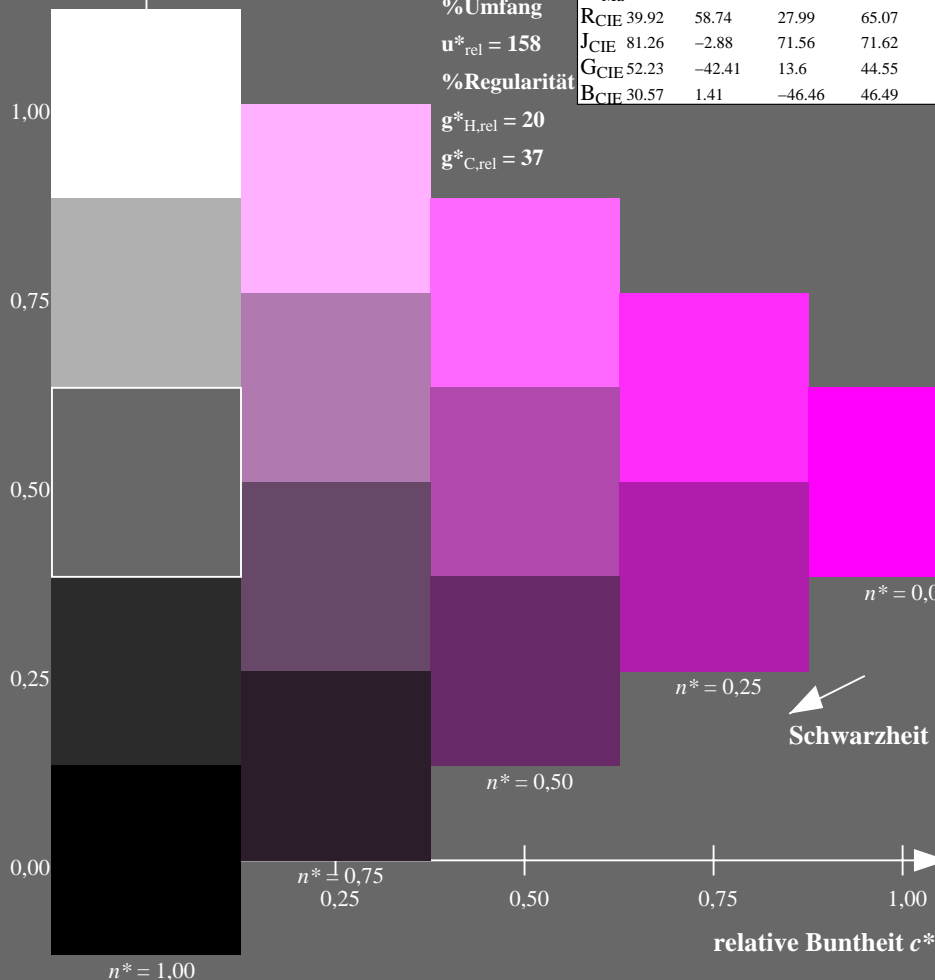
%Regularität

$g^*_{H,rel} = 20$

$g^*_{C,rel} = 37$

TLS00a; adaptierte CIELAB-Daten

	$L^*=L^*_a$	a^*_a	b^*_a	$C^*_{ab,a}$	$h^*_{ab,a}$
O _{Ma}	50.5	76.92	64.55	100.42	40
Y _{Ma}	92.66	-20.69	90.75	93.08	103
L _{Ma}	83.63	-82.75	79.9	115.04	136
C _{Ma}	86.88	-46.16	-13.55	48.12	196
V _{Ma}	30.39	76.06	-103.59	128.52	306
M _{Ma}	57.3	94.35	-58.41	110.97	328
N _{Ma}	0.01	0.0	0.0	0.0	0
W _{Ma}	95.41	0.0	0.0	0.0	0
R _{CIE}	39.92	58.74	27.99	65.07	25
J _{CIE}	81.26	-2.88	71.56	71.62	92
G _{CIE}	52.23	-42.41	13.6	44.55	162
B _{CIE}	30.57	1.41	-46.46	46.49	272



OG820-7N-133-5: 5-stufige Reihen für konstanten CIELAB Buntton 328/360 = 0.912 (links)

16-stufige Reihen für konstanten CIELAB Buntton 328/360 = 0.912 (rechts)

OG82: Prüfvorlage 1 nach DIN 33872-2, Buntton M; 1MR, DEH Eingabe: $rgb \rightarrow rgb^*_{de}$ setrgbcolor
Unterscheidbarkeit von 5- und 16-stufigen Farbreihen
Ausgabe 130-5: $g_p=1.0$; $g_N=1.29$

Eingabe: Farbmatisches Fernseh-Licht-System TLS00a

für Buntton $h^* = lab^*h = 25/360 = 0.071$

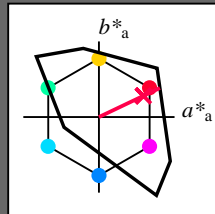
lab^*tch und lab^*nch

D65: Buntton R

LCH*Ma: 52 89 25

olv*Ma: 1.0 0.0 0.21

Dreiecks-Helligkeit t^*



%Umfang

$u^*_{rel} = 158$

%Regularität

$g^*_{H,rel} = 20$

$g^*_{C,rel} = 37$

TLS00a; adaptierte CIELAB-Daten

	$L^*=L^*_a$	a^*_a	b^*_a	$C^*_{ab,a}$	$h^*_{ab,a}$
O _{Ma}	50.5	76.92	64.55	100.42	40
Y _{Ma}	92.66	-20.69	90.75	93.08	103
L _{Ma}	83.63	-82.75	79.9	115.04	136
C _{Ma}	86.88	-46.16	-13.55	48.12	196
V _{Ma}	30.39	76.06	-103.59	128.52	306
M _{Ma}	57.3	94.35	-58.41	110.97	328
N _{Ma}	0.01	0.0	0.0	0.0	0
W _{Ma}	95.41	0.0	0.0	0.0	0
R _{CIE}	39.92	58.74	27.99	65.07	25
J _{CIE}	81.26	-2.88	71.56	71.62	92
G _{CIE}	52.23	-42.41	13.6	44.55	162
B _{CIE}	30.57	1.41	-46.46	46.49	272

Ausgabe: Farbmatisches Fernseh-Licht-System TLS00a

für Buntton $h^* = lab^*h = 25/360 = 0.071$

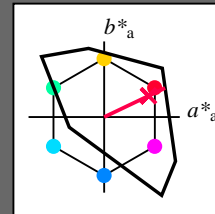
lab^*tch und lab^*nch

D65: Buntton R

LCH*Ma: 52 89 25

olv*Ma: 1.0 0.0 0.21

Dreiecks-Helligkeit t^*



%Umfang

$u^*_{rel} = 158$

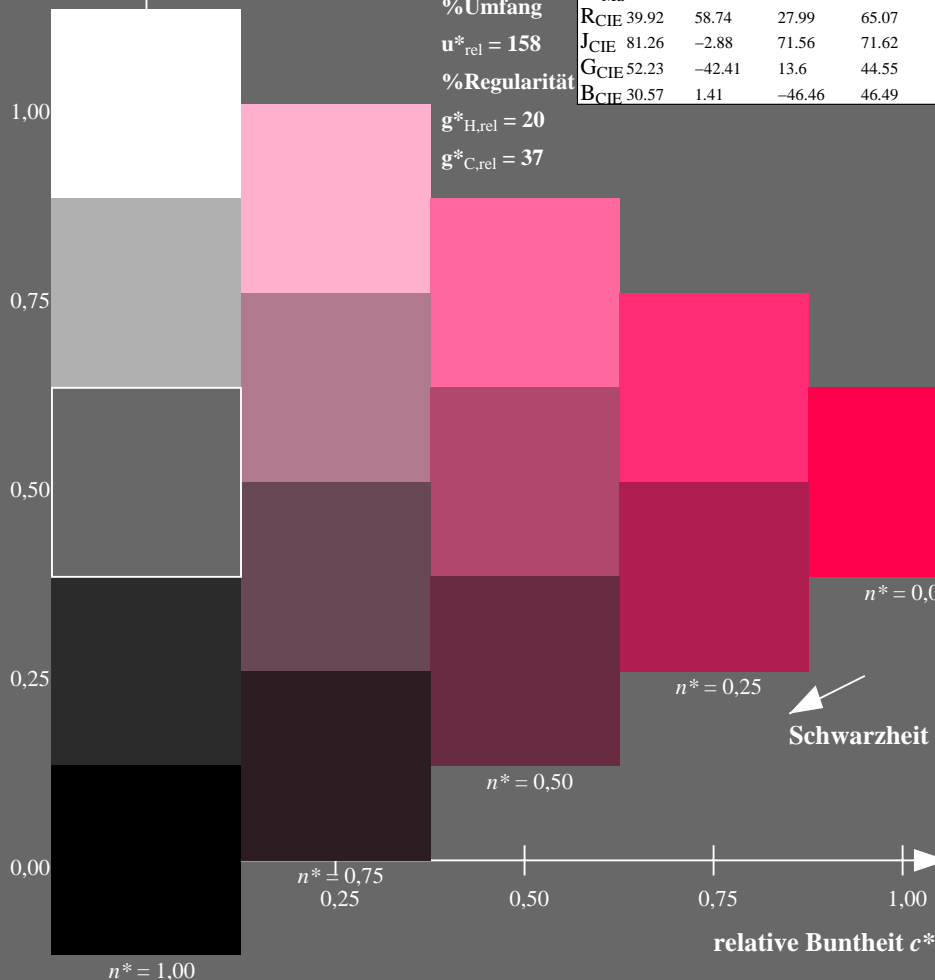
%Regularität

$g^*_{H,rel} = 20$

$g^*_{C,rel} = 37$

TLS00a; adaptierte CIELAB-Daten

	$L^*=L^*_a$	a^*_a	b^*_a	$C^*_{ab,a}$	$h^*_{ab,a}$
O _{Ma}	50.5	76.92	64.55	100.42	40
Y _{Ma}	92.66	-20.69	90.75	93.08	103
L _{Ma}	83.63	-82.75	79.9	115.04	136
C _{Ma}	86.88	-46.16	-13.55	48.12	196
V _{Ma}	30.39	76.06	-103.59	128.52	306
M _{Ma}	57.3	94.35	-58.41	110.97	328
N _{Ma}	0.01	0.0	0.0	0.0	0
W _{Ma}	95.41	0.0	0.0	0.0	0
R _{CIE}	39.92	58.74	27.99	65.07	25
J _{CIE}	81.26	-2.88	71.56	71.62	92
G _{CIE}	52.23	-42.41	13.6	44.55	162
B _{CIE}	30.57	1.41	-46.46	46.49	272



OG82-7N-133-6: 5-stufige Reihen für konstanten CIELAB Buntton 25/360 = 0.071 (links)

16-stufige Reihen für konstanten CIELAB Buntton 25/360 = 0.071 (rechts)

OG82: Prüfvorlage 1 nach DIN 33872-2, Buntton R; 1MR, DEEHEingabe: $rgb \rightarrow rgb^*_{dee}$ setrgbcold
Unterscheidbarkeit von 5- und 16-stufigen Farbreihen
Ausgabe 130-6: $g_p=1.0$; $g_N=1.29$

Eingabe: Farbmétrisches Fernseh-Licht-System TLS00a

für Buntton $h^* = lab^*h = 92/360 = 0.256$

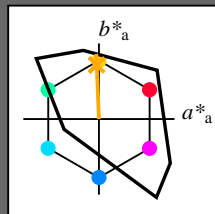
lab^*tch und lab^*nch

D65: Buntton J

LCH*Ma: 85 86 92

olv*Ma: 1.0 0.82 0.0

Dreiecks-Helligkeit t^*



%Umfang

$u^*_{rel} = 158$

%Regularität

$g^*_{H,rel} = 20$

$g^*_{C,rel} = 37$

TLS00a; adaptierte CIELAB-Daten

	$L^*=L^*_a$	a^*_a	b^*_a	$C^*_{ab,a}$	$h^*_{ab,a}$
O _{Ma}	50.5	76.92	64.55	100.42	40
Y _{Ma}	92.66	-20.69	90.75	93.08	103
L _{Ma}	83.63	-82.75	79.9	115.04	136
C _{Ma}	86.88	-46.16	-13.55	48.12	196
V _{Ma}	30.39	76.06	-103.59	128.52	306
M _{Ma}	57.3	94.35	-58.41	110.97	328
N _{Ma}	0.01	0.0	0.0	0.0	0
W _{Ma}	95.41	0.0	0.0	0.0	0
R _{CIE}	39.92	58.74	27.99	65.07	25
J _{CIE}	81.26	-2.88	71.56	71.62	92
G _{CIE}	52.23	-42.41	13.6	44.55	162
B _{CIE}	30.57	1.41	-46.46	46.49	272

Ausgabe: Farbmétrisches Fernseh-Licht-System TLS00a

für Buntton $h^* = lab^*h = 92/360 = 0.256$

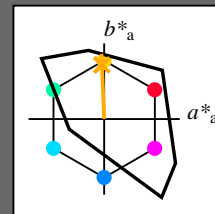
lab^*tch und lab^*nch

D65: Buntton J

LCH*Ma: 85 86 92

olv*Ma: 1.0 0.82 0.0

Dreiecks-Helligkeit t^*



%Umfang

$u^*_{rel} = 158$

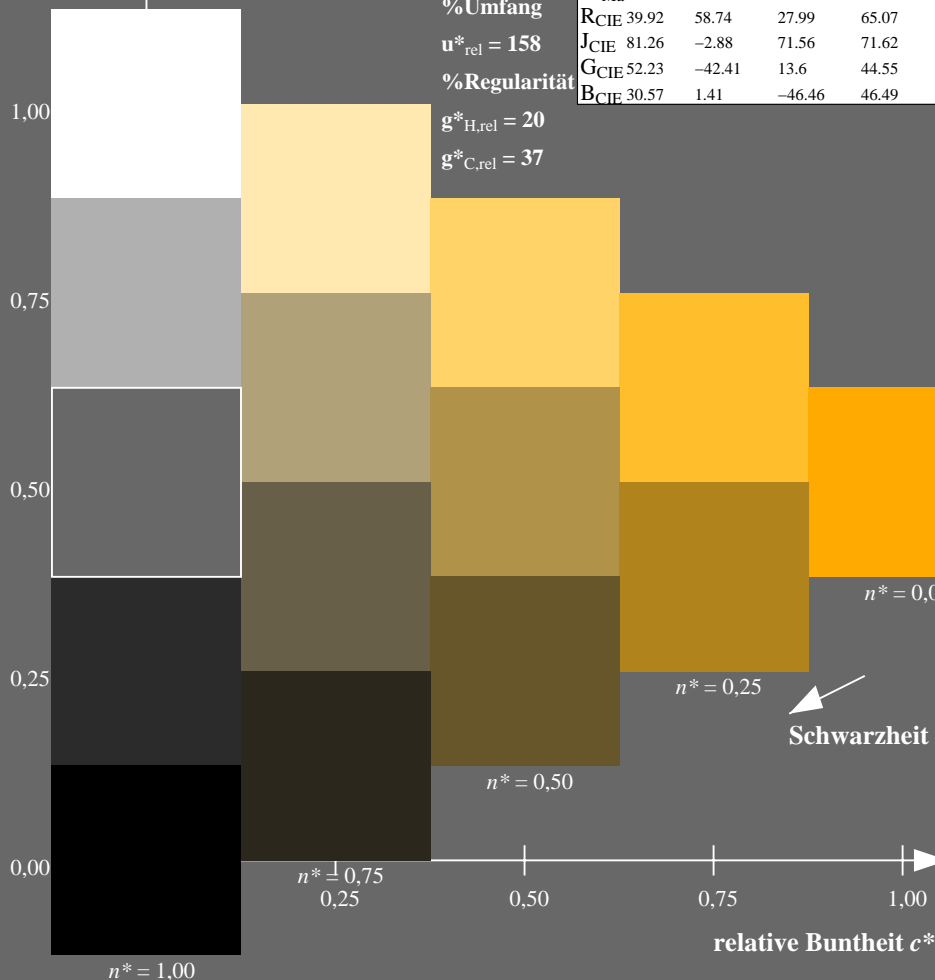
%Regularität

$g^*_{H,rel} = 20$

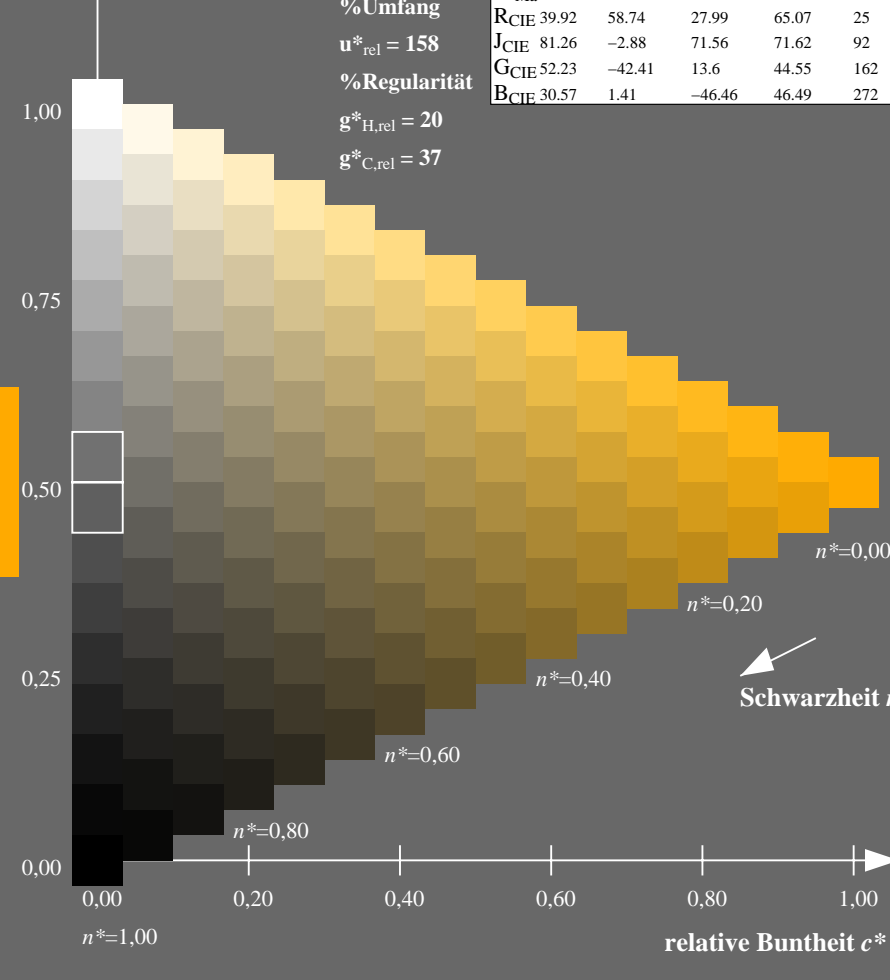
$g^*_{C,rel} = 37$

TLS00a; adaptierte CIELAB-Daten

	$L^*=L^*_a$	a^*_a	b^*_a	$C^*_{ab,a}$	$h^*_{ab,a}$
O _{Ma}	50.5	76.92	64.55	100.42	40
Y _{Ma}	92.66	-20.69	90.75	93.08	103
L _{Ma}	83.63	-82.75	79.9	115.04	136
C _{Ma}	86.88	-46.16	-13.55	48.12	196
V _{Ma}	30.39	76.06	-103.59	128.52	306
M _{Ma}	57.3	94.35	-58.41	110.97	328
N _{Ma}	0.01	0.0	0.0	0.0	0
W _{Ma}	95.41	0.0	0.0	0.0	0
R _{CIE}	39.92	58.74	27.99	65.07	25
J _{CIE}	81.26	-2.88	71.56	71.62	92
G _{CIE}	52.23	-42.41	13.6	44.55	162
B _{CIE}	30.57	1.41	-46.46	46.49	272



OG820-7N-133-7: 5-stufige Reihen für konstanten CIELAB Buntton 92/360 = 0.256 (links)



16-stufige Reihen für konstanten CIELAB Buntton 92/360 = 0.256 (rechts)

OG82: Prüfvorlage 1 nach DIN 33872-2, Buntton J; 1MR, DEEH Eingabe: $rgb \rightarrow rgb^*_{dee}$ setrgbcol
Unterscheidbarkeit von 5- und 16-stufigen Farbreihen
Ausgabe 130-7: $g_p=1.0$; $g_N=1.29$

Eingabe: Farbmatisches Fernseh-Licht-System TLS00a

für Buntton $h^* = lab^*h = 162/360 = 0.451$

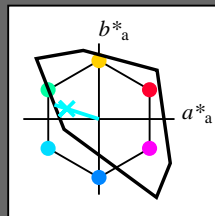
lab^*tch und lab^*nch

D65: Buntton G

LCH*Ma: 86 62 162

olv*Ma: 0.0 1.0 0.65

Dreiecks-Helligkeit t^*



%Umfang

$u^*_{rel} = 158$

%Regularität

$g^*_{H,rel} = 20$

$g^*_{C,rel} = 37$

TLS00a; adaptierte CIELAB-Daten

	$L^*=L^*_a$	a^*_a	b^*_a	$C^*_{ab,a}$	$h^*_{ab,a}$
O _{Ma}	50.5	76.92	64.55	100.42	40
Y _{Ma}	92.66	-20.69	90.75	93.08	103
L _{Ma}	83.63	-82.75	79.9	115.04	136
C _{Ma}	86.88	-46.16	-13.55	48.12	196
V _{Ma}	30.39	76.06	-103.59	128.52	306
M _{Ma}	57.3	94.35	-58.41	110.97	328
N _{Ma}	0.01	0.0	0.0	0.0	0
W _{Ma}	95.41	0.0	0.0	0.0	0
R _{CIE}	39.92	58.74	27.99	65.07	25
J _{CIE}	81.26	-2.88	71.56	71.62	92
G _{CIE}	52.23	-42.41	13.6	44.55	162
B _{CIE}	30.57	1.41	-46.46	46.49	272

Ausgabe: Farbmatisches Fernseh-Licht-System TLS00a

für Buntton $h^* = lab^*h = 162/360 = 0.451$

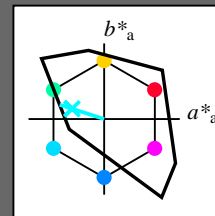
lab^*tch und lab^*nch

D65: Buntton G

LCH*Ma: 86 62 162

olv*Ma: 0.0 1.0 0.65

Dreiecks-Helligkeit t^*



%Umfang

$u^*_{rel} = 158$

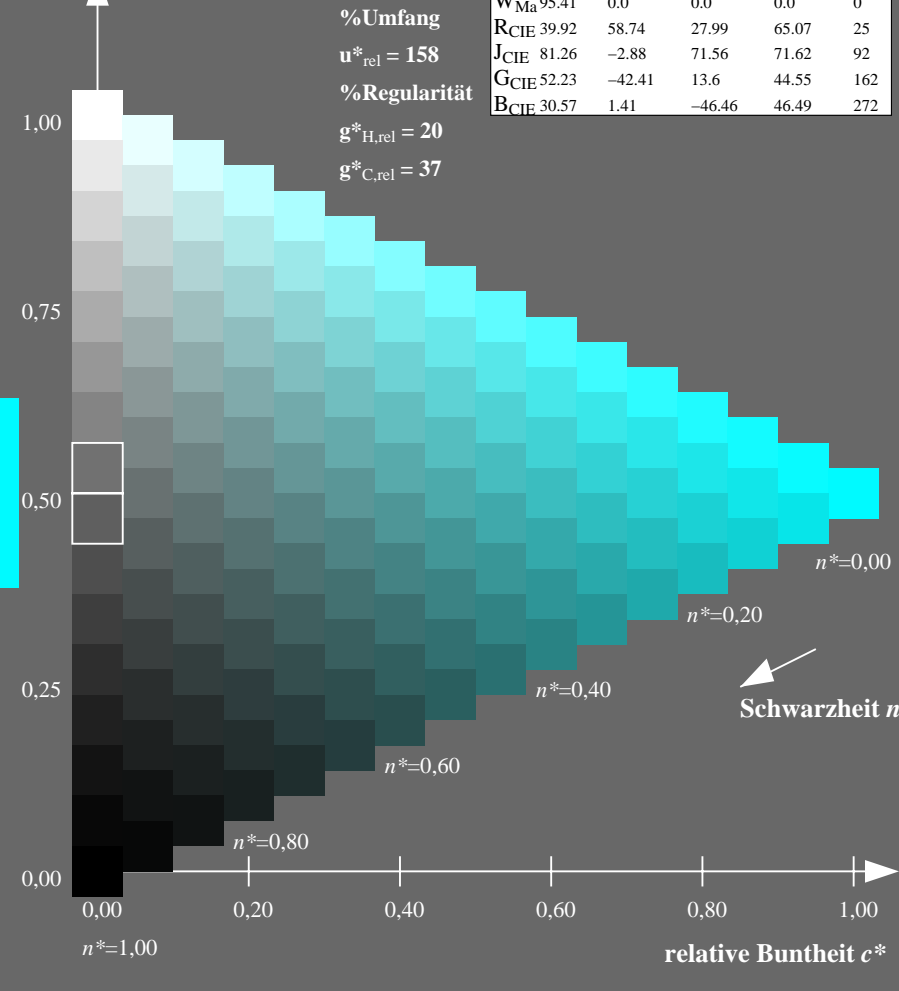
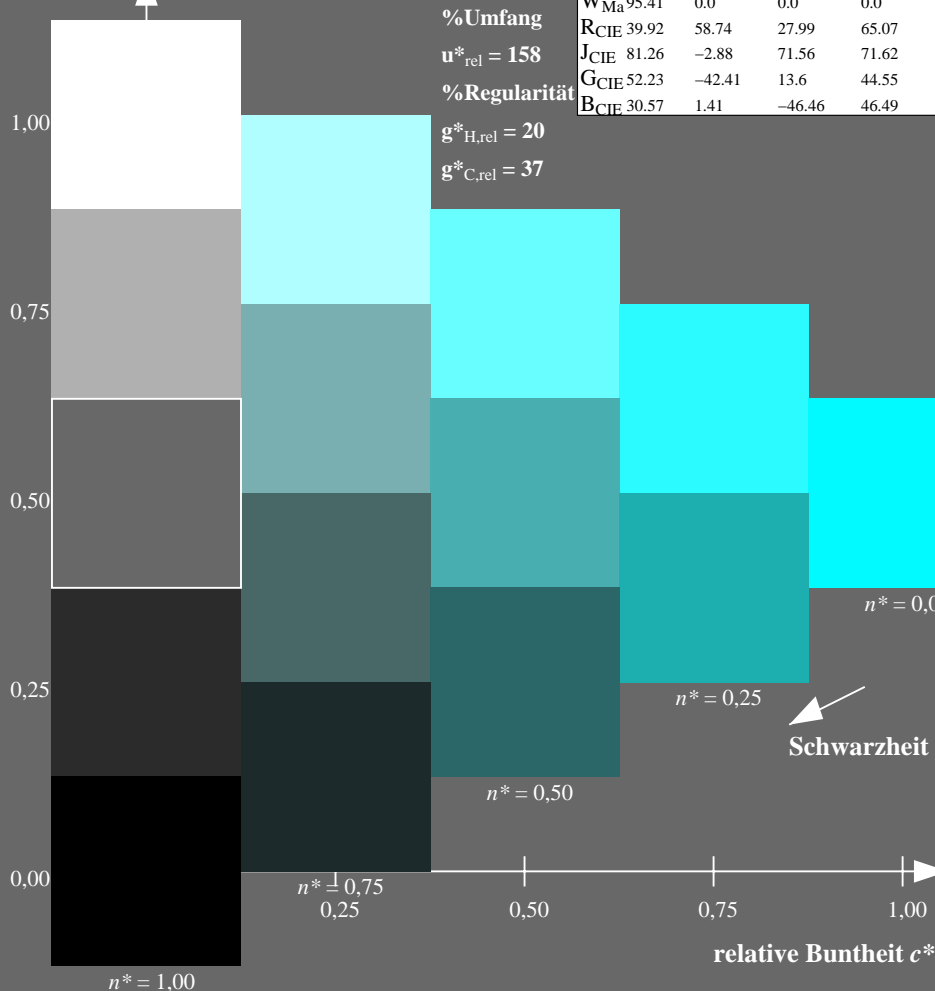
%Regularität

$g^*_{H,rel} = 20$

$g^*_{C,rel} = 37$

TLS00a; adaptierte CIELAB-Daten

	$L^*=L^*_a$	a^*_a	b^*_a	$C^*_{ab,a}$	$h^*_{ab,a}$
O _{Ma}	50.5	76.92	64.55	100.42	40
Y _{Ma}	92.66	-20.69	90.75	93.08	103
L _{Ma}	83.63	-82.75	79.9	115.04	136
C _{Ma}	86.88	-46.16	-13.55	48.12	196
V _{Ma}	30.39	76.06	-103.59	128.52	306
M _{Ma}	57.3	94.35	-58.41	110.97	328
N _{Ma}	0.01	0.0	0.0	0.0	0
W _{Ma}	95.41	0.0	0.0	0.0	0
R _{CIE}	39.92	58.74	27.99	65.07	25
J _{CIE}	81.26	-2.88	71.56	71.62	92
G _{CIE}	52.23	-42.41	13.6	44.55	162
B _{CIE}	30.57	1.41	-46.46	46.49	272



OG820-7N-133-8: 5-stufige Reihen für konstanten CIELAB Buntton 162/360 = 0.451 (links)

16-stufige Reihen für konstanten CIELAB Buntton 162/360 = 0.451 (rechts)

OG82: Prüfvorlage 1 nach DIN 33872-2, Buntton G; 1MR, DEEHEingabe: $rgb \rightarrow rgb^*_{dee}$ setrgbcol
Unterscheidbarkeit von 5- und 16-stufigen Farbreihen
Ausgabe 130-8: $g_p=1.0$; $g_N=1.29$

Eingabe: Farbmétrisches Fernseh-Licht-System TLS00a

für Buntton $h^* = lab^*h = 272/360 = 0.755$

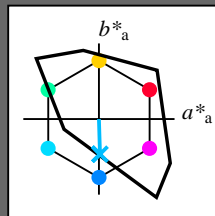
lab^*tch und lab^*nch

D65: Buntton B

LCH*Ma: 65 49 272

olv*Ma: 0.0 0.61 1.0

Dreiecks-Helligkeit t^*



%Umfang

$u^*_{rel} = 158$

%Regularität

$g^*_{H,rel} = 20$

$g^*_{C,rel} = 37$

TLS00a; adaptierte CIELAB-Daten

	$L^*=L^*_a$	a^*_a	b^*_a	$C^*_{ab,a}$	$h^*_{ab,a}$
O _{Ma}	50.5	76.92	64.55	100.42	40
Y _{Ma}	92.66	-20.69	90.75	93.08	103
L _{Ma}	83.63	-82.75	79.9	115.04	136
C _{Ma}	86.88	-46.16	-13.55	48.12	196
V _{Ma}	30.39	76.06	-103.59	128.52	306
M _{Ma}	57.3	94.35	-58.41	110.97	328
N _{Ma}	0.01	0.0	0.0	0.0	0
W _{Ma}	95.41	0.0	0.0	0.0	0
R _{CIE}	39.92	58.74	27.99	65.07	25
J _{CIE}	81.26	-2.88	71.56	71.62	92
G _{CIE}	52.23	-42.41	13.6	44.55	162
B _{CIE}	30.57	1.41	-46.46	46.49	272

Ausgabe: Farbmétrisches Fernseh-Licht-System TLS00a

für Buntton $h^* = lab^*h = 272/360 = 0.755$

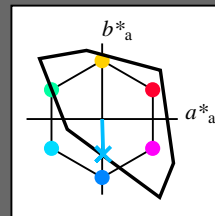
lab^*tch und lab^*nch

D65: Buntton B

LCH*Ma: 65 49 272

olv*Ma: 0.0 0.61 1.0

Dreiecks-Helligkeit t^*



%Umfang

$u^*_{rel} = 158$

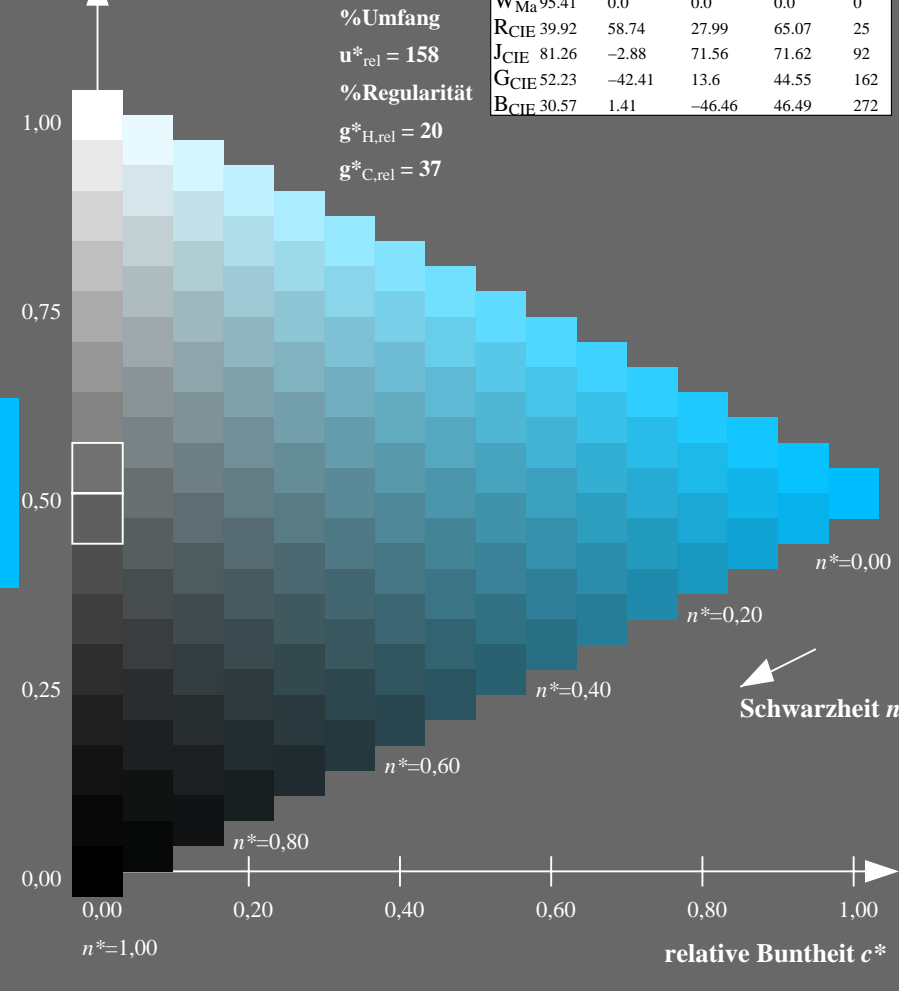
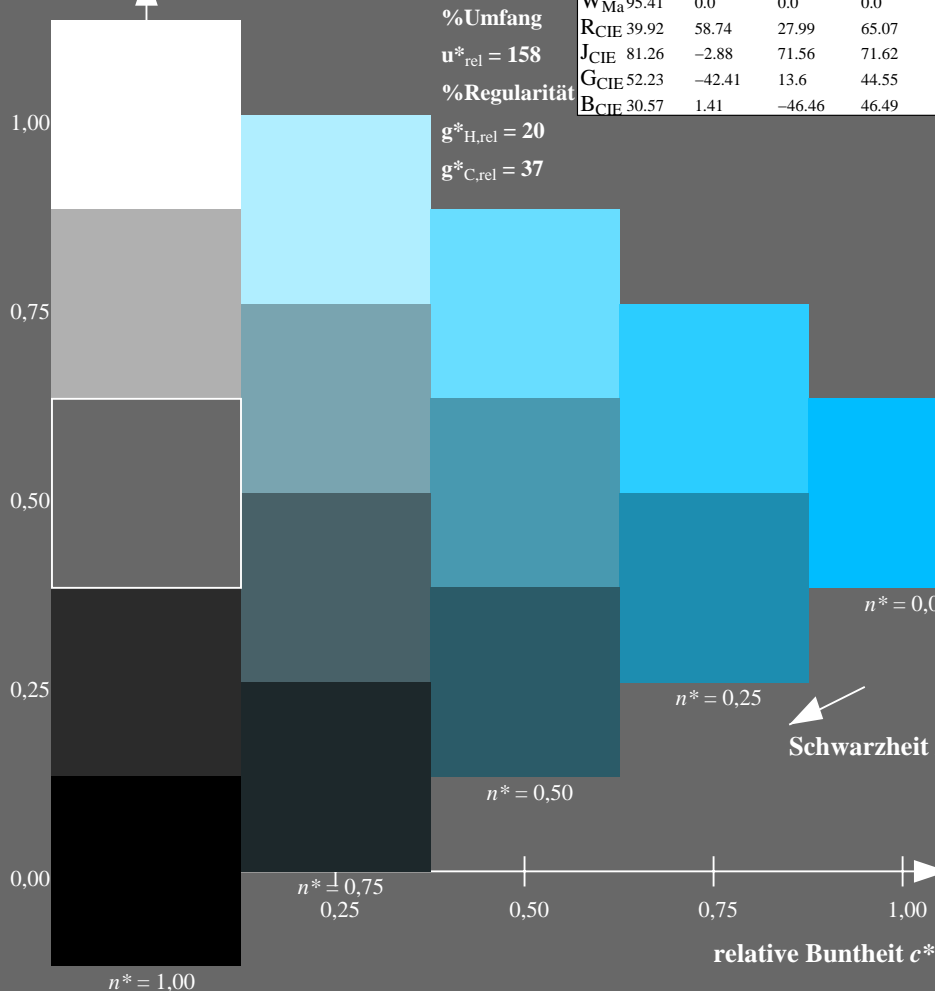
%Regularität

$g^*_{H,rel} = 20$

$g^*_{C,rel} = 37$

TLS00a; adaptierte CIELAB-Daten

	$L^*=L^*_a$	a^*_a	b^*_a	$C^*_{ab,a}$	$h^*_{ab,a}$
O _{Ma}	50.5	76.92	64.55	100.42	40
Y _{Ma}	92.66	-20.69	90.75	93.08	103
L _{Ma}	83.63	-82.75	79.9	115.04	136
C _{Ma}	86.88	-46.16	-13.55	48.12	196
V _{Ma}	30.39	76.06	-103.59	128.52	306
M _{Ma}	57.3	94.35	-58.41	110.97	328
N _{Ma}	0.01	0.0	0.0	0.0	0
W _{Ma}	95.41	0.0	0.0	0.0	0
R _{CIE}	39.92	58.74	27.99	65.07	25
J _{CIE}	81.26	-2.88	71.56	71.62	92
G _{CIE}	52.23	-42.41	13.6	44.55	162
B _{CIE}	30.57	1.41	-46.46	46.49	272



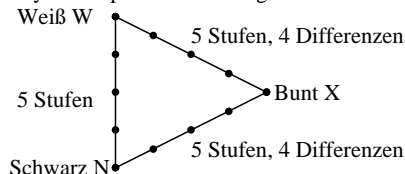
OG820-7N-133-9: 5-stufige Reihen für konstanten CIELAB Buntton 272/360 = 0.755 (links)

16-stufige Reihen für konstanten CIELAB Buntton 272/360 = 0.755 (rechts)

OG82: Prüfvorlage 1 nach DIN 33872-2, Buntton B; 1MR, DEEHEingabe: rgb (->rgb*dee) setrgbcold
Ausgabe 130-9: $g_p=1.0$; $g_N=1.29$

Unterscheidbarkeit von 5-stufigen Farbreihen (Ja/Nein-Entscheidung)

Layoutbeispiel: drei 5-stufige Farbreihen



Es gibt drei Grundfarben auf jeder Seite:
Schwarz N, Weiß W und Bunt X.
Zehn Seiten enthalten 10 Bunttonebenen
X = OYLCVM und RJGB.
Es gibt maximal 12 unterscheidbare Stufen.

Alle Stufen der drei Serien N-W, W-X und X-N sollen unterscheidbar sein auf allen Seiten.

Sind die drei 5-stufigen Reihen auf allen Seiten unterscheidbar? **unterstreiche: Ja/Nein**

Nur im Fall von Nein: Sind die drei 5-stufigen Reihen auf Seite x von 10 Seiten unterscheidbar?

- Unterstreiche Ja/Nein und gib im Fall von Nein die Anzahl unterscheidbarer Stufen an
- Seite 1: Ja/Nein, wenn Nein ../12 Stufendifferenzen sind unterscheidbar von O = Orangerot
Seite 2: Ja/Nein, wenn Nein ../12 Stufendifferenzen sind unterscheidbar von Y = Gelb
Seite 3: Ja/Nein, wenn Nein ../12 Stufendifferenzen sind unterscheidbar von L = Laubgrün
Seite 4: Ja/Nein, wenn Nein ../12 Stufendifferenzen sind unterscheidbar von C = Cyanblau
Seite 5: Ja/Nein, wenn Nein ../12 Stufendifferenzen sind unterscheidbar von V = Violettblau
Seite 6: Ja/Nein, wenn Nein ../12 Stufendifferenzen sind unterscheidbar von M = Magentarot
Seite 7: Ja/Nein, wenn Nein ../12 Stufendifferenzen sind unterscheidbar von R = Elementarrot
Seite 8: Ja/Nein, wenn Nein ../12 Stufendifferenzen sind unterscheidbar von J = Elementargelb
Seite 9: Ja/Nein, wenn Nein ../12 Stufendifferenzen sind unterscheidbar von G = Elementargrün
Seite 10: Ja/Nein, wenn Nein ../12 Stufendifferenzen sind unterscheidbar von B = Elementarblau

Summe: ../10 Ja-Seiten und ../120 Stufendifferenzen unterscheidbar

Teil 1

OG820-3N-133-10

Dokumentation von Dateiformat, Hard- und Software für diese Prüfung:

PDF-Datei: http://130.149.60.45/farbmetrik/OG82/OG82L0NP.PDF **unterstreiche Ja/Nein**

PS-Datei: http://130.149.60.45/farbmetrik/OG82/OG82L0NA.PS **oder unterstreiche Ja/Nein**

benutztes Rechner-Betriebssystem:

nur eines von Windows/Mac/Unix/anderes und Version:.....

Die Beurteilung ist für die Geräteausgabe: **unterstreiche Monitor/Datenprojektor/Drucker**

Geräte-Modell, -Treiber und -Version:.....

Geräteausgabe mit PDF/PS-Datei: **unterstreiche PDF-/PS-Datei**

Für Geräteausgabe mit PDF-Datei OG82L0NP.PDF:

- entweder PDF-Dateitransfer "download, copy" nach PDF-Gerät.....
- oder mit Rechnersystem-Interpretation durch "Display-PDF":.....
- oder mit Software, z. B. Adobe-Reader/-Acrobat und Version:.....
- oder mit Software, z. B. Ghostscript und Version:.....

Für Geräteausgabe mit PS-Datei OG82L0NA.PS:

- entweder PS-Dateitransfer "download, copy" nach PS-Gerät.....
- oder mit Rechnersystem-Interpretation durch "Display-PS":.....
- oder mit Software, z. B. Ghostscript und Version:.....
- oder mit Software, z. B. Mac-Yap und Version:.....

Spezielle Anmerkungen:

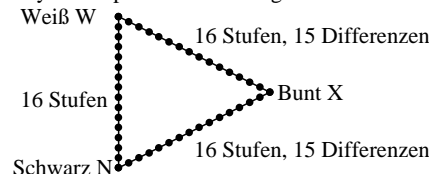
.....
.....
.....

Teil 3

OG820-7N-133-10

Unterscheidbarkeit von 16-stufigen Farbreihen (Ja/Nein-Entscheidung)

Layoutbeispiel: drei 16-stufige Farbreihen



Es gibt drei Grundfarben auf jeder Seite:
Schwarz N, Weiß W und Bunt X.
Zehn Seiten enthalten 10 Bunttonebenen
X = OYLCVM und RJGB.
Es gibt maximal 45 unterscheidbare Stufen.

Alle Stufen der drei Serien N-W, W-X und X-N sollen unterscheidbar sein auf allen Seiten.

Sind die drei 16-stufigen Reihen auf allen Seiten unterscheidbar? **unterstreiche: Ja/Nein**

Nur im Fall von Nein: Sind die drei 16-stufigen Reihen auf Seite x von 10 Seiten unterscheidbar?

Unterstreiche Ja/Nein und gib im Fall von Nein die Anzahl unterscheidbarer Stufen an

- Seite 1: Ja/Nein, wenn Nein ../45 Stufendifferenzen sind unterscheidbar von O = Orangerot
Seite 2: Ja/Nein, wenn Nein ../45 Stufendifferenzen sind unterscheidbar von Y = Gelb
Seite 3: Ja/Nein, wenn Nein ../45 Stufendifferenzen sind unterscheidbar von L = Laubgrün
Seite 4: Ja/Nein, wenn Nein ../45 Stufendifferenzen sind unterscheidbar von C = Cyanblau
Seite 5: Ja/Nein, wenn Nein ../45 Stufendifferenzen sind unterscheidbar von V = Violettblau
Seite 6: Ja/Nein, wenn Nein ../45 Stufendifferenzen sind unterscheidbar von M = Magentarot
Seite 7: Ja/Nein, wenn Nein ../45 Stufendifferenzen sind unterscheidbar von R = Elementarrot
Seite 8: Ja/Nein, wenn Nein ../45 Stufendifferenzen sind unterscheidbar von J = Elementargelb
Seite 9: Ja/Nein, wenn Nein ../45 Stufendifferenzen sind unterscheidbar von G = Elementargrün
Seite 10: Ja/Nein, wenn Nein ../45 Stufendifferenzen sind unterscheidbar von B = Elementarblau

Summe: ../10 Ja-Seiten und ../450 Stufendifferenzen unterscheidbar

Teil 2

OG821-3N-133-10

Dokumentation der Beurteiler-Farbseigenschaften für diese Prüfung:

Der Beurteiler hat normales Farbsehen nach einer Prüfung:

- entweder nach DIN 6160:1996 mit Anomalskop nach Nagel
- oder mit Farbpunkt-Prüftafeln nach Ishihara
- oder mit, bitte nennen:.....

unterstreiche Ja/Nein

unterstreiche Ja/unbekannt

unterstreiche Ja/unbekannt

unterstreiche Ja/unbekannt

Für visuelle Bewertung der Display(Monitor, Daten-Projektor)-Ausgabe

Büro-Arbeitsplatz-Beleuchtung ist Tageslicht (bedeckter/Nordhimmel)

PDF-Datei: http://130.149.60.45/farbmetrik/OG82/OG82F1P2.PDF

PS-Datei: http://130.149.60.45/farbmetrik/OG82/OG82F1P2.PS

Bild A7-133-2: Kontrastbereich: (>F:0) (F:0) (E:0) (D:0) (C:0) (A:0) (9:0) (7:0) (5:0) (3:0) (<3:0)

vergleiche Normdruckausgabe nach ISO/IEC 15775 mit Bereich F:0

Anmerkung: Bei Tageslichtbürobeleuchtung ist der Kontrastbereich oft:

am Display zwischen: >F:0 und E:0 (Monitor), D:0 und 3:0 (Datenprojektor)

Nur für optionale farbmimetrische Kennzeichnung mit PDF/PS-Dateiausgabe

PDF-Datei: http://130.149.60.45/farbmetrik/OG82/OG82F1P2.PDF

Bild A7-133-2

unterstreiche Ja/Nein

PS-Datei: http://130.149.60.45/farbmetrik/OG82/OG82F1P2.PS

Bild A7-133-2

oder unterstreiche Ja/Nein

Farbmessung und Kennzeichnung für:

CIE-Normlichtart D65, CIE-2-Grad-Beobachter, CIE-45/0-Geometrie

unterstreiche Ja/Nein

Wenn Nein, bitte andere Parameter nennen:

Farbmimetrische Kennzeichnung mit PS-Datei für Farben der Spalten A bis T

Ersatz der CIELAB-Daten in Datei www.ps.bam.de/Dg17/10L/L17g00NP.PS und Transfer

der PS-Datei L17g00NP.PS in PDF-Datei L17g00NP.PDF

unterstreiche Ja/Nein

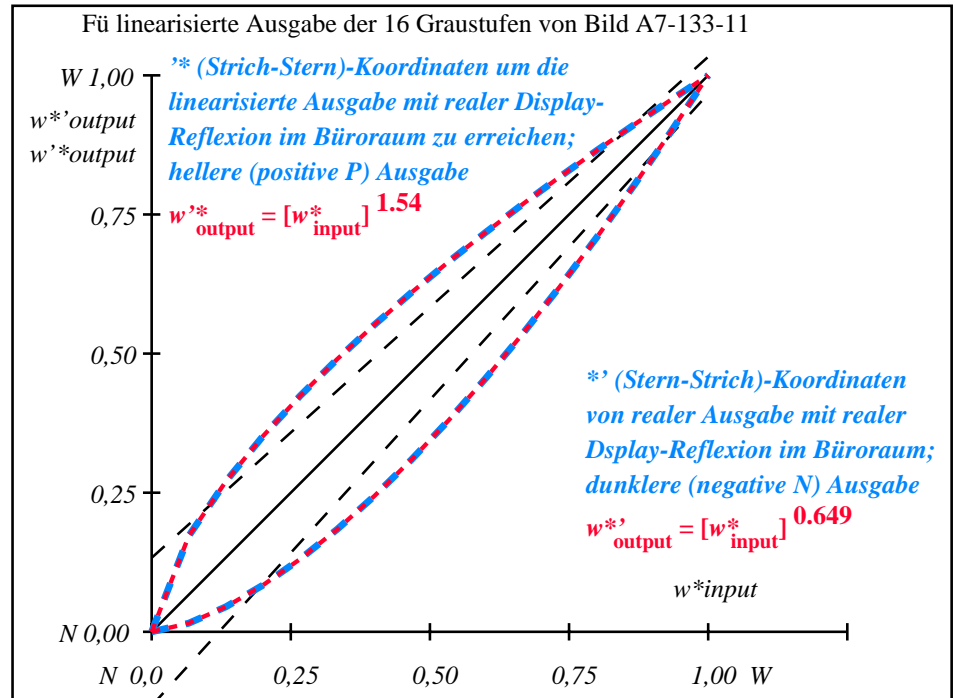
Wenn Nein, bitte andere Methode beschreiben:

Teil 4

OG821-7N-133-10

i	LAB*ref	l*out	LAB*out	LAB*out/c-ref	ΔE*	Start-Ausgabe S1
1	18.01 0.0 0.0	0.0 0.0 0.0	18.01 0.0 0.0	0.0 0.0 0.0	0.01	Kennzeichnung nach
2	23.17 0.0 0.0	0.02 0.02 0.02	19.2 0.0 0.0	-3.95 0.0 0.0	3.96	ISO/IEC 15775 Anhang G
3	28.33 0.0 0.0	0.04 0.04 0.04	21.49 0.0 0.0	-6.83 0.0 0.0	6.84	und DIN 33866-1 Anhang G
4	33.49 0.0 0.0	0.08 0.08 0.08	24.5 0.0 0.0	-8.98 0.0 0.0	8.99	
5	38.65 0.0 0.0	0.13 0.13 0.13	28.12 0.0 0.0	-10.52 0.0 0.0	10.53	
6	43.81 0.0 0.0	0.18 0.18 0.18	32.26 0.0 0.0	-11.53 0.0 0.0	11.54	
7	48.97 0.0 0.0	0.24 0.24 0.24	36.89 0.0 0.0	-12.07 0.0 0.0	12.08	
8	54.13 0.0 0.0	0.31 0.31 0.31	41.94 0.0 0.0	-12.18 0.0 0.0	12.19	
9	59.29 0.0 0.0	0.38 0.38 0.38	47.41 0.0 0.0	-11.87 0.0 0.0	11.88	
10	64.45 0.0 0.0	0.46 0.46 0.46	53.25 0.0 0.0	-11.19 0.0 0.0	11.2	
11	69.61 0.0 0.0	0.54 0.54 0.54	59.46 0.0 0.0	-10.14 0.0 0.0	10.15	
12	74.77 0.0 0.0	0.62 0.62 0.62	66.02 0.0 0.0	-8.74 0.0 0.0	8.75	
13	79.93 0.0 0.0	0.71 0.71 0.71	72.9 0.0 0.0	-7.02 0.0 0.0	7.03	
14	85.09 0.0 0.0	0.8 0.8 0.8	80.1 0.0 0.0	-4.98 0.0 0.0	4.99	
15	90.25 0.0 0.0	0.9 0.9 0.9	87.61 0.0 0.0	-2.63 0.0 0.0	2.64	Mittlerer Helligkeitsabstand (16 Stufen)
16	95.41 0.0 0.0	1.0 1.0 1.0	95.41 0.0 0.0	0.0 0.0 0.0	0.01	$\Delta E^*_{CIELAB} = 7.7$
17	18.01 0.0 0.0	0.0 0.0 0.0	18.01 0.0 0.0	0.0 0.0 0.0	0.01	
18	37.36 0.0 0.0	0.12 0.12 0.12	27.16 0.0 0.0	-10.19 0.0 0.0	10.2	
19	56.71 0.0 0.0	0.34 0.34 0.34	44.63 0.0 0.0	-12.07 0.0 0.0	12.08	
20	76.06 0.0 0.0	0.64 0.64 0.64	67.71 0.0 0.0	-8.34 0.0 0.0	8.35	Mittlerer Helligkeitsabstand (5 Stufen)
21	95.41 0.0 0.0	1.0 1.0 1.0	95.41 0.0 0.0	0.0 0.0 0.0	0.01	$\Delta L^*_{CIELAB} = 6.1$
Mittlerer Farbwiedergabe-Index:					$R^*_{ab,m} = 66$	

OG820-3N-133-11: File: Measure unknown; Device: Device unknown; Date: Date unknown



$L^*/Y_{intended}$ (absolut)	18.0/2.5	23.2/3.8	28.3/5.6	33.5/7.8	38.6/10.5	43.8/13.7	49.0/17.6	54.1/22.1	59.3/27.3	64.4/33.4	69.6/40.2	74.8/47.9	79.9/56.6	85.1/66.2	90.2/76.8	95.4/88.6
$w^* w^* w^*$ setrgb $g_N=1.54$ Nr. und Hex-Code	00;F	01;E	02;D	03;C	04;B	05;A	06;9	07;8	08;7	09;6	10;5	11;4	12;3	13;2	14;1	15;0
$w^*=l^*_{CIELAB,r}$ (relativ)																
$w^*_{intended}$	0.000	0.067	0.133	0.200	0.267	0.333	0.400	0.467	0.533	0.600	0.667	0.733	0.800	0.867	0.933	1.000
w^*_{out}	0.0	0.016	0.045	0.084	0.131	0.184	0.244	0.31	0.379	0.455	0.536	0.62	0.709	0.803	0.899	1.0

OG820-7N, Bild A7-133-11: 16 visuell gleichabständige L^* -Graustufen; PS-Operator: $w^* w^* w^*_{setrgbcolor}$

OG82: Ein-Ausgabe-Beziehung nach ISO 9241-306; 1MR, DEH Eingabe: $rgb \rightarrow rgb^*_{de}$ setrgbcolor
Gesehener Y-Kontrast $Y_W:Y_N=88,9:2,5$; Y_N -Bereich 1,87 to <3,75 Ausgabe 130-11: $g_P=1.0$; $g_N=1.29$

Eingabe: Farbmatisches Fernseh-Licht-System TLS00a

für Buntton $h^* = lab^*h = 40/360 = 0.111$

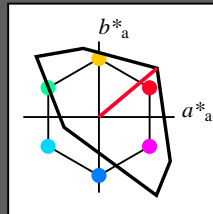
lab^*tch und lab^*nch

D65: Buntton O

LCH*Ma: 51 100 40

olv*Ma: 1.0 0.0 0.0

Dreiecks-Helligkeit t^*



%Umfang

$u^*_{rel} = 158$

%Regularität

$g^*_{H,rel} = 20$

$g^*_{C,rel} = 37$

TLS00a; adaptierte CIELAB-Daten

	$L^*=L^*_a$	a^*_a	b^*_a	$C^*_{ab,a}$	$h^*_{ab,a}$
O _{Ma}	50.5	76.92	64.55	100.42	40
Y _{Ma}	92.66	-20.69	90.75	93.08	103
L _{Ma}	83.63	-82.75	79.9	115.04	136
C _{Ma}	86.88	-46.16	-13.55	48.12	196
V _{Ma}	30.39	76.06	-103.59	128.52	306
M _{Ma}	57.3	94.35	-58.41	110.97	328
N _{Ma}	0.01	0.0	0.0	0.0	0
W _{Ma}	95.41	0.0	0.0	0.0	0
R _{CIE}	39.92	58.74	27.99	65.07	25
J _{CIE}	81.26	-2.88	71.56	71.62	92
G _{CIE}	52.23	-42.41	13.6	44.55	162
B _{CIE}	30.57	1.41	-46.46	46.49	272

Ausgabe: Farbmatisches Fernseh-Licht-System TLS00a

für Buntton $h^* = lab^*h = 40/360 = 0.111$

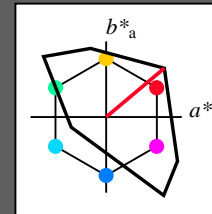
lab^*tch und lab^*nch

D65: Buntton O

LCH*Ma: 51 100 40

olv*Ma: 1.0 0.0 0.0

Dreiecks-Helligkeit t^*



%Umfang

$u^*_{rel} = 158$

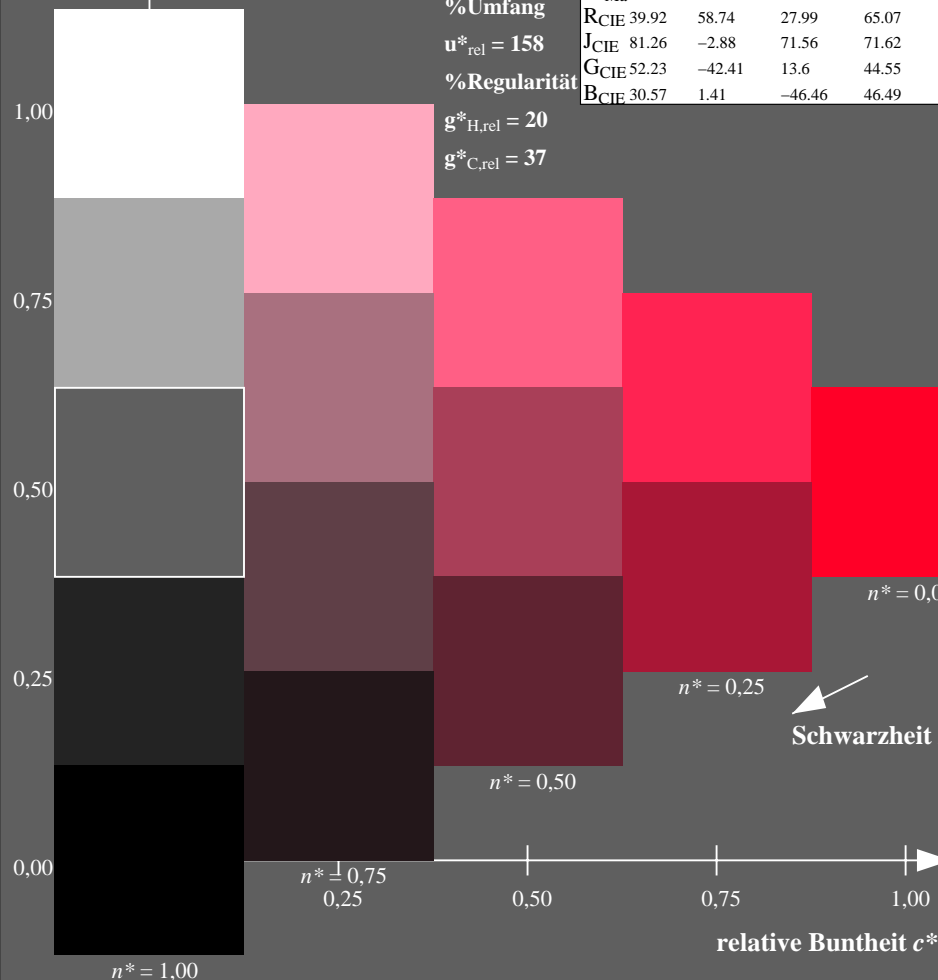
%Regularität

$g^*_{H,rel} = 20$

$g^*_{C,rel} = 37$

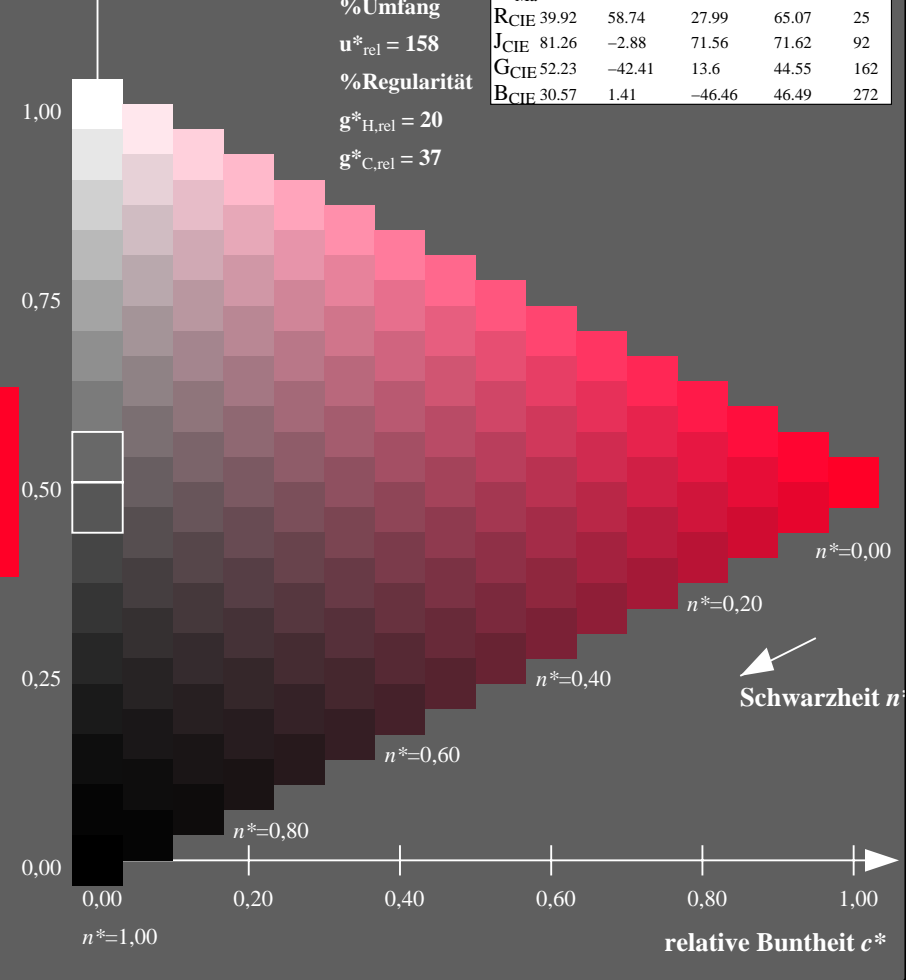
TLS00a; adaptierte CIELAB-Daten

	$L^*=L^*_a$	a^*_a	b^*_a	$C^*_{ab,a}$	$h^*_{ab,a}$
O _{Ma}	50.5	76.92	64.55	100.42	40
Y _{Ma}	92.66	-20.69	90.75	93.08	103
L _{Ma}	83.63	-82.75	79.9	115.04	136
C _{Ma}	86.88	-46.16	-13.55	48.12	196
V _{Ma}	30.39	76.06	-103.59	128.52	306
M _{Ma}	57.3	94.35	-58.41	110.97	328
N _{Ma}	0.01	0.0	0.0	0.0	0
W _{Ma}	95.41	0.0	0.0	0.0	0
R _{CIE}	39.92	58.74	27.99	65.07	25
J _{CIE}	81.26	-2.88	71.56	71.62	92
G _{CIE}	52.23	-42.41	13.6	44.55	162
B _{CIE}	30.57	1.41	-46.46	46.49	272



OG820-7N-134-0: 5-stufige Reihen für konstanten CIELAB Buntton 40/360 = 0.111 (links)

OG82: Prüfvorlage 1 nach DIN 33872-2, Buntton O; 1MR, DEH
Unterscheidbarkeit von 5- und 16-stufigen Farbreihen



16-stufige Reihen für konstanten CIELAB Buntton 40/360 = 0.111 (rechts)

Eingabe: $rgb \rightarrow rgb^*_{de}$ setrgbcolor
Ausgabe 130-0: $g_p=1.0$; $g_N=1.42$

Eingabe: Farbmétrisches Fernseh-Licht-System TLS00a

für Buntton $h^* = lab^*h = 103/360 = 0.286$

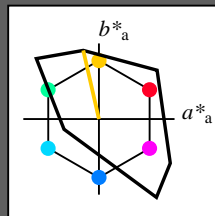
lab^*tch und lab^*nch

D65: Buntton Y

LCH*Ma: 93 93 103

olv*Ma: 1.0 1.0 0.0

Dreiecks-Helligkeit t^*



%Umfang

$u^*_{rel} = 158$

%Regularität

$g^*_{H,rel} = 20$

$g^*_{C,rel} = 37$

TLS00a; adaptierte CIELAB-Daten

	$L^*=L^*_a$	a^*_a	b^*_a	$C^*_{ab,a}$	$h^*_{ab,a}$
O _{Ma}	50.5	76.92	64.55	100.42	40
Y _{Ma}	92.66	-20.69	90.75	93.08	103
L _{Ma}	83.63	-82.75	79.9	115.04	136
C _{Ma}	86.88	-46.16	-13.55	48.12	196
V _{Ma}	30.39	76.06	-103.59	128.52	306
M _{Ma}	57.3	94.35	-58.41	110.97	328
N _{Ma}	0.01	0.0	0.0	0.0	0
W _{Ma}	95.41	0.0	0.0	0.0	0
R _{CIE}	39.92	58.74	27.99	65.07	25
J _{CIE}	81.26	-2.88	71.56	71.62	92
G _{CIE}	52.23	-42.41	13.6	44.55	162
B _{CIE}	30.57	1.41	-46.46	46.49	272

Ausgabe: Farbmétrisches Fernseh-Licht-System TLS00a

für Buntton $h^* = lab^*h = 103/360 = 0.286$

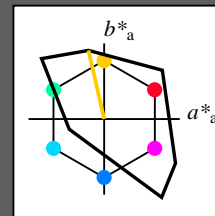
lab^*tch und lab^*nch

D65: Buntton Y

LCH*Ma: 93 93 103

olv*Ma: 1.0 1.0 0.0

Dreiecks-Helligkeit t^*



%Umfang

$u^*_{rel} = 158$

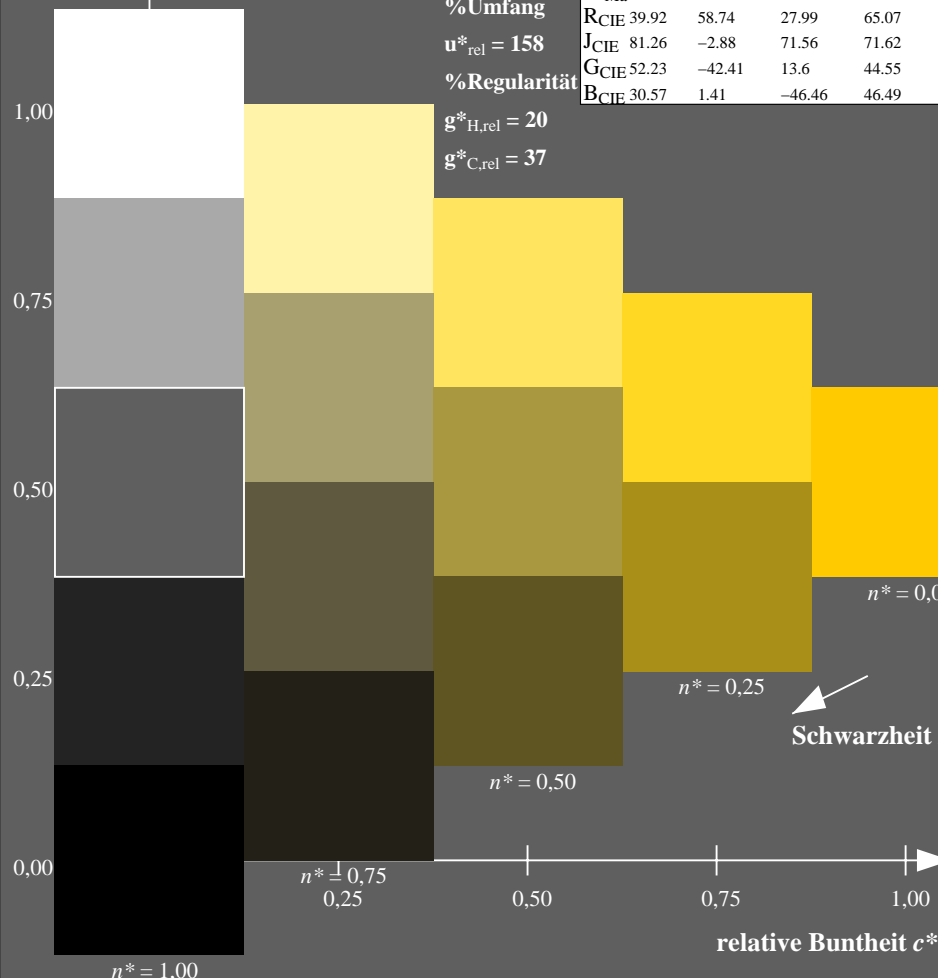
%Regularität

$g^*_{H,rel} = 20$

$g^*_{C,rel} = 37$

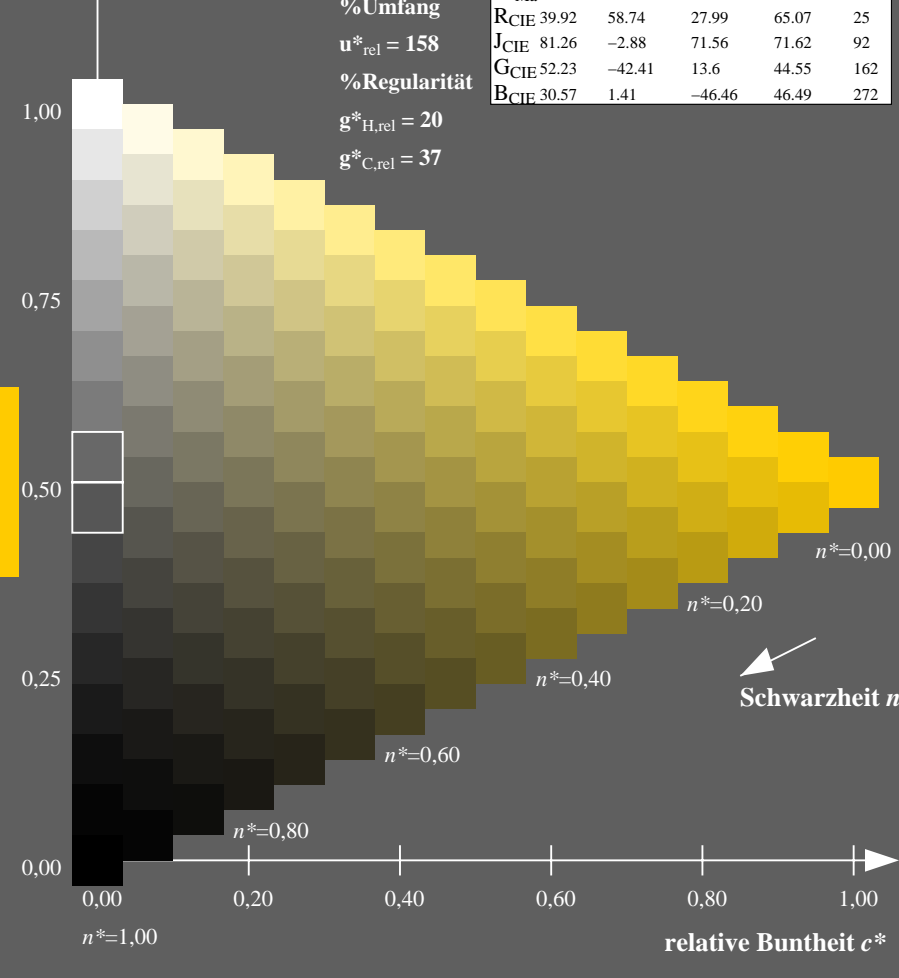
TLS00a; adaptierte CIELAB-Daten

	$L^*=L^*_a$	a^*_a	b^*_a	$C^*_{ab,a}$	$h^*_{ab,a}$
O _{Ma}	50.5	76.92	64.55	100.42	40
Y _{Ma}	92.66	-20.69	90.75	93.08	103
L _{Ma}	83.63	-82.75	79.9	115.04	136
C _{Ma}	86.88	-46.16	-13.55	48.12	196
V _{Ma}	30.39	76.06	-103.59	128.52	306
M _{Ma}	57.3	94.35	-58.41	110.97	328
N _{Ma}	0.01	0.0	0.0	0.0	0
W _{Ma}	95.41	0.0	0.0	0.0	0
R _{CIE}	39.92	58.74	27.99	65.07	25
J _{CIE}	81.26	-2.88	71.56	71.62	92
G _{CIE}	52.23	-42.41	13.6	44.55	162
B _{CIE}	30.57	1.41	-46.46	46.49	272



OG820-7N-134-1: 5-stufige Reihen für konstanten CIELAB Buntton 103/360 = 0.286 (links)

OG82: Prüfvorlage 1 nach DIN 33872-2, Buntton Y; 1MR, DEH
Unterscheidbarkeit von 5- und 16-stufigen Farbreihen



16-stufige Reihen für konstanten CIELAB Buntton 103/360 = 0.286 (rechts)

Eingabe: $rgb \rightarrow rgb^*_{de}$ setrgbcolor
Ausgabe 130-1: $g_p=1.0$; $g_N=1.42$

Eingabe: Farbmétrisches Fernseh-Licht-System TLS00a

für Buntton $h^* = lab^*h = 136/360 = 0.378$

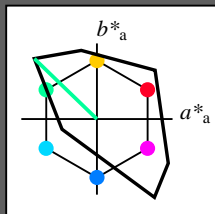
lab^*tch und lab^*nch

D65: Buntton L

LCH*Ma: 84 115 136

olv*Ma: 0.0 1.0 0.0

Dreiecks-Helligkeit t^*



%Umfang

$u^*_{rel} = 158$

%Regularität

$g^*_{H,rel} = 20$

$g^*_{C,rel} = 37$

TLS00a; adaptierte CIELAB-Daten

	$L^*=L^*_a$	a^*_a	b^*_a	$C^*_{ab,a}$	$h^*_{ab,a}$
O _{Ma}	50.5	76.92	64.55	100.42	40
Y _{Ma}	92.66	-20.69	90.75	93.08	103
L _{Ma}	83.63	-82.75	79.9	115.04	136
C _{Ma}	86.88	-46.16	-13.55	48.12	196
V _{Ma}	30.39	76.06	-103.59	128.52	306
M _{Ma}	57.3	94.35	-58.41	110.97	328
N _{Ma}	0.01	0.0	0.0	0.0	0
W _{Ma}	95.41	0.0	0.0	0.0	0
R _{CIE}	39.92	58.74	27.99	65.07	25
J _{CIE}	81.26	-2.88	71.56	71.62	92
G _{CIE}	52.23	-42.41	13.6	44.55	162
B _{CIE}	30.57	1.41	-46.46	46.49	272

Ausgabe: Farbmétrisches Fernseh-Licht-System TLS00a

für Buntton $h^* = lab^*h = 136/360 = 0.378$

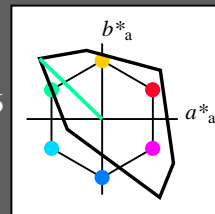
lab^*tch und lab^*nch

D65: Buntton L

LCH*Ma: 84 115 136

olv*Ma: 0.0 1.0 0.0

Dreiecks-Helligkeit t^*



%Umfang

$u^*_{rel} = 158$

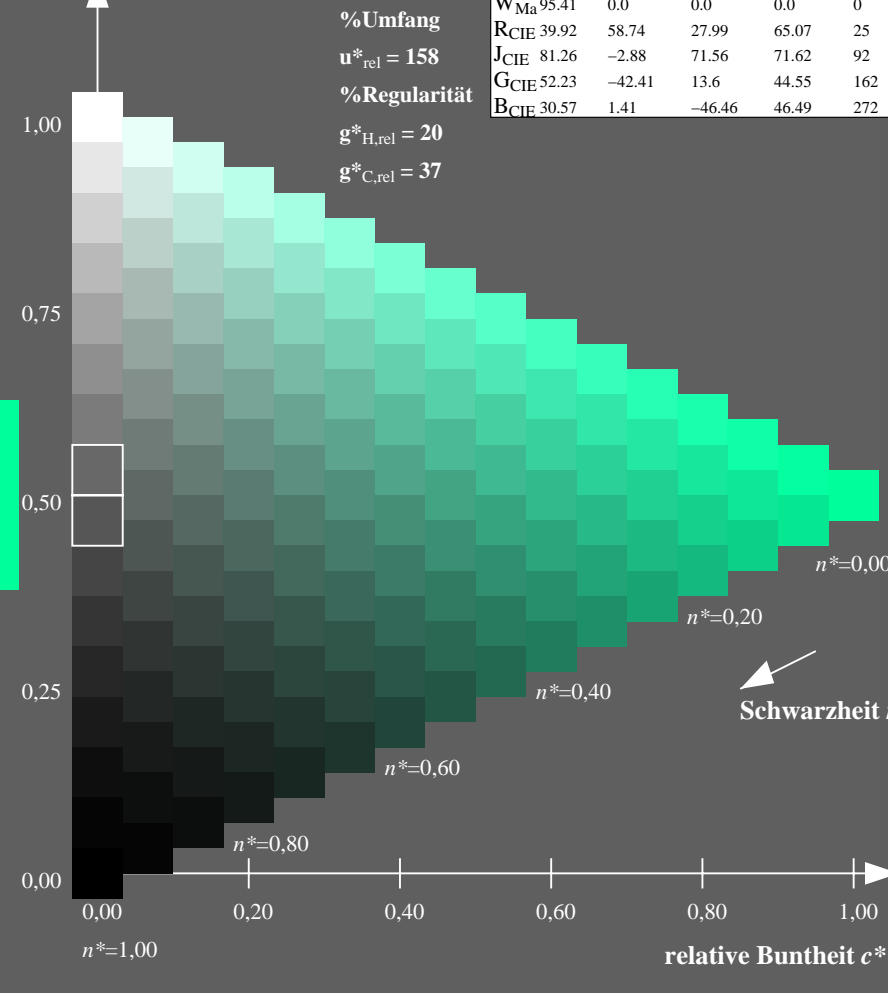
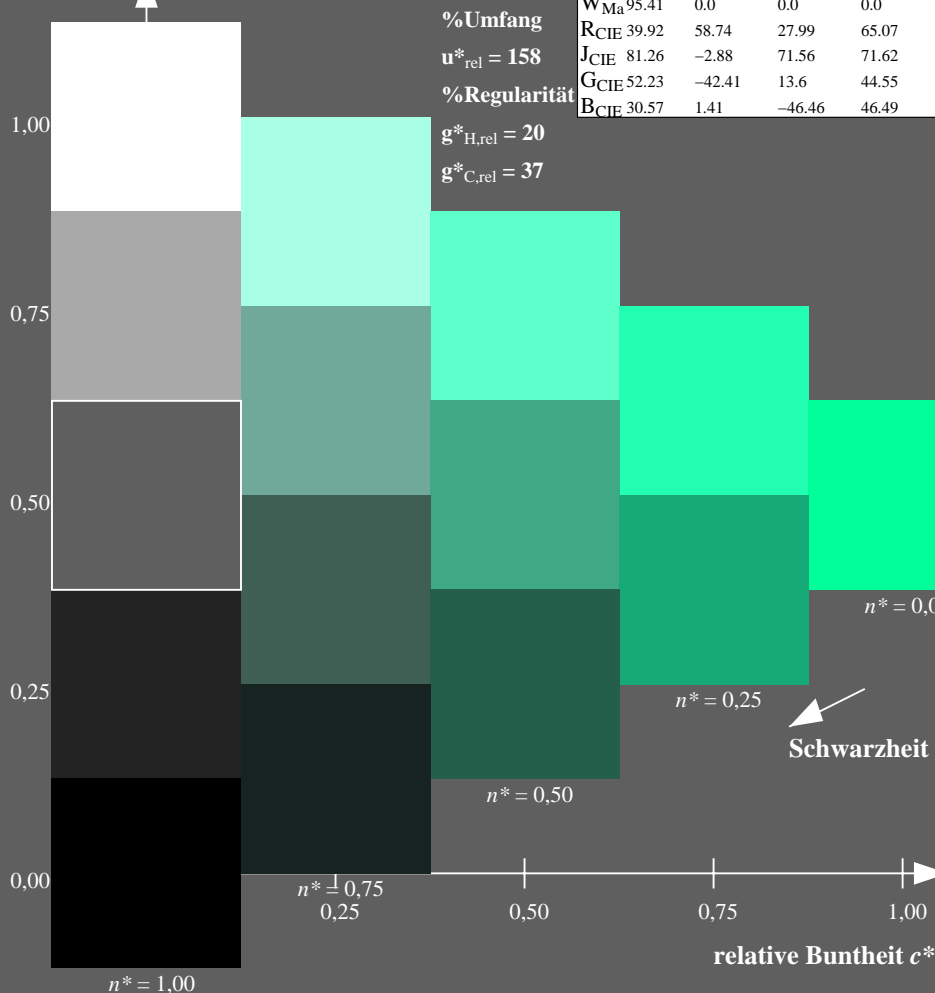
%Regularität

$g^*_{H,rel} = 20$

$g^*_{C,rel} = 37$

TLS00a; adaptierte CIELAB-Daten

	$L^*=L^*_a$	a^*_a	b^*_a	$C^*_{ab,a}$	$h^*_{ab,a}$
O _{Ma}	50.5	76.92	64.55	100.42	40
Y _{Ma}	92.66	-20.69	90.75	93.08	103
L _{Ma}	83.63	-82.75	79.9	115.04	136
C _{Ma}	86.88	-46.16	-13.55	48.12	196
V _{Ma}	30.39	76.06	-103.59	128.52	306
M _{Ma}	57.3	94.35	-58.41	110.97	328
N _{Ma}	0.01	0.0	0.0	0.0	0
W _{Ma}	95.41	0.0	0.0	0.0	0
R _{CIE}	39.92	58.74	27.99	65.07	25
J _{CIE}	81.26	-2.88	71.56	71.62	92
G _{CIE}	52.23	-42.41	13.6	44.55	162
B _{CIE}	30.57	1.41	-46.46	46.49	272



OG820-7N-134-2: 5-stufige Reihen für konstanten CIELAB Buntton 136/360 = 0.378 (links)

16-stufige Reihen für konstanten CIELAB Buntton 136/360 = 0.378 (rechts)

OG82: Prüfvorlage 1 nach DIN 33872-2, Buntton L; 1MR, DEH
Unterscheidbarkeit von 5- und 16-stufigen Farbreihen

Eingabe: $rgb (-> rgb^*_{de})$ setrgbcolor
Ausgabe 130-2: $g_p=1.0$; $g_N=1.42$

Eingabe: Farbmétrisches Fernseh-Licht-System TLS00a

für Buntton $h^* = lab^*h = 196/360 = 0.545$

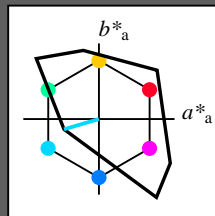
lab^*tch und lab^*nch

D65: Buntton C

LCH*Ma: 87 48 196

olv*Ma: 0.0 1.0 1.0

Dreiecks-Helligkeit t^*



%Umfang

$u^*_{rel} = 158$

%Regularität

$g^*_{H,rel} = 20$

$g^*_{C,rel} = 37$

TLS00a; adaptierte CIELAB-Daten

	$L^*=L^*_a$	a^*_a	b^*_a	$C^*_{ab,a}$	$h^*_{ab,a}$
O _{Ma}	50.5	76.92	64.55	100.42	40
Y _{Ma}	92.66	-20.69	90.75	93.08	103
L _{Ma}	83.63	-82.75	79.9	115.04	136
C _{Ma}	86.88	-46.16	-13.55	48.12	196
V _{Ma}	30.39	76.06	-103.59	128.52	306
M _{Ma}	57.3	94.35	-58.41	110.97	328
N _{Ma}	0.01	0.0	0.0	0.0	0
W _{Ma}	95.41	0.0	0.0	0.0	0
R _{CIE}	39.92	58.74	27.99	65.07	25
J _{CIE}	81.26	-2.88	71.56	71.62	92
G _{CIE}	52.23	-42.41	13.6	44.55	162
B _{CIE}	30.57	1.41	-46.46	46.49	272

Ausgabe: Farbmétrisches Fernseh-Licht-System TLS00a

für Buntton $h^* = lab^*h = 196/360 = 0.545$

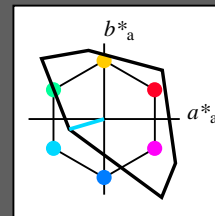
lab^*tch und lab^*nch

D65: Buntton C

LCH*Ma: 87 48 196

olv*Ma: 0.0 1.0 1.0

Dreiecks-Helligkeit t^*



%Umfang

$u^*_{rel} = 158$

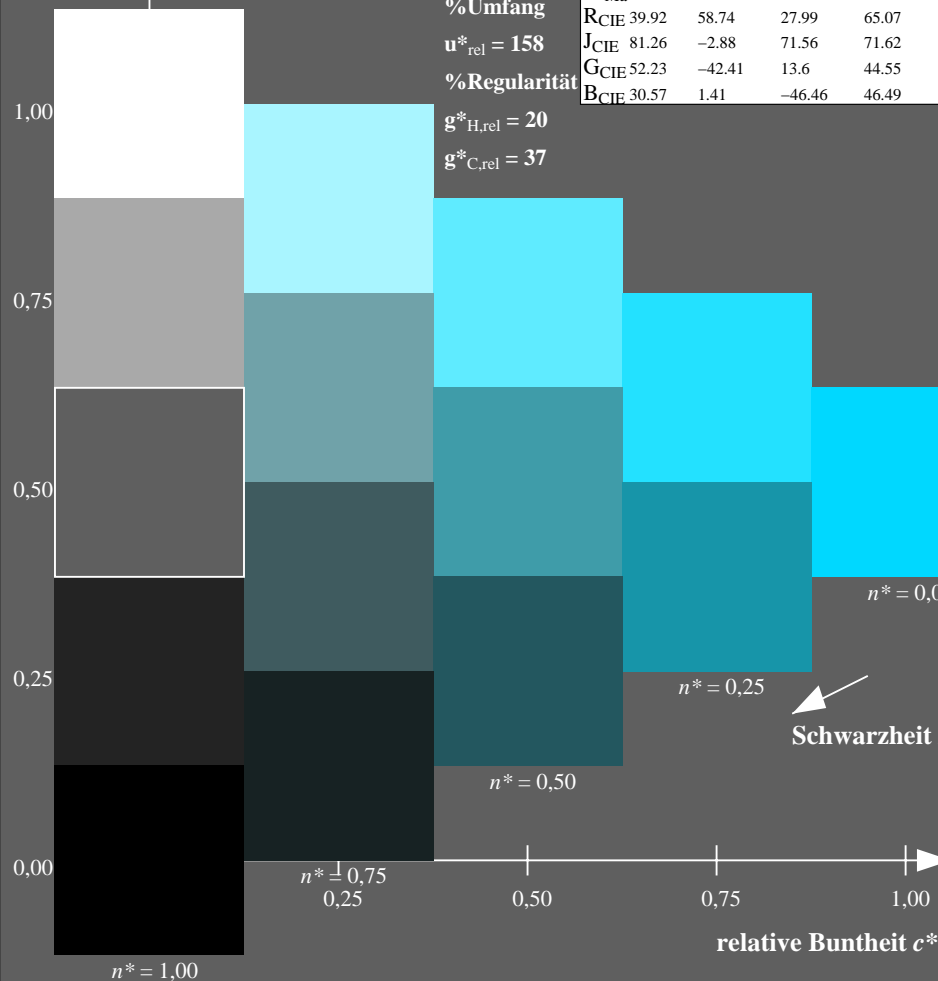
%Regularität

$g^*_{H,rel} = 20$

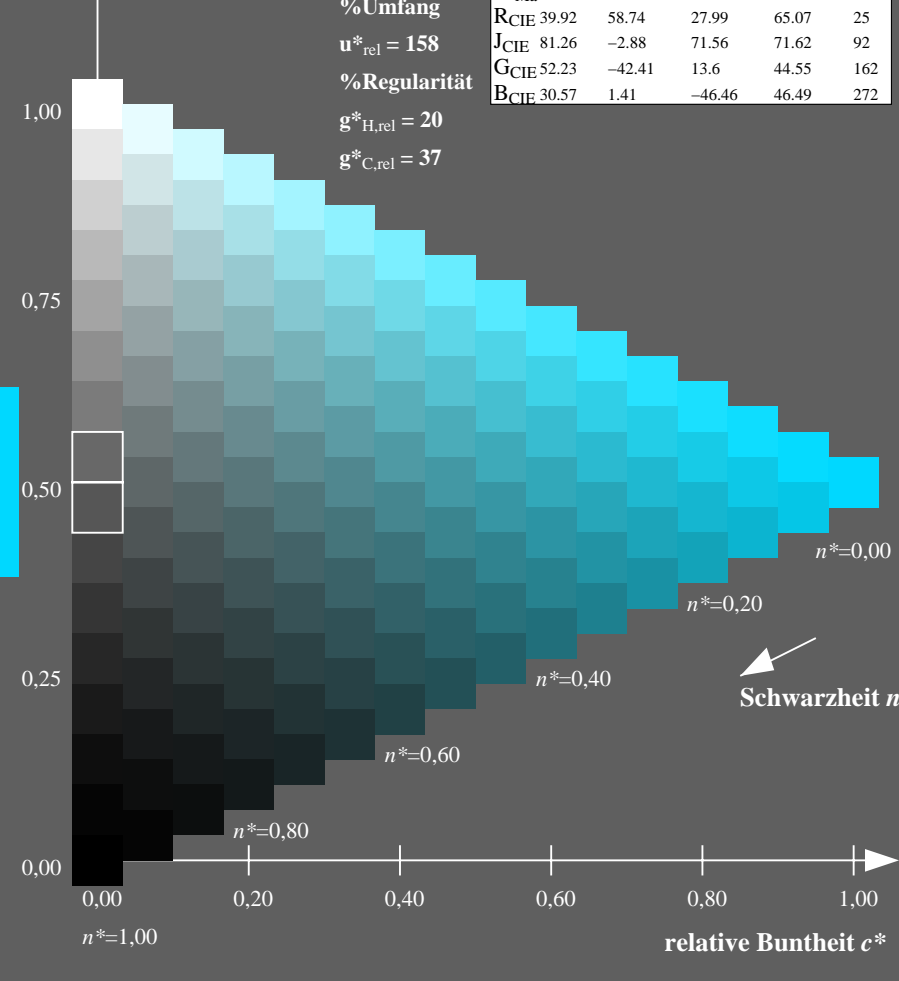
$g^*_{C,rel} = 37$

TLS00a; adaptierte CIELAB-Daten

	$L^*=L^*_a$	a^*_a	b^*_a	$C^*_{ab,a}$	$h^*_{ab,a}$
O _{Ma}	50.5	76.92	64.55	100.42	40
Y _{Ma}	92.66	-20.69	90.75	93.08	103
L _{Ma}	83.63	-82.75	79.9	115.04	136
C _{Ma}	86.88	-46.16	-13.55	48.12	196
V _{Ma}	30.39	76.06	-103.59	128.52	306
M _{Ma}	57.3	94.35	-58.41	110.97	328
N _{Ma}	0.01	0.0	0.0	0.0	0
W _{Ma}	95.41	0.0	0.0	0.0	0
R _{CIE}	39.92	58.74	27.99	65.07	25
J _{CIE}	81.26	-2.88	71.56	71.62	92
G _{CIE}	52.23	-42.41	13.6	44.55	162
B _{CIE}	30.57	1.41	-46.46	46.49	272



OG820-7N-134-3: 5-stufige Reihen für konstanten CIELAB Buntton 196/360 = 0.545 (links)



16-stufige Reihen für konstanten CIELAB Buntton 196/360 = 0.545 (rechts)

OG82: Prüfvorlage 1 nach DIN 33872-2, Buntton C; 1MR, DEH
Eingabe: rgb ($\rightarrow rgb^*_{de}$) $setrgbcolor$
Ausgabe 130-3: $g_p=1.0$; $g_N=1.42$

Eingabe: Farbmatisches Fernseh-Licht-System TLS00a

für Buntton $h^* = lab^*h = 306/360 = 0.851$

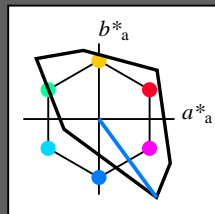
lab^*tch und lab^*nch

D65: Buntton V

LCH*Ma: 30 129 306

olv*Ma: 0.0 0.0 1.0

Dreiecks-Helligkeit t^*



%Umfang

$u^*_{rel} = 158$

%Regularität

$g^*_{H,rel} = 20$

$g^*_{C,rel} = 37$

TLS00a; adaptierte CIELAB-Daten

	$L^*=L^*_a$	a^*_a	b^*_a	$C^*_{ab,a}$	$h^*_{ab,a}$
O _{Ma}	50.5	76.92	64.55	100.42	40
Y _{Ma}	92.66	-20.69	90.75	93.08	103
L _{Ma}	83.63	-82.75	79.9	115.04	136
C _{Ma}	86.88	-46.16	-13.55	48.12	196
V _{Ma}	30.39	76.06	-103.59	128.52	306
M _{Ma}	57.3	94.35	-58.41	110.97	328
N _{Ma}	0.01	0.0	0.0	0.0	0
W _{Ma}	95.41	0.0	0.0	0.0	0
R _{CIE}	39.92	58.74	27.99	65.07	25
J _{CIE}	81.26	-2.88	71.56	71.62	92
G _{CIE}	52.23	-42.41	13.6	44.55	162
B _{CIE}	30.57	1.41	-46.46	46.49	272

Ausgabe: Farbmatisches Fernseh-Licht-System TLS00a

für Buntton $h^* = lab^*h = 306/360 = 0.851$

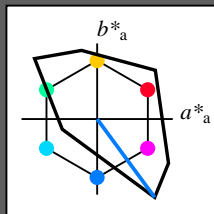
lab^*tch und lab^*nch

D65: Buntton V

LCH*Ma: 30 129 306

olv*Ma: 0.0 0.0 1.0

Dreiecks-Helligkeit t^*



%Umfang

$u^*_{rel} = 158$

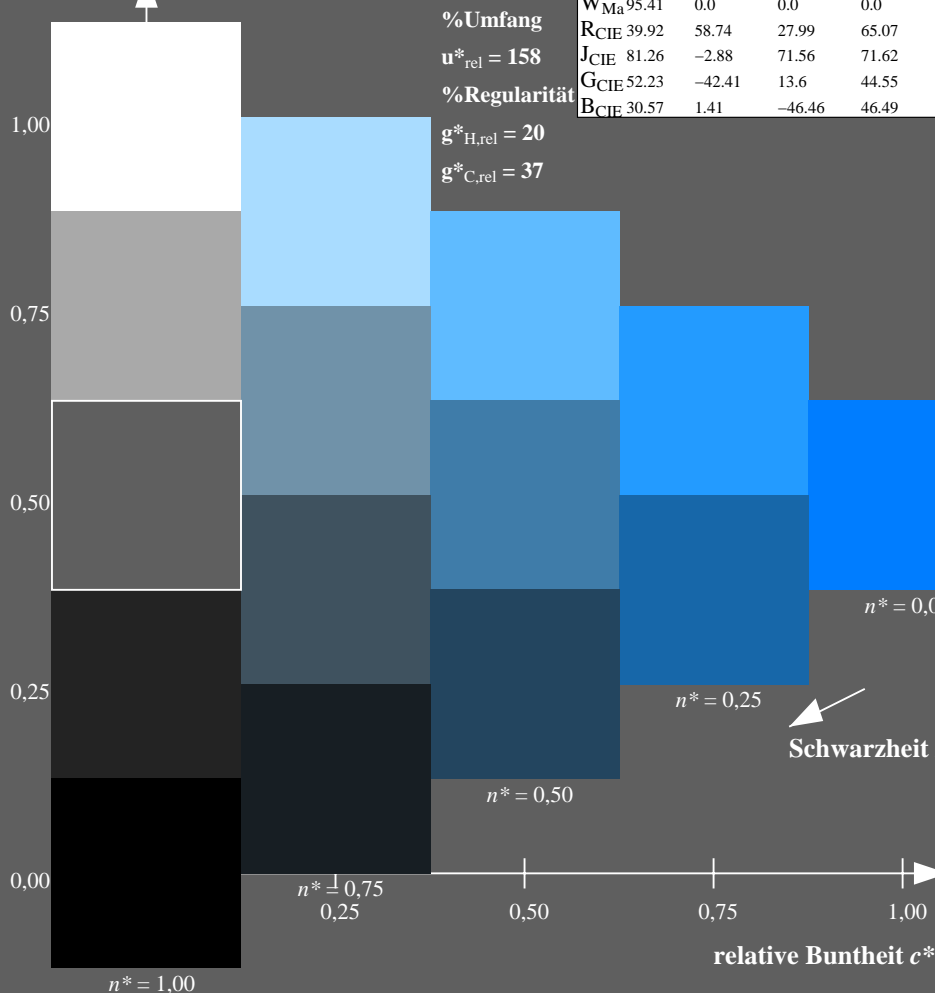
%Regularität

$g^*_{H,rel} = 20$

$g^*_{C,rel} = 37$

TLS00a; adaptierte CIELAB-Daten

	$L^*=L^*_a$	a^*_a	b^*_a	$C^*_{ab,a}$	$h^*_{ab,a}$
O _{Ma}	50.5	76.92	64.55	100.42	40
Y _{Ma}	92.66	-20.69	90.75	93.08	103
L _{Ma}	83.63	-82.75	79.9	115.04	136
C _{Ma}	86.88	-46.16	-13.55	48.12	196
V _{Ma}	30.39	76.06	-103.59	128.52	306
M _{Ma}	57.3	94.35	-58.41	110.97	328
N _{Ma}	0.01	0.0	0.0	0.0	0
W _{Ma}	95.41	0.0	0.0	0.0	0
R _{CIE}	39.92	58.74	27.99	65.07	25
J _{CIE}	81.26	-2.88	71.56	71.62	92
G _{CIE}	52.23	-42.41	13.6	44.55	162
B _{CIE}	30.57	1.41	-46.46	46.49	272



OG820-7N-134-4: 5-stufige Reihen für konstanten CIELAB Buntton 306/360 = 0.851 (links)

16-stufige Reihen für konstanten CIELAB Buntton 306/360 = 0.851 (rechts)

OG82: Prüfvorlage 1 nach DIN 33872-2, Buntton V; 1MR, DEH
Unterscheidbarkeit von 5- und 16-stufigen Farbreihen

Eingabe: rgb ($\rightarrow rgb^*_{de}$) $setrgbcolor$
Ausgabe 130-4: $g_p=1.0$; $g_N=1.42$

Eingabe: Farbmétrisches Fernseh-Licht-System TLS00a

für Buntton $h^* = lab^*h = 328/360 = 0.912$

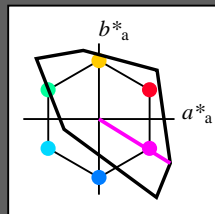
lab^*tch und lab^*nch

D65: Buntton M

LCH*Ma: 57 111 328

olv*Ma: 1.0 0.0 1.0

Dreiecks-Helligkeit t^*



%Umfang

$u^*_{rel} = 158$

%Regularität

$g^*_{H,rel} = 20$

$g^*_{C,rel} = 37$

TLS00a; adaptierte CIELAB-Daten

	$L^*=L^*_a$	a^*_a	b^*_a	$C^*_{ab,a}$	$h^*_{ab,a}$
OMa	50.5	76.92	64.55	100.42	40
YMa	92.66	-20.69	90.75	93.08	103
LMa	83.63	-82.75	79.9	115.04	136
CMa	86.88	-46.16	-13.55	48.12	196
VMa	30.39	76.06	-103.59	128.52	306
NMa	57.3	94.35	-58.41	110.97	328
NMa	0.01	0.0	0.0	0.0	0
WMa	95.41	0.0	0.0	0.0	0
RCIE	39.92	58.74	27.99	65.07	25
JCIE	81.26	-2.88	71.56	71.62	92
GCIE	52.23	-42.41	13.6	44.55	162
BCIE	30.57	1.41	-46.46	46.49	272

Ausgabe: Farbmétrisches Fernseh-Licht-System TLS00a

für Buntton $h^* = lab^*h = 328/360 = 0.912$

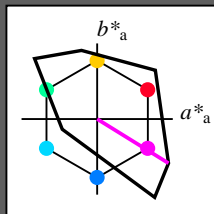
lab^*tch und lab^*nch

D65: Buntton M

LCH*Ma: 57 111 328

olv*Ma: 1.0 0.0 1.0

Dreiecks-Helligkeit t^*



%Umfang

$u^*_{rel} = 158$

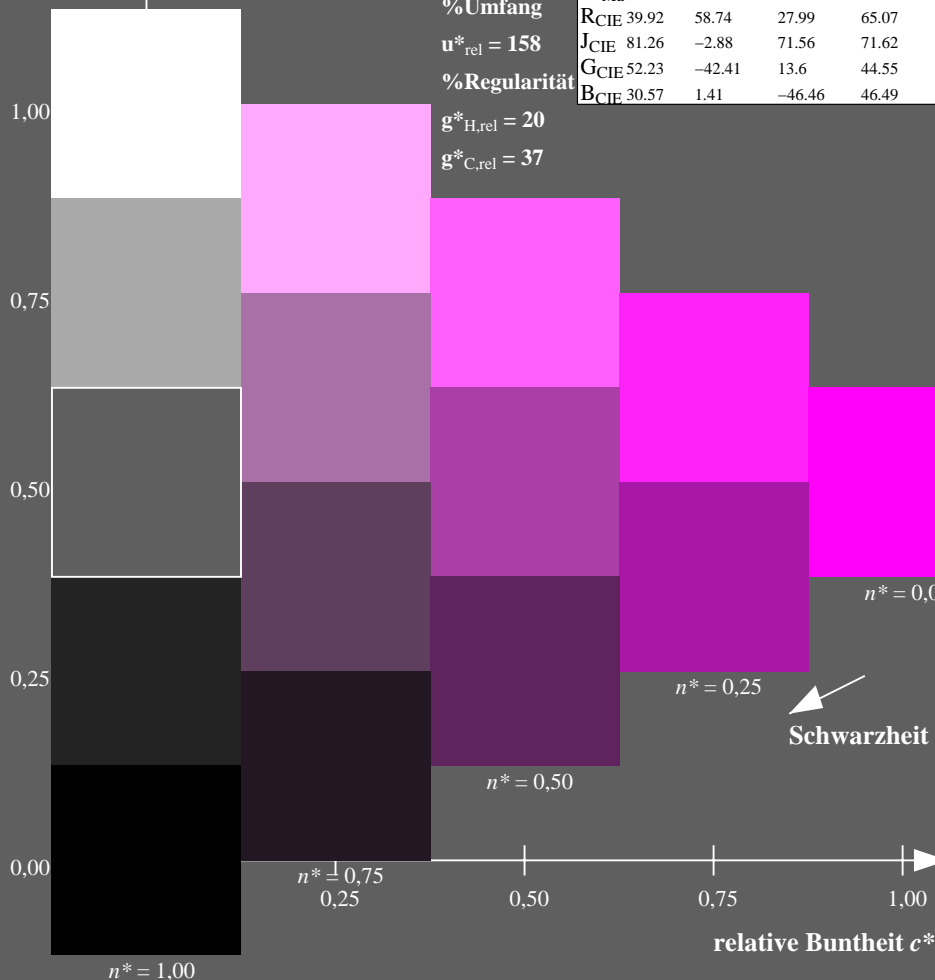
%Regularität

$g^*_{H,rel} = 20$

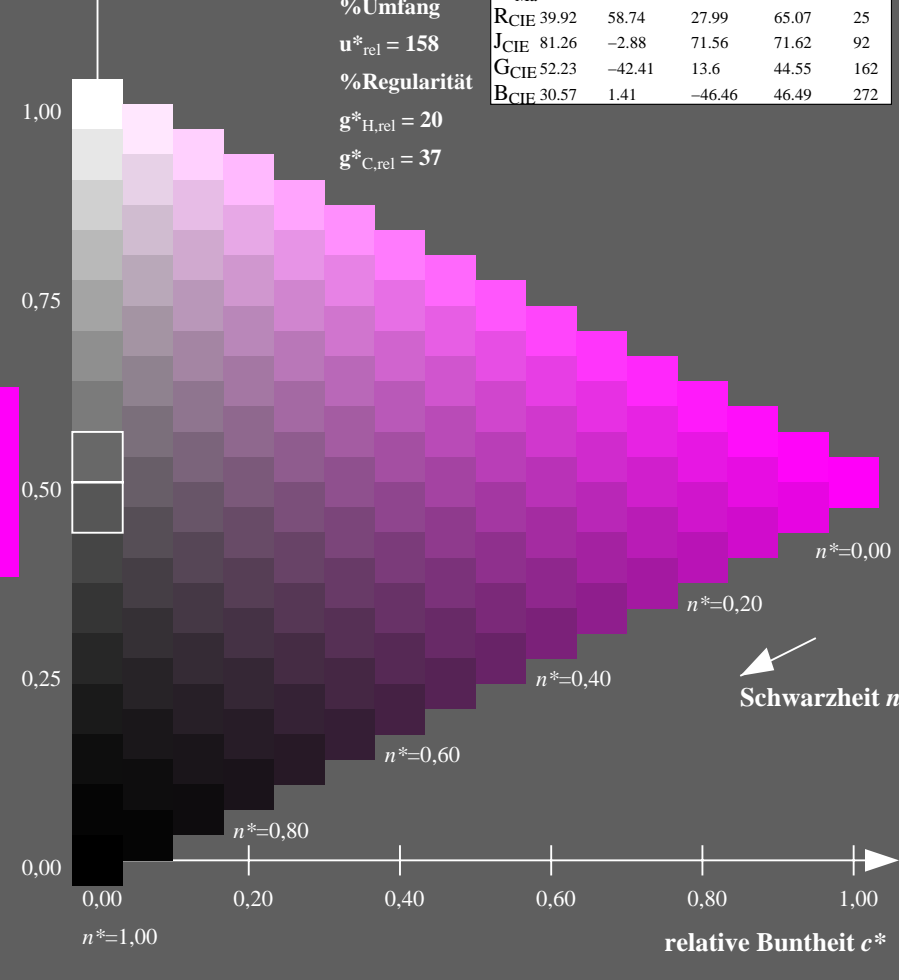
$g^*_{C,rel} = 37$

TLS00a; adaptierte CIELAB-Daten

	$L^*=L^*_a$	a^*_a	b^*_a	$C^*_{ab,a}$	$h^*_{ab,a}$
OMa	50.5	76.92	64.55	100.42	40
YMa	92.66	-20.69	90.75	93.08	103
LMa	83.63	-82.75	79.9	115.04	136
CMa	86.88	-46.16	-13.55	48.12	196
VMa	30.39	76.06	-103.59	128.52	306
NMa	57.3	94.35	-58.41	110.97	328
NMa	0.01	0.0	0.0	0.0	0
WMa	95.41	0.0	0.0	0.0	0
RCIE	39.92	58.74	27.99	65.07	25
JCIE	81.26	-2.88	71.56	71.62	92
GCIE	52.23	-42.41	13.6	44.55	162
BCIE	30.57	1.41	-46.46	46.49	272



OG820-7N-134-5: 5-stufige Reihen für konstanten CIELAB Buntton 328/360 = 0.912 (links)



16-stufige Reihen für konstanten CIELAB Buntton 328/360 = 0.912 (rechts)

OG82: Prüfvorlage 1 nach DIN 33872-2, Buntton M; 1MR, DEH Eingabe: $rgb \rightarrow rgb^*_{de}$ setrgbcolor
Ausgabe 130-5: $g_p=1.0$; $g_N=1.42$

Eingabe: Farbmatisches Fernseh-Licht-System TLS00a

für Buntton $h^* = lab^*h = 92/360 = 0.256$

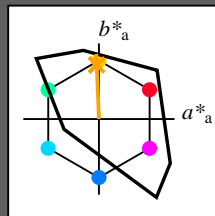
lab^*tch und lab^*nch

D65: Buntton J

LCH*Ma: 85 86 92

olv*Ma: 1.0 0.82 0.0

Dreiecks-Helligkeit t^*



%Umfang

$u^*_{rel} = 158$

%Regularität

$g^*_{H,rel} = 20$

$g^*_{C,rel} = 37$

TLS00a; adaptierte CIELAB-Daten

	$L^*=L^*_a$	a^*_a	b^*_a	$C^*_{ab,a}$	$h^*_{ab,a}$
O _{Ma}	50.5	76.92	64.55	100.42	40
Y _{Ma}	92.66	-20.69	90.75	93.08	103
L _{Ma}	83.63	-82.75	79.9	115.04	136
C _{Ma}	86.88	-46.16	-13.55	48.12	196
V _{Ma}	30.39	76.06	-103.59	128.52	306
M _{Ma}	57.3	94.35	-58.41	110.97	328
N _{Ma}	0.01	0.0	0.0	0.0	0
W _{Ma}	95.41	0.0	0.0	0.0	0
R _{CIE}	39.92	58.74	27.99	65.07	25
J _{CIE}	81.26	-2.88	71.56	71.62	92
G _{CIE}	52.23	-42.41	13.6	44.55	162
B _{CIE}	30.57	1.41	-46.46	46.49	272

Ausgabe: Farbmatisches Fernseh-Licht-System TLS00a

für Buntton $h^* = lab^*h = 92/360 = 0.256$

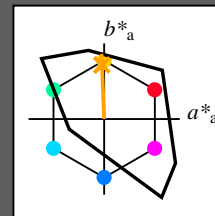
lab^*tch und lab^*nch

D65: Buntton J

LCH*Ma: 85 86 92

olv*Ma: 1.0 0.82 0.0

Dreiecks-Helligkeit t^*



%Umfang

$u^*_{rel} = 158$

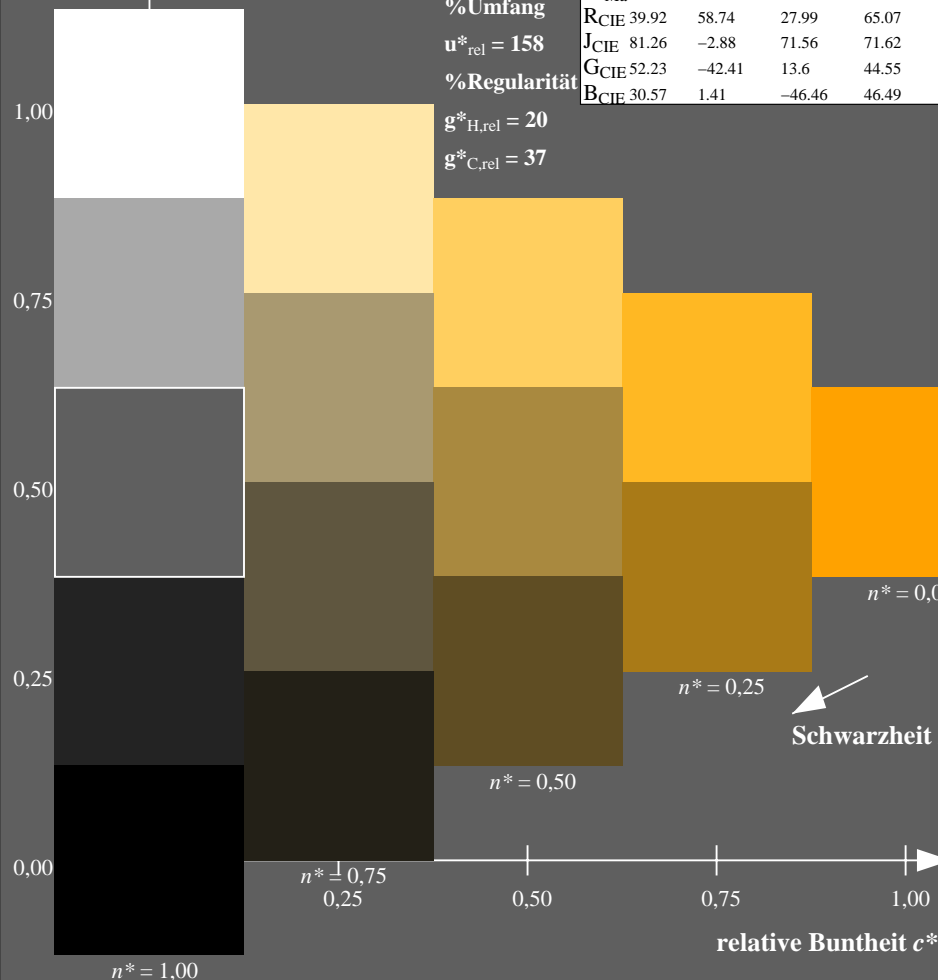
%Regularität

$g^*_{H,rel} = 20$

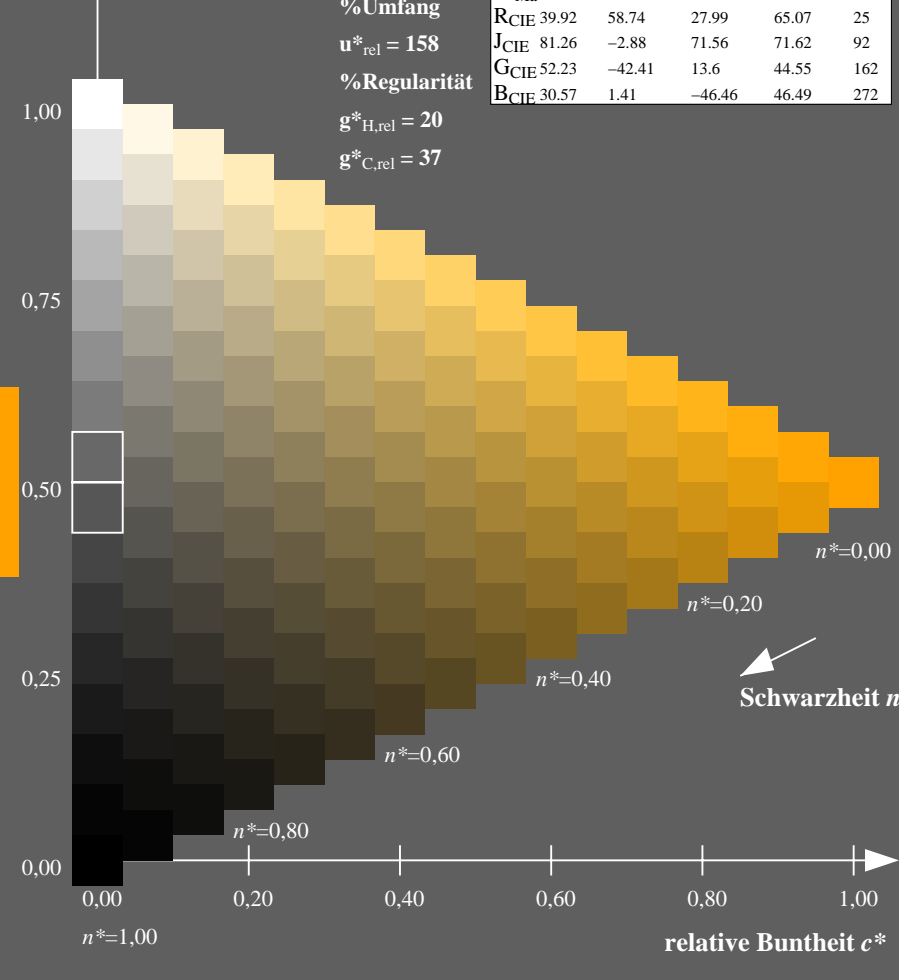
$g^*_{C,rel} = 37$

TLS00a; adaptierte CIELAB-Daten

	$L^*=L^*_a$	a^*_a	b^*_a	$C^*_{ab,a}$	$h^*_{ab,a}$
O _{Ma}	50.5	76.92	64.55	100.42	40
Y _{Ma}	92.66	-20.69	90.75	93.08	103
L _{Ma}	83.63	-82.75	79.9	115.04	136
C _{Ma}	86.88	-46.16	-13.55	48.12	196
V _{Ma}	30.39	76.06	-103.59	128.52	306
M _{Ma}	57.3	94.35	-58.41	110.97	328
N _{Ma}	0.01	0.0	0.0	0.0	0
W _{Ma}	95.41	0.0	0.0	0.0	0
R _{CIE}	39.92	58.74	27.99	65.07	25
J _{CIE}	81.26	-2.88	71.56	71.62	92
G _{CIE}	52.23	-42.41	13.6	44.55	162
B _{CIE}	30.57	1.41	-46.46	46.49	272



OG820-7N-134-7: 5-stufige Reihen für konstanten CIELAB Buntton 92/360 = 0.256 (links)



16-stufige Reihen für konstanten CIELAB Buntton 92/360 = 0.256 (rechts)

OG82: Prüfvorlage 1 nach DIN 33872-2, Buntton J; 1MR, DEEH Eingabe: $rgb \rightarrow rgb^*_{dee}$ setrgbcol
Unterscheidbarkeit von 5- und 16-stufigen Farbreihen
Ausgabe 130-7: $g_p=1.0$; $g_N=1.42$

94nliche ISO-Prüfvorlagen: <http://www.ps.bam.de/24705T>, <http://www.ps.bam.de/9241>
Technische Information: <http://www.ps.bam.de/33872> Version 2.1, io=1,1, CIELAB

TUB-Registrierung: 20110801-OG82/OG82L0NA.TXT /.PS TUB-Material: Code=rha4ta
Anwendung für Ausgabe von Displays: Monitor- oder Datenprojektor-System

Eingabe: Farbmétrisches Fernseh-Licht-System TLS00a

für Buntton $h^* = lab^*h = 162/360 = 0.451$

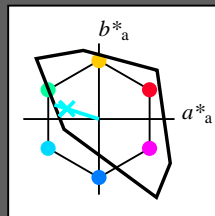
lab^*tch und lab^*nch

D65: Buntton G

LCH*Ma: 86 62 162

olv*Ma: 0.0 1.0 0.65

Dreiecks-Helligkeit t^*



%Umfang

$u^*_{rel} = 158$

%Regularität

$g^*_{H,rel} = 20$

$g^*_{C,rel} = 37$

TLS00a; adaptierte CIELAB-Daten

	$L^*=L^*_a$	a^*_a	b^*_a	$C^*_{ab,a}$	$h^*_{ab,a}$
O _{Ma}	50.5	76.92	64.55	100.42	40
Y _{Ma}	92.66	-20.69	90.75	93.08	103
L _{Ma}	83.63	-82.75	79.9	115.04	136
C _{Ma}	86.88	-46.16	-13.55	48.12	196
V _{Ma}	30.39	76.06	-103.59	128.52	306
M _{Ma}	57.3	94.35	-58.41	110.97	328
N _{Ma}	0.01	0.0	0.0	0.0	0
W _{Ma}	95.41	0.0	0.0	0.0	0
R _{CIE}	39.92	58.74	27.99	65.07	25
J _{CIE}	81.26	-2.88	71.56	71.62	92
G _{CIE}	52.23	-42.41	13.6	44.55	162
B _{CIE}	30.57	1.41	-46.46	46.49	272

Ausgabe: Farbmétrisches Fernseh-Licht-System TLS00a

für Buntton $h^* = lab^*h = 162/360 = 0.451$

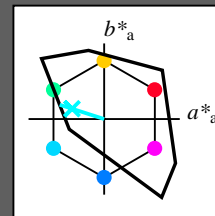
lab^*tch und lab^*nch

D65: Buntton G

LCH*Ma: 86 62 162

olv*Ma: 0.0 1.0 0.65

Dreiecks-Helligkeit t^*



%Umfang

$u^*_{rel} = 158$

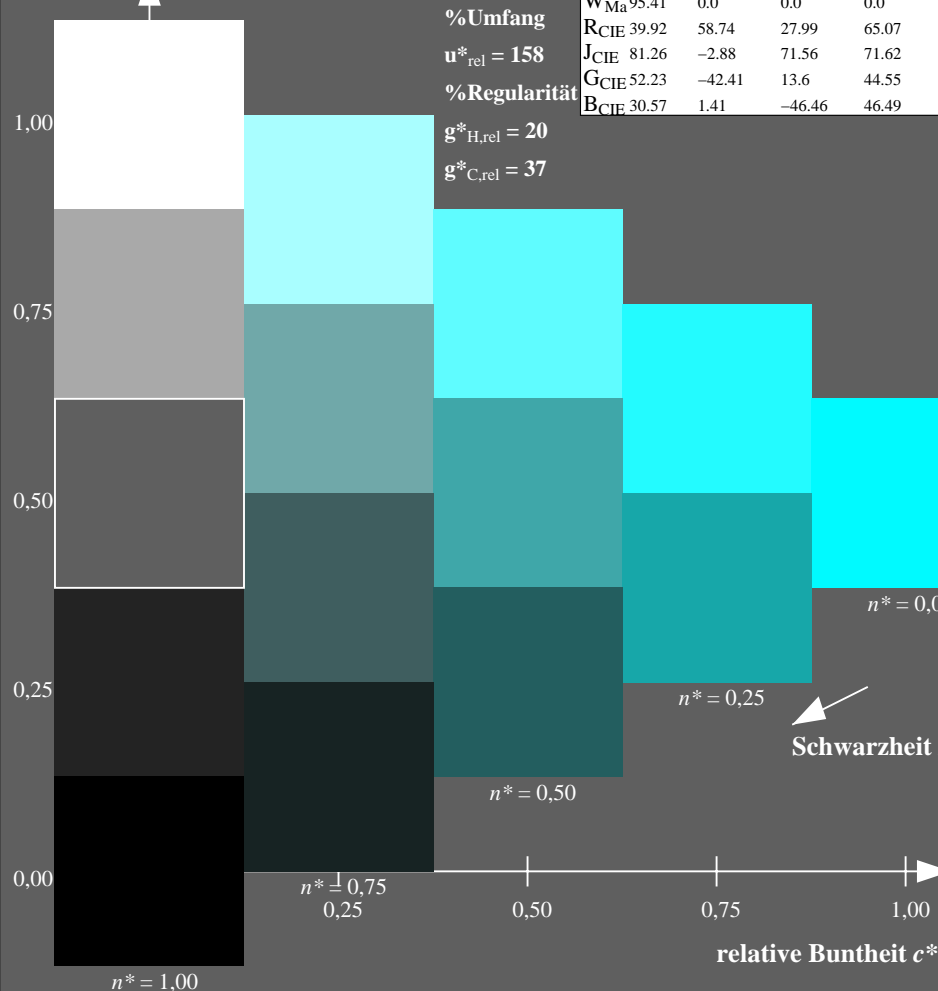
%Regularität

$g^*_{H,rel} = 20$

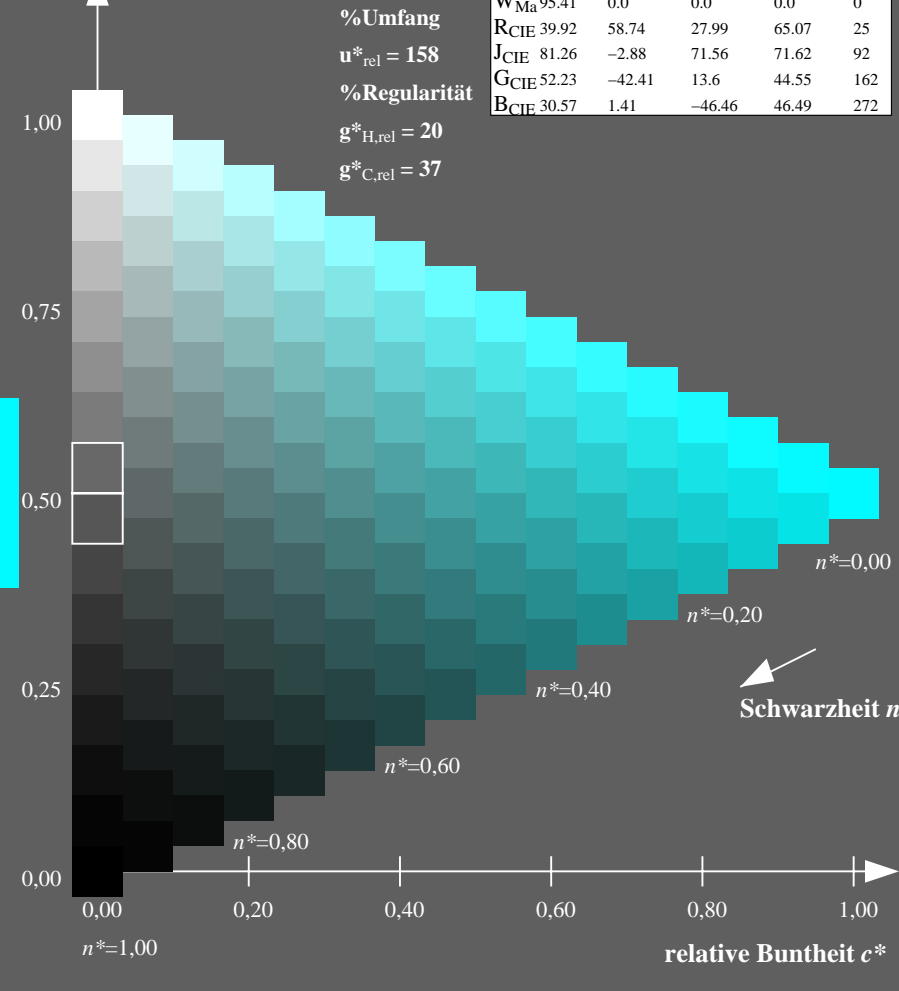
$g^*_{C,rel} = 37$

TLS00a; adaptierte CIELAB-Daten

	$L^*=L^*_a$	a^*_a	b^*_a	$C^*_{ab,a}$	$h^*_{ab,a}$
O _{Ma}	50.5	76.92	64.55	100.42	40
Y _{Ma}	92.66	-20.69	90.75	93.08	103
L _{Ma}	83.63	-82.75	79.9	115.04	136
C _{Ma}	86.88	-46.16	-13.55	48.12	196
V _{Ma}	30.39	76.06	-103.59	128.52	306
M _{Ma}	57.3	94.35	-58.41	110.97	328
N _{Ma}	0.01	0.0	0.0	0.0	0
W _{Ma}	95.41	0.0	0.0	0.0	0
R _{CIE}	39.92	58.74	27.99	65.07	25
J _{CIE}	81.26	-2.88	71.56	71.62	92
G _{CIE}	52.23	-42.41	13.6	44.55	162
B _{CIE}	30.57	1.41	-46.46	46.49	272



OG820-7N-134-8: 5-stufige Reihen für konstanten CIELAB Buntton 162/360 = 0.451 (links)



16-stufige Reihen für konstanten CIELAB Buntton 162/360 = 0.451 (rechts)

OG82: Prüfvorlage 1 nach DIN 33872-2, Buntton G; 1MR, DEEHEingabe: $rgb \rightarrow rgb^*_{dee}$ setrgbcol
Unterscheidbarkeit von 5- und 16-stufigen Farbreihen
Ausgabe 130-8: $g_p=1.0$; $g_N=1.42$

Eingabe: Farbmatisches Fernseh-Licht-System TLS00a

für Buntton $h^* = lab^*h = 272/360 = 0.755$

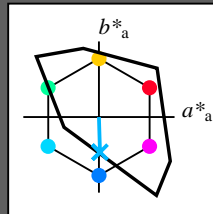
lab^*tch und lab^*nch

D65: Buntton B

LCH*Ma: 65 49 272

olv*Ma: 0.0 0.61 1.0

Dreiecks-Helligkeit t^*



%Umfang

$u^*_{rel} = 158$

%Regularität

$g^*_{H,rel} = 20$

$g^*_{C,rel} = 37$

TLS00a; adaptierte CIELAB-Daten

	$L^*=L^*_a$	a^*_a	b^*_a	$C^*_{ab,a}$	$h^*_{ab,a}$
O _{Ma}	50.5	76.92	64.55	100.42	40
Y _{Ma}	92.66	-20.69	90.75	93.08	103
L _{Ma}	83.63	-82.75	79.9	115.04	136
C _{Ma}	86.88	-46.16	-13.55	48.12	196
V _{Ma}	30.39	76.06	-103.59	128.52	306
M _{Ma}	57.3	94.35	-58.41	110.97	328
N _{Ma}	0.01	0.0	0.0	0.0	0
W _{Ma}	95.41	0.0	0.0	0.0	0
R _{CIE}	39.92	58.74	27.99	65.07	25
J _{CIE}	81.26	-2.88	71.56	71.62	92
G _{CIE}	52.23	-42.41	13.6	44.55	162
B _{CIE}	30.57	1.41	-46.46	46.49	272

Ausgabe: Farbmatisches Fernseh-Licht-System TLS00a

für Buntton $h^* = lab^*h = 272/360 = 0.755$

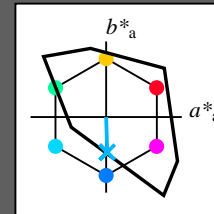
lab^*tch und lab^*nch

D65: Buntton B

LCH*Ma: 65 49 272

olv*Ma: 0.0 0.61 1.0

Dreiecks-Helligkeit t^*



%Umfang

$u^*_{rel} = 158$

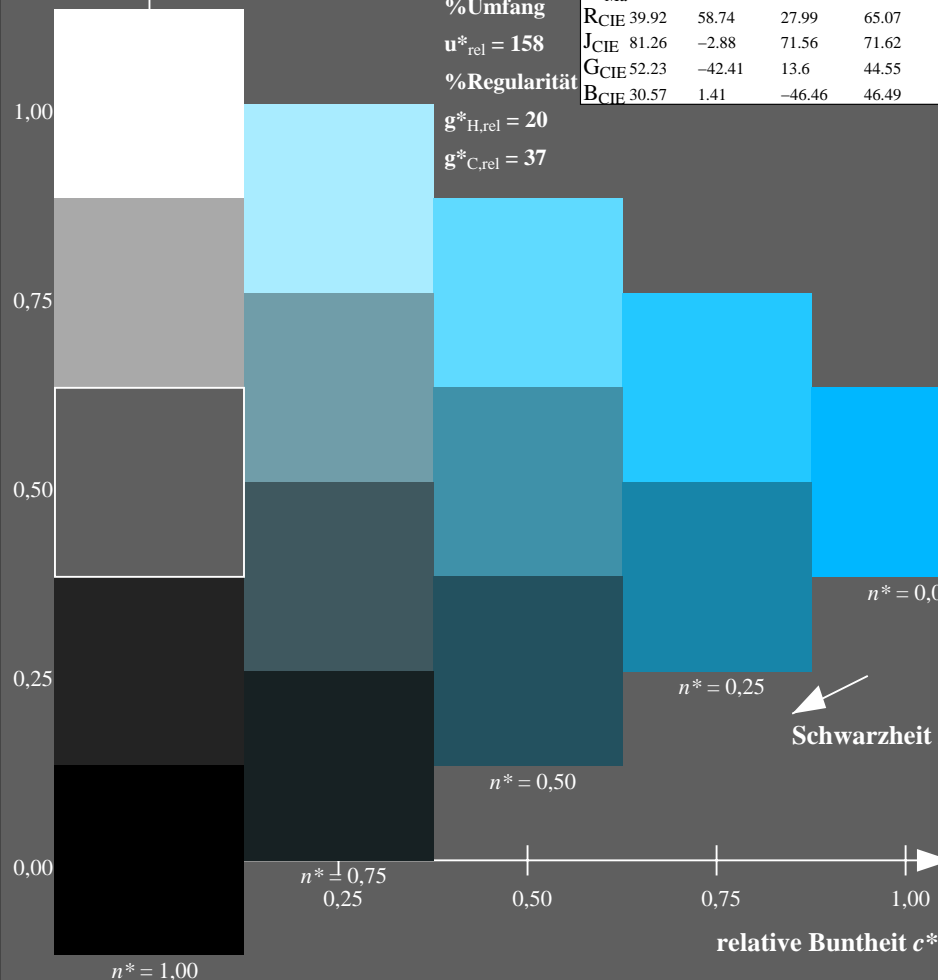
%Regularität

$g^*_{H,rel} = 20$

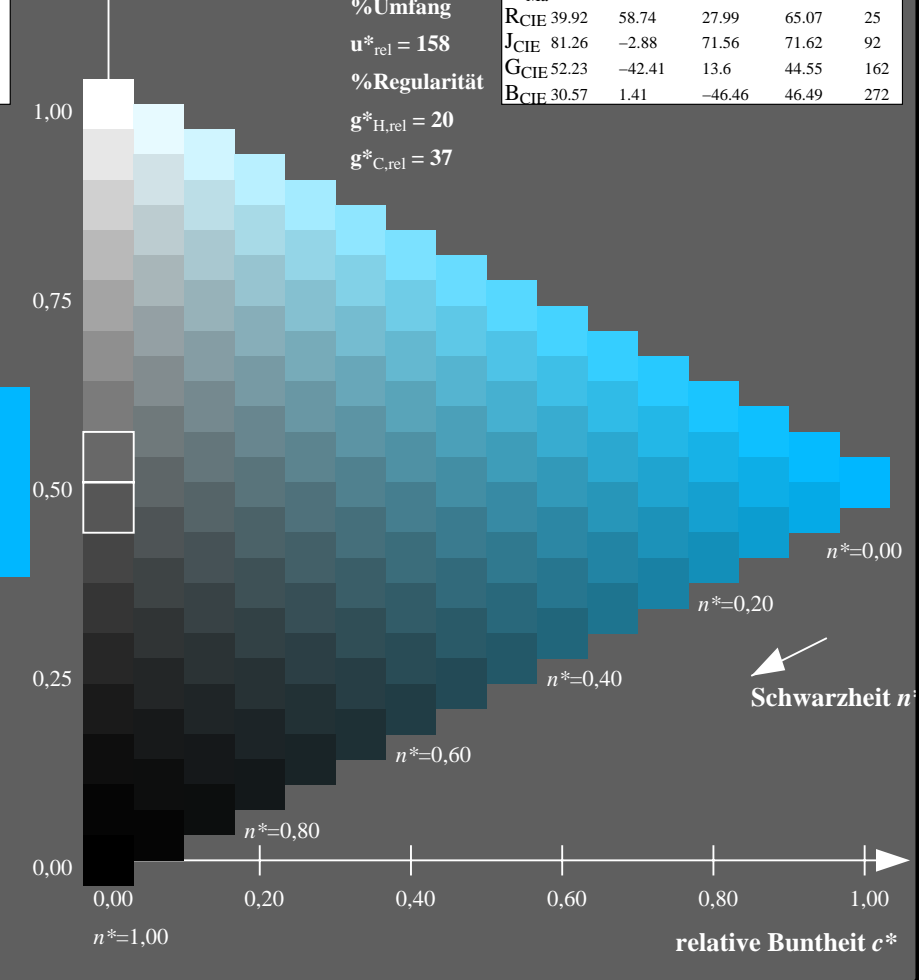
$g^*_{C,rel} = 37$

TLS00a; adaptierte CIELAB-Daten

	$L^*=L^*_a$	a^*_a	b^*_a	$C^*_{ab,a}$	$h^*_{ab,a}$
O _{Ma}	50.5	76.92	64.55	100.42	40
Y _{Ma}	92.66	-20.69	90.75	93.08	103
L _{Ma}	83.63	-82.75	79.9	115.04	136
C _{Ma}	86.88	-46.16	-13.55	48.12	196
V _{Ma}	30.39	76.06	-103.59	128.52	306
M _{Ma}	57.3	94.35	-58.41	110.97	328
N _{Ma}	0.01	0.0	0.0	0.0	0
W _{Ma}	95.41	0.0	0.0	0.0	0
R _{CIE}	39.92	58.74	27.99	65.07	25
J _{CIE}	81.26	-2.88	71.56	71.62	92
G _{CIE}	52.23	-42.41	13.6	44.55	162
B _{CIE}	30.57	1.41	-46.46	46.49	272



OG820-7N-134-9: 5-stufige Reihen für konstanten CIELAB Buntton 272/360 = 0.755 (links)

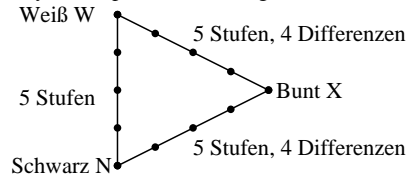


16-stufige Reihen für konstanten CIELAB Buntton 272/360 = 0.755 (rechts)

OG82: Prüfvorlage 1 nach DIN 33872-2, Buntton B; 1MR, DEEHEingabe: rgb (->rgb*dee) setrgbcold
Ausgabe 130-9: $g_p=1.0$; $g_N=1.42$

Unterscheidbarkeit von 5-stufigen Farbreihen (Ja/Nein-Entscheidung)

Layoutbeispiel: drei 5-stufige Farbreihen



Es gibt drei Grundfarben auf jeder Seite:
Schwarz N, Weiß W und Bunt X.
Zehn Seiten enthalten 10 Bunttonebenen
X = OYLCVM und RJGB.
Es gibt maximal 12 unterscheidbare Stufen.

Alle Stufen der drei Serien N-W, W-X und X-N sollen unterscheidbar sein auf **allen** Seiten.
Sind die drei 5-stufigen Reihen auf allen Seiten unterscheidbar? unterstreiche: Ja/Nein

Nur im Fall von Nein: Sind die drei 5-stufigen Reihen auf Seite x von 10 Seiten unterscheidbar?
Unterstreiche Ja/Nein und gib im Fall von Nein die Anzahl unterscheidbarer Stufen an
Seite 1: Ja/Nein, wenn Nein ../12 Stufendifferenzen sind unterscheidbar von O = Orangerot
Seite 2: Ja/Nein, wenn Nein ../12 Stufendifferenzen sind unterscheidbar von Y = Gelb
Seite 3: Ja/Nein, wenn Nein ../12 Stufendifferenzen sind unterscheidbar von L = Laubgrün
Seite 4: Ja/Nein, wenn Nein ../12 Stufendifferenzen sind unterscheidbar von C = Cyanblau
Seite 5: Ja/Nein, wenn Nein ../12 Stufendifferenzen sind unterscheidbar von V = Violettblau
Seite 6: Ja/Nein, wenn Nein ../12 Stufendifferenzen sind unterscheidbar von M = Magentarot
Seite 7: Ja/Nein, wenn Nein ../12 Stufendifferenzen sind unterscheidbar von R = Elementarrot
Seite 8: Ja/Nein, wenn Nein ../12 Stufendifferenzen sind unterscheidbar von J = Elementargelb
Seite 9: Ja/Nein, wenn Nein ../12 Stufendifferenzen sind unterscheidbar von G = Elementargrün
Seite 10: Ja/Nein, wenn Nein ../12 Stufendifferenzen sind unterscheidbar von B = Elementarblau

Summe: ../10 Ja-Seiten und ../120 Stufendifferenzen unterscheidbar

Teil 1

OG820-3N-134-10

Dokumentation von Dateiformat, Hard- und Software für diese Prüfung:

PDF-Datei: http://130.149.60.45/farbmetrik/OG82/OG82L0NP.PDF **unterstreiche Ja/Nein**

PS-Datei: http://130.149.60.45/farbmetrik/OG82/OG82L0NA.PS **oder unterstreiche Ja/Nein**

benutztes Rechner-Betriebssystem:

nur eines von Windows/Mac/Unix/anderes und Version:.....

Die Beurteilung ist für die Geräteausgabe: unterstreiche Monitor/Datenprojektor/Drucker

Geräte-Modell, -Treiber und -Version:.....

Geräteausgabe mit PDF/PS-Datei: unterstreiche PDF-/PS-Datei

Für Geräteausgabe mit PDF-Datei OG82L0NP.PDF:

entweder PDF-Dateitransfer "download, copy" nach PDF-Gerät.....
oder mit Rechnersystem-Interpretation durch "Display-PDF":.....
oder mit Software, z. B. Adobe-Reader/-Acrobat und Version:.....
oder mit Software, z. B. Ghostscript und Version:.....

Für Geräteausgabe mit PS-Datei OG82L0NA.PS:

entweder PS-Dateitransfer "download, copy" nach PS-Gerät.....
oder mit Rechnersystem-Interpretation durch "Display-PS":.....
oder mit Software, z. B. Ghostscript und Version:.....
oder mit Software, z. B. Mac-Yap und Version:.....

Spezielle Anmerkungen:

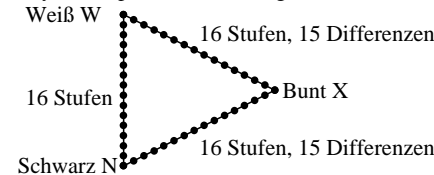
.....
.....
.....

Teil 3

OG820-7N-134-10

Unterscheidbarkeit von 16-stufigen Farbreihen (Ja/Nein-Entscheidung)

Layoutbeispiel: drei 16-stufige Farbreihen



Es gibt drei Grundfarben auf jeder Seite:
Schwarz N, Weiß W und Bunt X.
Zehn Seiten enthalten 10 Bunttonebenen
X = OYLCVM und RJGB.
Es gibt maximal 45 unterscheidbare Stufen.

Alle Stufen der drei Serien N-W, W-X und X-N sollen unterscheidbar sein auf **allen** Seiten.
Sind die drei 16-stufigen Reihen auf allen Seiten unterscheidbar? unterstreiche: Ja/Nein

Nur im Fall von Nein: Sind die drei 16-stufigen Reihen auf Seite x von 10 Seiten unterscheidbar?
Unterstreiche Ja/Nein und gib im Fall von Nein die Anzahl unterscheidbarer Stufen an
Seite 1: Ja/Nein, wenn Nein ../45 Stufendifferenzen sind unterscheidbar von O = Orangerot
Seite 2: Ja/Nein, wenn Nein ../45 Stufendifferenzen sind unterscheidbar von Y = Gelb
Seite 3: Ja/Nein, wenn Nein ../45 Stufendifferenzen sind unterscheidbar von L = Laubgrün
Seite 4: Ja/Nein, wenn Nein ../45 Stufendifferenzen sind unterscheidbar von C = Cyanblau
Seite 5: Ja/Nein, wenn Nein ../45 Stufendifferenzen sind unterscheidbar von V = Violettblau
Seite 6: Ja/Nein, wenn Nein ../45 Stufendifferenzen sind unterscheidbar von M = Magentarot
Seite 7: Ja/Nein, wenn Nein ../45 Stufendifferenzen sind unterscheidbar von R = Elementarrot
Seite 8: Ja/Nein, wenn Nein ../45 Stufendifferenzen sind unterscheidbar von J = Elementargelb
Seite 9: Ja/Nein, wenn Nein ../45 Stufendifferenzen sind unterscheidbar von G = Elementargrün
Seite 10: Ja/Nein, wenn Nein ../45 Stufendifferenzen sind unterscheidbar von B = Elementarblau

Summe: ../10 Ja-Seiten und ../450 Stufendifferenzen unterscheidbar

Teil 2

OG821-3N-134-10

Dokumentation der Beurteiler-Farbseigenschaften für diese Prüfung:

Der Beurteiler hat **normales** Farbsehen nach einer Prüfung:
entweder nach DIN 6160:1996 mit Anomalskop nach *Nagel*
oder mit Farbpunkt-Prüftafeln nach *Ishihara*
oder mit, bitte nennen:.....

unterstreiche Ja/Nein
unterstreiche Ja/unbekannt
unterstreiche Ja/unbekannt
unterstreiche Ja/unbekannt

Für visuelle Bewertung der Display(Monitor, Daten-Projektor)-Ausgabe

Büro-Arbeitsplatz-Beleuchtung ist Tageslicht (bedeckter/Nordhimmel)

PDF-Datei: http://130.149.60.45/farbmetrik/OG82/OG82F1P2.PDF

PS-Datei: http://130.149.60.45/farbmetrik/OG82/OG82F1P2.PS

Bild A7-134-2: Kontrastbereich: (>F:0) (F:0) (E:0) (D:0) (C:0) (A:0) (9:0) (7:0) (5:0) (3:0) (<3:0)

vergleiche Normdruckausgabe nach ISO/IEC 15775 mit Bereich F:0

Anmerkung: Bei Tageslichtbürobeleuchtung ist der Kontrastbereich oft:

am Display zwischen: >F:0 und E:0 (Monitor), D:0 und 3:0 (Datenprojektor)

Nur für optionale farbmimetrische Kennzeichnung mit PDF/PS-Dateiausgabe

PDF-Datei: http://130.149.60.45/farbmetrik/OG82/OG82F1P2.PDF

Bild A7-134-2

unterstreiche Ja/Nein

PS-Datei: http://130.149.60.45/farbmetrik/OG82/OG82F1P2.PS

Bild A7-134-2

oder unterstreiche Ja/Nein

Farbmessung und Kennzeichnung für:

CIE-Normlichtart D65, CIE-2-Grad-Beobachter, CIE-45/0-Geometrie

unterstreiche Ja/Nein

Wenn Nein, bitte andere Parameter nennen:

Farbmimetrische Kennzeichnung mit PS-Datei für Farben der Spalten A bis T

Ersatz der CIELAB-Daten in Datei www.ps.bam.de/Dg17/10L/L17g00NP.PS und Transfer

der PS-Datei L17g00NP.PS in PDF-Datei L17g00NP.PDF

unterstreiche Ja/Nein

Wenn Nein, bitte andere Methode beschreiben:

Teil 4

OG821-7N-134-10

i	LAB*ref	l*out	LAB*out	LAB*out/c-ref	ΔE*
1	26.85 0.0 0.0	0.0 0.0 0.0	26.85 0.0 0.0	0.0 0.0 0.0	0.01
2	31.42 0.0 0.0	0.01 0.0 0.0	27.5 0.0 0.0	-3.91 0.0 0.0	3.92
3	35.99 0.0 0.0	0.03 0.0 0.0	28.99 0.0 0.0	-6.99 0.0 0.0	7.0
4	40.56 0.0 0.0	0.06 0.0 0.0	31.15 0.0 0.0	-9.4 0.0 0.0	9.41
5	45.13 0.0 0.0	0.1 0.0 0.0	33.91 0.0 0.0	-11.21 0.0 0.0	11.22
6	49.7 0.0 0.0	0.15 0.0 0.0	37.21 0.0 0.0	-12.48 0.0 0.0	12.49
7	54.27 0.0 0.0	0.21 0.0 0.0	41.03 0.0 0.0	-13.24 0.0 0.0	13.25
8	58.84 0.0 0.0	0.27 0.0 0.0	45.33 0.0 0.0	-13.5 0.0 0.0	13.51
9	63.41 0.0 0.0	0.34 0.0 0.0	50.1 0.0 0.0	-13.3 0.0 0.0	13.31
10	67.99 0.0 0.0	0.42 0.0 0.0	55.33 0.0 0.0	-12.65 0.0 0.0	12.66
11	72.56 0.0 0.0	0.5 0.0 0.0	60.98 0.0 0.0	-11.56 0.0 0.0	11.57
12	77.13 0.0 0.0	0.59 0.0 0.0	67.06 0.0 0.0	-10.05 0.0 0.0	10.06
13	81.7 0.0 0.0	0.68 0.0 0.0	73.56 0.0 0.0	-8.13 0.0 0.0	8.14
14	86.27 0.0 0.0	0.78 0.0 0.0	80.45 0.0 0.0	-5.81 0.0 0.0	5.82
15	90.84 0.0 0.0	0.89 0.0 0.0	87.74 0.0 0.0	-3.09 0.0 0.0	3.1
16	95.41 0.0 0.0	1.0 0.0 0.0	95.41 0.0 0.0	0.0 0.0 0.0	0.01
17	26.85 0.0 0.0	0.0 0.0 0.0	26.85 0.0 0.0	0.0 0.0 0.0	0.01
18	43.99 0.0 0.0	0.09 0.0 0.0	33.17 0.0 0.0	-10.81 0.0 0.0	10.82
19	61.13 0.0 0.0	0.3 0.0 0.0	47.66 0.0 0.0	-13.46 0.0 0.0	13.47
20	78.27 0.0 0.0	0.61 0.0 0.0	68.65 0.0 0.0	-9.61 0.0 0.0	9.62
21	95.41 0.0 0.0	1.0 0.0 0.0	95.41 0.0 0.0	0.0 0.0 0.0	0.01

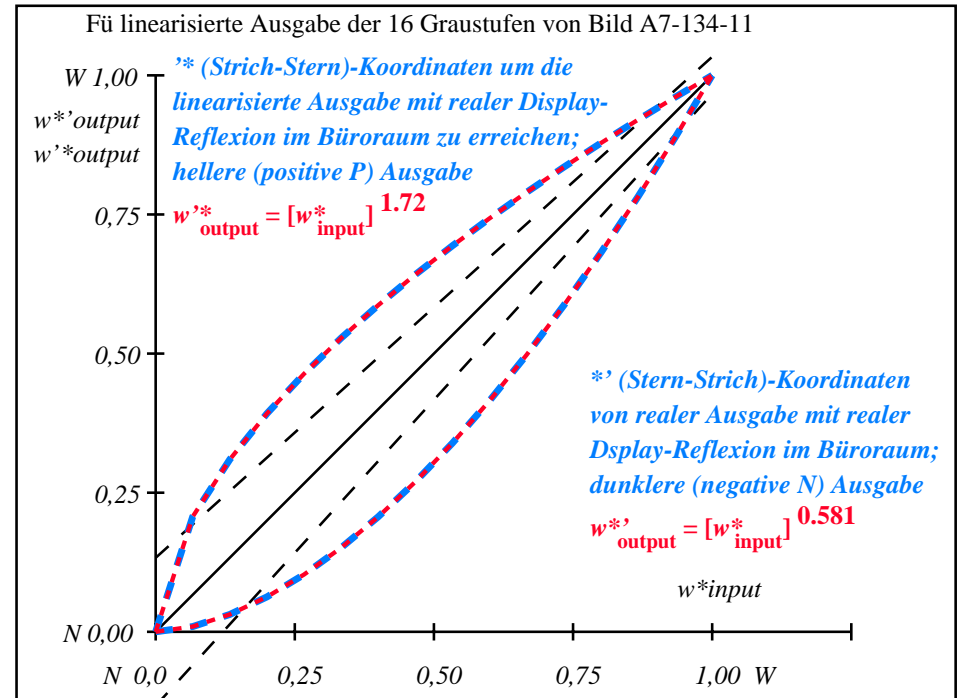
Start-Ausgabe S1
Kennzeichnung nach
ISO/IEC 15775 Anhang G
und DIN 33866-1 Anhang G

Mittlerer Helligkeitsabstand (16 Stufen)
 $\Delta E^*_{CIELAB} = 8.5$

Mittlerer Helligkeitsabstand (5 Stufen)
 $\Delta L^*_{CIELAB} = 6.8$

Mittlerer Farbwiedergabe-Index: $R^*_{ab,m} = 63$

OG820-3N-134-11: File: Measure unknown; Device: Device unknown; Date: Date unknown



$L^*/Y_{intended}$ (absolut)	26.8/5.0	31.4/6.8	36.0/9.0	40.6/11.6	45.1/14.6	49.7/18.2	54.3/22.2	58.8/26.9	63.4/32.1	68.0/38.0	72.6/44.5	77.1/51.7	81.7/59.7	86.3/68.5	90.8/78.1	95.4/88.6
$w^* w^* w^*$ setrgb $g_N=1.72$ Nr. und Hex-Code	00;F	01;E	02;D	03;C	04;B	05;A	06;9	07;8	08;7	09;6	10;5	11;4	12;3	13;2	14;1	15;0
$w^*=l^*_{CIELAB,r}$ (relativ)																
$w^*_{intended}$	0.000	0.067	0.133	0.200	0.267	0.333	0.400	0.467	0.533	0.600	0.667	0.733	0.800	0.867	0.933	1.000
w^*_{out}	0.0	0.01	0.031	0.063	0.103	0.151	0.207	0.27	0.339	0.415	0.498	0.586	0.681	0.782	0.888	1.0

OG820-7N, Bild A7-134-11: 16 visuell gleichabständige L^* -Graustufen; PS-Operator: $w^* w^* w^*_{setrgbcolor}$

OG82: Ein-Ausgabe-Beziehung nach ISO 9241-306; 1MR, DEH Eingabe: $rgb \rightarrow rgb^*_{de}$ setrgbcolor
Gesehener Y-Kontrast $Y_W:Y_N=88,9:5$; Y_N -Bereich 3,75 to <7,5 Ausgabe 130-11: $g_P=1.0$; $g_N=1.42$

Eingabe: Farbmatisches Fernseh-Licht-System TLS00a

für Buntton $h^* = lab^*h = 40/360 = 0.111$

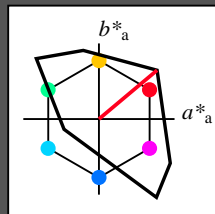
lab^*tch und lab^*nch

D65: Buntton O

LCH*Ma: 51 100 40

olv*Ma: 1.0 0.0 0.0

Dreiecks-Helligkeit t^*



%Umfang

$u^*_{rel} = 158$

%Regularität

$g^*_{H,rel} = 20$

$g^*_{C,rel} = 37$

TLS00a; adaptierte CIELAB-Daten

	$L^*=L^*_a$	a^*_a	b^*_a	$C^*_{ab,a}$	$h^*_{ab,a}$
O _{Ma}	50.5	76.92	64.55	100.42	40
Y _{Ma}	92.66	-20.69	90.75	93.08	103
L _{Ma}	83.63	-82.75	79.9	115.04	136
C _{Ma}	86.88	-46.16	-13.55	48.12	196
V _{Ma}	30.39	76.06	-103.59	128.52	306
M _{Ma}	57.3	94.35	-58.41	110.97	328
N _{Ma}	0.01	0.0	0.0	0.0	0
W _{Ma}	95.41	0.0	0.0	0.0	0
R _{CIE}	39.92	58.74	27.99	65.07	25
J _{CIE}	81.26	-2.88	71.56	71.62	92
G _{CIE}	52.23	-42.41	13.6	44.55	162
B _{CIE}	30.57	1.41	-46.46	46.49	272

Ausgabe: Farbmatisches Fernseh-Licht-System TLS00a

für Buntton $h^* = lab^*h = 40/360 = 0.111$

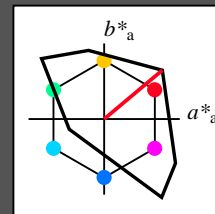
lab^*tch und lab^*nch

D65: Buntton O

LCH*Ma: 51 100 40

olv*Ma: 1.0 0.0 0.0

Dreiecks-Helligkeit t^*



%Umfang

$u^*_{rel} = 158$

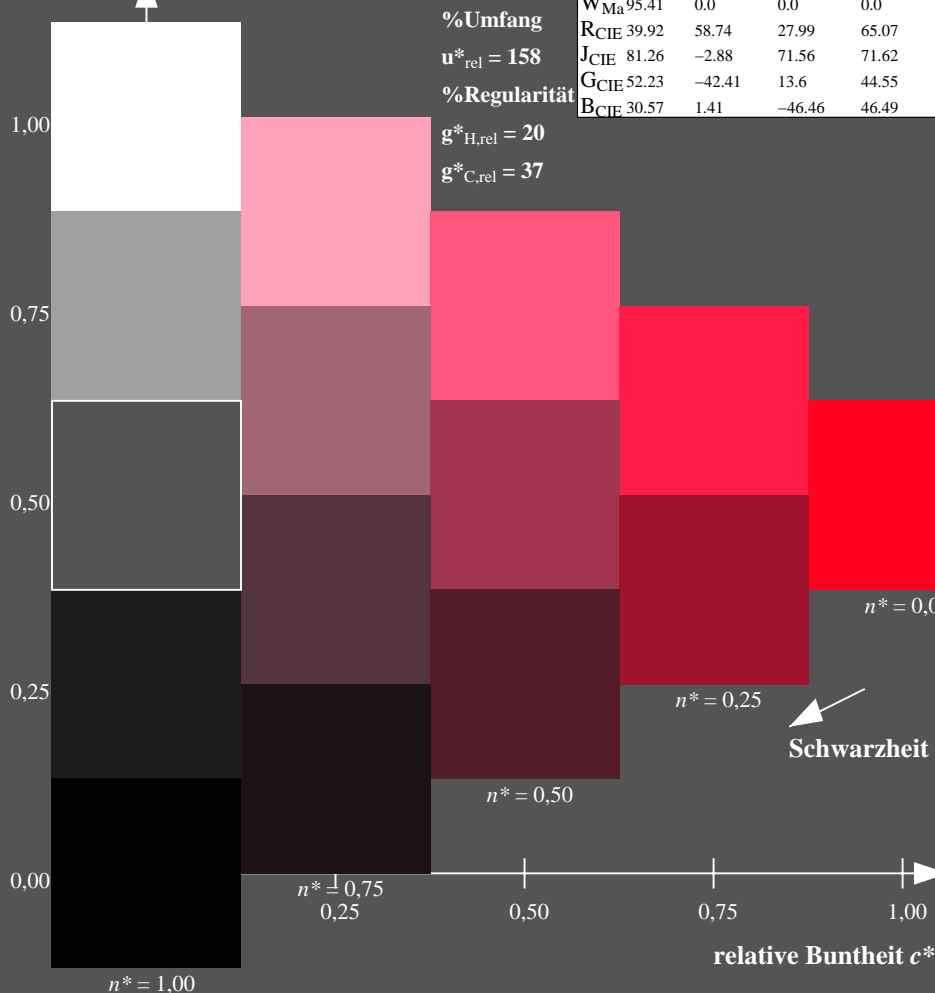
%Regularität

$g^*_{H,rel} = 20$

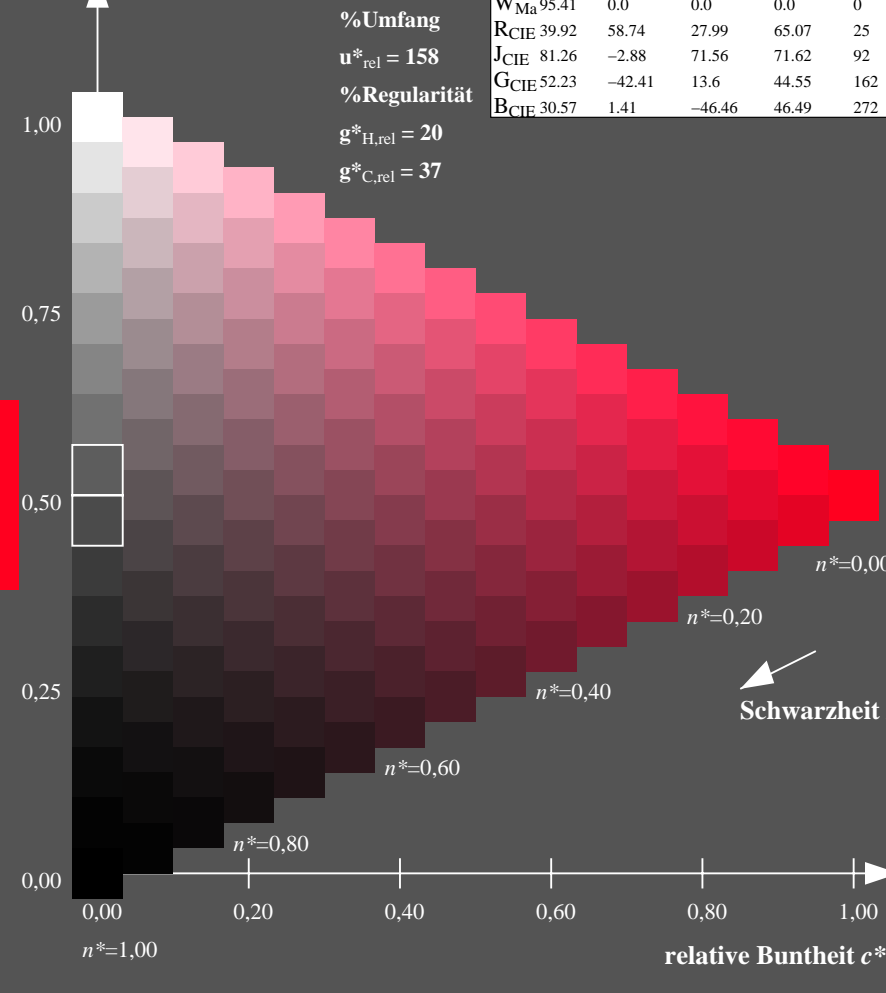
$g^*_{C,rel} = 37$

TLS00a; adaptierte CIELAB-Daten

	$L^*=L^*_a$	a^*_a	b^*_a	$C^*_{ab,a}$	$h^*_{ab,a}$
O _{Ma}	50.5	76.92	64.55	100.42	40
Y _{Ma}	92.66	-20.69	90.75	93.08	103
L _{Ma}	83.63	-82.75	79.9	115.04	136
C _{Ma}	86.88	-46.16	-13.55	48.12	196
V _{Ma}	30.39	76.06	-103.59	128.52	306
M _{Ma}	57.3	94.35	-58.41	110.97	328
N _{Ma}	0.01	0.0	0.0	0.0	0
W _{Ma}	95.41	0.0	0.0	0.0	0
R _{CIE}	39.92	58.74	27.99	65.07	25
J _{CIE}	81.26	-2.88	71.56	71.62	92
G _{CIE}	52.23	-42.41	13.6	44.55	162
B _{CIE}	30.57	1.41	-46.46	46.49	272



OG820-7N-135-0: 5-stufige Reihen für konstanten CIELAB Buntton 40/360 = 0.111 (links)



16-stufige Reihen für konstanten CIELAB Buntton 40/360 = 0.111 (rechts)

OG82: Prüfvorlage 1 nach DIN 33872-2, Buntton O; 1MR, DEH
Eingabe: rgb ($\rightarrow rgb^*_{de}$) $setrgbcolor$
Ausgabe 130-0: $g_p=1.0$; $g_N=1.6$

Eingabe: Farbmatisches Fernseh-Licht-System TLS00a

für Buntton $h^* = lab^*h = 103/360 = 0.286$

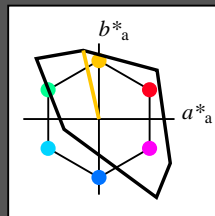
lab^*tch und lab^*nch

D65: Buntton Y

LCH*Ma: 93 93 103

olv*Ma: 1.0 1.0 0.0

Dreiecks-Helligkeit t^*



%Umfang

$u^*_{rel} = 158$

%Regularität

$g^*_{H,rel} = 20$

$g^*_{C,rel} = 37$

TLS00a; adaptierte CIELAB-Daten

	$L^*=L^*_a$	a^*_a	b^*_a	$C^*_{ab,a}$	$h^*_{ab,a}$
O _{Ma}	50.5	76.92	64.55	100.42	40
Y _{Ma}	92.66	-20.69	90.75	93.08	103
L _{Ma}	83.63	-82.75	79.9	115.04	136
C _{Ma}	86.88	-46.16	-13.55	48.12	196
V _{Ma}	30.39	76.06	-103.59	128.52	306
M _{Ma}	57.3	94.35	-58.41	110.97	328
N _{Ma}	0.01	0.0	0.0	0.0	0
W _{Ma}	95.41	0.0	0.0	0.0	0
R _{CIE}	39.92	58.74	27.99	65.07	25
J _{CIE}	81.26	-2.88	71.56	71.62	92
G _{CIE}	52.23	-42.41	13.6	44.55	162
B _{CIE}	30.57	1.41	-46.46	46.49	272

Ausgabe: Farbmatisches Fernseh-Licht-System TLS00a

für Buntton $h^* = lab^*h = 103/360 = 0.286$

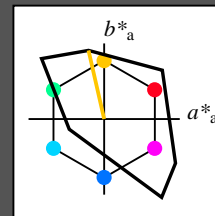
lab^*tch und lab^*nch

D65: Buntton Y

LCH*Ma: 93 93 103

olv*Ma: 1.0 1.0 0.0

Dreiecks-Helligkeit t^*



%Umfang

$u^*_{rel} = 158$

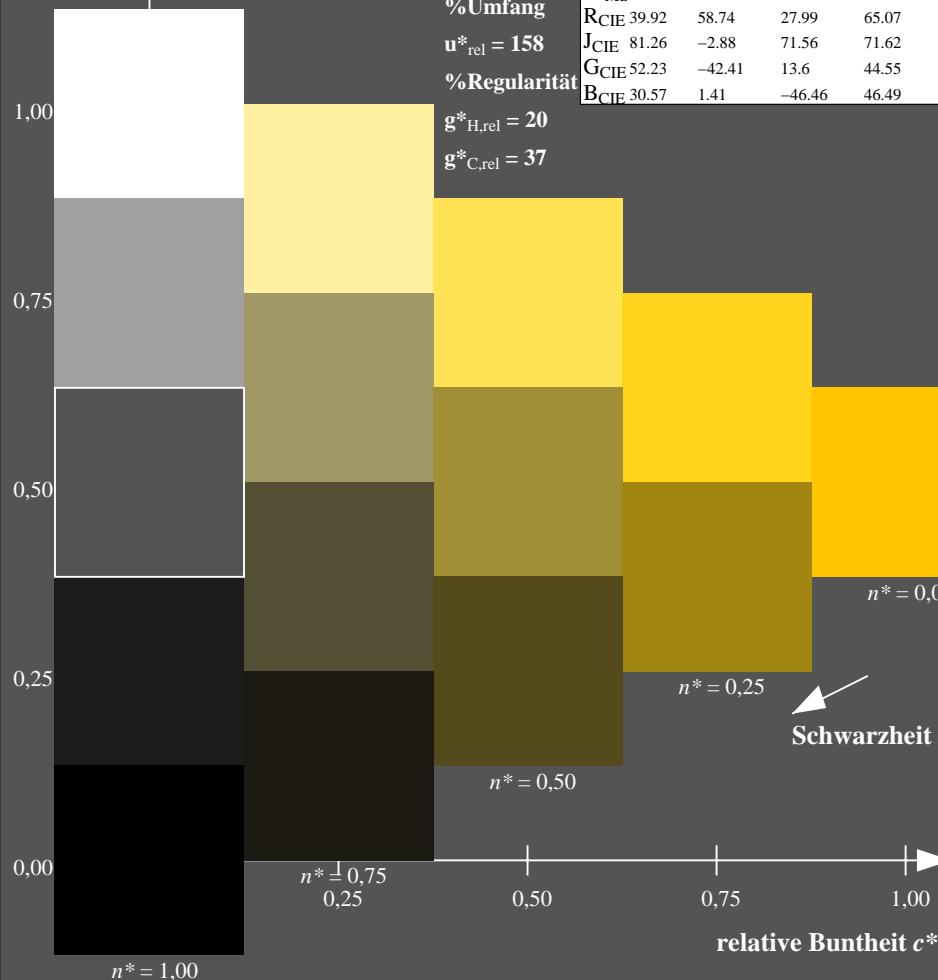
%Regularität

$g^*_{H,rel} = 20$

$g^*_{C,rel} = 37$

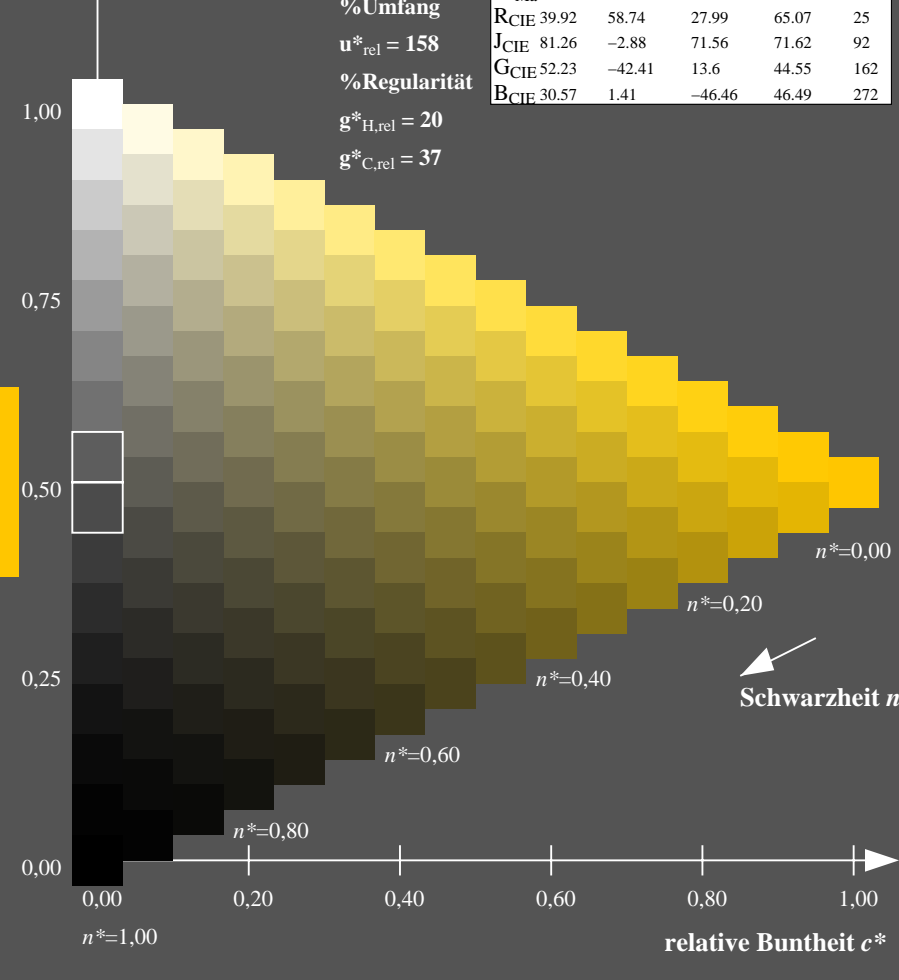
TLS00a; adaptierte CIELAB-Daten

	$L^*=L^*_a$	a^*_a	b^*_a	$C^*_{ab,a}$	$h^*_{ab,a}$
O _{Ma}	50.5	76.92	64.55	100.42	40
Y _{Ma}	92.66	-20.69	90.75	93.08	103
L _{Ma}	83.63	-82.75	79.9	115.04	136
C _{Ma}	86.88	-46.16	-13.55	48.12	196
V _{Ma}	30.39	76.06	-103.59	128.52	306
M _{Ma}	57.3	94.35	-58.41	110.97	328
N _{Ma}	0.01	0.0	0.0	0.0	0
W _{Ma}	95.41	0.0	0.0	0.0	0
R _{CIE}	39.92	58.74	27.99	65.07	25
J _{CIE}	81.26	-2.88	71.56	71.62	92
G _{CIE}	52.23	-42.41	13.6	44.55	162
B _{CIE}	30.57	1.41	-46.46	46.49	272



OG820-7N-135-1: 5-stufige Reihen für konstanten CIELAB Buntton 103/360 = 0.286 (links)

OG82: Prüfvorlage 1 nach DIN 33872-2, Buntton Y; 1MR, DEH
Unterscheidbarkeit von 5- und 16-stufigen Farbreihen



16-stufige Reihen für konstanten CIELAB Buntton 103/360 = 0.286 (rechts)

Eingabe: $rgb \rightarrow rgb^*_{de}$ setrgbcolor
Ausgabe 130-1: $g_p=1.0$; $g_N=1.6$

Eingabe: Farbmatisches Fernseh-Licht-System TLS00a

für Buntton $h^* = lab^*h = 136/360 = 0.378$

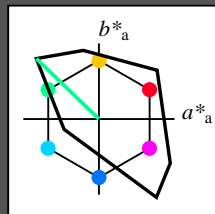
lab^*tch und lab^*nch

D65: Buntton L

LCH*Ma: 84 115 136

olv*Ma: 0.0 1.0 0.0

Dreiecks-Helligkeit t^*



%Umfang

$u^*_{rel} = 158$

%Regularität

$g^*_{H,rel} = 20$

$g^*_{C,rel} = 37$

TLS00a; adaptierte CIELAB-Daten

	$L^*=L^*_a$	a^*_a	b^*_a	$C^*_{ab,a}$	$h^*_{ab,a}$
O _{Ma}	50.5	76.92	64.55	100.42	40
Y _{Ma}	92.66	-20.69	90.75	93.08	103
L _{Ma}	83.63	-82.75	79.9	115.04	136
C _{Ma}	86.88	-46.16	-13.55	48.12	196
V _{Ma}	30.39	76.06	-103.59	128.52	306
M _{Ma}	57.3	94.35	-58.41	110.97	328
N _{Ma}	0.01	0.0	0.0	0.0	0
W _{Ma}	95.41	0.0	0.0	0.0	0
R _{CIE}	39.92	58.74	27.99	65.07	25
J _{CIE}	81.26	-2.88	71.56	71.62	92
G _{CIE}	52.23	-42.41	13.6	44.55	162
B _{CIE}	30.57	1.41	-46.46	46.49	272

Ausgabe: Farbmatisches Fernseh-Licht-System TLS00a

für Buntton $h^* = lab^*h = 136/360 = 0.378$

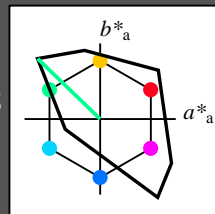
lab^*tch und lab^*nch

D65: Buntton L

LCH*Ma: 84 115 136

olv*Ma: 0.0 1.0 0.0

Dreiecks-Helligkeit t^*



%Umfang

$u^*_{rel} = 158$

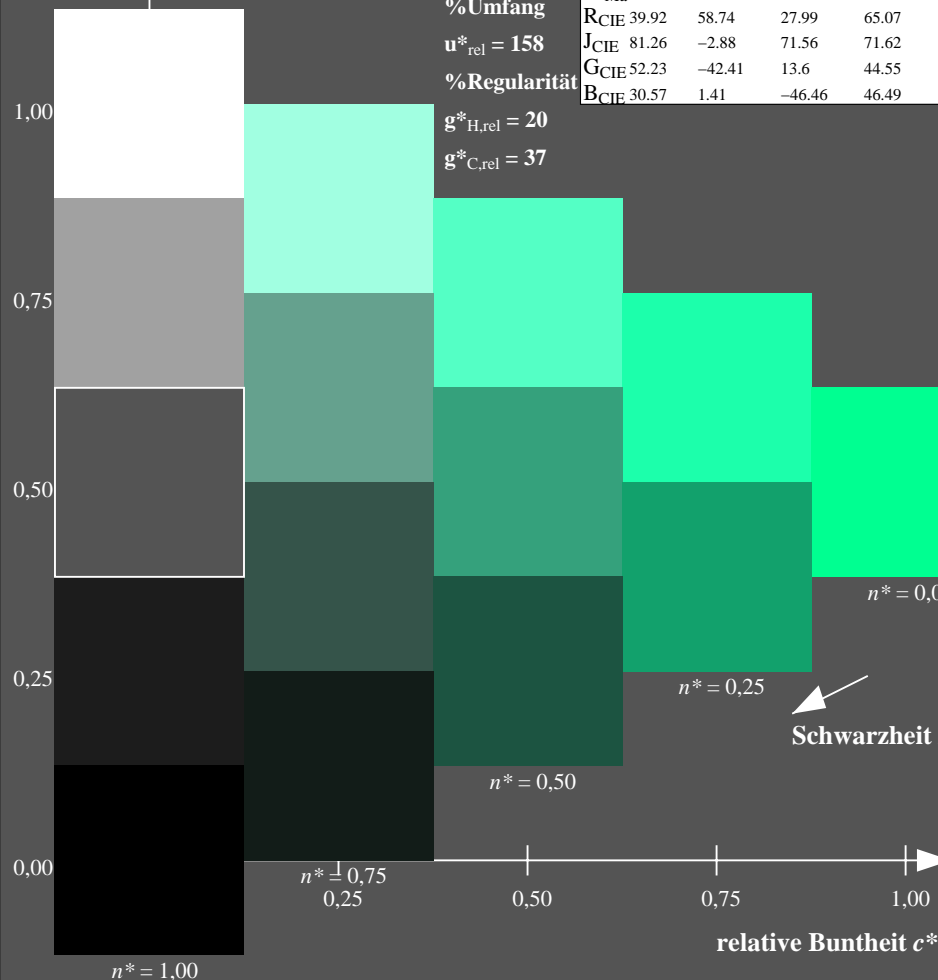
%Regularität

$g^*_{H,rel} = 20$

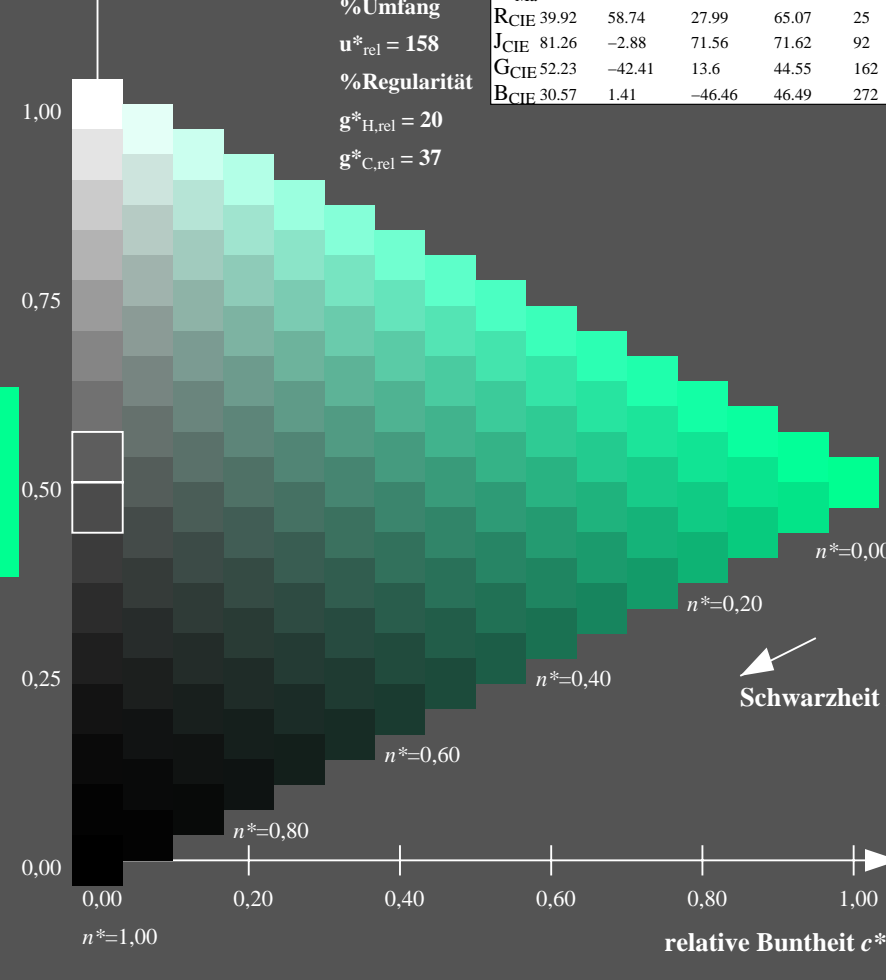
$g^*_{C,rel} = 37$

TLS00a; adaptierte CIELAB-Daten

	$L^*=L^*_a$	a^*_a	b^*_a	$C^*_{ab,a}$	$h^*_{ab,a}$
O _{Ma}	50.5	76.92	64.55	100.42	40
Y _{Ma}	92.66	-20.69	90.75	93.08	103
L _{Ma}	83.63	-82.75	79.9	115.04	136
C _{Ma}	86.88	-46.16	-13.55	48.12	196
V _{Ma}	30.39	76.06	-103.59	128.52	306
M _{Ma}	57.3	94.35	-58.41	110.97	328
N _{Ma}	0.01	0.0	0.0	0.0	0
W _{Ma}	95.41	0.0	0.0	0.0	0
R _{CIE}	39.92	58.74	27.99	65.07	25
J _{CIE}	81.26	-2.88	71.56	71.62	92
G _{CIE}	52.23	-42.41	13.6	44.55	162
B _{CIE}	30.57	1.41	-46.46	46.49	272



OG820-7N-135-2: 5-stufige Reihen für konstanten CIELAB Buntton 136/360 = 0.378 (links)



16-stufige Reihen für konstanten CIELAB Buntton 136/360 = 0.378 (rechts)

OG82: Prüfvorlage 1 nach DIN 33872-2, Buntton L; 1MR, DEH
Eingabe: $rgb \rightarrow rgb^*_{de}$ setrgbcolor
Ausgabe 130-2: $g_p=1.0$; $g_N=1.6$

Eingabe: Farbmétrisches Fernseh-Licht-System TLS00a

für Buntton $h^* = lab^*h = 196/360 = 0.545$

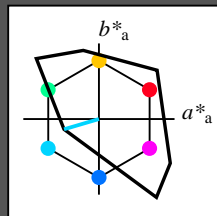
lab^*tch und lab^*nch

D65: Buntton C

LCH*Ma: 87 48 196

olv*Ma: 0.0 1.0 1.0

Dreiecks-Helligkeit t^*



%Umfang

$u^*_{rel} = 158$

%Regularität

$g^*_{H,rel} = 20$

$g^*_{C,rel} = 37$

TLS00a; adaptierte CIELAB-Daten

	$L^*=L^*_a$	a^*_a	b^*_a	$C^*_{ab,a}$	$h^*_{ab,a}$
O _{Ma}	50.5	76.92	64.55	100.42	40
Y _{Ma}	92.66	-20.69	90.75	93.08	103
L _{Ma}	83.63	-82.75	79.9	115.04	136
C _{Ma}	86.88	-46.16	-13.55	48.12	196
V _{Ma}	30.39	76.06	-103.59	128.52	306
M _{Ma}	57.3	94.35	-58.41	110.97	328
N _{Ma}	0.01	0.0	0.0	0.0	0
W _{Ma}	95.41	0.0	0.0	0.0	0
R _{CIE}	39.92	58.74	27.99	65.07	25
J _{CIE}	81.26	-2.88	71.56	71.62	92
G _{CIE}	52.23	-42.41	13.6	44.55	162
B _{CIE}	30.57	1.41	-46.46	46.49	272

Ausgabe: Farbmétrisches Fernseh-Licht-System TLS00a

für Buntton $h^* = lab^*h = 196/360 = 0.545$

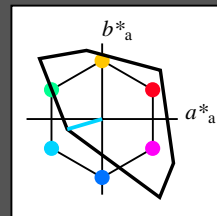
lab^*tch und lab^*nch

D65: Buntton C

LCH*Ma: 87 48 196

olv*Ma: 0.0 1.0 1.0

Dreiecks-Helligkeit t^*



%Umfang

$u^*_{rel} = 158$

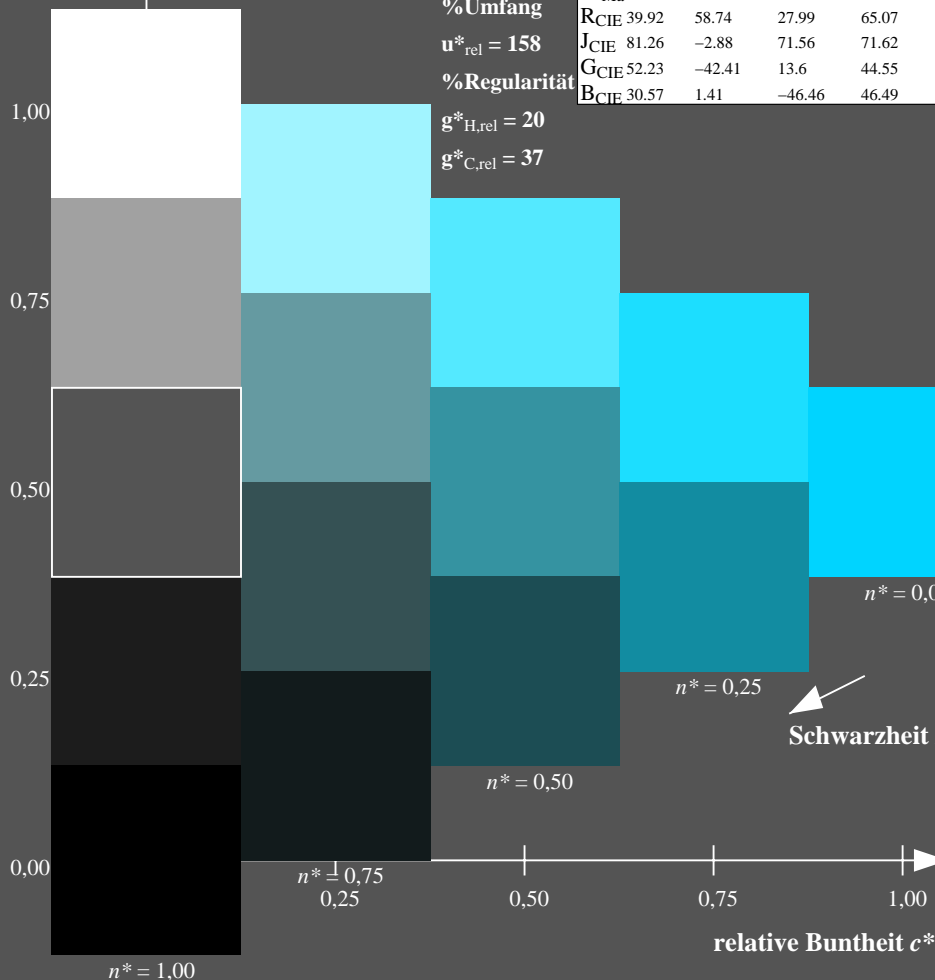
%Regularität

$g^*_{H,rel} = 20$

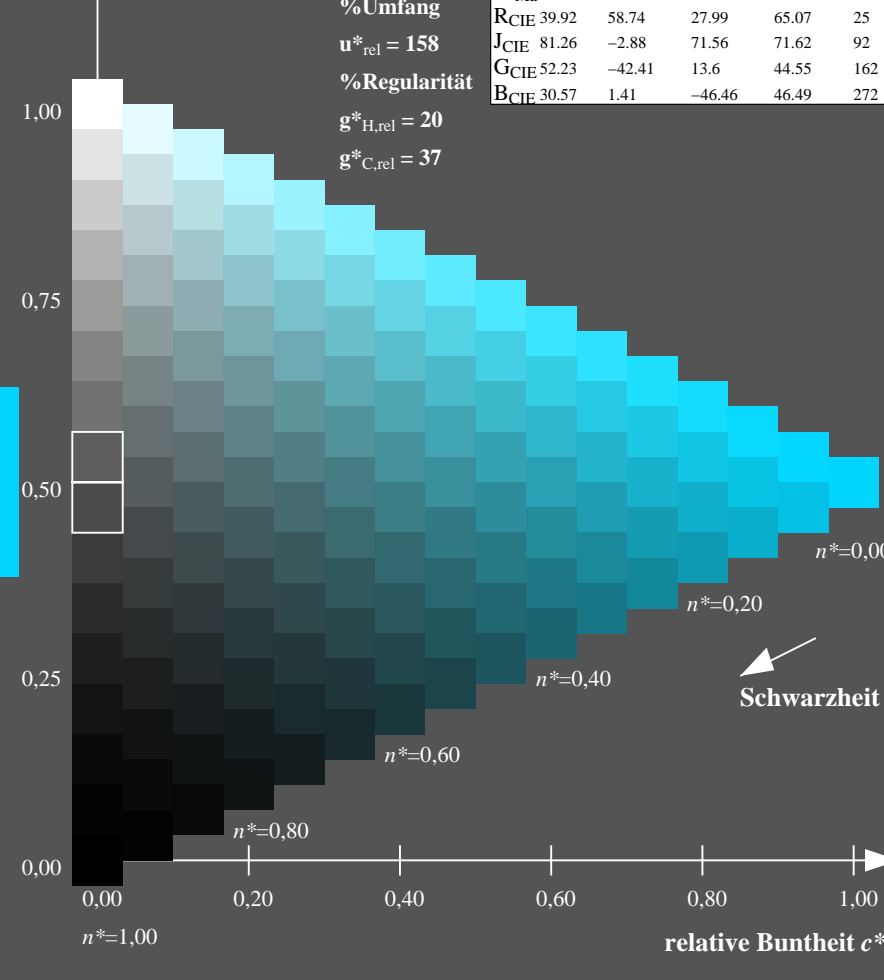
$g^*_{C,rel} = 37$

TLS00a; adaptierte CIELAB-Daten

	$L^*=L^*_a$	a^*_a	b^*_a	$C^*_{ab,a}$	$h^*_{ab,a}$
O _{Ma}	50.5	76.92	64.55	100.42	40
Y _{Ma}	92.66	-20.69	90.75	93.08	103
L _{Ma}	83.63	-82.75	79.9	115.04	136
C _{Ma}	86.88	-46.16	-13.55	48.12	196
V _{Ma}	30.39	76.06	-103.59	128.52	306
M _{Ma}	57.3	94.35	-58.41	110.97	328
N _{Ma}	0.01	0.0	0.0	0.0	0
W _{Ma}	95.41	0.0	0.0	0.0	0
R _{CIE}	39.92	58.74	27.99	65.07	25
J _{CIE}	81.26	-2.88	71.56	71.62	92
G _{CIE}	52.23	-42.41	13.6	44.55	162
B _{CIE}	30.57	1.41	-46.46	46.49	272



OG820-7N-135-3: 5-stufige Reihen für konstanten CIELAB Buntton 196/360 = 0.545 (links)



16-stufige Reihen für konstanten CIELAB Buntton 196/360 = 0.545 (rechts)

OG82: Prüfvorlage 1 nach DIN 33872-2, Buntton C; 1MR, DEH
Eingabe: $rgb \rightarrow rgb^*_{de}$ setrgbcolor
Ausgabe 130-3: $g_p=1.0$; $g_N=1.6$

Eingabe: Farbmétrisches Fernseh-Licht-System TLS00a

für Buntton $h^* = lab^*h = 306/360 = 0.851$

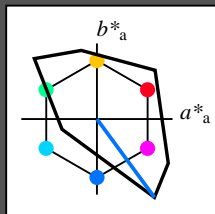
lab^*tch und lab^*nch

D65: Buntton V

LCH*Ma: 30 129 306

olv*Ma: 0.0 0.0 1.0

Dreiecks-Helligkeit t^*



%Umfang

$u^*_{rel} = 158$

%Regularität

$g^*_{H,rel} = 20$

$g^*_{C,rel} = 37$

TLS00a; adaptierte CIELAB-Daten

	$L^*=L^*_a$	a^*_a	b^*_a	$C^*_{ab,a}$	$h^*_{ab,a}$
O _{Ma}	50.5	76.92	64.55	100.42	40
Y _{Ma}	92.66	-20.69	90.75	93.08	103
L _{Ma}	83.63	-82.75	79.9	115.04	136
C _{Ma}	86.88	-46.16	-13.55	48.12	196
V _{Ma}	30.39	76.06	-103.59	128.52	306
M _{Ma}	57.3	94.35	-58.41	110.97	328
N _{Ma}	0.01	0.0	0.0	0.0	0
W _{Ma}	95.41	0.0	0.0	0.0	0
R _{CIE}	39.92	58.74	27.99	65.07	25
J _{CIE}	81.26	-2.88	71.56	71.62	92
G _{CIE}	52.23	-42.41	13.6	44.55	162
B _{CIE}	30.57	1.41	-46.46	46.49	272

Ausgabe: Farbmétrisches Fernseh-Licht-System TLS00a

für Buntton $h^* = lab^*h = 306/360 = 0.851$

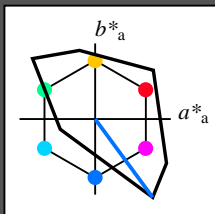
lab^*tch und lab^*nch

D65: Buntton V

LCH*Ma: 30 129 306

olv*Ma: 0.0 0.0 1.0

Dreiecks-Helligkeit t^*



%Umfang

$u^*_{rel} = 158$

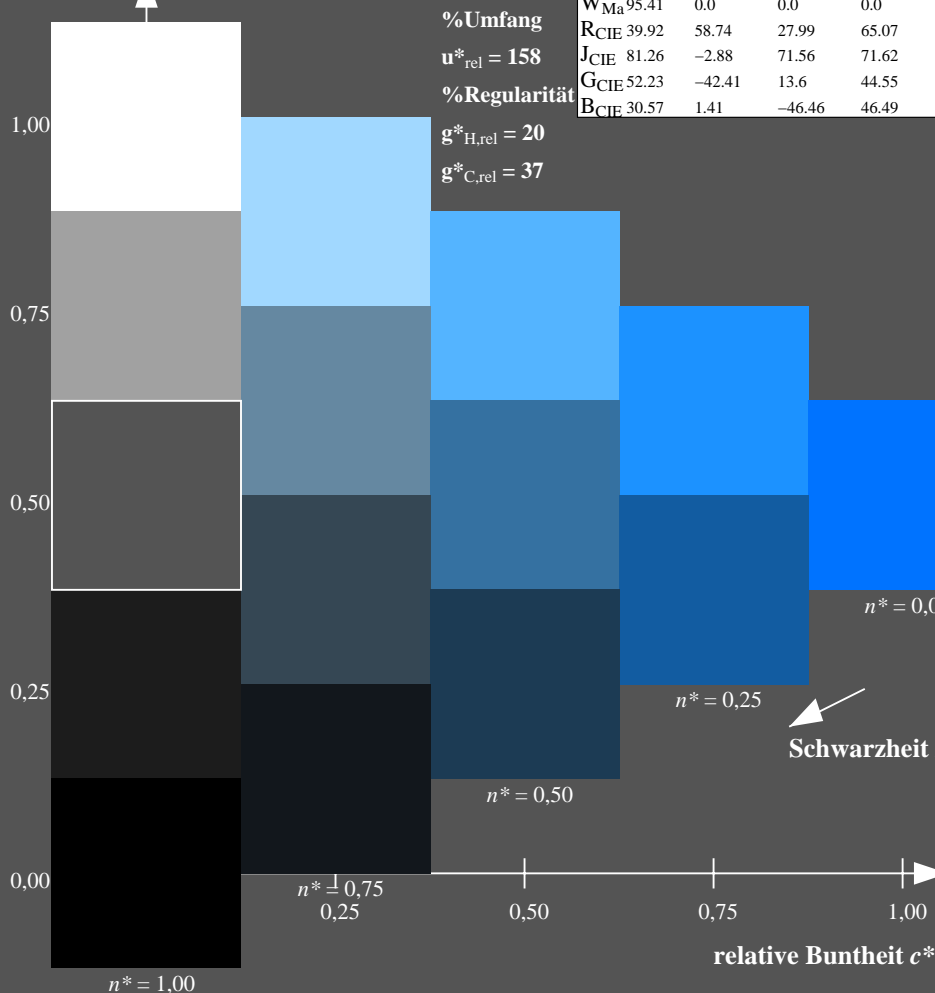
%Regularität

$g^*_{H,rel} = 20$

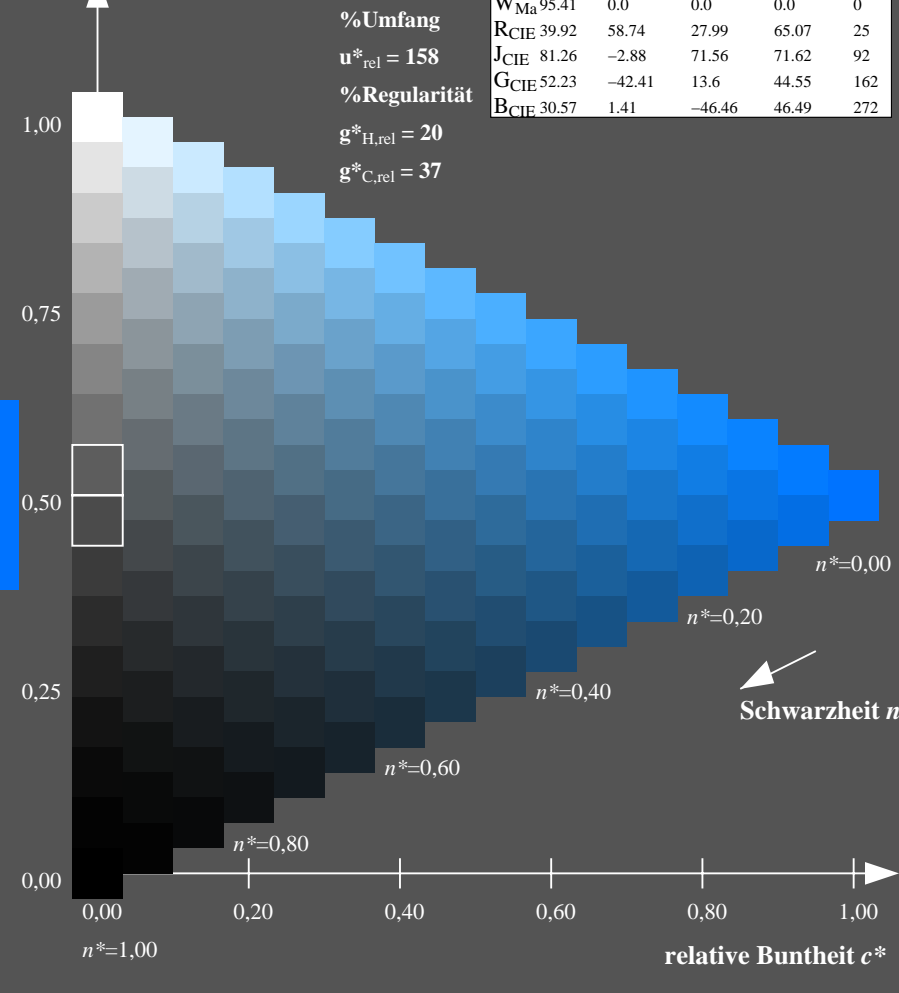
$g^*_{C,rel} = 37$

TLS00a; adaptierte CIELAB-Daten

	$L^*=L^*_a$	a^*_a	b^*_a	$C^*_{ab,a}$	$h^*_{ab,a}$
O _{Ma}	50.5	76.92	64.55	100.42	40
Y _{Ma}	92.66	-20.69	90.75	93.08	103
L _{Ma}	83.63	-82.75	79.9	115.04	136
C _{Ma}	86.88	-46.16	-13.55	48.12	196
V _{Ma}	30.39	76.06	-103.59	128.52	306
M _{Ma}	57.3	94.35	-58.41	110.97	328
N _{Ma}	0.01	0.0	0.0	0.0	0
W _{Ma}	95.41	0.0	0.0	0.0	0
R _{CIE}	39.92	58.74	27.99	65.07	25
J _{CIE}	81.26	-2.88	71.56	71.62	92
G _{CIE}	52.23	-42.41	13.6	44.55	162
B _{CIE}	30.57	1.41	-46.46	46.49	272



OG820-7N-135-4: 5-stufige Reihen für konstanten CIELAB Buntton 306/360 = 0.851 (links)



16-stufige Reihen für konstanten CIELAB Buntton 306/360 = 0.851 (rechts)

OG82: Prüfvorlage 1 nach DIN 33872-2, Buntton V; 1MR, DEH
Unterscheidbarkeit von 5- und 16-stufigen Farbreihen

Eingabe: $rgb (-> rgb^*_{de})$ setrgbcolor
Ausgabe 130-4: $g_p=1.0$; $g_N=1.6$

94hnliche ISO-Prüfvorlagen: <http://www.ps.bam.de/24705T>, <http://www.ps.bam.de/9241>
Technische Information: <http://www.ps.bam.de/33872> Version 2.1, io=1,1, CIELAB

TUB-Registrierung: 20110801-OG82/OG82L0NA.TXT /.PS
Anwendung für Ausgabe von Displays: Monitor- oder Datenprojektor-System
TUB-Material: Code=rh4ta

Eingabe: Farbmétrisches Fernseh-Licht-System TLS00a

für Buntton $h^* = lab^*h = 328/360 = 0.912$

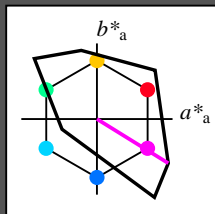
lab^*tch und lab^*nch

D65: Buntton M

LCH*Ma: 57 111 328

olv*Ma: 1.0 0.0 1.0

Dreiecks-Helligkeit t^*



%Umfang

$u^*_{rel} = 158$

%Regularität

$g^*_{H,rel} = 20$

$g^*_{C,rel} = 37$

TLS00a; adaptierte CIELAB-Daten

	$L^*=L^*_a$	a^*_a	b^*_a	$C^*_{ab,a}$	$h^*_{ab,a}$
O _{Ma}	50.5	76.92	64.55	100.42	40
Y _{Ma}	92.66	-20.69	90.75	93.08	103
L _{Ma}	83.63	-82.75	79.9	115.04	136
C _{Ma}	86.88	-46.16	-13.55	48.12	196
V _{Ma}	30.39	76.06	-103.59	128.52	306
M _{Ma}	57.3	94.35	-58.41	110.97	328
N _{Ma}	0.01	0.0	0.0	0.0	0
W _{Ma}	95.41	0.0	0.0	0.0	0
R _{CIE}	39.92	58.74	27.99	65.07	25
J _{CIE}	81.26	-2.88	71.56	71.62	92
G _{CIE}	52.23	-42.41	13.6	44.55	162
B _{CIE}	30.57	1.41	-46.46	46.49	272

Ausgabe: Farbmétrisches Fernseh-Licht-System TLS00a

für Buntton $h^* = lab^*h = 328/360 = 0.912$

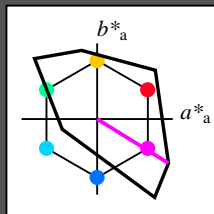
lab^*tch und lab^*nch

D65: Buntton M

LCH*Ma: 57 111 328

olv*Ma: 1.0 0.0 1.0

Dreiecks-Helligkeit t^*



%Umfang

$u^*_{rel} = 158$

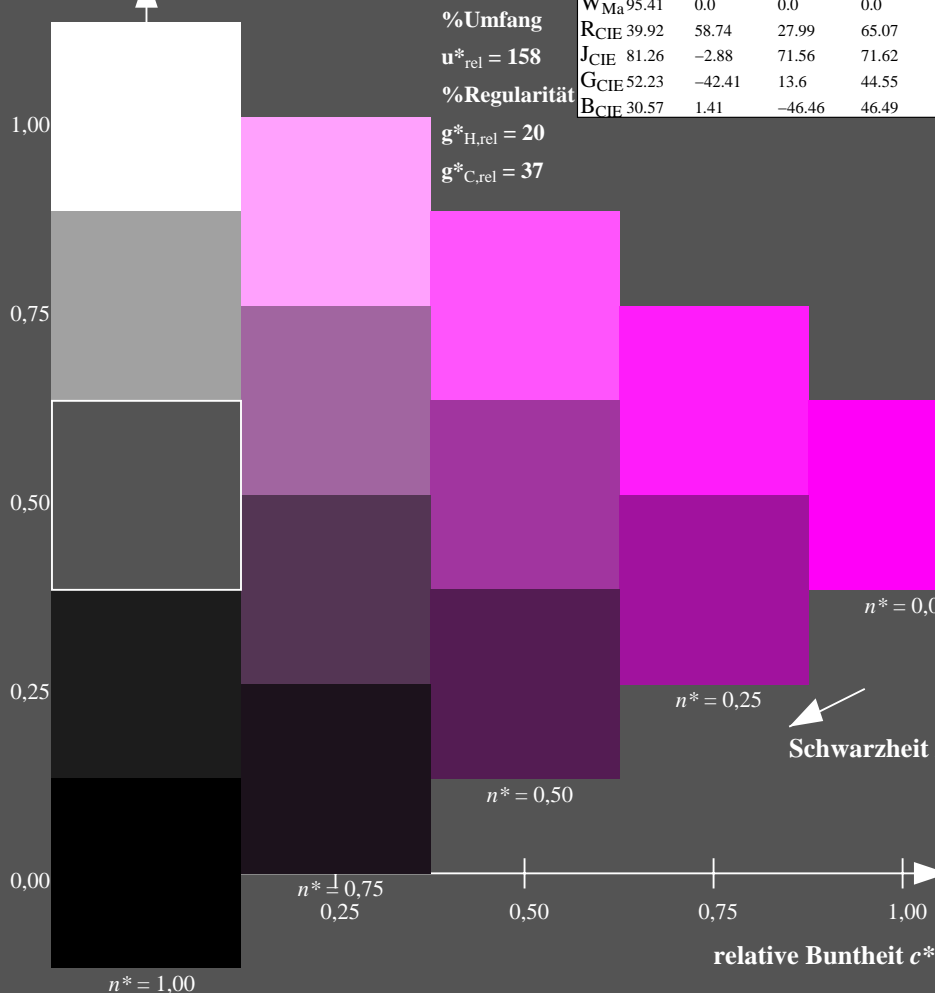
%Regularität

$g^*_{H,rel} = 20$

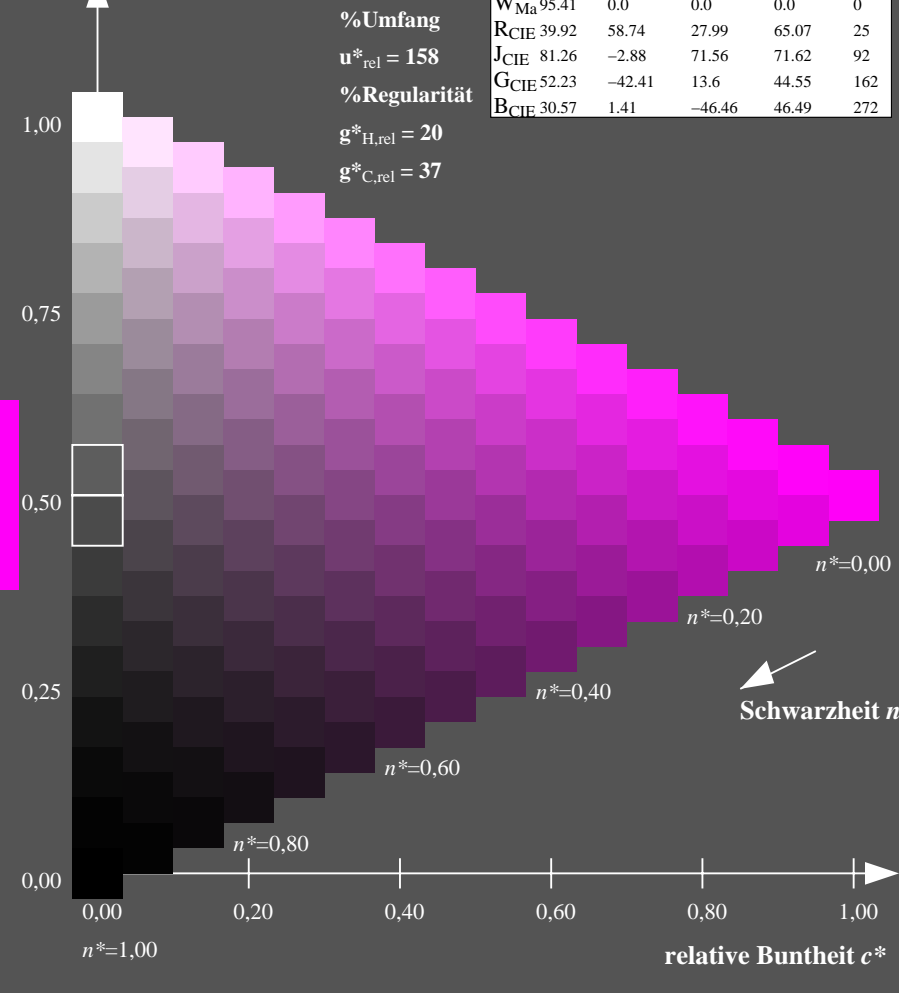
$g^*_{C,rel} = 37$

TLS00a; adaptierte CIELAB-Daten

	$L^*=L^*_a$	a^*_a	b^*_a	$C^*_{ab,a}$	$h^*_{ab,a}$
O _{Ma}	50.5	76.92	64.55	100.42	40
Y _{Ma}	92.66	-20.69	90.75	93.08	103
L _{Ma}	83.63	-82.75	79.9	115.04	136
C _{Ma}	86.88	-46.16	-13.55	48.12	196
V _{Ma}	30.39	76.06	-103.59	128.52	306
M _{Ma}	57.3	94.35	-58.41	110.97	328
N _{Ma}	0.01	0.0	0.0	0.0	0
W _{Ma}	95.41	0.0	0.0	0.0	0
R _{CIE}	39.92	58.74	27.99	65.07	25
J _{CIE}	81.26	-2.88	71.56	71.62	92
G _{CIE}	52.23	-42.41	13.6	44.55	162
B _{CIE}	30.57	1.41	-46.46	46.49	272



OG820-7N-135-5: 5-stufige Reihen für konstanten CIELAB Buntton 328/360 = 0.912 (links)



16-stufige Reihen für konstanten CIELAB Buntton 328/360 = 0.912 (rechts)

OG82: Prüfvorlage 1 nach DIN 33872-2, Buntton M; 1MR, DEH Eingabe: $rgb \rightarrow rgb^*_{de}$ setrgbcolor
Unterscheidbarkeit von 5- und 16-stufigen Farbreihen
Ausgabe 130-5: $g_p=1.0$; $g_N=1.6$

94hnliche ISO-Prüfvorlagen: <http://www.ps.bam.de/24705T>, <http://www.ps.bam.de/9241>
Technische Information: <http://www.ps.bam.de/33872> Version 2.1, io=1,1, CIELAB

TUB-Registrierung: 20110801-OG82/OG82L0NA.TXT /.PS TUB-Material: Code=rha4ta
Anwendung für Ausgabe von Displays: Monitor- oder Datenprojektor-System

Eingabe: Farbmétrisches Fernseh-Licht-System TLS00a

für Buntton $h^* = lab^*h = 92/360 = 0.256$

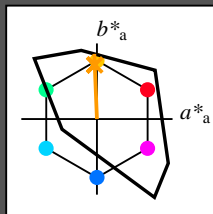
lab^*tch und lab^*nch

D65: Buntton J

LCH*Ma: 85 86 92

olv*Ma: 1.0 0.82 0.0

Dreiecks-Helligkeit t^*



%Umfang

$u^*_{rel} = 158$

%Regularität

$g^*_{H,rel} = 20$

$g^*_{C,rel} = 37$

TLS00a; adaptierte CIELAB-Daten

	$L^*=L^*_a$	a^*_a	b^*_a	$C^*_{ab,a}$	$h^*_{ab,a}$
O _{Ma}	50.5	76.92	64.55	100.42	40
Y _{Ma}	92.66	-20.69	90.75	93.08	103
L _{Ma}	83.63	-82.75	79.9	115.04	136
C _{Ma}	86.88	-46.16	-13.55	48.12	196
V _{Ma}	30.39	76.06	-103.59	128.52	306
M _{Ma}	57.3	94.35	-58.41	110.97	328
N _{Ma}	0.01	0.0	0.0	0.0	0
W _{Ma}	95.41	0.0	0.0	0.0	0
R _{CIE}	39.92	58.74	27.99	65.07	25
J _{CIE}	81.26	-2.88	71.56	71.62	92
G _{CIE}	52.23	-42.41	13.6	44.55	162
B _{CIE}	30.57	1.41	-46.46	46.49	272

Ausgabe: Farbmétrisches Fernseh-Licht-System TLS00a

für Buntton $h^* = lab^*h = 92/360 = 0.256$

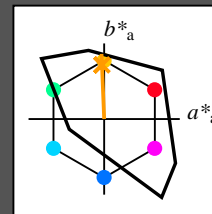
lab^*tch und lab^*nch

D65: Buntton J

LCH*Ma: 85 86 92

olv*Ma: 1.0 0.82 0.0

Dreiecks-Helligkeit t^*



%Umfang

$u^*_{rel} = 158$

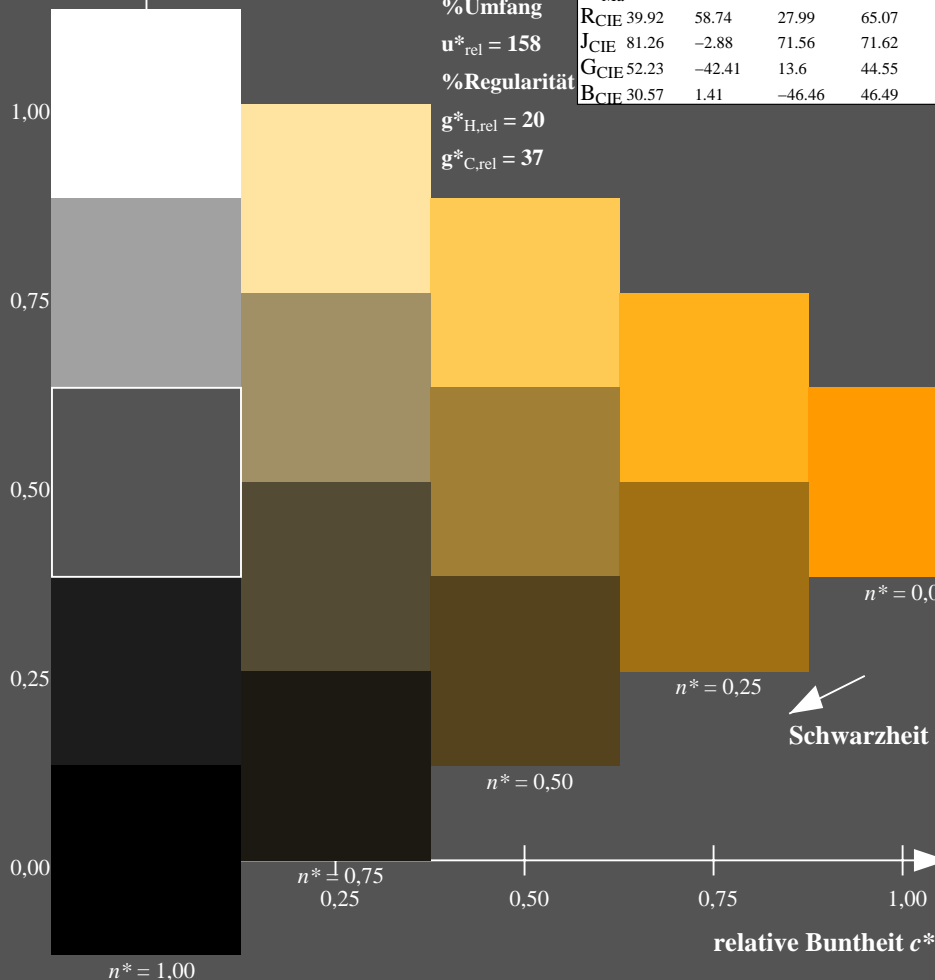
%Regularität

$g^*_{H,rel} = 20$

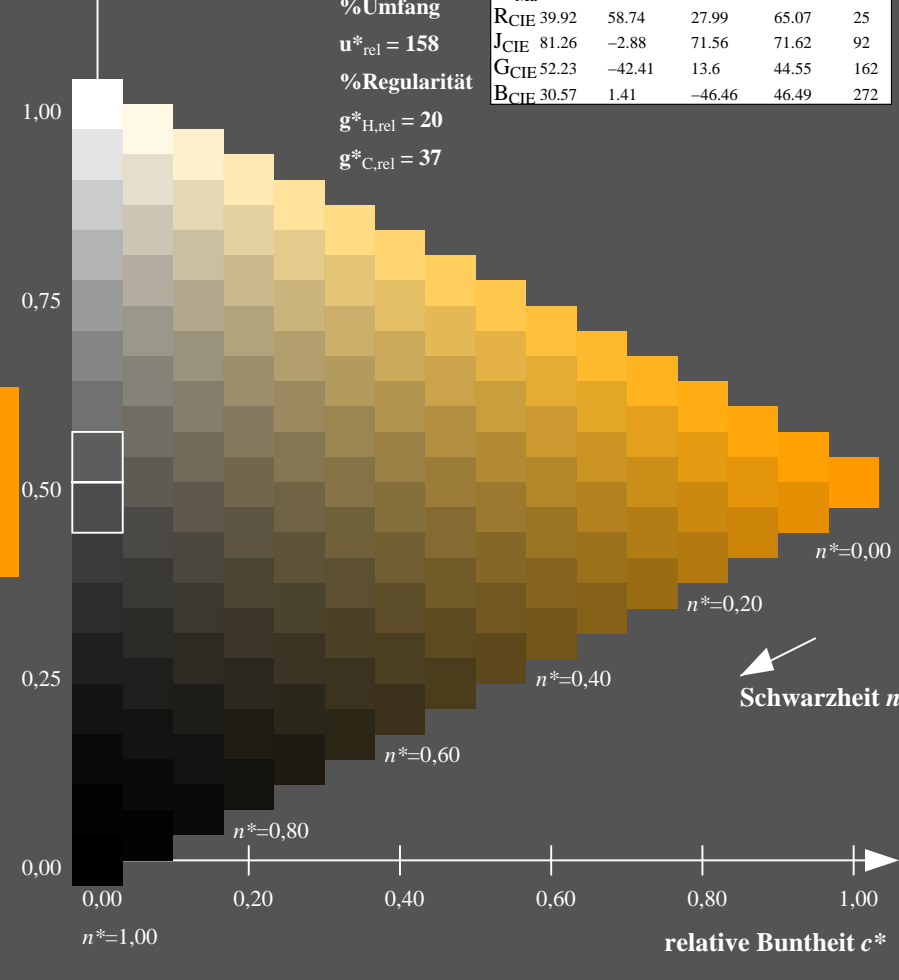
$g^*_{C,rel} = 37$

TLS00a; adaptierte CIELAB-Daten

	$L^*=L^*_a$	a^*_a	b^*_a	$C^*_{ab,a}$	$h^*_{ab,a}$
O _{Ma}	50.5	76.92	64.55	100.42	40
Y _{Ma}	92.66	-20.69	90.75	93.08	103
L _{Ma}	83.63	-82.75	79.9	115.04	136
C _{Ma}	86.88	-46.16	-13.55	48.12	196
V _{Ma}	30.39	76.06	-103.59	128.52	306
M _{Ma}	57.3	94.35	-58.41	110.97	328
N _{Ma}	0.01	0.0	0.0	0.0	0
W _{Ma}	95.41	0.0	0.0	0.0	0
R _{CIE}	39.92	58.74	27.99	65.07	25
J _{CIE}	81.26	-2.88	71.56	71.62	92
G _{CIE}	52.23	-42.41	13.6	44.55	162
B _{CIE}	30.57	1.41	-46.46	46.49	272



OG820-7N-135-7: 5-stufige Reihen für konstanten CIELAB Buntton 92/360 = 0.256 (links)



16-stufige Reihen für konstanten CIELAB Buntton 92/360 = 0.256 (rechts)

OG82: Prüfvorlage 1 nach DIN 33872-2, Buntton J; 1MR, DEEH Eingabe: $rgb \rightarrow rgb^*_{dee}$ setrgbcold
Ausgabe 130-7: $g_p=1.0$; $g_N=1.6$

Eingabe: Farbmétrisches Fernseh-Licht-System TLS00a

für Buntton $h^* = lab^*h = 162/360 = 0.451$

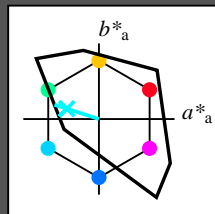
lab^*tch und lab^*nch

D65: Buntton G

LCH*Ma: 86 62 162

olv*Ma: 0.0 1.0 0.65

Dreiecks-Helligkeit t^*



%Umfang

$u^*_{rel} = 158$

%Regularität

$g^*_{H,rel} = 20$

$g^*_{C,rel} = 37$

TLS00a; adaptierte CIELAB-Daten

	$L^*=L^*_a$	a^*_a	b^*_a	$C^*_{ab,a}$	$h^*_{ab,a}$
O _{Ma}	50.5	76.92	64.55	100.42	40
Y _{Ma}	92.66	-20.69	90.75	93.08	103
L _{Ma}	83.63	-82.75	79.9	115.04	136
C _{Ma}	86.88	-46.16	-13.55	48.12	196
V _{Ma}	30.39	76.06	-103.59	128.52	306
M _{Ma}	57.3	94.35	-58.41	110.97	328
N _{Ma}	0.01	0.0	0.0	0.0	0
W _{Ma}	95.41	0.0	0.0	0.0	0
R _{CIE}	39.92	58.74	27.99	65.07	25
J _{CIE}	81.26	-2.88	71.56	71.62	92
G _{CIE}	52.23	-42.41	13.6	44.55	162
B _{CIE}	30.57	1.41	-46.46	46.49	272

Ausgabe: Farbmétrisches Fernseh-Licht-System TLS00a

für Buntton $h^* = lab^*h = 162/360 = 0.451$

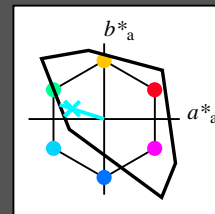
lab^*tch und lab^*nch

D65: Buntton G

LCH*Ma: 86 62 162

olv*Ma: 0.0 1.0 0.65

Dreiecks-Helligkeit t^*



%Umfang

$u^*_{rel} = 158$

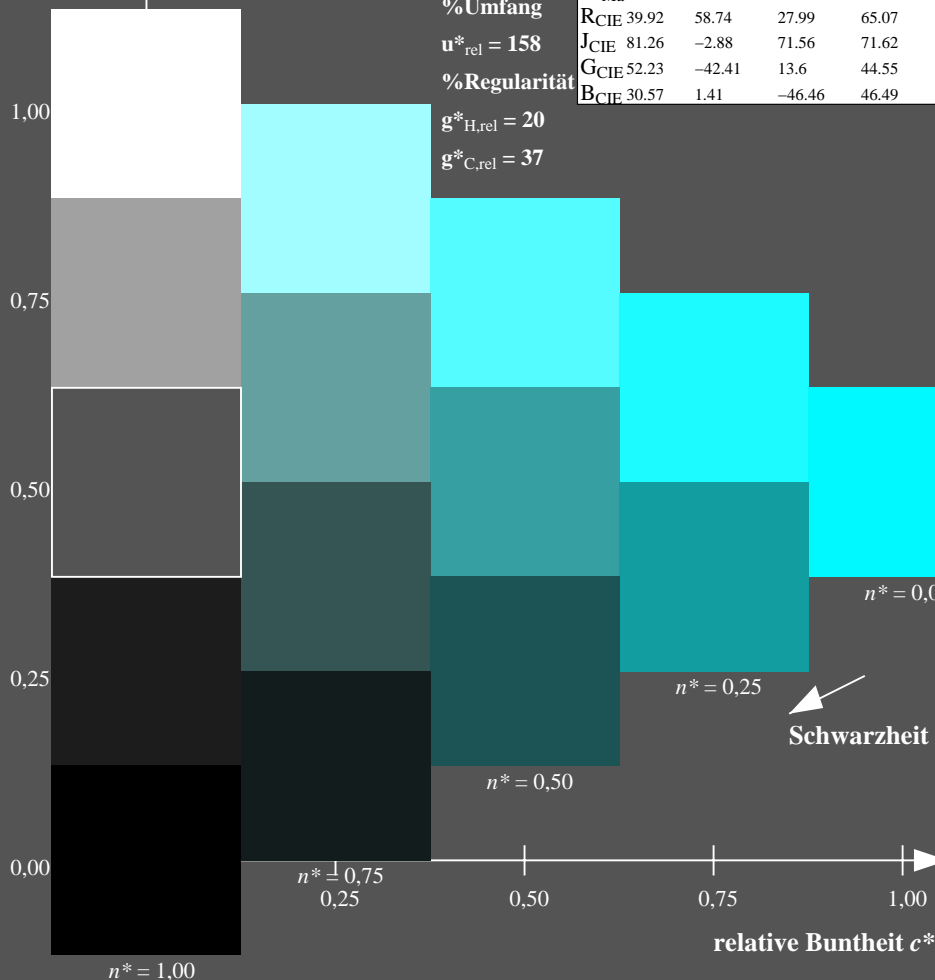
%Regularität

$g^*_{H,rel} = 20$

$g^*_{C,rel} = 37$

TLS00a; adaptierte CIELAB-Daten

	$L^*=L^*_a$	a^*_a	b^*_a	$C^*_{ab,a}$	$h^*_{ab,a}$
O _{Ma}	50.5	76.92	64.55	100.42	40
Y _{Ma}	92.66	-20.69	90.75	93.08	103
L _{Ma}	83.63	-82.75	79.9	115.04	136
C _{Ma}	86.88	-46.16	-13.55	48.12	196
V _{Ma}	30.39	76.06	-103.59	128.52	306
M _{Ma}	57.3	94.35	-58.41	110.97	328
N _{Ma}	0.01	0.0	0.0	0.0	0
W _{Ma}	95.41	0.0	0.0	0.0	0
R _{CIE}	39.92	58.74	27.99	65.07	25
J _{CIE}	81.26	-2.88	71.56	71.62	92
G _{CIE}	52.23	-42.41	13.6	44.55	162
B _{CIE}	30.57	1.41	-46.46	46.49	272



OG820-7N-135-8: 5-stufige Reihen für konstanten CIELAB Buntton 162/360 = 0.451 (links)

16-stufige Reihen für konstanten CIELAB Buntton 162/360 = 0.451 (rechts)

OG82: Prüfvorlage 1 nach DIN 33872-2, Buntton G; 1MR, DEEHEingabe: $rgb \rightarrow rgb^*_{dee}$ setrgbcol
Unterscheidbarkeit von 5- und 16-stufigen Farbreihen
Ausgabe 130-8: $g_p=1.0$; $g_N=1.6$

TUB-Registrierung: 20110801-OG82/OG82L0NA.TXT /.PS
Anwendung für Ausgabe von Displays: Monitor- oder Datenprojektor-System

TUB-Material: Code=rha4ta

Eingabe: Farbmatisches Fernseh-Licht-System TLS00a

für Buntton $h^* = lab^*h = 272/360 = 0.755$

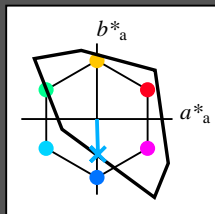
lab^*tch und lab^*nch

D65: Buntton B

LCH*Ma: 65 49 272

olv*Ma: 0.0 0.61 1.0

Dreiecks-Helligkeit t^*



%Umfang

$u^*_{rel} = 158$

%Regularität

$g^*_{H,rel} = 20$

$g^*_{C,rel} = 37$

TLS00a; adaptierte CIELAB-Daten

	$L^*=L^*_a$	a^*_a	b^*_a	$C^*_{ab,a}$	$h^*_{ab,a}$
O _{Ma}	50.5	76.92	64.55	100.42	40
Y _{Ma}	92.66	-20.69	90.75	93.08	103
L _{Ma}	83.63	-82.75	79.9	115.04	136
C _{Ma}	86.88	-46.16	-13.55	48.12	196
V _{Ma}	30.39	76.06	-103.59	128.52	306
M _{Ma}	57.3	94.35	-58.41	110.97	328
N _{Ma}	0.01	0.0	0.0	0.0	0
W _{Ma}	95.41	0.0	0.0	0.0	0
R _{CIE}	39.92	58.74	27.99	65.07	25
J _{CIE}	81.26	-2.88	71.56	71.62	92
G _{CIE}	52.23	-42.41	13.6	44.55	162
B _{CIE}	30.57	1.41	-46.46	46.49	272

Ausgabe: Farbmatisches Fernseh-Licht-System TLS00a

für Buntton $h^* = lab^*h = 272/360 = 0.755$

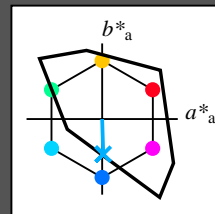
lab^*tch und lab^*nch

D65: Buntton B

LCH*Ma: 65 49 272

olv*Ma: 0.0 0.61 1.0

Dreiecks-Helligkeit t^*



%Umfang

$u^*_{rel} = 158$

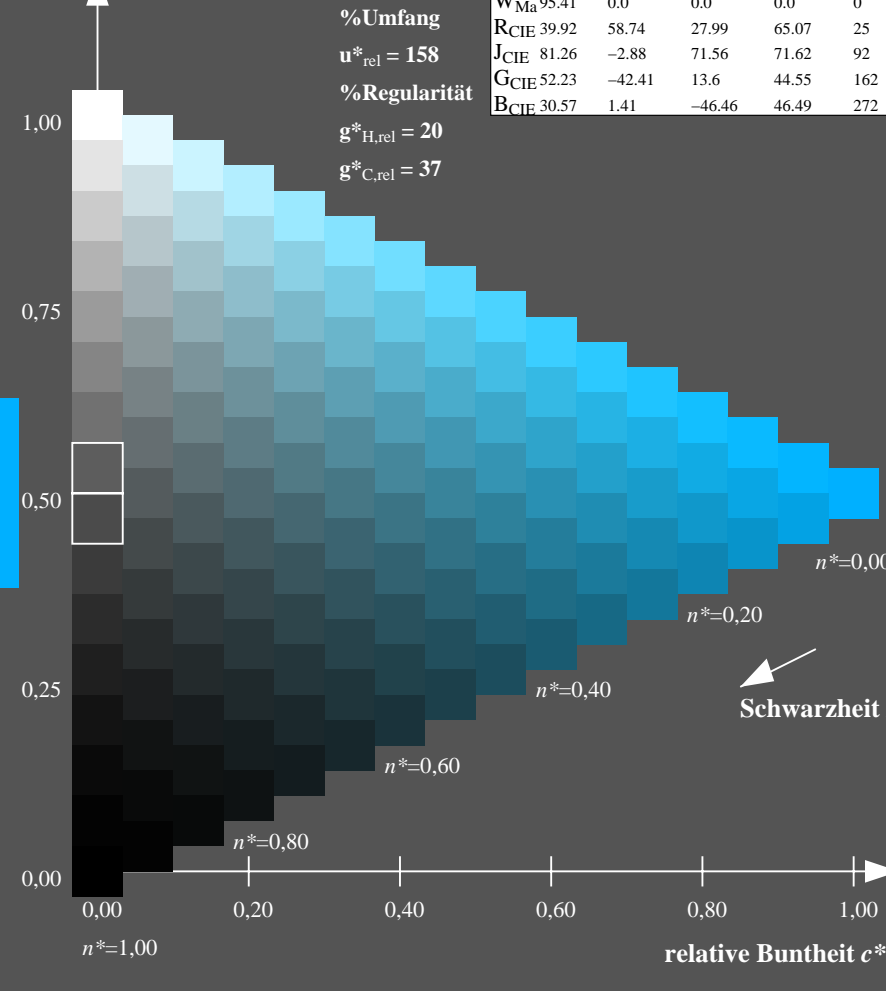
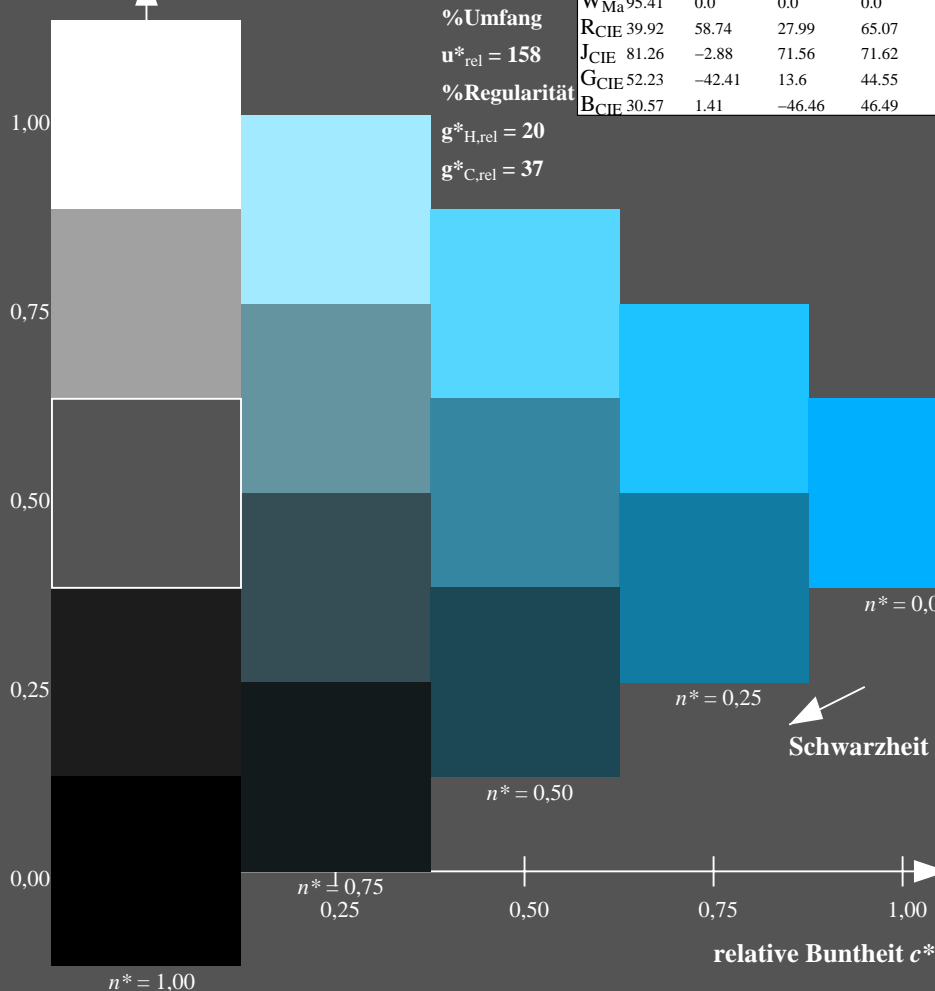
%Regularität

$g^*_{H,rel} = 20$

$g^*_{C,rel} = 37$

TLS00a; adaptierte CIELAB-Daten

	$L^*=L^*_a$	a^*_a	b^*_a	$C^*_{ab,a}$	$h^*_{ab,a}$
O _{Ma}	50.5	76.92	64.55	100.42	40
Y _{Ma}	92.66	-20.69	90.75	93.08	103
L _{Ma}	83.63	-82.75	79.9	115.04	136
C _{Ma}	86.88	-46.16	-13.55	48.12	196
V _{Ma}	30.39	76.06	-103.59	128.52	306
M _{Ma}	57.3	94.35	-58.41	110.97	328
N _{Ma}	0.01	0.0	0.0	0.0	0
W _{Ma}	95.41	0.0	0.0	0.0	0
R _{CIE}	39.92	58.74	27.99	65.07	25
J _{CIE}	81.26	-2.88	71.56	71.62	92
G _{CIE}	52.23	-42.41	13.6	44.55	162
B _{CIE}	30.57	1.41	-46.46	46.49	272



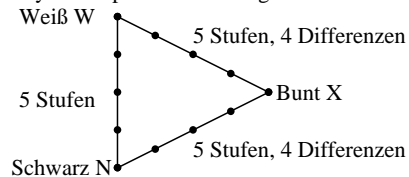
OG820-7N-135-9: 5-stufige Reihen für konstanten CIELAB Buntton 272/360 = 0.755 (links)

16-stufige Reihen für konstanten CIELAB Buntton 272/360 = 0.755 (rechts)

OG82: Prüfvorlage 1 nach DIN 33872-2, Buntton B; 1MR, DEEHEingabe: $rgb(->rgb^*_{dee})$ setrgbcold
Unterscheidbarkeit von 5- und 16-stufigen Farbreihen
Ausgabe 130-9: $g_p=1.0$; $g_N=1.6$

Unterscheidbarkeit von 5-stufigen Farbreihen (Ja/Nein-Entscheidung)

Layoutbeispiel: drei 5-stufige Farbreihen



Es gibt drei Grundfarben auf jeder Seite:
Schwarz N, Weiß W und Bunt X.
Zehn Seiten enthalten 10 Bunttonebenen
X = OYLCVM und RJGB.
Es gibt maximal 12 unterscheidbare Stufen.

Alle Stufen der drei Serien N-W, W-X und X-N sollen unterscheidbar sein auf **allen** Seiten.
Sind die drei 5-stufigen Reihen auf allen Seiten unterscheidbar? unterstreiche: Ja/Nein

Nur im Fall von Nein: Sind die drei 5-stufigen Reihen auf Seite x von 10 Seiten unterscheidbar?
Unterstreiche Ja/Nein und gib im Fall von Nein die Anzahl unterscheidbarer Stufen an
Seite 1: Ja/Nein, wenn Nein ../12 Stufendifferenzen sind unterscheidbar von O = Orangerot
Seite 2: Ja/Nein, wenn Nein ../12 Stufendifferenzen sind unterscheidbar von Y = Gelb
Seite 3: Ja/Nein, wenn Nein ../12 Stufendifferenzen sind unterscheidbar von L = Laubgrün
Seite 4: Ja/Nein, wenn Nein ../12 Stufendifferenzen sind unterscheidbar von C = Cyanblau
Seite 5: Ja/Nein, wenn Nein ../12 Stufendifferenzen sind unterscheidbar von V = Violettblau
Seite 6: Ja/Nein, wenn Nein ../12 Stufendifferenzen sind unterscheidbar von M = Magentarot
Seite 7: Ja/Nein, wenn Nein ../12 Stufendifferenzen sind unterscheidbar von R = Elementarrot
Seite 8: Ja/Nein, wenn Nein ../12 Stufendifferenzen sind unterscheidbar von J = Elementargelb
Seite 9: Ja/Nein, wenn Nein ../12 Stufendifferenzen sind unterscheidbar von G = Elementargrün
Seite 10: Ja/Nein, wenn Nein ../12 Stufendifferenzen sind unterscheidbar von B = Elementarblau

Summe: ../10 Ja-Seiten und ../120 Stufendifferenzen unterscheidbar

Teil 1

OG820-3N-135-10

Dokumentation von Dateiformat, Hard- und Software für diese Prüfung:

PDF-Datei: http://130.149.60.45/farbmetrik/OG82/OG82L0NP.PDF **unterstreiche Ja/Nein**

PS-Datei: http://130.149.60.45/farbmetrik/OG82/OG82L0NA.PS **oder unterstreiche Ja/Nein**

benutztes Rechner-Betriebssystem:

nur eines von Windows/Mac/Unix/anderes und Version:.....

Die Beurteilung ist für die Geräteausgabe: **unterstreiche Monitor/Datenprojektor/Drucker**

Geräte-Modell, -Treiber und -Version:.....

Geräteausgabe mit PDF/PS-Datei: **unterstreiche PDF-/PS-Datei**

Für Geräteausgabe mit PDF-Datei OG82L0NP.PDF:

entweder PDF-Dateitransfer "download, copy" nach PDF-Gerät.....
oder mit Rechnersystem-Interpretation durch "Display-PDF":.....
oder mit Software, z. B. Adobe-Reader/-Acrobat und Version:.....
oder mit Software, z. B. Ghostscript und Version:.....

Für Geräteausgabe mit PS-Datei OG82L0NA.PS:

entweder PS-Dateitransfer "download, copy" nach PS-Gerät.....
oder mit Rechnersystem-Interpretation durch "Display-PS":.....
oder mit Software, z. B. Ghostscript und Version:.....
oder mit Software, z. B. Mac-Yap und Version:.....

Spezielle Anmerkungen:

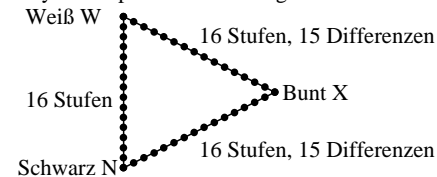
.....
.....
.....

Teil 3

OG820-7N-135-10

Unterscheidbarkeit von 16-stufigen Farbreihen (Ja/Nein-Entscheidung)

Layoutbeispiel: drei 16-stufige Farbreihen



Es gibt drei Grundfarben auf jeder Seite:
Schwarz N, Weiß W und Bunt X.
Zehn Seiten enthalten 10 Bunttonebenen
X = OYLCVM und RJGB.
Es gibt maximal 45 unterscheidbare Stufen.

Alle Stufen der drei Serien N-W, W-X und X-N sollen unterscheidbar sein auf **allen** Seiten.
Sind die drei 16-stufigen Reihen auf allen Seiten unterscheidbar? unterstreiche: Ja/Nein

Nur im Fall von Nein: Sind die drei 16-stufigen Reihen auf Seite x von 10 Seiten unterscheidbar?
Unterstreiche Ja/Nein und gib im Fall von Nein die Anzahl unterscheidbarer Stufen an
Seite 1: Ja/Nein, wenn Nein ../45 Stufendifferenzen sind unterscheidbar von O = Orangerot
Seite 2: Ja/Nein, wenn Nein ../45 Stufendifferenzen sind unterscheidbar von Y = Gelb
Seite 3: Ja/Nein, wenn Nein ../45 Stufendifferenzen sind unterscheidbar von L = Laubgrün
Seite 4: Ja/Nein, wenn Nein ../45 Stufendifferenzen sind unterscheidbar von C = Cyanblau
Seite 5: Ja/Nein, wenn Nein ../45 Stufendifferenzen sind unterscheidbar von V = Violettblau
Seite 6: Ja/Nein, wenn Nein ../45 Stufendifferenzen sind unterscheidbar von M = Magentarot
Seite 7: Ja/Nein, wenn Nein ../45 Stufendifferenzen sind unterscheidbar von R = Elementarrot
Seite 8: Ja/Nein, wenn Nein ../45 Stufendifferenzen sind unterscheidbar von J = Elementargelb
Seite 9: Ja/Nein, wenn Nein ../45 Stufendifferenzen sind unterscheidbar von G = Elementargrün
Seite 10: Ja/Nein, wenn Nein ../45 Stufendifferenzen sind unterscheidbar von B = Elementarblau

Summe: ../10 Ja-Seiten und ../450 Stufendifferenzen unterscheidbar

Teil 2

OG821-3N-135-10

Dokumentation der Beurteiler-Farbseigenschaften für diese Prüfung:

Der Beurteiler hat **normales** Farbsehen nach einer Prüfung:
entweder nach DIN 6160:1996 mit Anomalskop nach *Nagel*
oder mit Farbpunkt-Prüftafeln nach *Ishihara*
oder mit, bitte nennen:.....

unterstreiche Ja/Nein
unterstreiche Ja/unbekannt
unterstreiche Ja/unbekannt
unterstreiche Ja/unbekannt

Für visuelle Bewertung der Display(Monitor, Daten-Projektor)-Ausgabe

Büro-Arbeitsplatz-Beleuchtung ist Tageslicht (bedeckter/Nordhimmel)

PDF-Datei: http://130.149.60.45/farbmetrik/OG82/OG82F1P2.PDF

PS-Datei: http://130.149.60.45/farbmetrik/OG82/OG82F1P2.PS

Bild A7-135-2: Kontrastbereich: (>F:0) (F:0) (E:0) (D:0) (C:0) (A:0) (9:0) (7:0) (5:0) (3:0) (<3:0)

vergleiche Normdruckausgabe nach ISO/IEC 15775 mit Bereich F:0

Anmerkung: Bei Tageslichtbürobeleuchtung ist der Kontrastbereich oft:

am Display zwischen: >F:0 und E:0 (Monitor), D:0 und 3:0 (Datenprojektor)

Nur für optionale farbmimetrische Kennzeichnung mit PDF/PS-Dateiausgabe

PDF-Datei: http://130.149.60.45/farbmetrik/OG82/OG82F1P2.PDF

Bild A7-135-2

unterstreiche Ja/Nein

PS-Datei: http://130.149.60.45/farbmetrik/OG82/OG82F1P2.PS

Bild A7-135-2

oder unterstreiche Ja/Nein

Farbmessung und Kennzeichnung für:

CIE-Normlichtart D65, CIE-2-Grad-Beobachter, CIE-45/0-Geometrie

unterstreiche Ja/Nein

Wenn Nein, bitte andere Parameter nennen:

Farbmimetrische Kennzeichnung mit PS-Datei für Farben der Spalten A bis T

Ersatz der CIELAB-Daten in Datei www.ps.bam.de/Dg17/10L/L17g00NP.PS und Transfer

der PS-Datei L17g00NP.PS in PDF-Datei L17g00NP.PDF

unterstreiche Ja/Nein

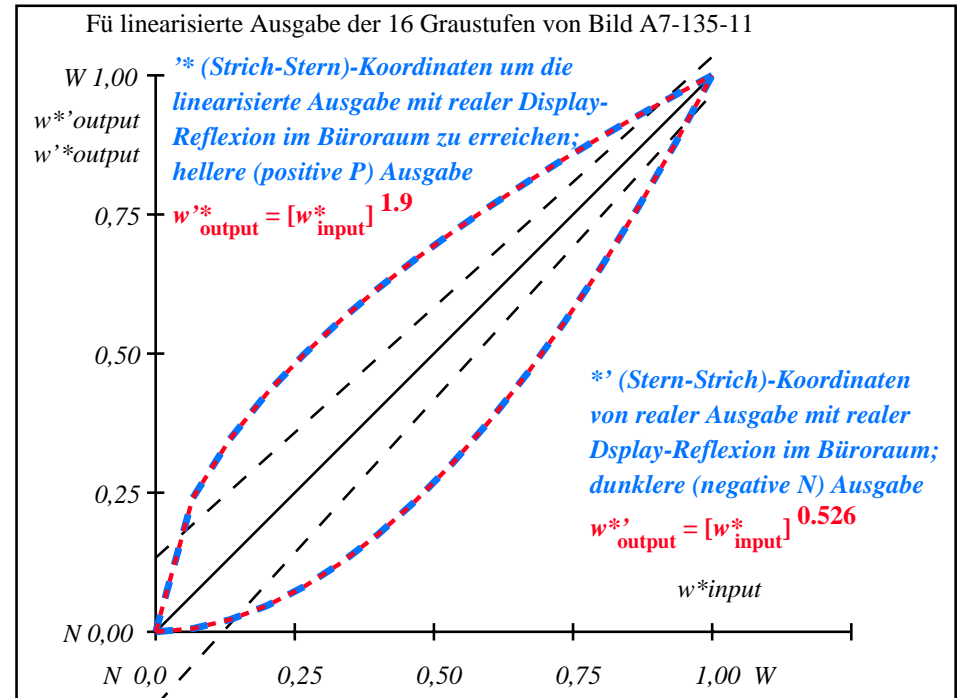
Wenn Nein, bitte andere Methode beschreiben:

Teil 4

OG821-7N-135-10

i	LAB*ref			l*out			LAB*out			LAB*out/c-ref			ΔE*	Start-Ausgabe S1
1	37.99	0.0	0.0	0.0	37.99	0.0	0.0	0.0	0.0	0.0	0.01	Kennzeichnung nach		
2	41.81	0.0	0.0	0.01	38.32	0.0	0.0	-3.48	0.0	0.0	3.49	ISO/IEC 15775 Anhang G		
3	45.64	0.0	0.0	0.02	39.23	0.0	0.0	-6.4	0.0	0.0	6.41	und DIN 33866-1 Anhang G		
4	49.47	0.0	0.0	0.05	40.68	0.0	0.0	-8.78	0.0	0.0	8.79			
5	53.3	0.0	0.0	0.08	42.65	0.0	0.0	-10.64	0.0	0.0	10.65			
6	57.13	0.0	0.0	0.12	45.11	0.0	0.0	-12.01	0.0	0.0	12.02			
7	60.96	0.0	0.0	0.18	48.06	0.0	0.0	-12.89	0.0	0.0	12.9			
8	64.78	0.0	0.0	0.24	51.48	0.0	0.0	-13.29	0.0	0.0	13.3			
9	68.61	0.0	0.0	0.3	55.38	0.0	0.0	-13.22	0.0	0.0	13.23			
10	72.44	0.0	0.0	0.38	59.74	0.0	0.0	-12.69	0.0	0.0	12.7			
11	76.27	0.0	0.0	0.46	64.56	0.0	0.0	-11.69	0.0	0.0	11.7			
12	80.1	0.0	0.0	0.55	69.84	0.0	0.0	-10.25	0.0	0.0	10.26			
13	83.93	0.0	0.0	0.65	75.57	0.0	0.0	-8.35	0.0	0.0	8.36			
14	87.75	0.0	0.0	0.76	81.74	0.0	0.0	-6.0	0.0	0.0	6.01			
15	91.58	0.0	0.0	0.88	88.35	0.0	0.0	-3.22	0.0	0.0	3.23	Mittlerer Helligkeitsabstand (16 Stufen)		
16	95.41	0.0	0.0	1.0	95.41	0.0	0.0	0.0	0.0	0.0	0.01	ΔE* _{CIELAB} = 8.3		
17	37.99	0.0	0.0	0.0	37.99	0.0	0.0	0.0	0.0	0.0	0.01			
18	52.34	0.0	0.0	0.07	42.11	0.0	0.0	-10.22	0.0	0.0	10.23			
19	66.7	0.0	0.0	0.27	53.37	0.0	0.0	-13.32	0.0	0.0	13.33			
20	81.05	0.0	0.0	0.58	71.23	0.0	0.0	-9.81	0.0	0.0	9.82	Mittlerer Helligkeitsabstand (5 Stufen)		
21	95.41	0.0	0.0	1.0	95.41	0.0	0.0	0.0	0.0	0.0	0.01	ΔL* _{CIELAB} = 6.7		
Mittlerer Farbwiedergabe-Index:												R* _{ab,m} = 64		

OG820-3N-135-11: File: Measure unknown; Device: Device unknown; Date: Date unknown



L*/Y _{intended} (absolut)	38.0/10.1	41.8/12.4	45.6/15.0	49.5/18.0	53.3/21.3	57.1/25.1	61.0/29.2	64.8/33.8	68.6/38.8	72.4/44.3	76.3/50.3	80.1/56.9	83.9/63.9	87.8/71.6	91.6/79.8	95.4/88.6
w* w* w* setrgb																
g _N =1.9																
Nr. und Hex-Code	00;F	01;E	02;D	03;C	04;B	05;A	06;9	07;8	08;7	09;6	10;5	11;4	12;3	13;2	14;1	15;0
w*=l* _{CIELAB} , r (relativ)																
w* _{intended}	0.000	0.067	0.133	0.200	0.267	0.333	0.400	0.467	0.533	0.600	0.667	0.733	0.800	0.867	0.933	1.000
w* _{out}	0.0	0.006	0.022	0.047	0.081	0.124	0.175	0.235	0.303	0.379	0.463	0.554	0.654	0.762	0.877	1.0

OG820-7N, Bild A7-135-11: 16 visuell gleichabständige L*-Graustufen; PS-Operator: w* w* w* setrgbcolor

OG82: Ein-Ausgabe-Beziehung nach ISO 9241-306; 1MR, DEH Eingabe: *rgb* (->*rgb**_{de}) *setrgbcolor*
Gesehener Y-Kontrast $Y_W:Y_N=88,9:10$; Y_N -Bereich 7,5 to <15 Ausgabe 130-11: $g_P=1.0$; $g_N=1.6$

Eingabe: Farbmatisches Fernseh-Licht-System TLS00a

für Buntton $h^* = lab^*h = 40/360 = 0.111$

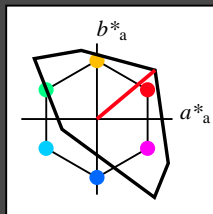
lab^*tch und lab^*nch

D65: Buntton O

LCH*Ma: 51 100 40

olv*Ma: 1.0 0.0 0.0

Dreiecks-Helligkeit t^*



%Umfang

$u^*_{rel} = 158$

%Regularität

$g^*_{H,rel} = 20$

$g^*_{C,rel} = 37$

TLS00a; adaptierte CIELAB-Daten

	$L^*=L^*_a$	a^*_a	b^*_a	$C^*_{ab,a}$	$h^*_{ab,a}$
O _{Ma}	50.5	76.92	64.55	100.42	40
Y _{Ma}	92.66	-20.69	90.75	93.08	103
L _{Ma}	83.63	-82.75	79.9	115.04	136
C _{Ma}	86.88	-46.16	-13.55	48.12	196
V _{Ma}	30.39	76.06	-103.59	128.52	306
M _{Ma}	57.3	94.35	-58.41	110.97	328
N _{Ma}	0.01	0.0	0.0	0.0	0
W _{Ma}	95.41	0.0	0.0	0.0	0
R _{CIE}	39.92	58.74	27.99	65.07	25
J _{CIE}	81.26	-2.88	71.56	71.62	92
G _{CIE}	52.23	-42.41	13.6	44.55	162
B _{CIE}	30.57	1.41	-46.46	46.49	272

Ausgabe: Farbmatisches Fernseh-Licht-System TLS00a

für Buntton $h^* = lab^*h = 40/360 = 0.111$

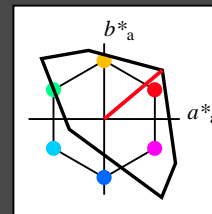
lab^*tch und lab^*nch

D65: Buntton O

LCH*Ma: 51 100 40

olv*Ma: 1.0 0.0 0.0

Dreiecks-Helligkeit t^*



%Umfang

$u^*_{rel} = 158$

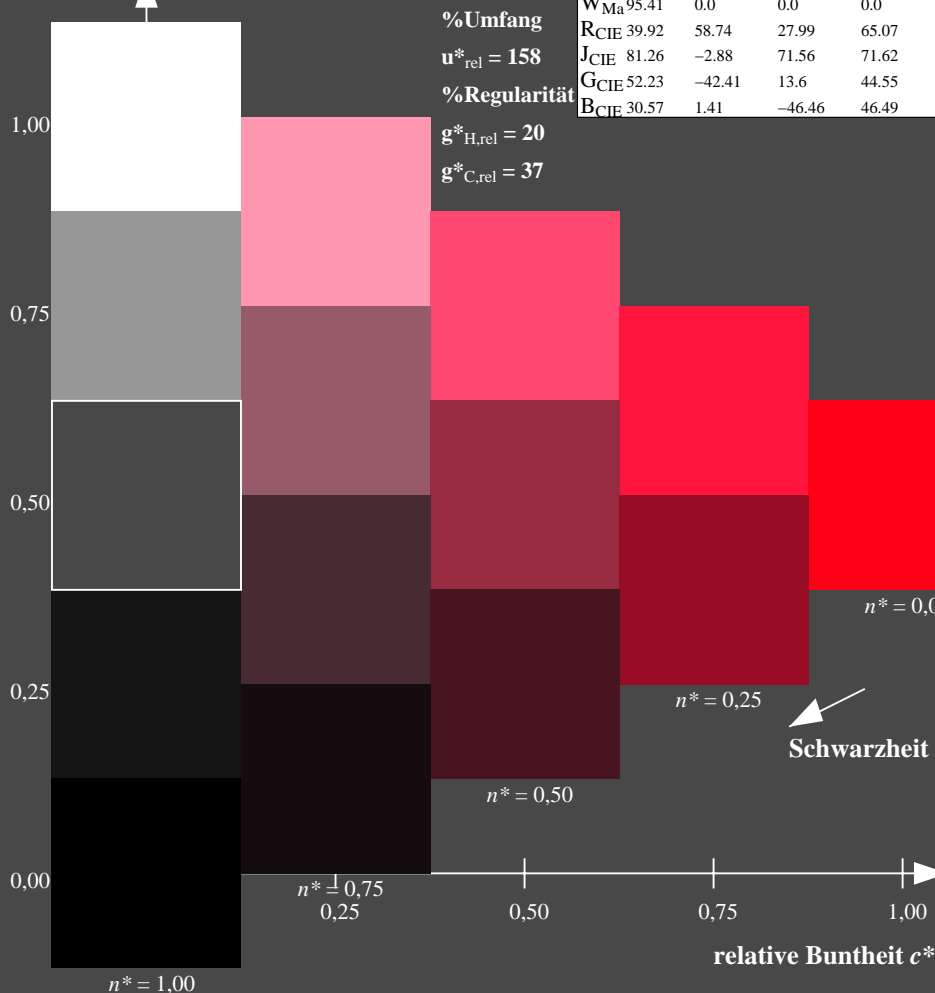
%Regularität

$g^*_{H,rel} = 20$

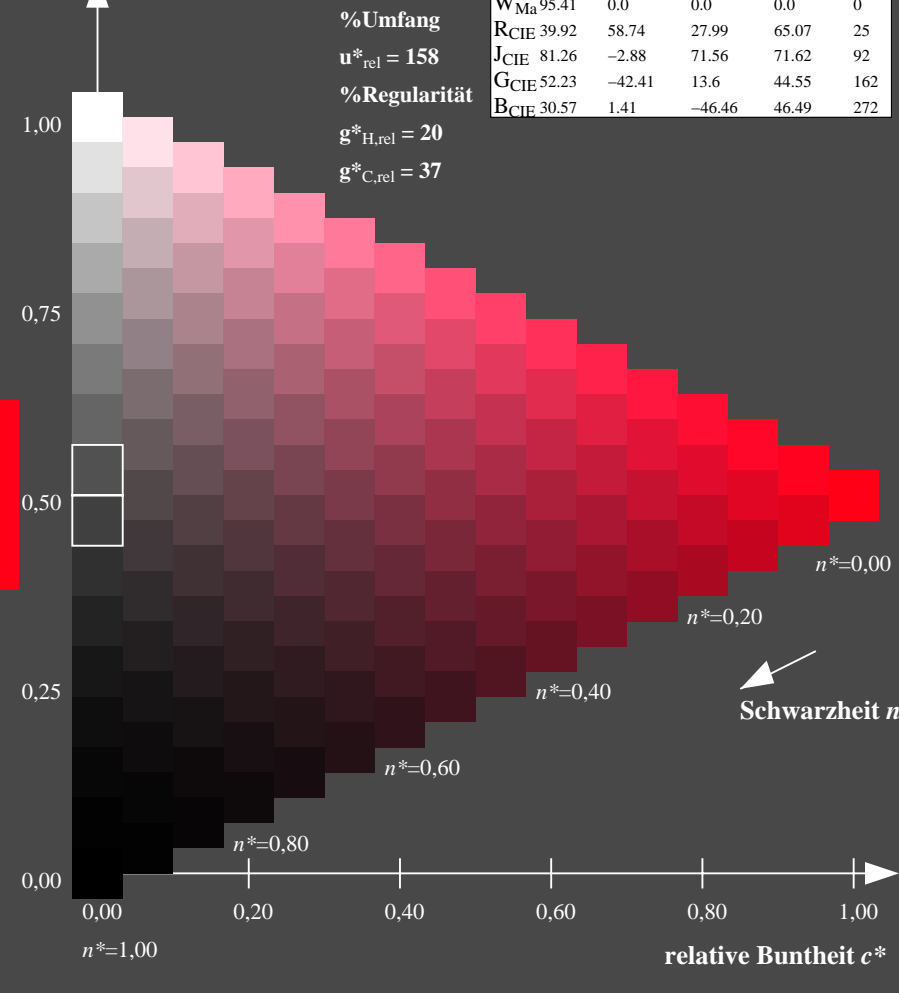
$g^*_{C,rel} = 37$

TLS00a; adaptierte CIELAB-Daten

	$L^*=L^*_a$	a^*_a	b^*_a	$C^*_{ab,a}$	$h^*_{ab,a}$
O _{Ma}	50.5	76.92	64.55	100.42	40
Y _{Ma}	92.66	-20.69	90.75	93.08	103
L _{Ma}	83.63	-82.75	79.9	115.04	136
C _{Ma}	86.88	-46.16	-13.55	48.12	196
V _{Ma}	30.39	76.06	-103.59	128.52	306
M _{Ma}	57.3	94.35	-58.41	110.97	328
N _{Ma}	0.01	0.0	0.0	0.0	0
W _{Ma}	95.41	0.0	0.0	0.0	0
R _{CIE}	39.92	58.74	27.99	65.07	25
J _{CIE}	81.26	-2.88	71.56	71.62	92
G _{CIE}	52.23	-42.41	13.6	44.55	162
B _{CIE}	30.57	1.41	-46.46	46.49	272



OG820-7N-136-0: 5-stufige Reihen für konstanten CIELAB Buntton 40/360 = 0.111 (links)



16-stufige Reihen für konstanten CIELAB Buntton 40/360 = 0.111 (rechts)

OG82: Prüfvorlage 1 nach DIN 33872-2, Buntton O; 1MR, DEH
Eingabe: $rgb \rightarrow rgb^*_{de}$ setrgbcolor
Ausgabe 130-0: $g_p=1.0$; $g_N=1.81$

Eingabe: Farbmatisches Fernseh-Licht-System TLS00a

für Buntton $h^* = lab^*h = 103/360 = 0.286$

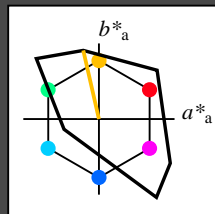
lab^*tch und lab^*nch

D65: Buntton Y

LCH*Ma: 93 93 103

olv*Ma: 1.0 1.0 0.0

Dreiecks-Helligkeit t^*



%Umfang

$u^*_{rel} = 158$

%Regularität

$g^*_{H,rel} = 20$

$g^*_{C,rel} = 37$

TLS00a; adaptierte CIELAB-Daten

	$L^*=L^*_a$	a^*_a	b^*_a	$C^*_{ab,a}$	$h^*_{ab,a}$
O _{Ma}	50.5	76.92	64.55	100.42	40
Y _{Ma}	92.66	-20.69	90.75	93.08	103
L _{Ma}	83.63	-82.75	79.9	115.04	136
C _{Ma}	86.88	-46.16	-13.55	48.12	196
V _{Ma}	30.39	76.06	-103.59	128.52	306
M _{Ma}	57.3	94.35	-58.41	110.97	328
N _{Ma}	0.01	0.0	0.0	0.0	0
W _{Ma}	95.41	0.0	0.0	0.0	0
R _{CIE}	39.92	58.74	27.99	65.07	25
J _{CIE}	81.26	-2.88	71.56	71.62	92
G _{CIE}	52.23	-42.41	13.6	44.55	162
B _{CIE}	30.57	1.41	-46.46	46.49	272

Ausgabe: Farbmatisches Fernseh-Licht-System TLS00a

für Buntton $h^* = lab^*h = 103/360 = 0.286$

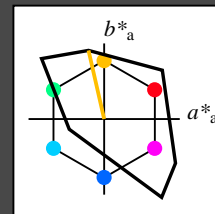
lab^*tch und lab^*nch

D65: Buntton Y

LCH*Ma: 93 93 103

olv*Ma: 1.0 1.0 0.0

Dreiecks-Helligkeit t^*



%Umfang

$u^*_{rel} = 158$

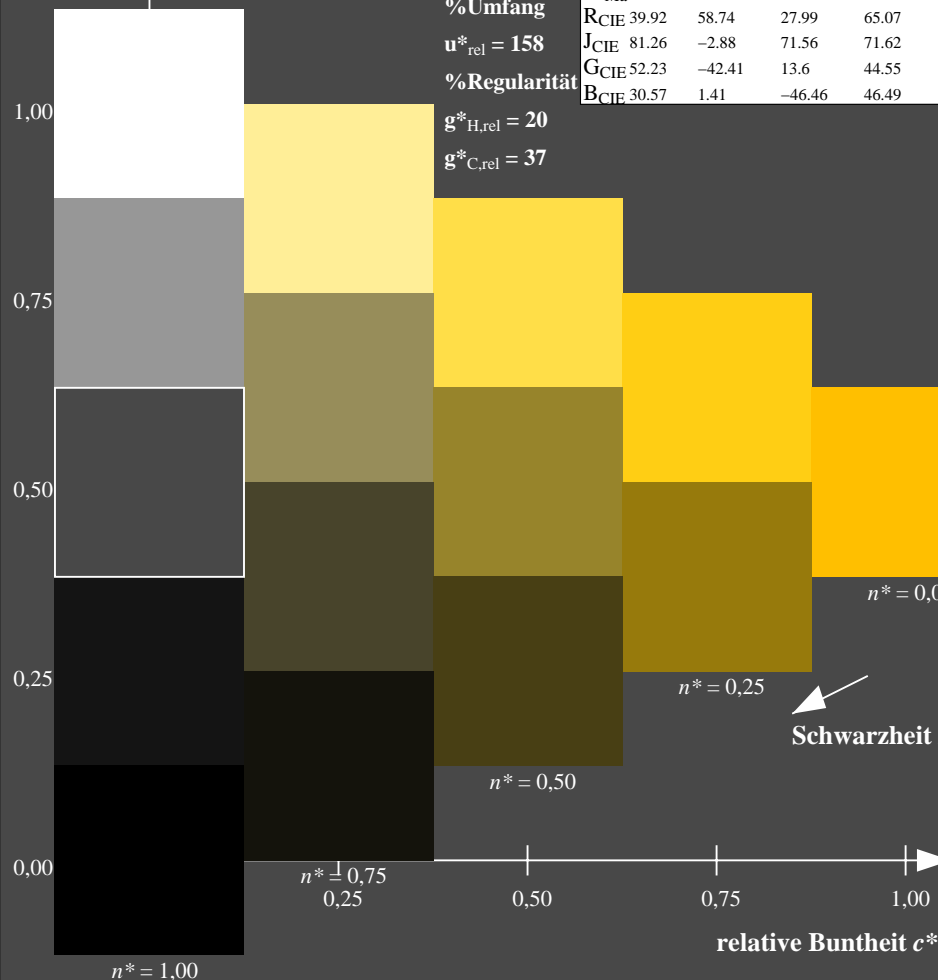
%Regularität

$g^*_{H,rel} = 20$

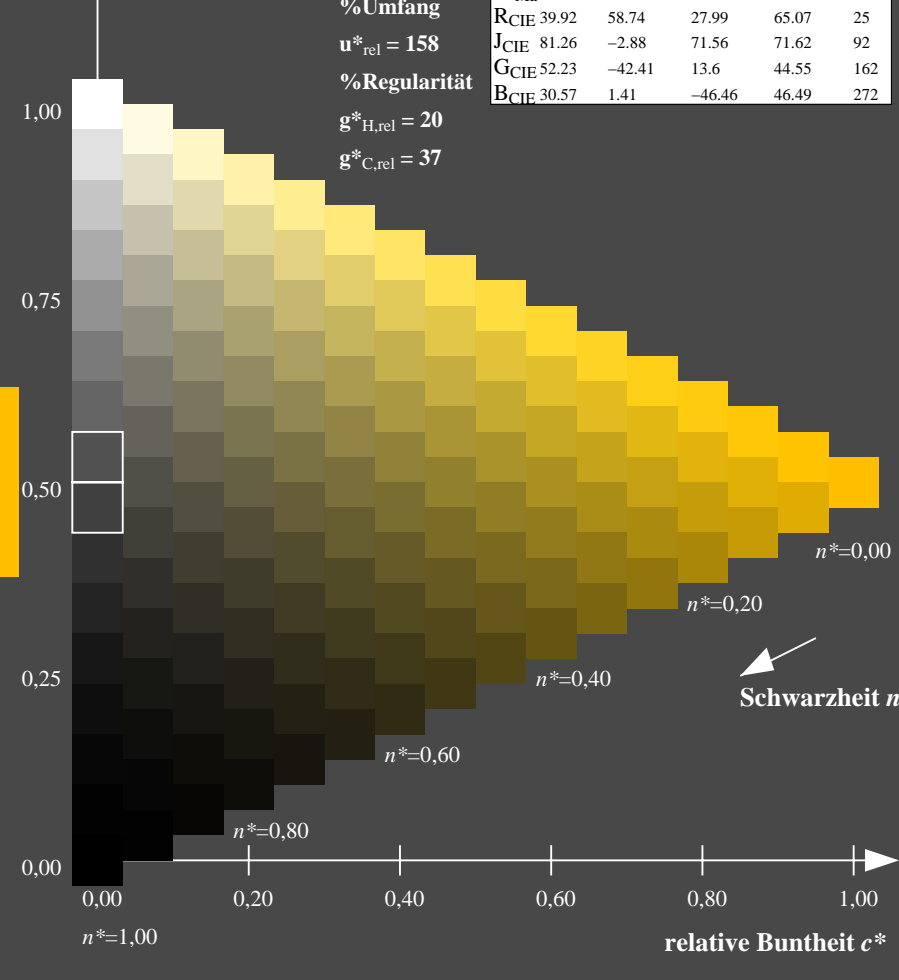
$g^*_{C,rel} = 37$

TLS00a; adaptierte CIELAB-Daten

	$L^*=L^*_a$	a^*_a	b^*_a	$C^*_{ab,a}$	$h^*_{ab,a}$
O _{Ma}	50.5	76.92	64.55	100.42	40
Y _{Ma}	92.66	-20.69	90.75	93.08	103
L _{Ma}	83.63	-82.75	79.9	115.04	136
C _{Ma}	86.88	-46.16	-13.55	48.12	196
V _{Ma}	30.39	76.06	-103.59	128.52	306
M _{Ma}	57.3	94.35	-58.41	110.97	328
N _{Ma}	0.01	0.0	0.0	0.0	0
W _{Ma}	95.41	0.0	0.0	0.0	0
R _{CIE}	39.92	58.74	27.99	65.07	25
J _{CIE}	81.26	-2.88	71.56	71.62	92
G _{CIE}	52.23	-42.41	13.6	44.55	162
B _{CIE}	30.57	1.41	-46.46	46.49	272



OG820-7N-136-1: 5-stufige Reihen für konstanten CIELAB Buntton 103/360 = 0.286 (links)



16-stufige Reihen für konstanten CIELAB Buntton 103/360 = 0.286 (rechts)

OG82: Prüfvorlage 1 nach DIN 33872-2, Buntton Y; 1MR, DEH
Unterscheidbarkeit von 5- und 16-stufigen Farbreihen

Eingabe: $rgb \rightarrow rgb^*_{de}$ setrgbcolor
Ausgabe 130-1: $g_p=1.0$; $g_N=1.81$

Eingabe: Farbmatisches Fernseh-Licht-System TLS00a

für Buntton $h^* = lab^*h = 136/360 = 0.378$

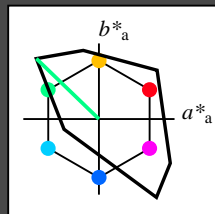
lab^*tch und lab^*nch

D65: Buntton L

LCH*Ma: 84 115 136

olv*Ma: 0.0 1.0 0.0

Dreiecks-Helligkeit t^*



%Umfang

$u^*_{rel} = 158$

%Regularität

$g^*_{H,rel} = 20$

$g^*_{C,rel} = 37$

TLS00a; adaptierte CIELAB-Daten

	$L^*=L^*_a$	a^*_a	b^*_a	$C^*_{ab,a}$	$h^*_{ab,a}$
O _{Ma}	50.5	76.92	64.55	100.42	40
Y _{Ma}	92.66	-20.69	90.75	93.08	103
L _{Ma}	83.63	-82.75	79.9	115.04	136
C _{Ma}	86.88	-46.16	-13.55	48.12	196
V _{Ma}	30.39	76.06	-103.59	128.52	306
M _{Ma}	57.3	94.35	-58.41	110.97	328
N _{Ma}	0.01	0.0	0.0	0.0	0
W _{Ma}	95.41	0.0	0.0	0.0	0
R _{CIE}	39.92	58.74	27.99	65.07	25
J _{CIE}	81.26	-2.88	71.56	71.62	92
G _{CIE}	52.23	-42.41	13.6	44.55	162
B _{CIE}	30.57	1.41	-46.46	46.49	272

Ausgabe: Farbmatisches Fernseh-Licht-System TLS00a

für Buntton $h^* = lab^*h = 136/360 = 0.378$

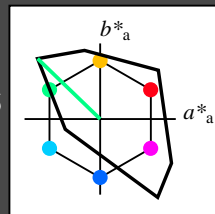
lab^*tch und lab^*nch

D65: Buntton L

LCH*Ma: 84 115 136

olv*Ma: 0.0 1.0 0.0

Dreiecks-Helligkeit t^*



%Umfang

$u^*_{rel} = 158$

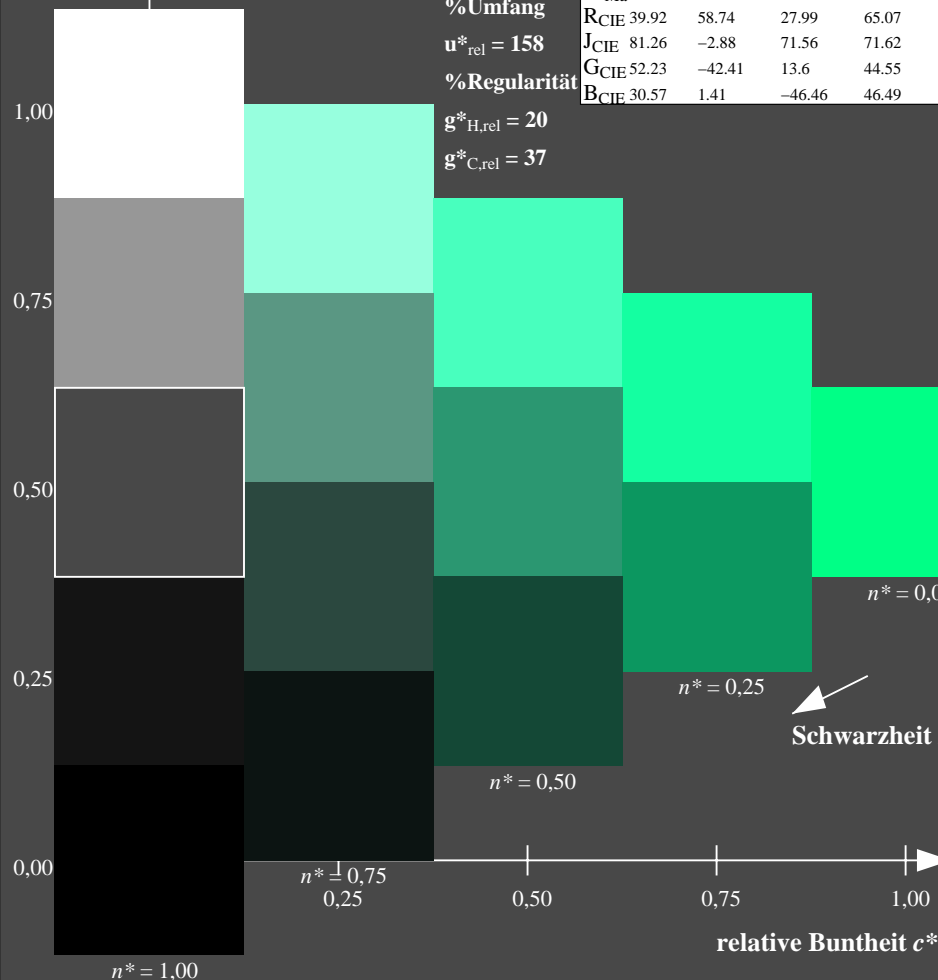
%Regularität

$g^*_{H,rel} = 20$

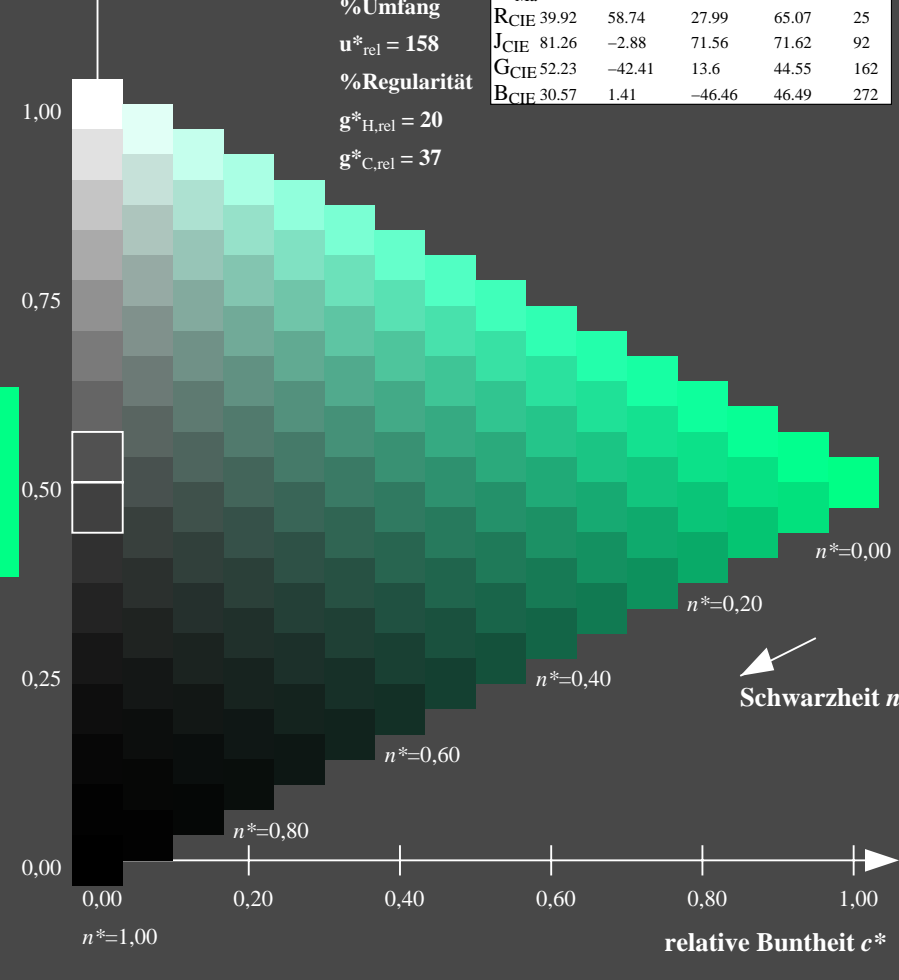
$g^*_{C,rel} = 37$

TLS00a; adaptierte CIELAB-Daten

	$L^*=L^*_a$	a^*_a	b^*_a	$C^*_{ab,a}$	$h^*_{ab,a}$
O _{Ma}	50.5	76.92	64.55	100.42	40
Y _{Ma}	92.66	-20.69	90.75	93.08	103
L _{Ma}	83.63	-82.75	79.9	115.04	136
C _{Ma}	86.88	-46.16	-13.55	48.12	196
V _{Ma}	30.39	76.06	-103.59	128.52	306
M _{Ma}	57.3	94.35	-58.41	110.97	328
N _{Ma}	0.01	0.0	0.0	0.0	0
W _{Ma}	95.41	0.0	0.0	0.0	0
R _{CIE}	39.92	58.74	27.99	65.07	25
J _{CIE}	81.26	-2.88	71.56	71.62	92
G _{CIE}	52.23	-42.41	13.6	44.55	162
B _{CIE}	30.57	1.41	-46.46	46.49	272



OG820-7N-136-2: 5-stufige Reihen für konstanten CIELAB Buntton 136/360 = 0.378 (links)



16-stufige Reihen für konstanten CIELAB Buntton 136/360 = 0.378 (rechts)

OG82: Prüfvorlage 1 nach DIN 33872-2, Buntton L; 1MR, DEH
Unterscheidbarkeit von 5- und 16-stufigen Farbreihen

Eingabe: $rgb \rightarrow rgb^*_{de}$ setrgbcolor
Ausgabe 130-2: $g_p=1.0$; $g_N=1.81$

Eingabe: Farbmétrisches Fernseh-Licht-System TLS00a

für Buntton $h^* = lab^*h = 196/360 = 0.545$

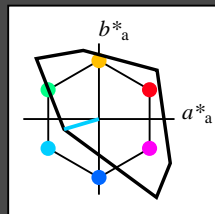
lab^*tch und lab^*nch

D65: Buntton C

LCH*Ma: 87 48 196

olv*Ma: 0.0 1.0 1.0

Dreiecks-Helligkeit t^*



%Umfang

$u^*_{rel} = 158$

%Regularität

$g^*_{H,rel} = 20$

$g^*_{C,rel} = 37$

TLS00a; adaptierte CIELAB-Daten

	$L^*=L^*_a$	a^*_a	b^*_a	$C^*_{ab,a}$	$h^*_{ab,a}$
O _{Ma}	50.5	76.92	64.55	100.42	40
Y _{Ma}	92.66	-20.69	90.75	93.08	103
L _{Ma}	83.63	-82.75	79.9	115.04	136
C _{Ma}	86.88	-46.16	-13.55	48.12	196
V _{Ma}	30.39	76.06	-103.59	128.52	306
M _{Ma}	57.3	94.35	-58.41	110.97	328
N _{Ma}	0.01	0.0	0.0	0.0	0
W _{Ma}	95.41	0.0	0.0	0.0	0
R _{CIE}	39.92	58.74	27.99	65.07	25
J _{CIE}	81.26	-2.88	71.56	71.62	92
G _{CIE}	52.23	-42.41	13.6	44.55	162
B _{CIE}	30.57	1.41	-46.46	46.49	272

Ausgabe: Farbmétrisches Fernseh-Licht-System TLS00a

für Buntton $h^* = lab^*h = 196/360 = 0.545$

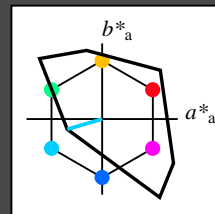
lab^*tch und lab^*nch

D65: Buntton C

LCH*Ma: 87 48 196

olv*Ma: 0.0 1.0 1.0

Dreiecks-Helligkeit t^*



%Umfang

$u^*_{rel} = 158$

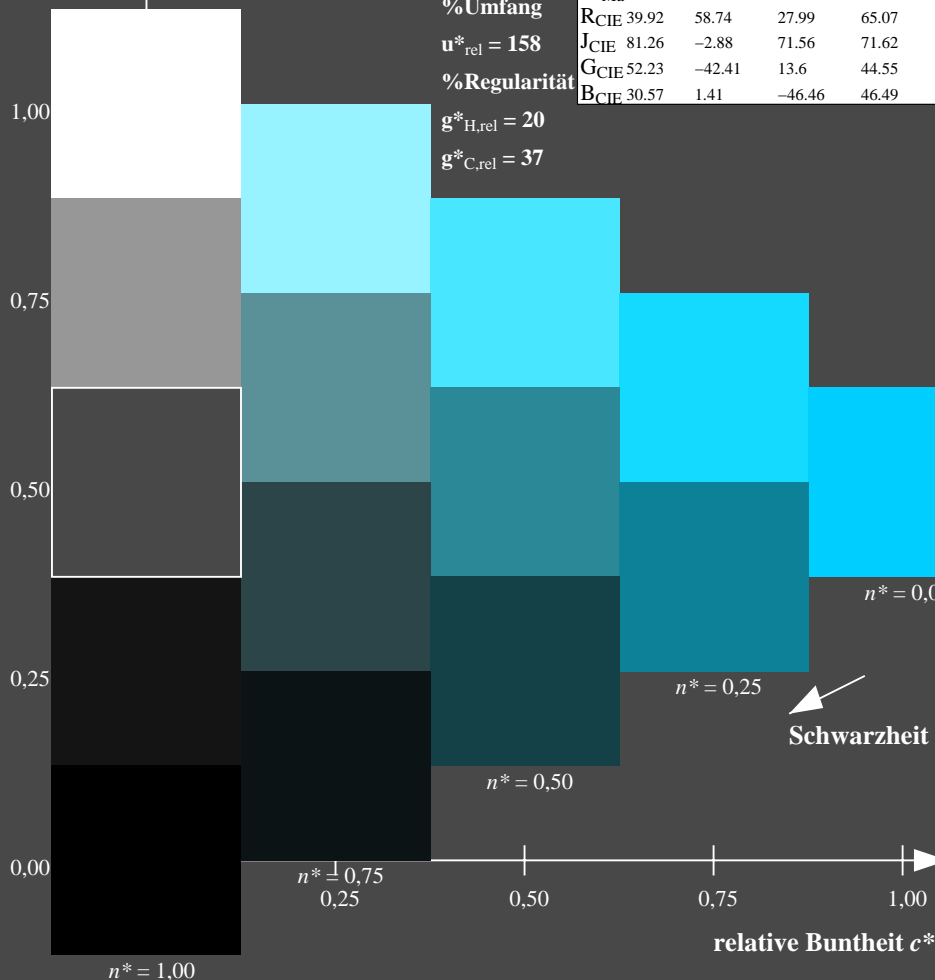
%Regularität

$g^*_{H,rel} = 20$

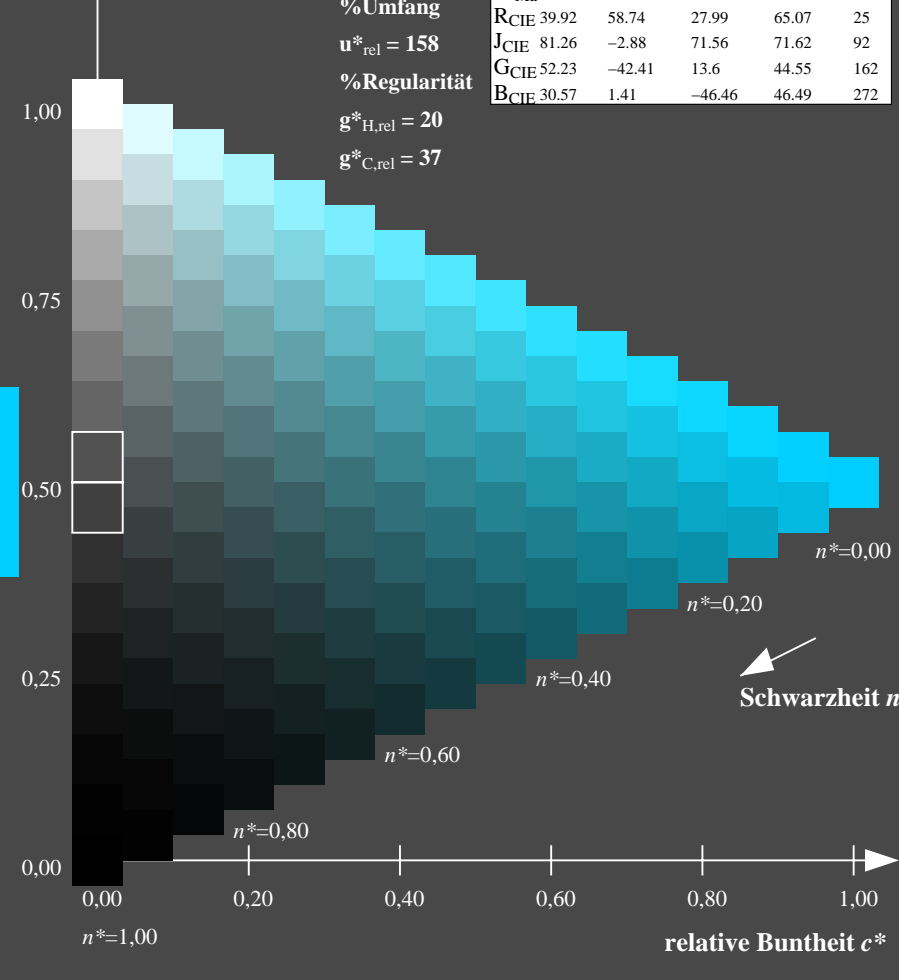
$g^*_{C,rel} = 37$

TLS00a; adaptierte CIELAB-Daten

	$L^*=L^*_a$	a^*_a	b^*_a	$C^*_{ab,a}$	$h^*_{ab,a}$
O _{Ma}	50.5	76.92	64.55	100.42	40
Y _{Ma}	92.66	-20.69	90.75	93.08	103
L _{Ma}	83.63	-82.75	79.9	115.04	136
C _{Ma}	86.88	-46.16	-13.55	48.12	196
V _{Ma}	30.39	76.06	-103.59	128.52	306
M _{Ma}	57.3	94.35	-58.41	110.97	328
N _{Ma}	0.01	0.0	0.0	0.0	0
W _{Ma}	95.41	0.0	0.0	0.0	0
R _{CIE}	39.92	58.74	27.99	65.07	25
J _{CIE}	81.26	-2.88	71.56	71.62	92
G _{CIE}	52.23	-42.41	13.6	44.55	162
B _{CIE}	30.57	1.41	-46.46	46.49	272



OG820-7N-136-3: 5-stufige Reihen für konstanten CIELAB Buntton 196/360 = 0.545 (links)



16-stufige Reihen für konstanten CIELAB Buntton 196/360 = 0.545 (rechts)

OG82: Prüfvorlage 1 nach DIN 33872-2, Buntton C; 1MR, DEH
Eingabe: $rgb \rightarrow rgb^*_{de}$ setrgbcolor
Ausgabe 130-3: $g_p=1.0$; $g_N=1.81$

Eingabe: Farbmatisches Fernseh-Licht-System TLS00a

für Buntton $h^* = lab^*h = 306/360 = 0.851$

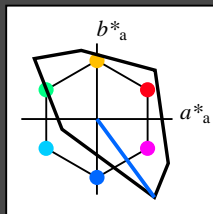
lab^*tch und lab^*nch

D65: Buntton V

LCH*Ma: 30 129 306

olv*Ma: 0.0 0.0 1.0

Dreiecks-Helligkeit t^*



%Umfang

$u^*_{rel} = 158$

%Regularität

$g^*_{H,rel} = 20$

$g^*_{C,rel} = 37$

TLS00a; adaptierte CIELAB-Daten

	$L^*=L^*_a$	a^*_a	b^*_a	$C^*_{ab,a}$	$h^*_{ab,a}$
O _{Ma}	50.5	76.92	64.55	100.42	40
Y _{Ma}	92.66	-20.69	90.75	93.08	103
L _{Ma}	83.63	-82.75	79.9	115.04	136
C _{Ma}	86.88	-46.16	-13.55	48.12	196
V _{Ma}	30.39	76.06	-103.59	128.52	306
M _{Ma}	57.3	94.35	-58.41	110.97	328
N _{Ma}	0.01	0.0	0.0	0.0	0
W _{Ma}	95.41	0.0	0.0	0.0	0
R _{CIE}	39.92	58.74	27.99	65.07	25
J _{CIE}	81.26	-2.88	71.56	71.62	92
G _{CIE}	52.23	-42.41	13.6	44.55	162
B _{CIE}	30.57	1.41	-46.46	46.49	272

Ausgabe: Farbmatisches Fernseh-Licht-System TLS00a

für Buntton $h^* = lab^*h = 306/360 = 0.851$

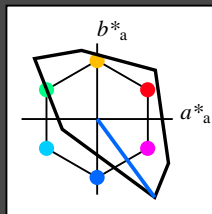
lab^*tch und lab^*nch

D65: Buntton V

LCH*Ma: 30 129 306

olv*Ma: 0.0 0.0 1.0

Dreiecks-Helligkeit t^*



%Umfang

$u^*_{rel} = 158$

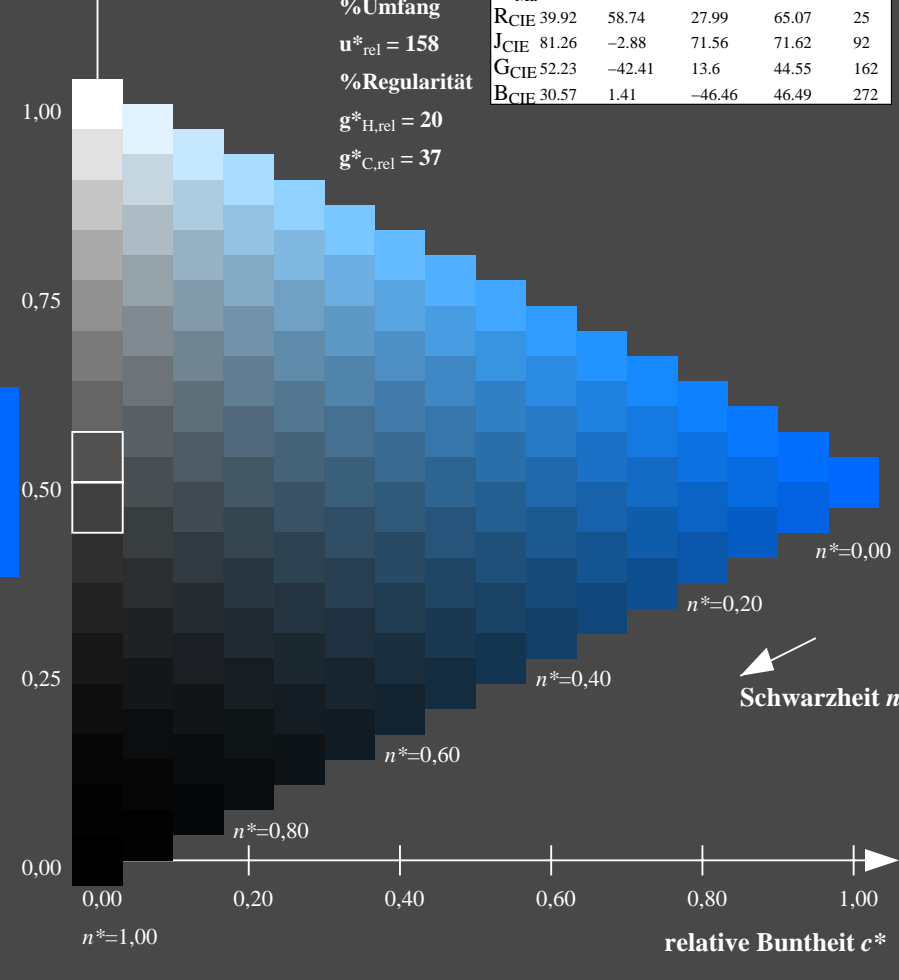
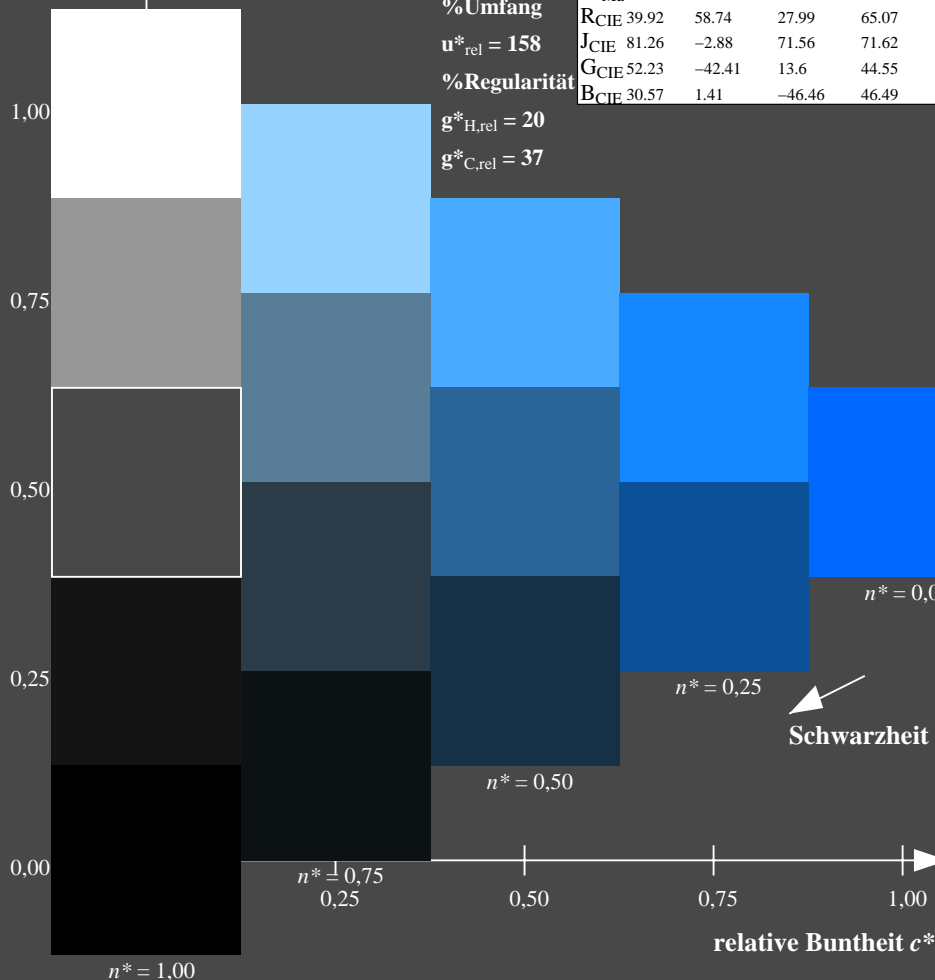
%Regularität

$g^*_{H,rel} = 20$

$g^*_{C,rel} = 37$

TLS00a; adaptierte CIELAB-Daten

	$L^*=L^*_a$	a^*_a	b^*_a	$C^*_{ab,a}$	$h^*_{ab,a}$
O _{Ma}	50.5	76.92	64.55	100.42	40
Y _{Ma}	92.66	-20.69	90.75	93.08	103
L _{Ma}	83.63	-82.75	79.9	115.04	136
C _{Ma}	86.88	-46.16	-13.55	48.12	196
V _{Ma}	30.39	76.06	-103.59	128.52	306
M _{Ma}	57.3	94.35	-58.41	110.97	328
N _{Ma}	0.01	0.0	0.0	0.0	0
W _{Ma}	95.41	0.0	0.0	0.0	0
R _{CIE}	39.92	58.74	27.99	65.07	25
J _{CIE}	81.26	-2.88	71.56	71.62	92
G _{CIE}	52.23	-42.41	13.6	44.55	162
B _{CIE}	30.57	1.41	-46.46	46.49	272



OG820-7N-136-4: 5-stufige Reihen für konstanten CIELAB Buntton 306/360 = 0.851 (links)

16-stufige Reihen für konstanten CIELAB Buntton 306/360 = 0.851 (rechts)

OG82: Prüfvorlage 1 nach DIN 33872-2, Buntton V; 1MR, DEH
Unterscheidbarkeit von 5- und 16-stufigen Farbreihen

Eingabe: $rgb (-> rgb^*_{de})$ $setrgbcolor$
Ausgabe 130-4: $g_p=1.0$; $g_N=1.81$

Eingabe: Farbmétrisches Fernseh-Licht-System TLS00a

für Buntton $h^* = lab^*h = 328/360 = 0.912$

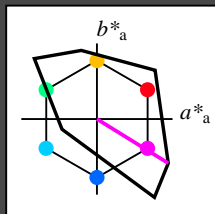
lab^*tch und lab^*nch

D65: Buntton M

LCH*Ma: 57 111 328

olv*Ma: 1.0 0.0 1.0

Dreiecks-Helligkeit t^*



%Umfang

$u^*_{rel} = 158$

%Regularität

$g^*_{H,rel} = 20$

$g^*_{C,rel} = 37$

TLS00a; adaptierte CIELAB-Daten

	$L^*=L^*_a$	a^*_a	b^*_a	$C^*_{ab,a}$	$h^*_{ab,a}$
O _{Ma}	50.5	76.92	64.55	100.42	40
Y _{Ma}	92.66	-20.69	90.75	93.08	103
L _{Ma}	83.63	-82.75	79.9	115.04	136
C _{Ma}	86.88	-46.16	-13.55	48.12	196
V _{Ma}	30.39	76.06	-103.59	128.52	306
M _{Ma}	57.3	94.35	-58.41	110.97	328
N _{Ma}	0.01	0.0	0.0	0.0	0
W _{Ma}	95.41	0.0	0.0	0.0	0
R _{CIE}	39.92	58.74	27.99	65.07	25
J _{CIE}	81.26	-2.88	71.56	71.62	92
G _{CIE}	52.23	-42.41	13.6	44.55	162
B _{CIE}	30.57	1.41	-46.46	46.49	272

Ausgabe: Farbmétrisches Fernseh-Licht-System TLS00a

für Buntton $h^* = lab^*h = 328/360 = 0.912$

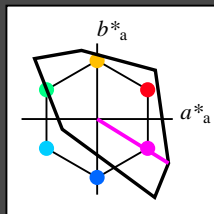
lab^*tch und lab^*nch

D65: Buntton M

LCH*Ma: 57 111 328

olv*Ma: 1.0 0.0 1.0

Dreiecks-Helligkeit t^*



%Umfang

$u^*_{rel} = 158$

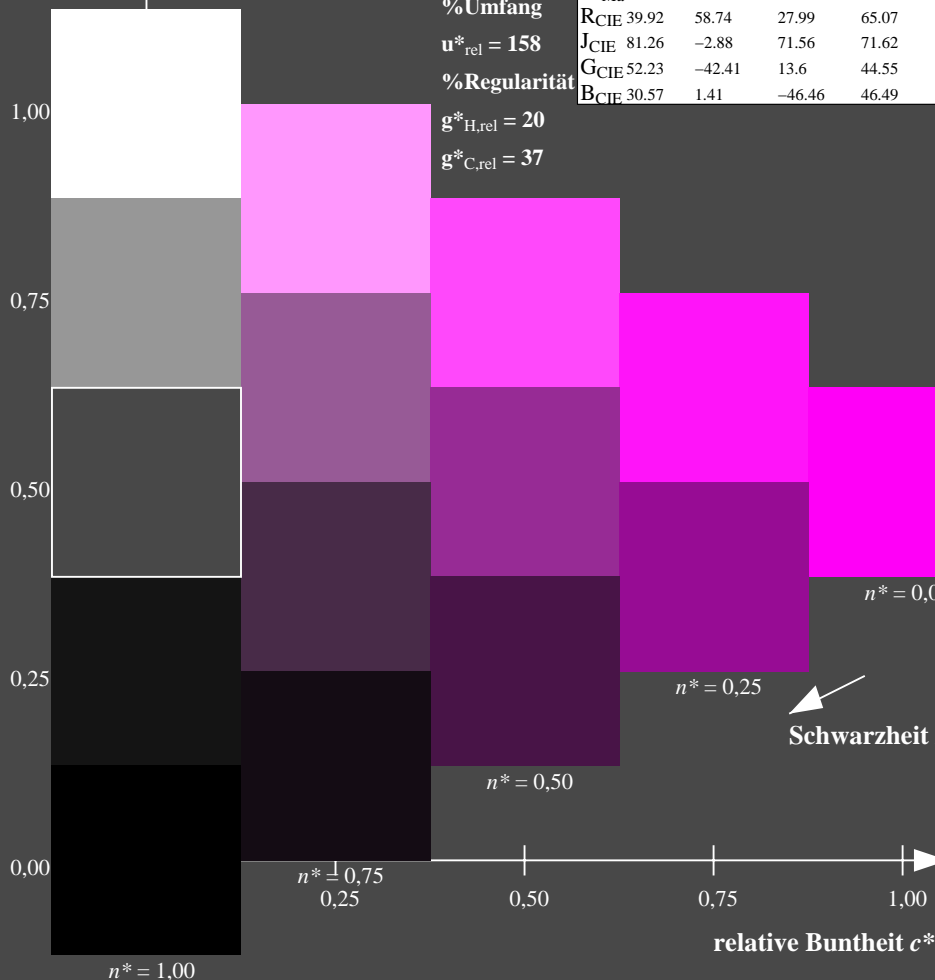
%Regularität

$g^*_{H,rel} = 20$

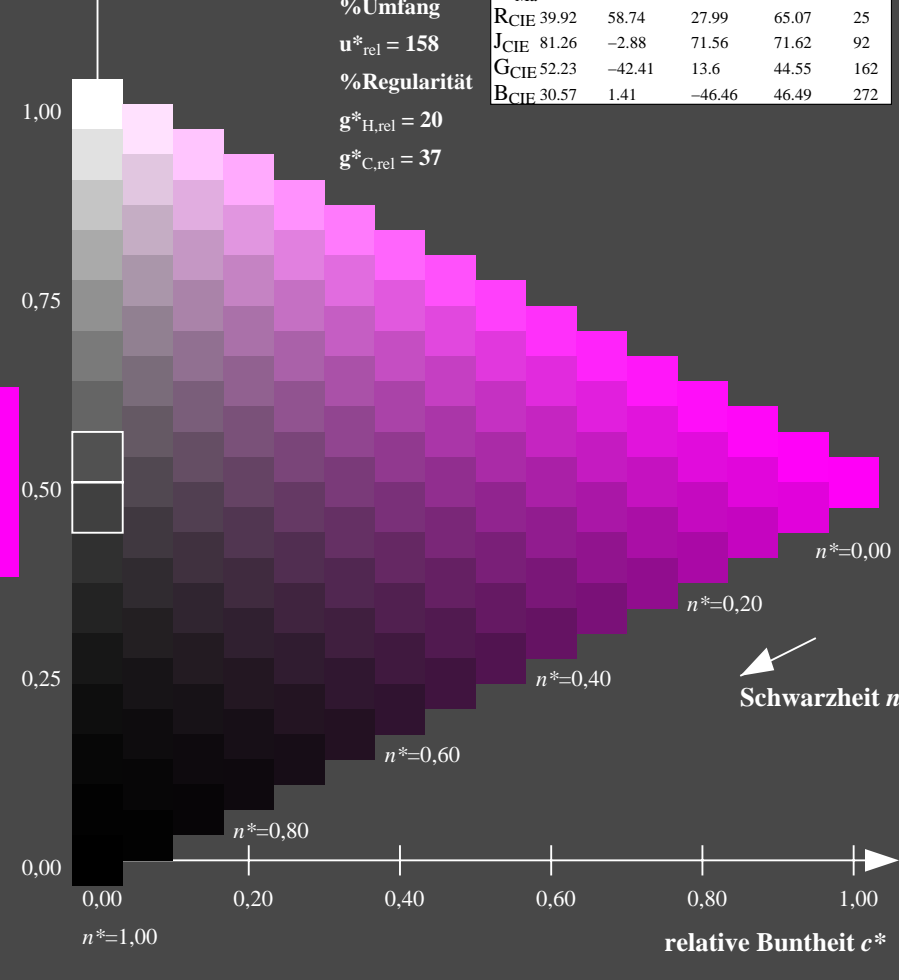
$g^*_{C,rel} = 37$

TLS00a; adaptierte CIELAB-Daten

	$L^*=L^*_a$	a^*_a	b^*_a	$C^*_{ab,a}$	$h^*_{ab,a}$
O _{Ma}	50.5	76.92	64.55	100.42	40
Y _{Ma}	92.66	-20.69	90.75	93.08	103
L _{Ma}	83.63	-82.75	79.9	115.04	136
C _{Ma}	86.88	-46.16	-13.55	48.12	196
V _{Ma}	30.39	76.06	-103.59	128.52	306
M _{Ma}	57.3	94.35	-58.41	110.97	328
N _{Ma}	0.01	0.0	0.0	0.0	0
W _{Ma}	95.41	0.0	0.0	0.0	0
R _{CIE}	39.92	58.74	27.99	65.07	25
J _{CIE}	81.26	-2.88	71.56	71.62	92
G _{CIE}	52.23	-42.41	13.6	44.55	162
B _{CIE}	30.57	1.41	-46.46	46.49	272



OG820-7N-136-5: 5-stufige Reihen für konstanten CIELAB Buntton 328/360 = 0.912 (links)



16-stufige Reihen für konstanten CIELAB Buntton 328/360 = 0.912 (rechts)

OG82: Prüfvorlage 1 nach DIN 33872-2, Buntton M; 1MR, DEH Eingabe: $rgb \rightarrow rgb^*_{de}$ setrgbcolor
Unterscheidbarkeit von 5- und 16-stufigen Farbreihen
Ausgabe 130-5: $g_p=1.0$; $g_N=1.81$

Eingabe: Farbmatisches Fernseh-Licht-System TLS00a

für Buntton $h^* = lab^*h = 25/360 = 0.071$

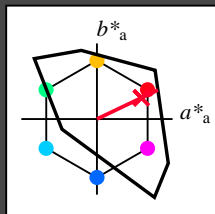
lab^*tch und lab^*nch

D65: Buntton R

LCH*Ma: 52 89 25

olv*Ma: 1.0 0.0 0.21

Dreiecks-Helligkeit t^*



%Umfang

$u^*_{rel} = 158$

%Regularität

$g^*_{H,rel} = 20$

$g^*_{C,rel} = 37$

TLS00a; adaptierte CIELAB-Daten

	$L^*=L^*_a$	a^*_a	b^*_a	$C^*_{ab,a}$	$h^*_{ab,a}$
O _{Ma}	50.5	76.92	64.55	100.42	40
Y _{Ma}	92.66	-20.69	90.75	93.08	103
L _{Ma}	83.63	-82.75	79.9	115.04	136
C _{Ma}	86.88	-46.16	-13.55	48.12	196
V _{Ma}	30.39	76.06	-103.59	128.52	306
M _{Ma}	57.3	94.35	-58.41	110.97	328
N _{Ma}	0.01	0.0	0.0	0.0	0
W _{Ma}	95.41	0.0	0.0	0.0	0
R _{CIE}	39.92	58.74	27.99	65.07	25
J _{CIE}	81.26	-2.88	71.56	71.62	92
G _{CIE}	52.23	-42.41	13.6	44.55	162
B _{CIE}	30.57	1.41	-46.46	46.49	272

Ausgabe: Farbmatisches Fernseh-Licht-System TLS00a

für Buntton $h^* = lab^*h = 25/360 = 0.071$

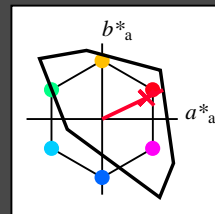
lab^*tch und lab^*nch

D65: Buntton R

LCH*Ma: 52 89 25

olv*Ma: 1.0 0.0 0.21

Dreiecks-Helligkeit t^*



%Umfang

$u^*_{rel} = 158$

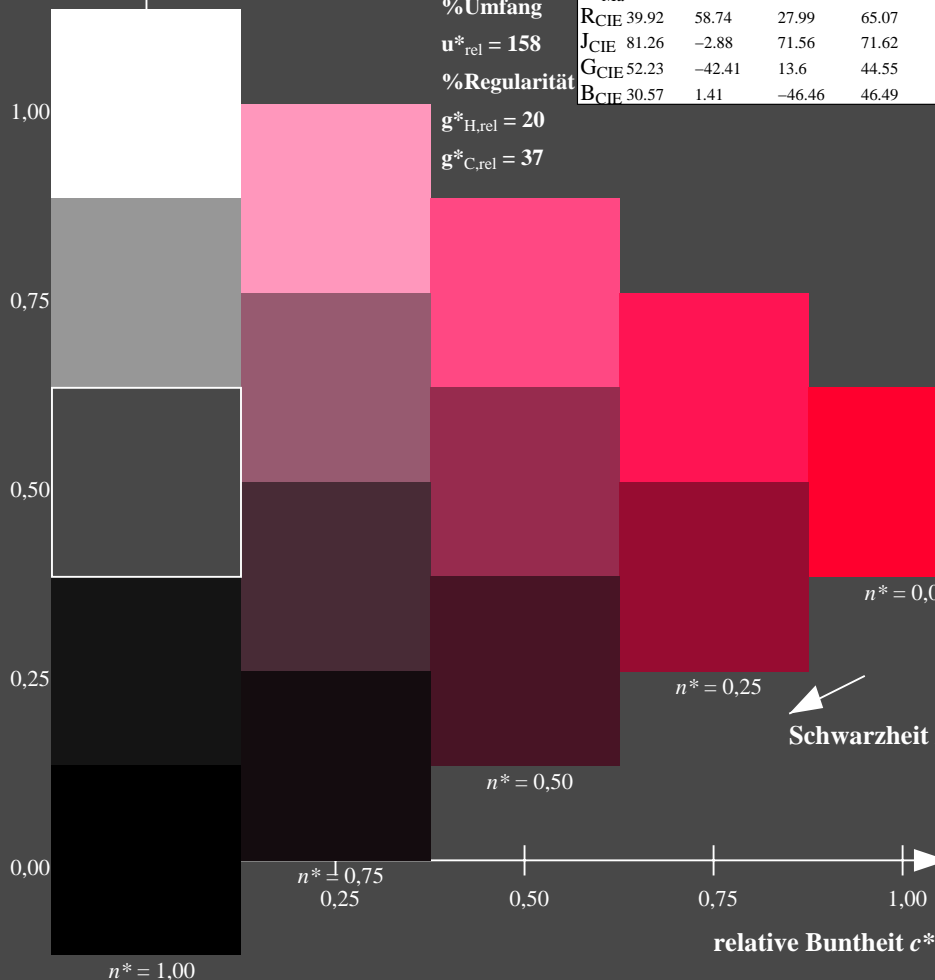
%Regularität

$g^*_{H,rel} = 20$

$g^*_{C,rel} = 37$

TLS00a; adaptierte CIELAB-Daten

	$L^*=L^*_a$	a^*_a	b^*_a	$C^*_{ab,a}$	$h^*_{ab,a}$
O _{Ma}	50.5	76.92	64.55	100.42	40
Y _{Ma}	92.66	-20.69	90.75	93.08	103
L _{Ma}	83.63	-82.75	79.9	115.04	136
C _{Ma}	86.88	-46.16	-13.55	48.12	196
V _{Ma}	30.39	76.06	-103.59	128.52	306
M _{Ma}	57.3	94.35	-58.41	110.97	328
N _{Ma}	0.01	0.0	0.0	0.0	0
W _{Ma}	95.41	0.0	0.0	0.0	0
R _{CIE}	39.92	58.74	27.99	65.07	25
J _{CIE}	81.26	-2.88	71.56	71.62	92
G _{CIE}	52.23	-42.41	13.6	44.55	162
B _{CIE}	30.57	1.41	-46.46	46.49	272



OG820-7N-136-6: 5-stufige Reihen für konstanten CIELAB Buntton 25/360 = 0.071 (links)

16-stufige Reihen für konstanten CIELAB Buntton 25/360 = 0.071 (rechts)

OG82: Prüfvorlage 1 nach DIN 33872-2, Buntton R; 1MR, DEEHEingabe: $rgb \rightarrow rgb^*_{dee}$ setrgbcol
Unterscheidbarkeit von 5- und 16-stufigen Farbreihen
Ausgabe 130-6: $g_p=1.0$; $g_N=1.81$

Eingabe: Farbmatisches Fernseh-Licht-System TLS00a

für Buntton $h^* = lab^*h = 92/360 = 0.256$

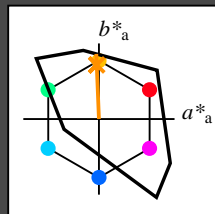
lab^*tch und lab^*nch

D65: Buntton J

LCH*Ma: 85 86 92

olv*Ma: 1.0 0.82 0.0

Dreiecks-Helligkeit t^*



%Umfang

$u^*_{rel} = 158$

%Regularität

$g^*_{H,rel} = 20$

$g^*_{C,rel} = 37$

TLS00a; adaptierte CIELAB-Daten

	$L^*=L^*_a$	a^*_a	b^*_a	$C^*_{ab,a}$	$h^*_{ab,a}$
O _{Ma}	50.5	76.92	64.55	100.42	40
Y _{Ma}	92.66	-20.69	90.75	93.08	103
L _{Ma}	83.63	-82.75	79.9	115.04	136
C _{Ma}	86.88	-46.16	-13.55	48.12	196
V _{Ma}	30.39	76.06	-103.59	128.52	306
M _{Ma}	57.3	94.35	-58.41	110.97	328
N _{Ma}	0.01	0.0	0.0	0.0	0
W _{Ma}	95.41	0.0	0.0	0.0	0
R _{CIE}	39.92	58.74	27.99	65.07	25
J _{CIE}	81.26	-2.88	71.56	71.62	92
G _{CIE}	52.23	-42.41	13.6	44.55	162
B _{CIE}	30.57	1.41	-46.46	46.49	272

Ausgabe: Farbmatisches Fernseh-Licht-System TLS00a

für Buntton $h^* = lab^*h = 92/360 = 0.256$

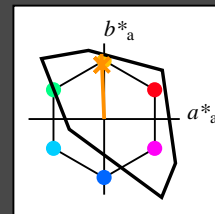
lab^*tch und lab^*nch

D65: Buntton J

LCH*Ma: 85 86 92

olv*Ma: 1.0 0.82 0.0

Dreiecks-Helligkeit t^*



%Umfang

$u^*_{rel} = 158$

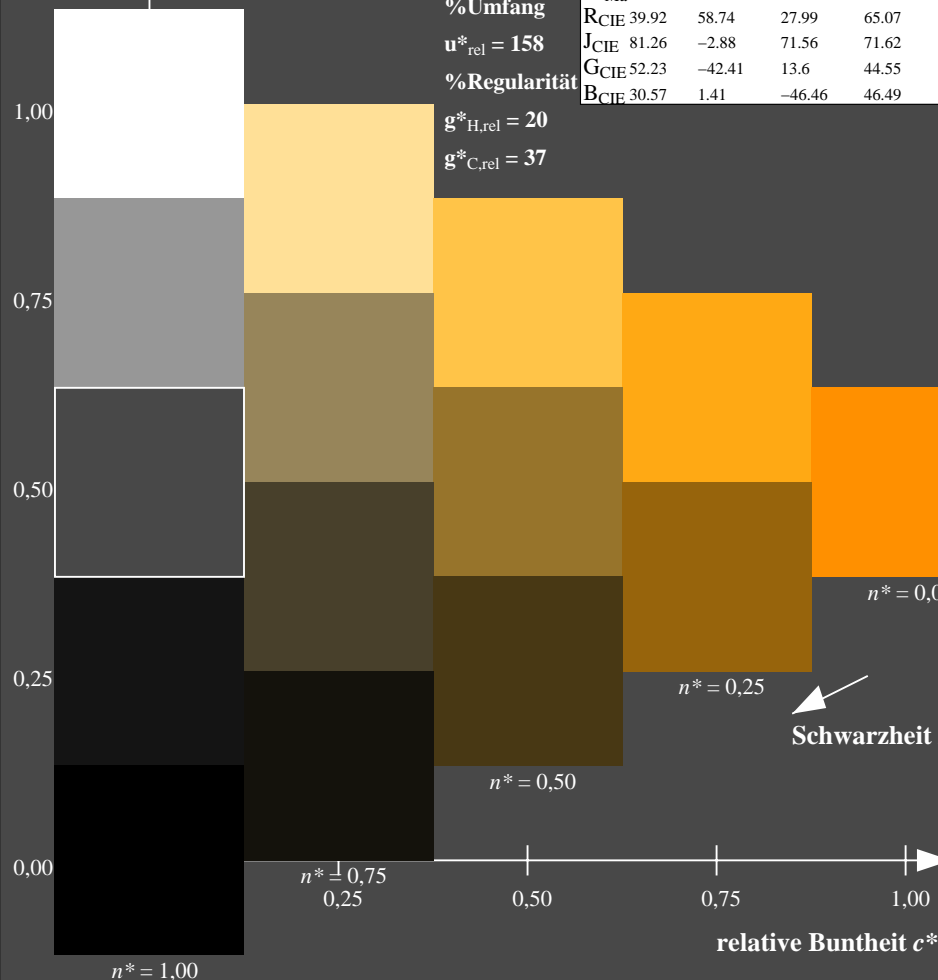
%Regularität

$g^*_{H,rel} = 20$

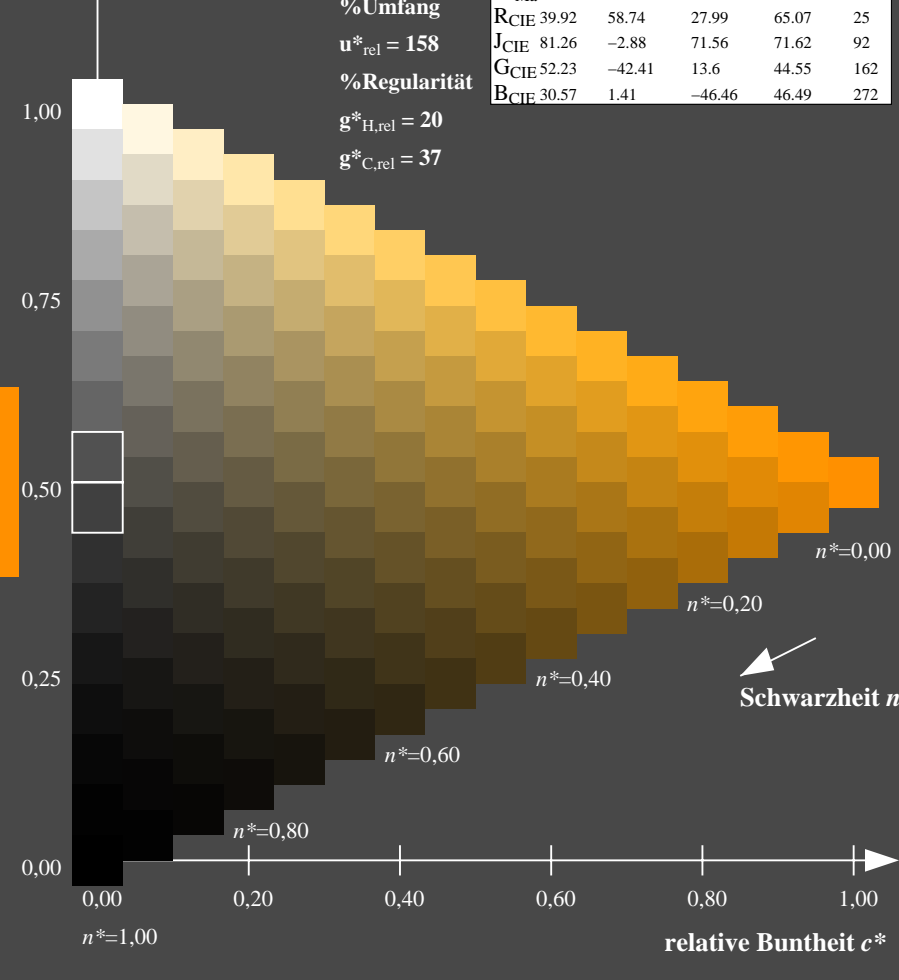
$g^*_{C,rel} = 37$

TLS00a; adaptierte CIELAB-Daten

	$L^*=L^*_a$	a^*_a	b^*_a	$C^*_{ab,a}$	$h^*_{ab,a}$
O _{Ma}	50.5	76.92	64.55	100.42	40
Y _{Ma}	92.66	-20.69	90.75	93.08	103
L _{Ma}	83.63	-82.75	79.9	115.04	136
C _{Ma}	86.88	-46.16	-13.55	48.12	196
V _{Ma}	30.39	76.06	-103.59	128.52	306
M _{Ma}	57.3	94.35	-58.41	110.97	328
N _{Ma}	0.01	0.0	0.0	0.0	0
W _{Ma}	95.41	0.0	0.0	0.0	0
R _{CIE}	39.92	58.74	27.99	65.07	25
J _{CIE}	81.26	-2.88	71.56	71.62	92
G _{CIE}	52.23	-42.41	13.6	44.55	162
B _{CIE}	30.57	1.41	-46.46	46.49	272



OG820-7N-136-7: 5-stufige Reihen für konstanten CIELAB Buntton 92/360 = 0.256 (links)



16-stufige Reihen für konstanten CIELAB Buntton 92/360 = 0.256 (rechts)

OG82: Prüfvorlage 1 nach DIN 33872-2, Buntton J; 1MR, DEEH Eingabe: $rgb \rightarrow rgb^*_{dee}$ setrgbcold
Ausgabe 130-7: $g_P=1.0$; $g_N=1.81$

Eingabe: Farbmétrisches Fernseh-Licht-System TLS00a

für Buntton $h^* = lab^*h = 162/360 = 0.451$

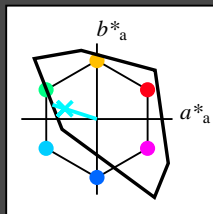
lab^*tch und lab^*nch

D65: Buntton G

LCH*Ma: 86 62 162

olv*Ma: 0.0 1.0 0.65

Dreiecks-Helligkeit t^*



%Umfang

$u^*_{rel} = 158$

%Regularität

$g^*_{H,rel} = 20$

$g^*_{C,rel} = 37$

TLS00a; adaptierte CIELAB-Daten

	$L^*=L^*_a$	a^*_a	b^*_a	$C^*_{ab,a}$	$h^*_{ab,a}$
O _{Ma}	50.5	76.92	64.55	100.42	40
Y _{Ma}	92.66	-20.69	90.75	93.08	103
L _{Ma}	83.63	-82.75	79.9	115.04	136
C _{Ma}	86.88	-46.16	-13.55	48.12	196
V _{Ma}	30.39	76.06	-103.59	128.52	306
M _{Ma}	57.3	94.35	-58.41	110.97	328
N _{Ma}	0.01	0.0	0.0	0.0	0
W _{Ma}	95.41	0.0	0.0	0.0	0
R _{CIE}	39.92	58.74	27.99	65.07	25
J _{CIE}	81.26	-2.88	71.56	71.62	92
G _{CIE}	52.23	-42.41	13.6	44.55	162
B _{CIE}	30.57	1.41	-46.46	46.49	272

Ausgabe: Farbmétrisches Fernseh-Licht-System TLS00a

für Buntton $h^* = lab^*h = 162/360 = 0.451$

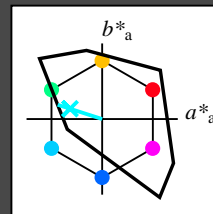
lab^*tch und lab^*nch

D65: Buntton G

LCH*Ma: 86 62 162

olv*Ma: 0.0 1.0 0.65

Dreiecks-Helligkeit t^*



%Umfang

$u^*_{rel} = 158$

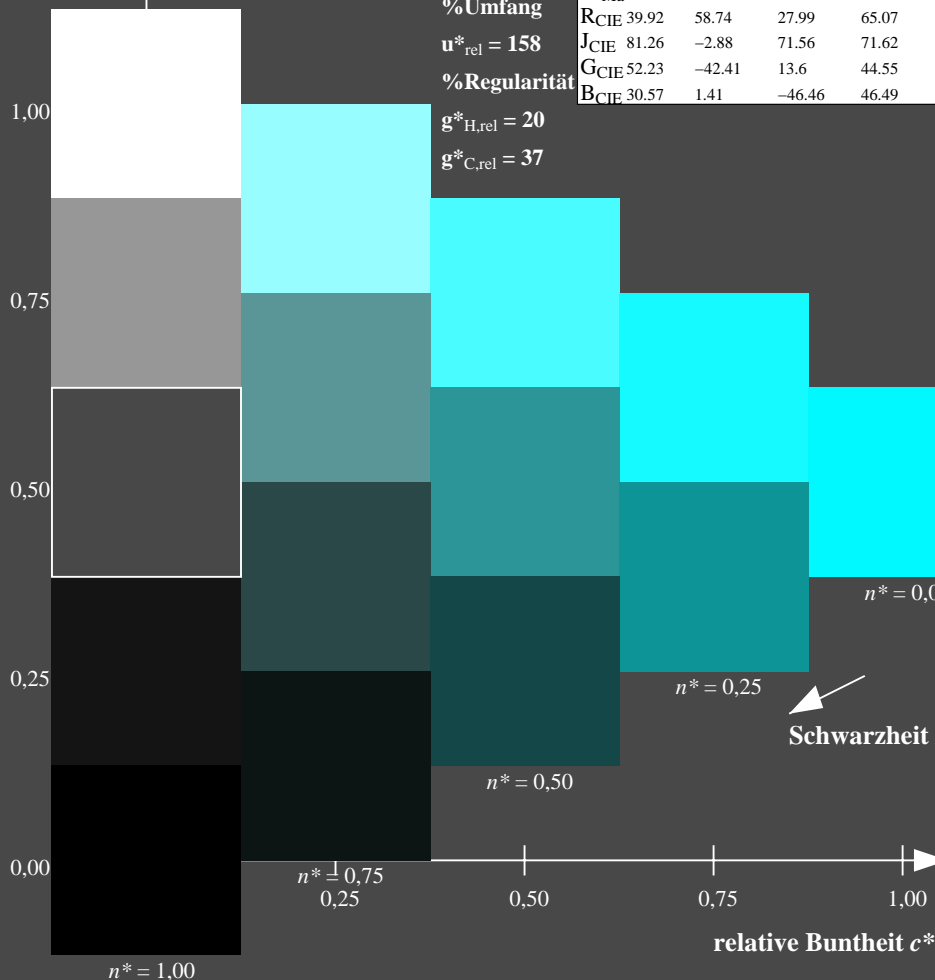
%Regularität

$g^*_{H,rel} = 20$

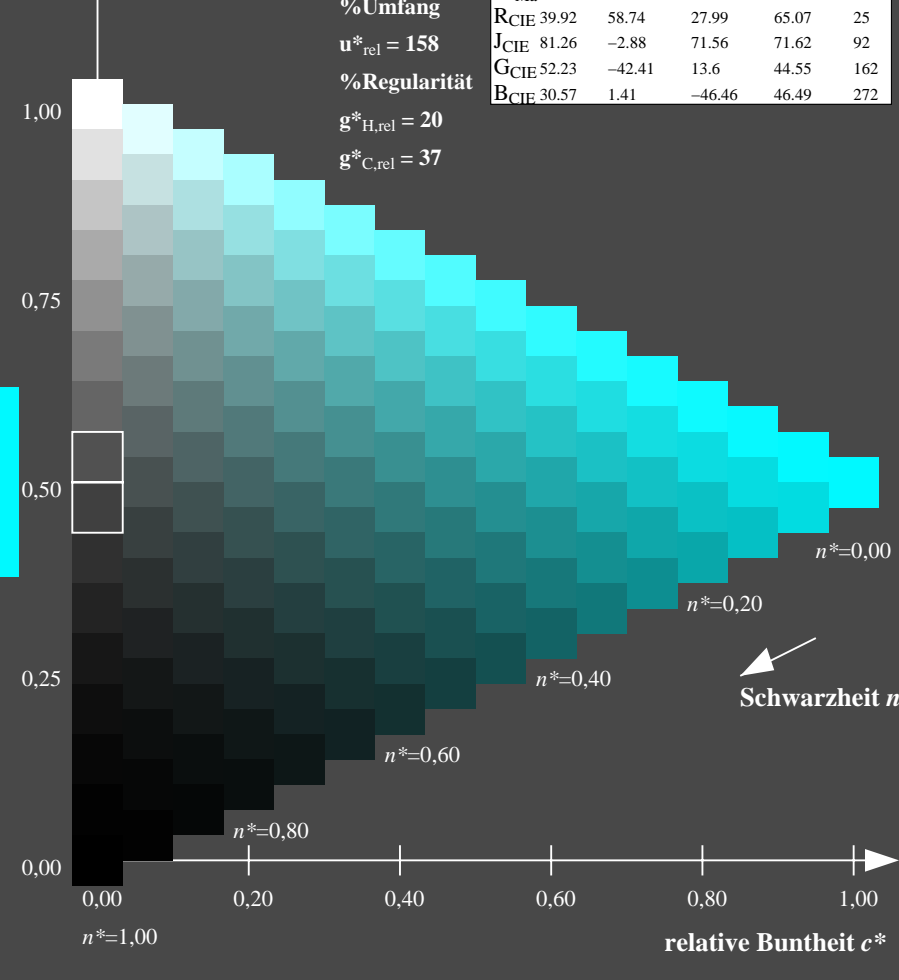
$g^*_{C,rel} = 37$

TLS00a; adaptierte CIELAB-Daten

	$L^*=L^*_a$	a^*_a	b^*_a	$C^*_{ab,a}$	$h^*_{ab,a}$
O _{Ma}	50.5	76.92	64.55	100.42	40
Y _{Ma}	92.66	-20.69	90.75	93.08	103
L _{Ma}	83.63	-82.75	79.9	115.04	136
C _{Ma}	86.88	-46.16	-13.55	48.12	196
V _{Ma}	30.39	76.06	-103.59	128.52	306
M _{Ma}	57.3	94.35	-58.41	110.97	328
N _{Ma}	0.01	0.0	0.0	0.0	0
W _{Ma}	95.41	0.0	0.0	0.0	0
R _{CIE}	39.92	58.74	27.99	65.07	25
J _{CIE}	81.26	-2.88	71.56	71.62	92
G _{CIE}	52.23	-42.41	13.6	44.55	162
B _{CIE}	30.57	1.41	-46.46	46.49	272



OG820-7N-136-8: 5-stufige Reihen für konstanten CIELAB Buntton 162/360 = 0.451 (links)



16-stufige Reihen für konstanten CIELAB Buntton 162/360 = 0.451 (rechts)

OG82: Prüfvorlage 1 nach DIN 33872-2, Buntton G; 1MR, DEEHEingabe: $rgb \rightarrow rgb^*_{dee}$ setrgbcol
Unterscheidbarkeit von 5- und 16-stufigen Farbreihen
Ausgabe 130-8: $g_p=1.0$; $g_N=1.81$

Eingabe: Farbmétrisches Fernseh-Licht-System TLS00a

für Buntton $h^* = lab^*h = 272/360 = 0.755$

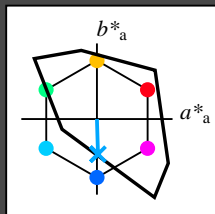
lab^*tch und lab^*nch

D65: Buntton B

LCH*Ma: 65 49 272

olv*Ma: 0.0 0.61 1.0

Dreiecks-Helligkeit t^*



%Umfang

$u^*_{rel} = 158$

%Regularität

$g^*_{H,rel} = 20$

$g^*_{C,rel} = 37$

TLS00a; adaptierte CIELAB-Daten

	$L^*=L^*_a$	a^*_a	b^*_a	$C^*_{ab,a}$	$h^*_{ab,a}$
O _{Ma}	50.5	76.92	64.55	100.42	40
Y _{Ma}	92.66	-20.69	90.75	93.08	103
L _{Ma}	83.63	-82.75	79.9	115.04	136
C _{Ma}	86.88	-46.16	-13.55	48.12	196
V _{Ma}	30.39	76.06	-103.59	128.52	306
M _{Ma}	57.3	94.35	-58.41	110.97	328
N _{Ma}	0.01	0.0	0.0	0.0	0
W _{Ma}	95.41	0.0	0.0	0.0	0
R _{CIE}	39.92	58.74	27.99	65.07	25
J _{CIE}	81.26	-2.88	71.56	71.62	92
G _{CIE}	52.23	-42.41	13.6	44.55	162
B _{CIE}	30.57	1.41	-46.46	46.49	272

Ausgabe: Farbmétrisches Fernseh-Licht-System TLS00a

für Buntton $h^* = lab^*h = 272/360 = 0.755$

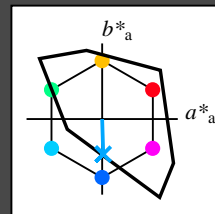
lab^*tch und lab^*nch

D65: Buntton B

LCH*Ma: 65 49 272

olv*Ma: 0.0 0.61 1.0

Dreiecks-Helligkeit t^*



%Umfang

$u^*_{rel} = 158$

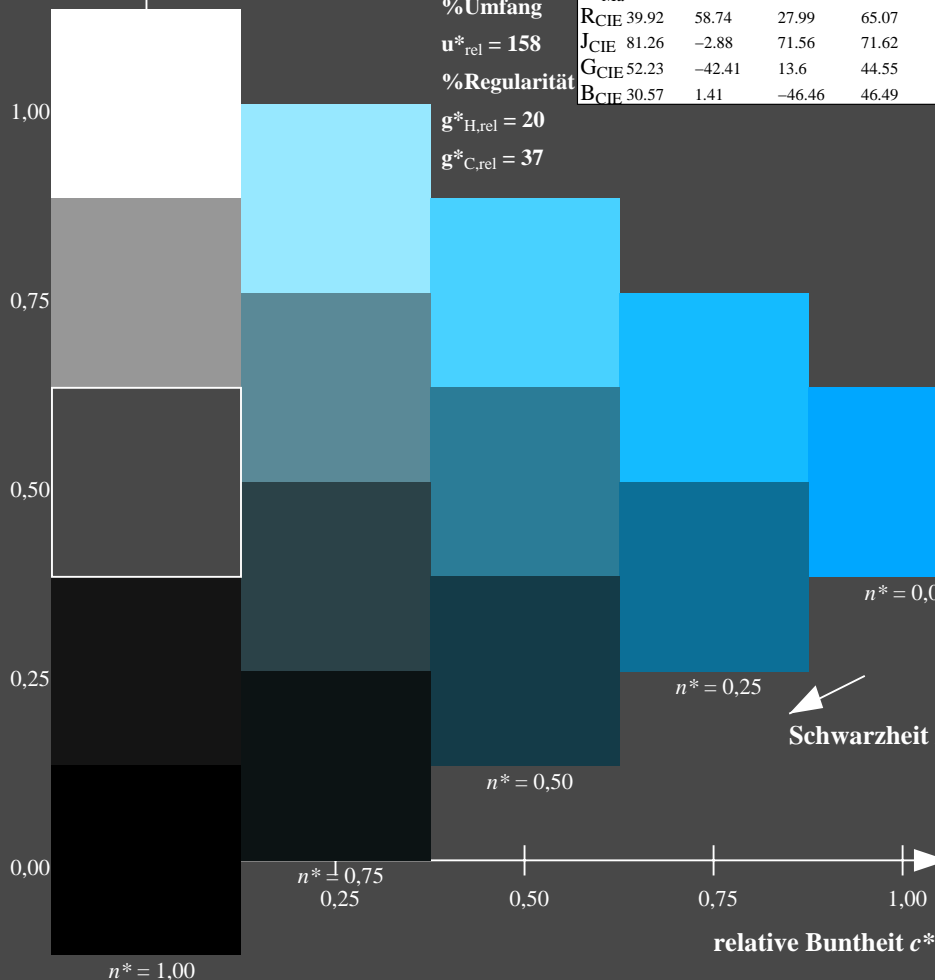
%Regularität

$g^*_{H,rel} = 20$

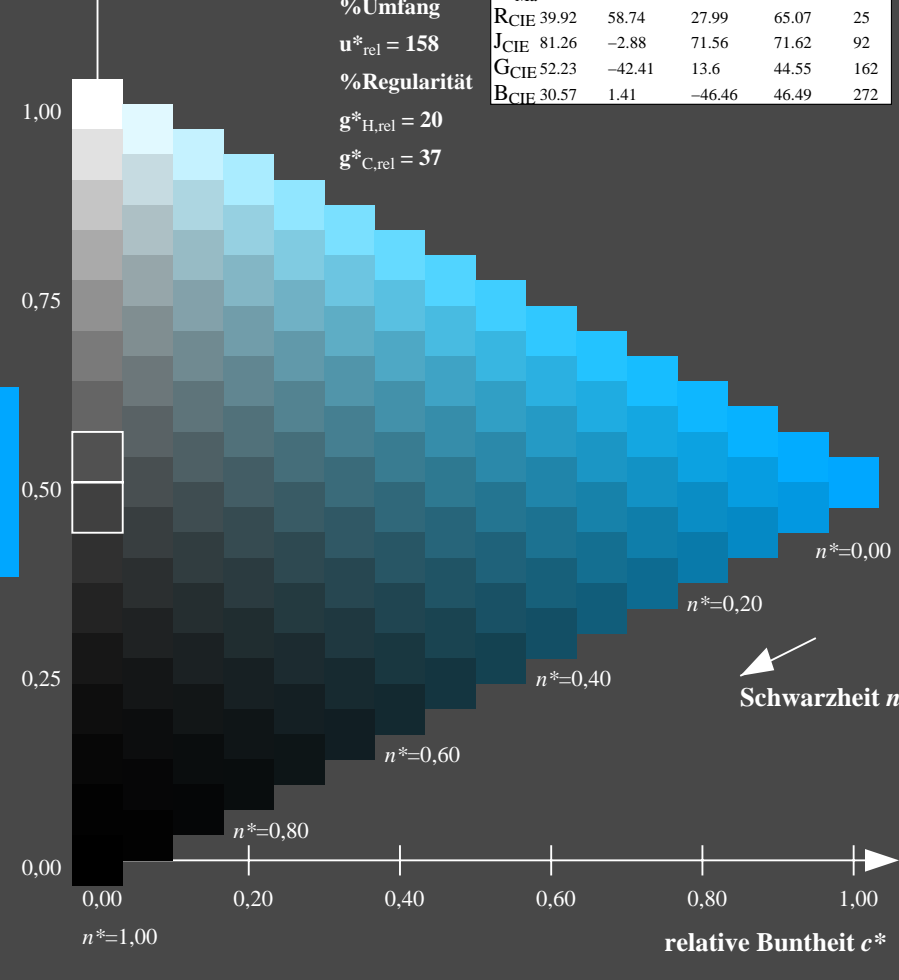
$g^*_{C,rel} = 37$

TLS00a; adaptierte CIELAB-Daten

	$L^*=L^*_a$	a^*_a	b^*_a	$C^*_{ab,a}$	$h^*_{ab,a}$
O _{Ma}	50.5	76.92	64.55	100.42	40
Y _{Ma}	92.66	-20.69	90.75	93.08	103
L _{Ma}	83.63	-82.75	79.9	115.04	136
C _{Ma}	86.88	-46.16	-13.55	48.12	196
V _{Ma}	30.39	76.06	-103.59	128.52	306
M _{Ma}	57.3	94.35	-58.41	110.97	328
N _{Ma}	0.01	0.0	0.0	0.0	0
W _{Ma}	95.41	0.0	0.0	0.0	0
R _{CIE}	39.92	58.74	27.99	65.07	25
J _{CIE}	81.26	-2.88	71.56	71.62	92
G _{CIE}	52.23	-42.41	13.6	44.55	162
B _{CIE}	30.57	1.41	-46.46	46.49	272



OG820-7N-136-9: 5-stufige Reihen für konstanten CIELAB Buntton 272/360 = 0.755 (links)

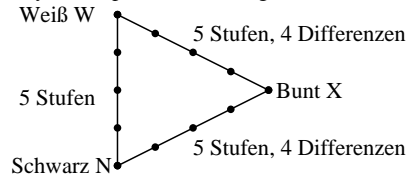


16-stufige Reihen für konstanten CIELAB Buntton 272/360 = 0.755 (rechts)

OG82: Prüfvorlage 1 nach DIN 33872-2, Buntton B; 1MR, DEEHEingabe: rgb (->rgb*dee) setrgbcold
Ausgabe 130-9: $g_P=1.0$; $g_N=1.81$

Unterscheidbarkeit von 5-stufigen Farbreihen (Ja/Nein-Entscheidung)

Layoutbeispiel: drei 5-stufige Farbreihen



Es gibt drei Grundfarben auf jeder Seite:
Schwarz N, Weiß W und Bunt X.
Zehn Seiten enthalten 10 Bunttonebenen
X = OYLCVM und RJGB.
Es gibt maximal 12 unterscheidbare Stufen.

Alle Stufen der drei Serien N-W, W-X und X-N sollen unterscheidbar sein auf **allen** Seiten.
Sind die drei 5-stufigen Reihen auf allen Seiten unterscheidbar? unterstreiche: Ja/Nein

Nur im Fall von Nein: Sind die drei 5-stufigen Reihen auf Seite x von 10 Seiten unterscheidbar?
Unterstreiche Ja/Nein und gib im Fall von Nein die Anzahl unterscheidbarer Stufen an
Seite 1: Ja/Nein, wenn Nein ../12 Stufendifferenzen sind unterscheidbar von O = Orangerot
Seite 2: Ja/Nein, wenn Nein ../12 Stufendifferenzen sind unterscheidbar von Y = Gelb
Seite 3: Ja/Nein, wenn Nein ../12 Stufendifferenzen sind unterscheidbar von L = Laubgrün
Seite 4: Ja/Nein, wenn Nein ../12 Stufendifferenzen sind unterscheidbar von C = Cyanblau
Seite 5: Ja/Nein, wenn Nein ../12 Stufendifferenzen sind unterscheidbar von V = Violettblau
Seite 6: Ja/Nein, wenn Nein ../12 Stufendifferenzen sind unterscheidbar von M = Magentarot
Seite 7: Ja/Nein, wenn Nein ../12 Stufendifferenzen sind unterscheidbar von R = Elementarrot
Seite 8: Ja/Nein, wenn Nein ../12 Stufendifferenzen sind unterscheidbar von J = Elementargelb
Seite 9: Ja/Nein, wenn Nein ../12 Stufendifferenzen sind unterscheidbar von G = Elementargrün
Seite 10: Ja/Nein, wenn Nein ../12 Stufendifferenzen sind unterscheidbar von B = Elementarblau

Summe: ../10 Ja-Seiten und ../120 Stufendifferenzen unterscheidbar

Teil 1

OG820-3N-136-10

Dokumentation von Dateiformat, Hard- und Software für diese Prüfung:

PDF-Datei: http://130.149.60.45/farbmetrik/OG82/OG82L0NP.PDF **unterstreiche Ja/Nein**

PS-Datei: http://130.149.60.45/farbmetrik/OG82/OG82L0NA.PS **oder unterstreiche Ja/Nein**

benutztes Rechner-Betriebssystem:

nur eines von Windows/Mac/Unix/anderes und Version:.....

Die Beurteilung ist für die Geräteausgabe: unterstreiche Monitor/Datenprojektor/Drucker

Geräte-Modell, -Treiber und -Version:.....

Geräteausgabe mit PDF/PS-Datei: unterstreiche PDF-/PS-Datei

Für Geräteausgabe mit PDF-Datei OG82L0NP.PDF:

entweder PDF-Dateitransfer "download, copy" nach PDF-Gerät.....
oder mit Rechnersystem-Interpretation durch "Display-PDF":.....
oder mit Software, z. B. Adobe-Reader/-Acrobat und Version:.....
oder mit Software, z. B. Ghostscript und Version:.....

Für Geräteausgabe mit PS-Datei OG82L0NA.PS:

entweder PS-Dateitransfer "download, copy" nach PS-Gerät.....
oder mit Rechnersystem-Interpretation durch "Display-PS":.....
oder mit Software, z. B. Ghostscript und Version:.....
oder mit Software, z. B. Mac-Yap und Version:.....

Spezielle Anmerkungen:

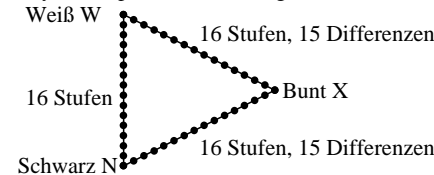
.....
.....
.....

Teil 3

OG820-7N-136-10

Unterscheidbarkeit von 16-stufigen Farbreihen (Ja/Nein-Entscheidung)

Layoutbeispiel: drei 16-stufige Farbreihen



Es gibt drei Grundfarben auf jeder Seite:
Schwarz N, Weiß W und Bunt X.
Zehn Seiten enthalten 10 Bunttonebenen
X = OYLCVM und RJGB.
Es gibt maximal 45 unterscheidbare Stufen.

Alle Stufen der drei Serien N-W, W-X und X-N sollen unterscheidbar sein auf **allen** Seiten.
Sind die drei 16-stufigen Reihen auf allen Seiten unterscheidbar? unterstreiche: Ja/Nein

Nur im Fall von Nein: Sind die drei 16-stufigen Reihen auf Seite x von 10 Seiten unterscheidbar?
Unterstreiche Ja/Nein und gib im Fall von Nein die Anzahl unterscheidbarer Stufen an
Seite 1: Ja/Nein, wenn Nein ../45 Stufendifferenzen sind unterscheidbar von O = Orangerot
Seite 2: Ja/Nein, wenn Nein ../45 Stufendifferenzen sind unterscheidbar von Y = Gelb
Seite 3: Ja/Nein, wenn Nein ../45 Stufendifferenzen sind unterscheidbar von L = Laubgrün
Seite 4: Ja/Nein, wenn Nein ../45 Stufendifferenzen sind unterscheidbar von C = Cyanblau
Seite 5: Ja/Nein, wenn Nein ../45 Stufendifferenzen sind unterscheidbar von V = Violettblau
Seite 6: Ja/Nein, wenn Nein ../45 Stufendifferenzen sind unterscheidbar von M = Magentarot
Seite 7: Ja/Nein, wenn Nein ../45 Stufendifferenzen sind unterscheidbar von R = Elementarrot
Seite 8: Ja/Nein, wenn Nein ../45 Stufendifferenzen sind unterscheidbar von J = Elementargelb
Seite 9: Ja/Nein, wenn Nein ../45 Stufendifferenzen sind unterscheidbar von G = Elementargrün
Seite 10: Ja/Nein, wenn Nein ../45 Stufendifferenzen sind unterscheidbar von B = Elementarblau

Summe: ../10 Ja-Seiten und ../450 Stufendifferenzen unterscheidbar

Teil 2

OG821-3N-136-10

Dokumentation der Beurteiler-Farbseigenschaften für diese Prüfung:

Der Beurteiler hat **normales** Farbsehen nach einer Prüfung:
entweder nach DIN 6160:1996 mit Anomalskop nach *Nagel*
oder mit Farbpunkt-Prüftafeln nach *Ishihara*
oder mit, bitte nennen:.....

unterstreiche Ja/Nein
unterstreiche Ja/unbekannt
unterstreiche Ja/unbekannt
unterstreiche Ja/unbekannt

Für visuelle Bewertung der Display(Monitor, Daten-Projektor)-Ausgabe

Büro-Arbeitsplatz-Beleuchtung ist Tageslicht (bedeckter/Nordhimmel)

PDF-Datei: http://130.149.60.45/farbmetrik/OG82/OG82F1P2.PDF

PS-Datei: http://130.149.60.45/farbmetrik/OG82/OG82F1P2.PS

Bild A7-136-2: Kontrastbereich: (>F:0) (F:0) (E:0) (D:0) (C:0) (A:0) (9:0) (7:0) (5:0) (3:0) (<3:0)

vergleiche Normdruckausgabe nach ISO/IEC 15775 mit Bereich F:0

Anmerkung: Bei Tageslichtbürobeleuchtung ist der Kontrastbereich oft:

am Display zwischen: >F:0 und E:0 (Monitor), D:0 und 3:0 (Datenprojektor)

Nur für optionale farbmimetrische Kennzeichnung mit PDF/PS-Dateiausgabe

PDF-Datei: http://130.149.60.45/farbmetrik/OG82/OG82F1P2.PDF

Bild A7-136-2

unterstreiche Ja/Nein

PS-Datei: http://130.149.60.45/farbmetrik/OG82/OG82F1P2.PS

Bild A7-136-2

oder unterstreiche Ja/Nein

Farbmessung und Kennzeichnung für:

CIE-Normlichtart D65, CIE-2-Grad-Beobachter, CIE-45/0-Geometrie

unterstreiche Ja/Nein

Wenn Nein, bitte andere Parameter nennen:

Farbmimetrische Kennzeichnung mit PS-Datei für Farben der Spalten A bis T

Ersatz der CIELAB-Daten in Datei www.ps.bam.de/Dg17/10L/L17g00NP.PS und Transfer

der PS-Datei L17g00NP.PS in PDF-Datei L17g00NP.PDF

unterstreiche Ja/Nein

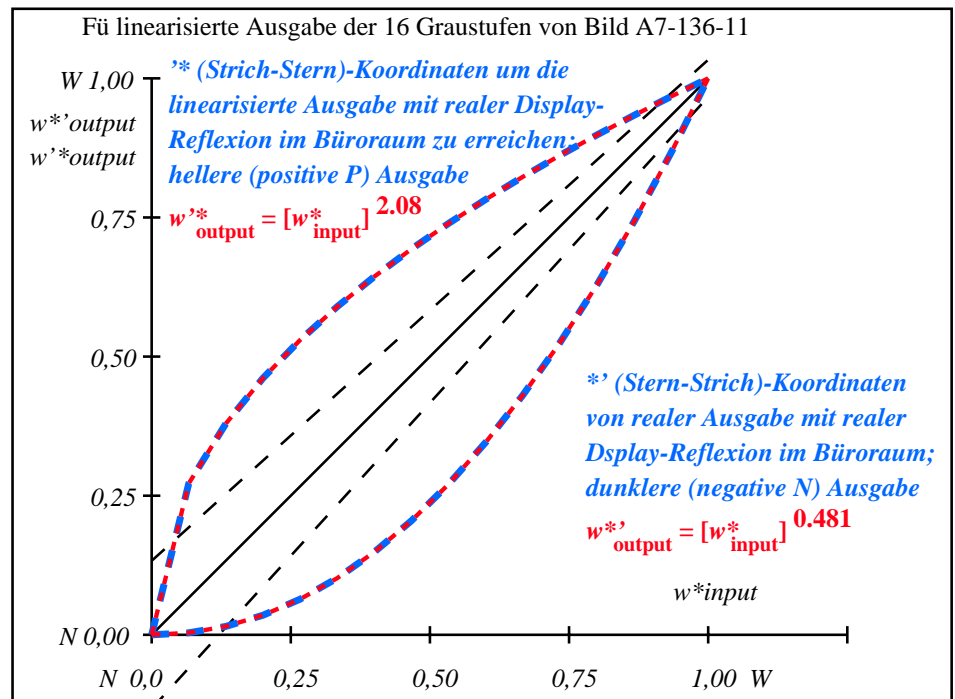
Wenn Nein, bitte andere Methode beschreiben:

Teil 4

OG821-7N-136-10

i	LAB*ref	l*out	LAB*out	LAB*out/c-ref	ΔE*	Start-Ausgabe S1
1	52.02 0.0 0.0	0.0 52.02 0.0	0.0 0.0 0.0	0.0 0.0 0.0	0.01	Kennzeichnung nach
2	54.91 0.0 0.0	0.0 52.17 0.0	0.0 -2.73 0.0	0.0 0.0 0.0	2.74	ISO/IEC 15775 Anhang G
3	57.8 0.0 0.0	0.02 52.67 0.0	0.0 -5.12 0.0	0.0 0.0 0.0	5.13	und DIN 33866-1 Anhang G
4	60.7 0.0 0.0	0.04 53.54 0.0	0.0 -7.14 0.0	0.0 0.0 0.0	7.15	
5	63.59 0.0 0.0	0.06 54.79 0.0	0.0 -8.79 0.0	0.0 0.0 0.0	8.8	
6	66.48 0.0 0.0	0.1 56.43 0.0	0.0 -10.04 0.0	0.0 0.0 0.0	10.05	
7	69.37 0.0 0.0	0.15 58.47 0.0	0.0 -10.89 0.0	0.0 0.0 0.0	10.9	
8	72.27 0.0 0.0	0.2 60.91 0.0	0.0 -11.35 0.0	0.0 0.0 0.0	11.36	
9	75.16 0.0 0.0	0.27 63.75 0.0	0.0 -11.4 0.0	0.0 0.0 0.0	11.41	
10	78.05 0.0 0.0	0.35 67.01 0.0	0.0 -11.03 0.0	0.0 0.0 0.0	11.04	
11	80.95 0.0 0.0	0.43 70.69 0.0	0.0 -10.25 0.0	0.0 0.0 0.0	10.26	
12	83.84 0.0 0.0	0.52 74.78 0.0	0.0 -9.05 0.0	0.0 0.0 0.0	9.06	
13	86.73 0.0 0.0	0.63 79.3 0.0	0.0 -7.42 0.0	0.0 0.0 0.0	7.43	
14	89.62 0.0 0.0	0.74 84.24 0.0	0.0 -5.38 0.0	0.0 0.0 0.0	5.39	
15	92.52 0.0 0.0	0.87 89.61 0.0	0.0 -2.9 0.0	0.0 0.0 0.0	2.91	Mittlerer Helligkeitsabstand (16 Stufen)
16	95.41 0.0 0.0	1.0 95.41 0.0	0.0 0.0 0.0	0.0 0.0 0.0	0.01	ΔE*CIELAB = 7.1
17	52.02 0.0 0.0	0.0 52.02 0.0	0.0 0.0 0.0	0.0 0.0 0.0	0.01	
18	62.87 0.0 0.0	0.06 54.44 0.0	0.0 -8.41 0.0	0.0 0.0 0.0	8.42	
19	73.71 0.0 0.0	0.24 62.28 0.0	0.0 -11.42 0.0	0.0 0.0 0.0	11.43	
20	84.56 0.0 0.0	0.55 75.87 0.0	0.0 -8.68 0.0	0.0 0.0 0.0	8.69	Mittlerer Helligkeitsabstand (5 Stufen)
21	95.41 0.0 0.0	1.0 95.41 0.0	0.0 0.0 0.0	0.0 0.0 0.0	0.01	ΔL*CIELAB = 5.7
Mittlerer Farbwiedergabe-Index:					R* _{ab,m} = 69	

OG820-3N-136-11: File: Measure unknown; Device: Device unknown; Date: Date unknown



OG821-3N-136-11: File: Measure unknown; Device: Device unknown; Date: Date unknown

L^*/Y_{intended} (absolut)	52.0/20.2	54.9/22.8	57.8/25.8	60.7/28.9	63.6/32.3	66.5/36.0	69.4/39.9	72.3/44.1	75.2/48.5	78.1/53.3	80.9/58.4	83.8/63.8	86.7/69.5	89.6/75.5	92.5/81.9	95.4/88.6
$w^* w^* w^*$ setrgb $g_N=2.08$																
Nr. und Hex-Code	00;F	01;E	02;D	03;C	04;B	05;A	06;9	07;8	08;7	09;6	10;5	11;4	12;3	13;2	14;1	15;0
$w^*=l^*_{\text{CIELAB},r}$ (relativ)																
w^*_{intended}	0.000	0.067	0.133	0.200	0.267	0.333	0.400	0.467	0.533	0.600	0.667	0.733	0.800	0.867	0.933	1.000
w^*_{out}	0.0	0.004	0.015	0.035	0.064	0.102	0.149	0.205	0.27	0.346	0.431	0.524	0.629	0.743	0.866	1.0

OG820-7N, Bild A7-136-11: 16 visuell gleichabständige L^* -Graustufen; PS-Operator: $w^* w^* w^* \text{setrgbcolor}$

OG82: Ein-Ausgabe-Beziehung nach ISO 9241-306; 1MR, DEH Eingabe: $rgb \rightarrow rgb^*_{\text{de}}$ setrgbcolor
Gesehener Y-Kontrast $Y_W:Y_N=88,9:20$; Y_N -Bereich 15 to <30 Ausgabe 130-11: $g_P=1.0$; $g_N=1.81$

Eingabe: Farbmatisches Fernseh-Licht-System TLS00a

für Buntton $h^* = lab^*h = 40/360 = 0.111$

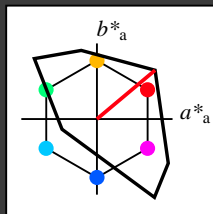
lab^*tch und lab^*nch

D65: Buntton O

LCH*Ma: 51 100 40

olv*Ma: 1.0 0.0 0.0

Dreiecks-Helligkeit t^*



%Umfang

$u^*_{rel} = 158$

%Regularität

$g^*_{H,rel} = 20$

$g^*_{C,rel} = 37$

TLS00a; adaptierte CIELAB-Daten

	$L^*=L^*_a$	a^*_a	b^*_a	$C^*_{ab,a}$	$h^*_{ab,a}$
O _{Ma}	50.5	76.92	64.55	100.42	40
Y _{Ma}	92.66	-20.69	90.75	93.08	103
L _{Ma}	83.63	-82.75	79.9	115.04	136
C _{Ma}	86.88	-46.16	-13.55	48.12	196
V _{Ma}	30.39	76.06	-103.59	128.52	306
M _{Ma}	57.3	94.35	-58.41	110.97	328
N _{Ma}	0.01	0.0	0.0	0.0	0
W _{Ma}	95.41	0.0	0.0	0.0	0
R _{CIE}	39.92	58.74	27.99	65.07	25
J _{CIE}	81.26	-2.88	71.56	71.62	92
G _{CIE}	52.23	-42.41	13.6	44.55	162
B _{CIE}	30.57	1.41	-46.46	46.49	272

Ausgabe: Farbmatisches Fernseh-Licht-System TLS00a

für Buntton $h^* = lab^*h = 40/360 = 0.111$

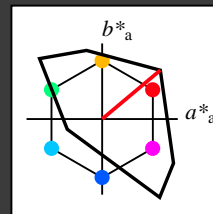
lab^*tch und lab^*nch

D65: Buntton O

LCH*Ma: 51 100 40

olv*Ma: 1.0 0.0 0.0

Dreiecks-Helligkeit t^*



%Umfang

$u^*_{rel} = 158$

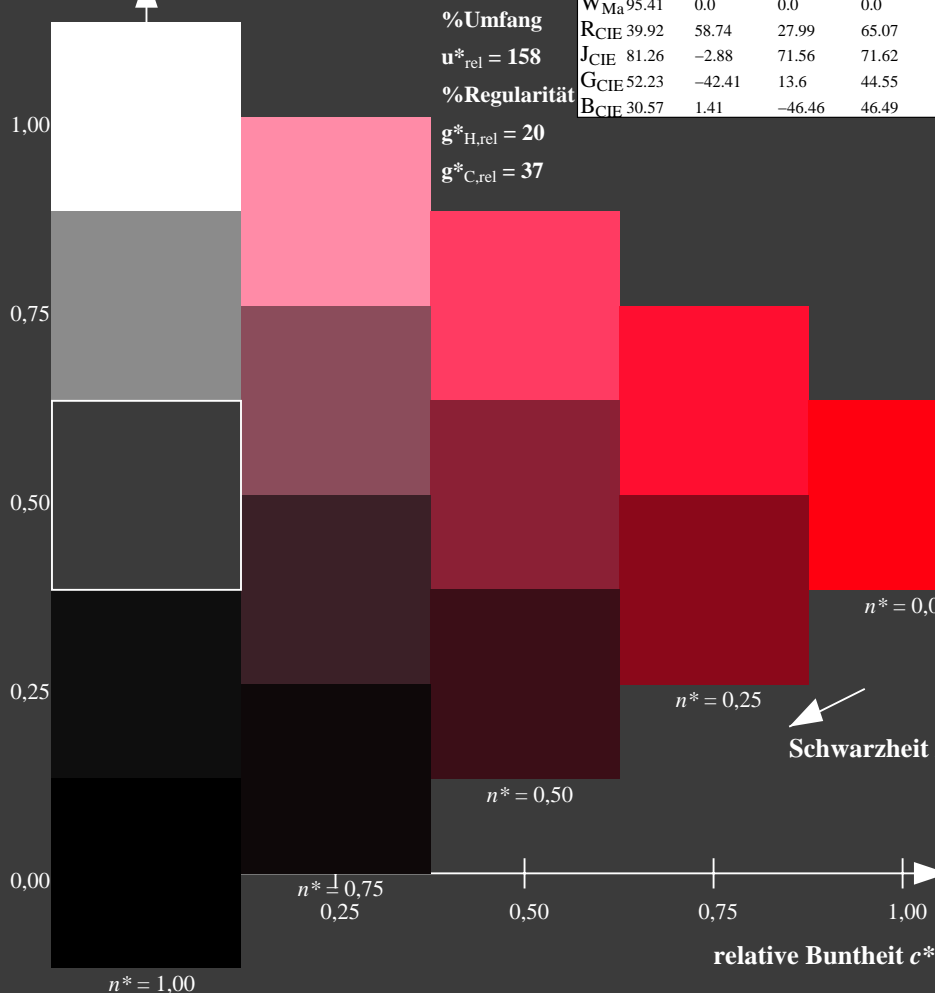
%Regularität

$g^*_{H,rel} = 20$

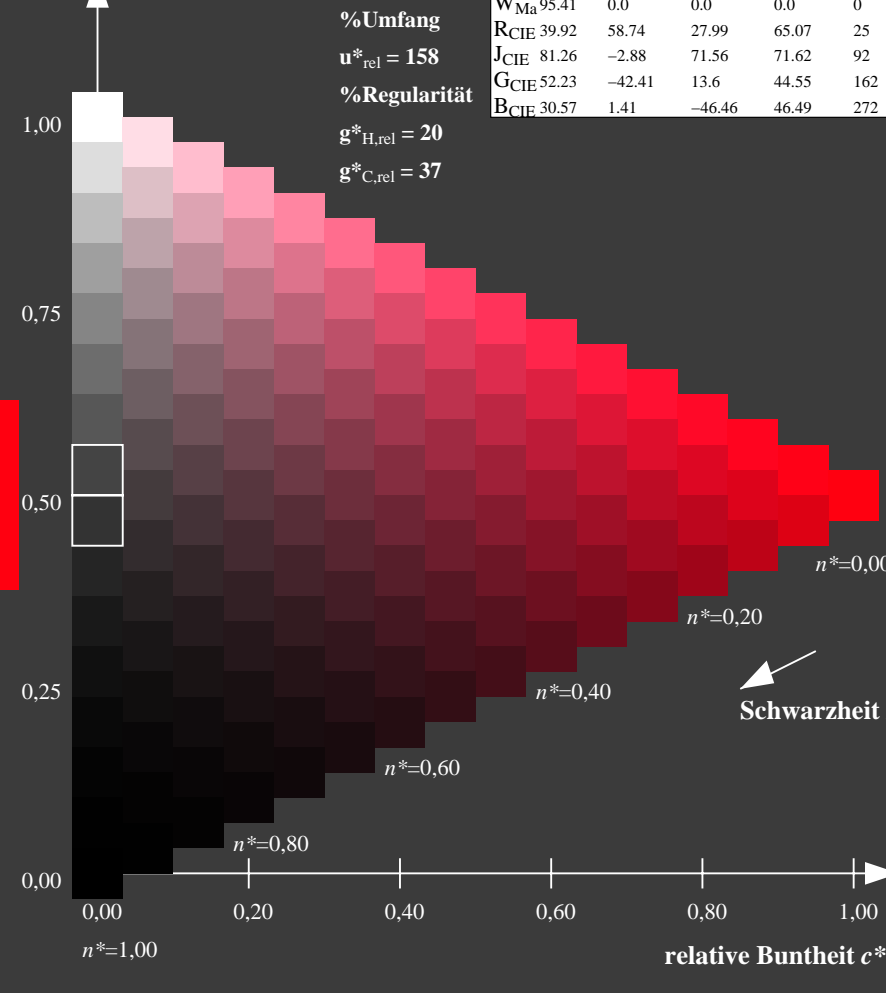
$g^*_{C,rel} = 37$

TLS00a; adaptierte CIELAB-Daten

	$L^*=L^*_a$	a^*_a	b^*_a	$C^*_{ab,a}$	$h^*_{ab,a}$
O _{Ma}	50.5	76.92	64.55	100.42	40
Y _{Ma}	92.66	-20.69	90.75	93.08	103
L _{Ma}	83.63	-82.75	79.9	115.04	136
C _{Ma}	86.88	-46.16	-13.55	48.12	196
V _{Ma}	30.39	76.06	-103.59	128.52	306
M _{Ma}	57.3	94.35	-58.41	110.97	328
N _{Ma}	0.01	0.0	0.0	0.0	0
W _{Ma}	95.41	0.0	0.0	0.0	0
R _{CIE}	39.92	58.74	27.99	65.07	25
J _{CIE}	81.26	-2.88	71.56	71.62	92
G _{CIE}	52.23	-42.41	13.6	44.55	162
B _{CIE}	30.57	1.41	-46.46	46.49	272



OG820-7N-137-0: 5-stufige Reihen für konstanten CIELAB Buntton 40/360 = 0.111 (links)



16-stufige Reihen für konstanten CIELAB Buntton 40/360 = 0.111 (rechts)

OG82: Prüfvorlage 1 nach DIN 33872-2, Buntton O; 1MR, DEH
Unterscheidbarkeit von 5- und 16-stufigen Farbreihen

Eingabe: $rgb (-> rgb^*_{de})$ $setrgbcolor$
Ausgabe 130-0: $g_p=1.0$; $g_N=2.1$

Eingabe: Farbmétrisches Fernseh-Licht-System TLS00a

für Buntton $h^* = lab^*h = 103/360 = 0.286$

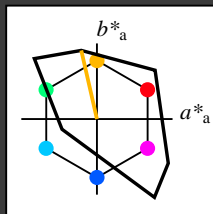
lab^*tch und lab^*nch

D65: Buntton Y

LCH*Ma: 93 93 103

olv*Ma: 1.0 1.0 0.0

Dreiecks-Helligkeit t^*



%Umfang

$u^*_{rel} = 158$

%Regularität

$g^*_{H,rel} = 20$

$g^*_{C,rel} = 37$

TLS00a; adaptierte CIELAB-Daten

	$L^*=L^*_a$	a^*_a	b^*_a	$C^*_{ab,a}$	$h^*_{ab,a}$
O _{Ma}	50.5	76.92	64.55	100.42	40
Y _{Ma}	92.66	-20.69	90.75	93.08	103
L _{Ma}	83.63	-82.75	79.9	115.04	136
C _{Ma}	86.88	-46.16	-13.55	48.12	196
V _{Ma}	30.39	76.06	-103.59	128.52	306
M _{Ma}	57.3	94.35	-58.41	110.97	328
N _{Ma}	0.01	0.0	0.0	0.0	0
W _{Ma}	95.41	0.0	0.0	0.0	0
R _{CIE}	39.92	58.74	27.99	65.07	25
J _{CIE}	81.26	-2.88	71.56	71.62	92
G _{CIE}	52.23	-42.41	13.6	44.55	162
B _{CIE}	30.57	1.41	-46.46	46.49	272

Ausgabe: Farbmétrisches Fernseh-Licht-System TLS00a

für Buntton $h^* = lab^*h = 103/360 = 0.286$

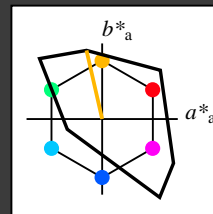
lab^*tch und lab^*nch

D65: Buntton Y

LCH*Ma: 93 93 103

olv*Ma: 1.0 1.0 0.0

Dreiecks-Helligkeit t^*



%Umfang

$u^*_{rel} = 158$

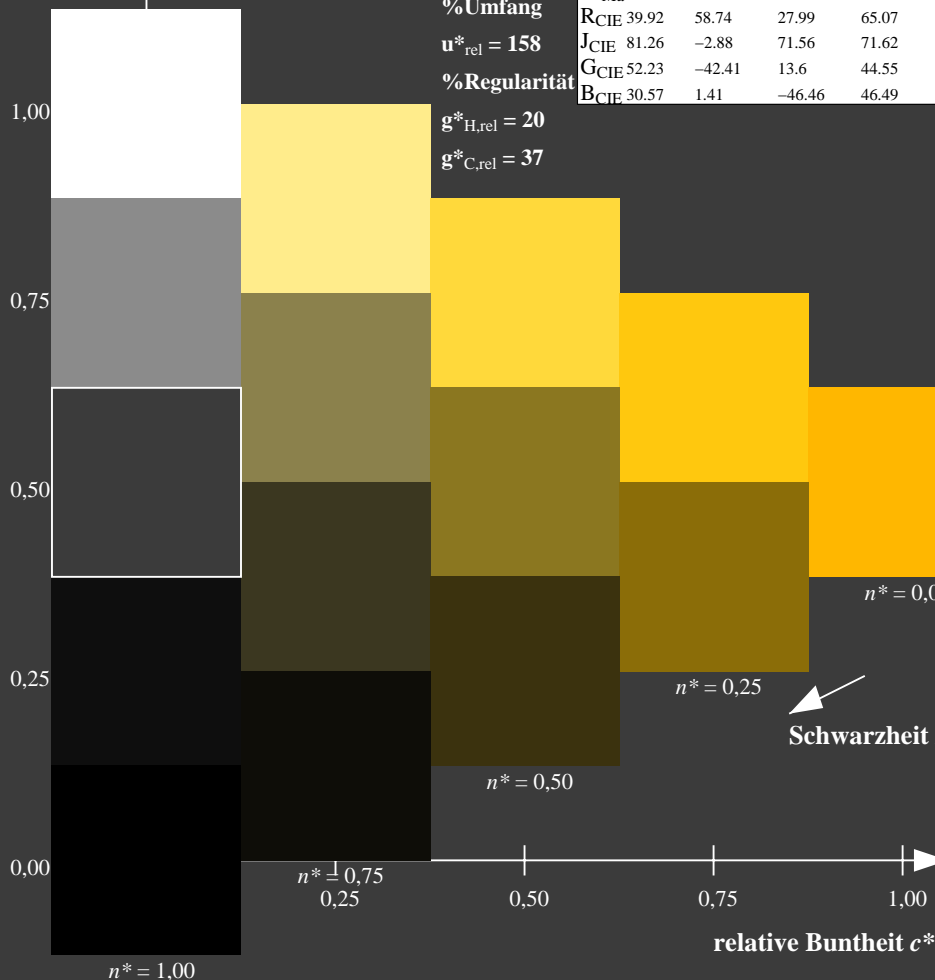
%Regularität

$g^*_{H,rel} = 20$

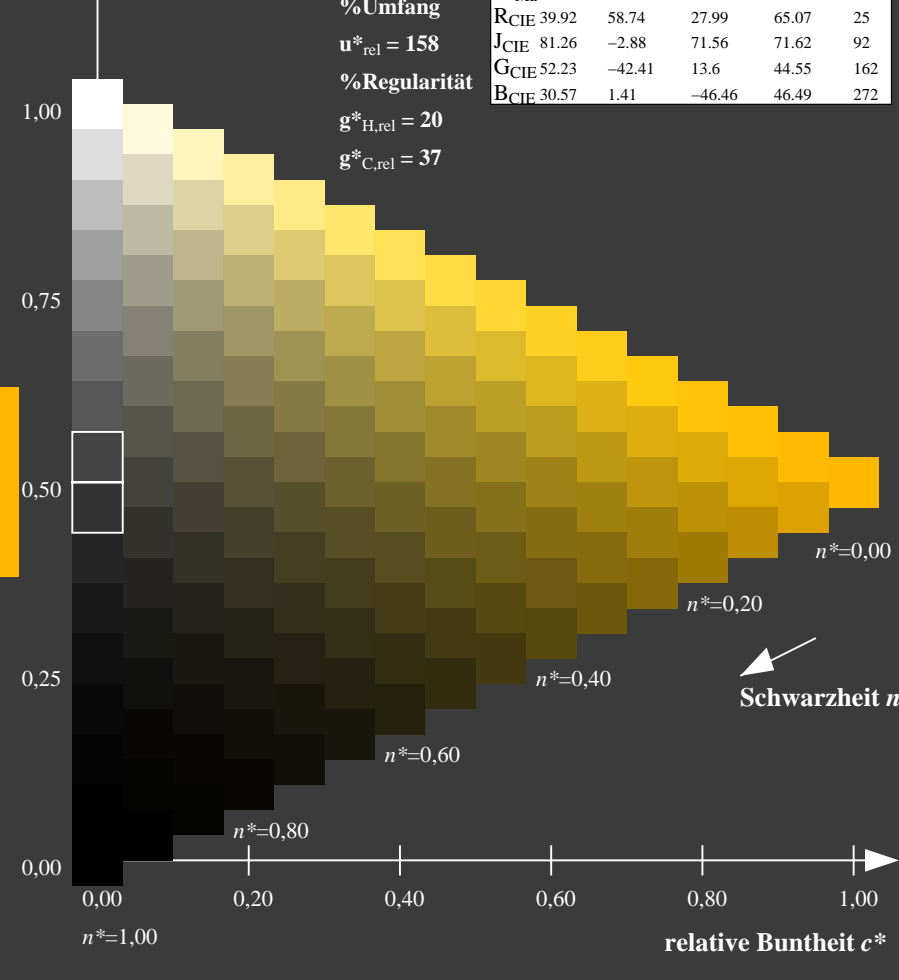
$g^*_{C,rel} = 37$

TLS00a; adaptierte CIELAB-Daten

	$L^*=L^*_a$	a^*_a	b^*_a	$C^*_{ab,a}$	$h^*_{ab,a}$
O _{Ma}	50.5	76.92	64.55	100.42	40
Y _{Ma}	92.66	-20.69	90.75	93.08	103
L _{Ma}	83.63	-82.75	79.9	115.04	136
C _{Ma}	86.88	-46.16	-13.55	48.12	196
V _{Ma}	30.39	76.06	-103.59	128.52	306
M _{Ma}	57.3	94.35	-58.41	110.97	328
N _{Ma}	0.01	0.0	0.0	0.0	0
W _{Ma}	95.41	0.0	0.0	0.0	0
R _{CIE}	39.92	58.74	27.99	65.07	25
J _{CIE}	81.26	-2.88	71.56	71.62	92
G _{CIE}	52.23	-42.41	13.6	44.55	162
B _{CIE}	30.57	1.41	-46.46	46.49	272



OG820-7N-137-1: 5-stufige Reihen für konstanten CIELAB Buntton 103/360 = 0.286 (links)



16-stufige Reihen für konstanten CIELAB Buntton 103/360 = 0.286 (rechts)

OG82: Prüfvorlage 1 nach DIN 33872-2, Buntton Y; 1MR, DEH
Eingabe: $rgb \rightarrow rgb^*_{de}$ setrgbcolor
Ausgabe 130-1: $g_p=1.0$; $g_N=2.1$

Eingabe: Farbmétrisches Fernseh-Licht-System TLS00a

für Buntton $h^* = lab^*h = 136/360 = 0.378$

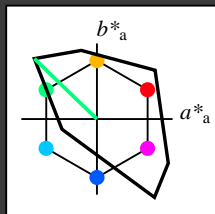
lab^*tch und lab^*nch

D65: Buntton L

LCH*Ma: 84 115 136

olv*Ma: 0.0 1.0 0.0

Dreiecks-Helligkeit t^*



%Umfang

$u^*_{rel} = 158$

%Regularität

$g^*_{H,rel} = 20$

$g^*_{C,rel} = 37$

TLS00a; adaptierte CIELAB-Daten

	$L^*=L^*_a$	a^*_a	b^*_a	$C^*_{ab,a}$	$h^*_{ab,a}$
O _{Ma}	50.5	76.92	64.55	100.42	40
Y _{Ma}	92.66	-20.69	90.75	93.08	103
L _{Ma}	83.63	-82.75	79.9	115.04	136
C _{Ma}	86.88	-46.16	-13.55	48.12	196
V _{Ma}	30.39	76.06	-103.59	128.52	306
M _{Ma}	57.3	94.35	-58.41	110.97	328
N _{Ma}	0.01	0.0	0.0	0.0	0
W _{Ma}	95.41	0.0	0.0	0.0	0
R _{CIE}	39.92	58.74	27.99	65.07	25
J _{CIE}	81.26	-2.88	71.56	71.62	92
G _{CIE}	52.23	-42.41	13.6	44.55	162
B _{CIE}	30.57	1.41	-46.46	46.49	272

Ausgabe: Farbmétrisches Fernseh-Licht-System TLS00a

für Buntton $h^* = lab^*h = 136/360 = 0.378$

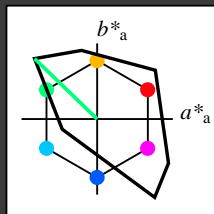
lab^*tch und lab^*nch

D65: Buntton L

LCH*Ma: 84 115 136

olv*Ma: 0.0 1.0 0.0

Dreiecks-Helligkeit t^*



%Umfang

$u^*_{rel} = 158$

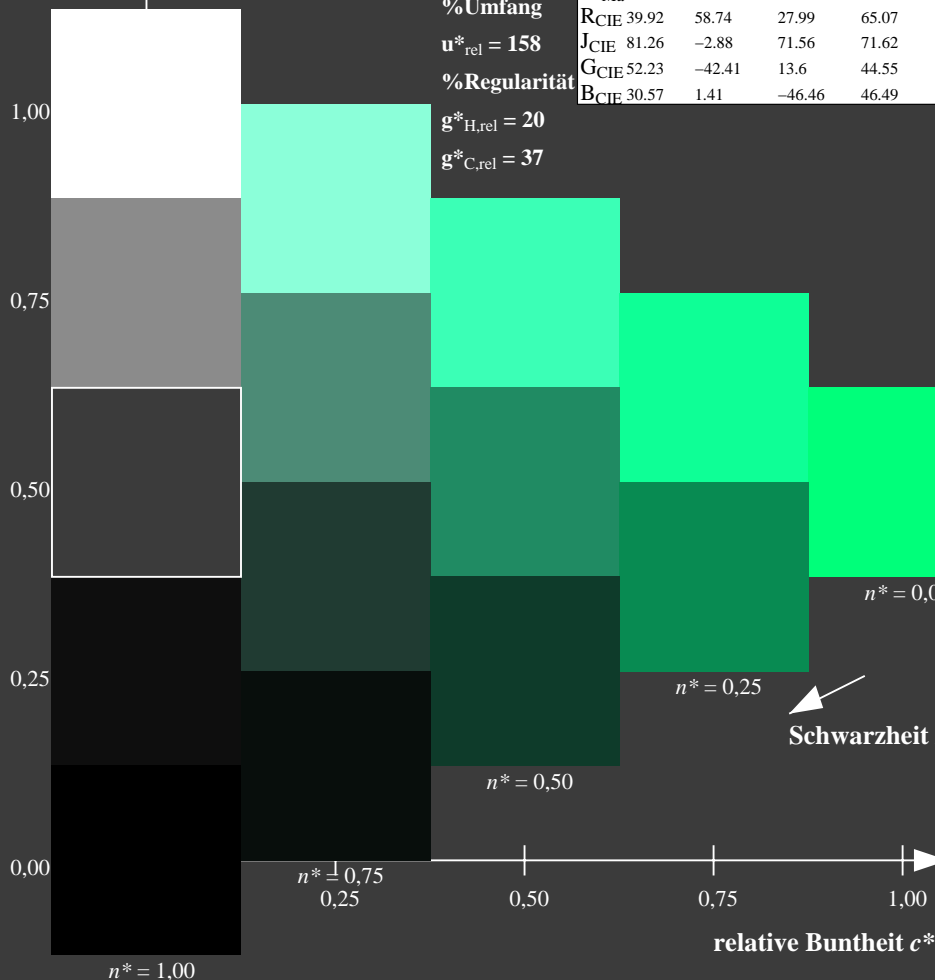
%Regularität

$g^*_{H,rel} = 20$

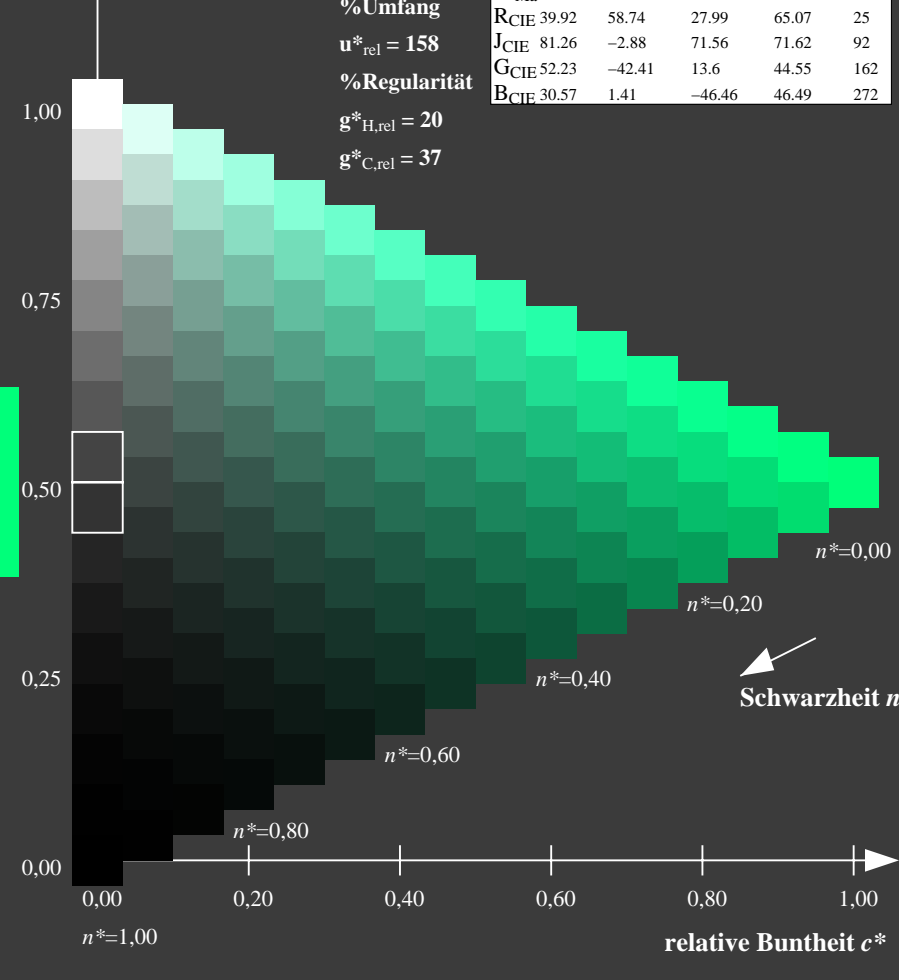
$g^*_{C,rel} = 37$

TLS00a; adaptierte CIELAB-Daten

	$L^*=L^*_a$	a^*_a	b^*_a	$C^*_{ab,a}$	$h^*_{ab,a}$
O _{Ma}	50.5	76.92	64.55	100.42	40
Y _{Ma}	92.66	-20.69	90.75	93.08	103
L _{Ma}	83.63	-82.75	79.9	115.04	136
C _{Ma}	86.88	-46.16	-13.55	48.12	196
V _{Ma}	30.39	76.06	-103.59	128.52	306
M _{Ma}	57.3	94.35	-58.41	110.97	328
N _{Ma}	0.01	0.0	0.0	0.0	0
W _{Ma}	95.41	0.0	0.0	0.0	0
R _{CIE}	39.92	58.74	27.99	65.07	25
J _{CIE}	81.26	-2.88	71.56	71.62	92
G _{CIE}	52.23	-42.41	13.6	44.55	162
B _{CIE}	30.57	1.41	-46.46	46.49	272



OG820-7N-137-2: 5-stufige Reihen für konstanten CIELAB Buntton 136/360 = 0.378 (links)



16-stufige Reihen für konstanten CIELAB Buntton 136/360 = 0.378 (rechts)

OG82: Prüfvorlage 1 nach DIN 33872-2, Buntton L; 1MR, DEH
Eingabe: $rgb \rightarrow rgb^*_{de}$ setrgbcolor
Ausgabe 130-2: $g_p=1.0$; $g_N=2.1$

Eingabe: Farbmatisches Fernseh-Licht-System TLS00a

für Buntton $h^* = lab^*h = 196/360 = 0.545$

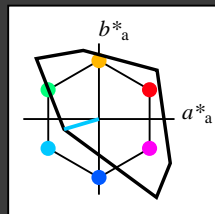
lab^*tch und lab^*nch

D65: Buntton C

LCH*Ma: 87 48 196

olv*Ma: 0.0 1.0 1.0

Dreiecks-Helligkeit t^*



%Umfang

$u^*_{rel} = 158$

%Regularität

$g^*_{H,rel} = 20$

$g^*_{C,rel} = 37$

TLS00a; adaptierte CIELAB-Daten

	$L^*=L^*_a$	a^*_a	b^*_a	$C^*_{ab,a}$	$h^*_{ab,a}$
O _{Ma}	50.5	76.92	64.55	100.42	40
Y _{Ma}	92.66	-20.69	90.75	93.08	103
L _{Ma}	83.63	-82.75	79.9	115.04	136
C _{Ma}	86.88	-46.16	-13.55	48.12	196
V _{Ma}	30.39	76.06	-103.59	128.52	306
M _{Ma}	57.3	94.35	-58.41	110.97	328
N _{Ma}	0.01	0.0	0.0	0.0	0
W _{Ma}	95.41	0.0	0.0	0.0	0
R _{CIE}	39.92	58.74	27.99	65.07	25
J _{CIE}	81.26	-2.88	71.56	71.62	92
G _{CIE}	52.23	-42.41	13.6	44.55	162
B _{CIE}	30.57	1.41	-46.46	46.49	272

Ausgabe: Farbmatisches Fernseh-Licht-System TLS00a

für Buntton $h^* = lab^*h = 196/360 = 0.545$

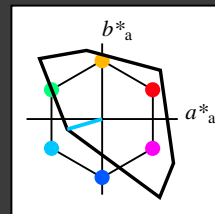
lab^*tch und lab^*nch

D65: Buntton C

LCH*Ma: 87 48 196

olv*Ma: 0.0 1.0 1.0

Dreiecks-Helligkeit t^*



%Umfang

$u^*_{rel} = 158$

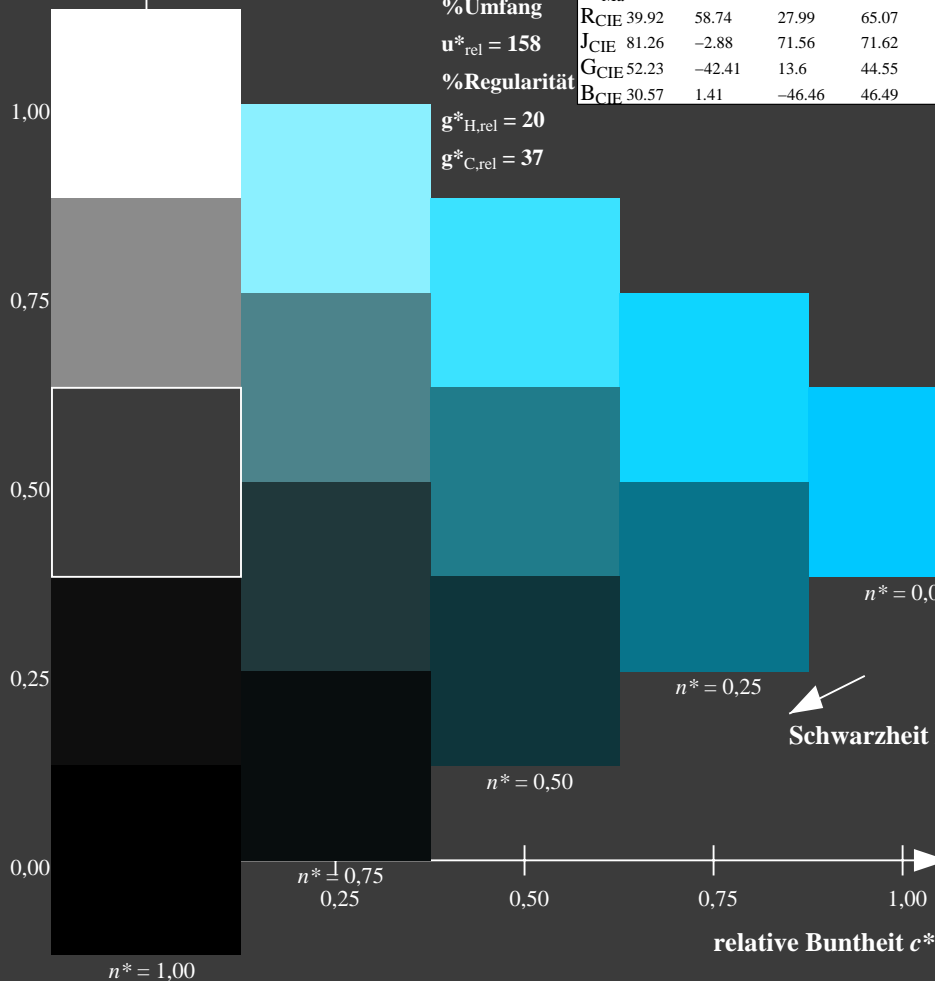
%Regularität

$g^*_{H,rel} = 20$

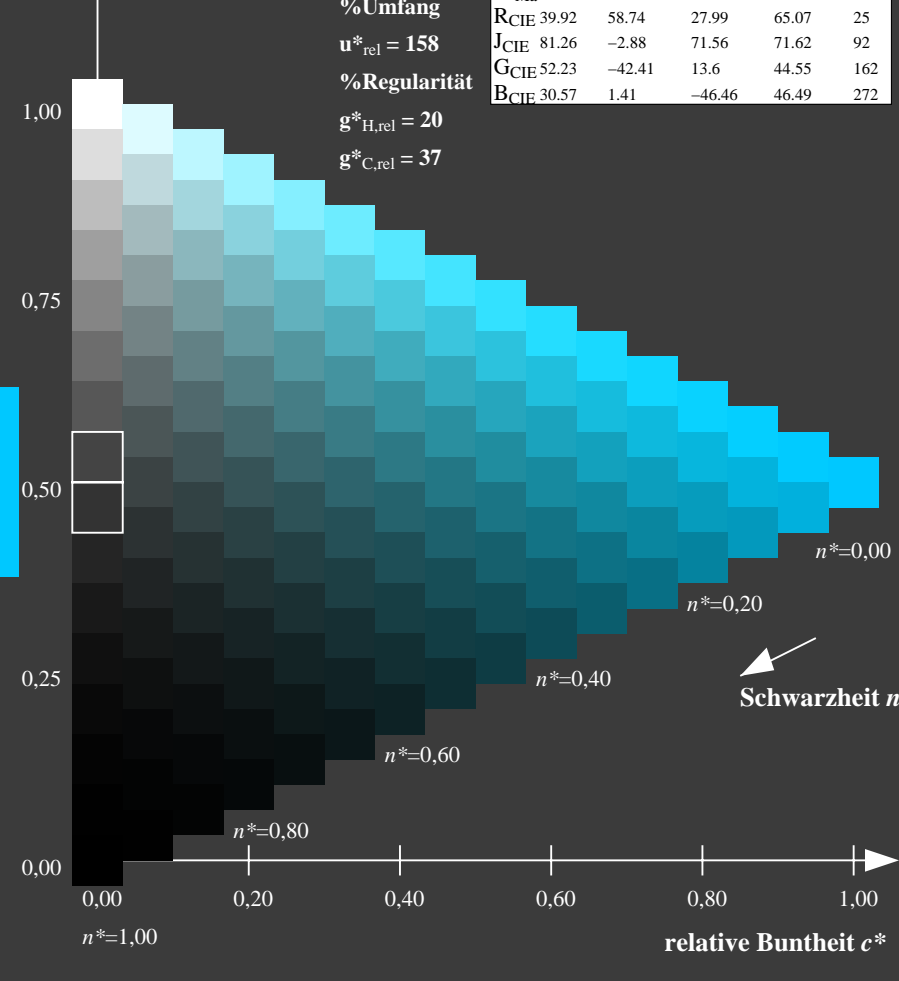
$g^*_{C,rel} = 37$

TLS00a; adaptierte CIELAB-Daten

	$L^*=L^*_a$	a^*_a	b^*_a	$C^*_{ab,a}$	$h^*_{ab,a}$
O _{Ma}	50.5	76.92	64.55	100.42	40
Y _{Ma}	92.66	-20.69	90.75	93.08	103
L _{Ma}	83.63	-82.75	79.9	115.04	136
C _{Ma}	86.88	-46.16	-13.55	48.12	196
V _{Ma}	30.39	76.06	-103.59	128.52	306
M _{Ma}	57.3	94.35	-58.41	110.97	328
N _{Ma}	0.01	0.0	0.0	0.0	0
W _{Ma}	95.41	0.0	0.0	0.0	0
R _{CIE}	39.92	58.74	27.99	65.07	25
J _{CIE}	81.26	-2.88	71.56	71.62	92
G _{CIE}	52.23	-42.41	13.6	44.55	162
B _{CIE}	30.57	1.41	-46.46	46.49	272



OG820-7N-137-3: 5-stufige Reihen für konstanten CIELAB Buntton 196/360 = 0.545 (links)



16-stufige Reihen für konstanten CIELAB Buntton 196/360 = 0.545 (rechts)

OG82: Prüfvorlage 1 nach DIN 33872-2, Buntton C; 1MR, DEH
Eingabe: $rgb \rightarrow rgb^*_{de}$ setrgbcolor
Ausgabe 130-3: $g_p=1.0$; $g_N=2.1$

Eingabe: Farbmatisches Fernseh-Licht-System TLS00a

für Buntton $h^* = lab^*h = 306/360 = 0.851$

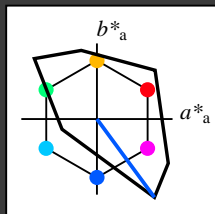
lab^*tch und lab^*nch

D65: Buntton V

LCH*Ma: 30 129 306

olv*Ma: 0.0 0.0 1.0

Dreiecks-Helligkeit t^*



%Umfang

$u^*_{rel} = 158$

%Regularität

$g^*_{H,rel} = 20$

$g^*_{C,rel} = 37$

TLS00a; adaptierte CIELAB-Daten

	$L^*=L^*_a$	a^*_a	b^*_a	$C^*_{ab,a}$	$h^*_{ab,a}$
O _{Ma}	50.5	76.92	64.55	100.42	40
Y _{Ma}	92.66	-20.69	90.75	93.08	103
L _{Ma}	83.63	-82.75	79.9	115.04	136
C _{Ma}	86.88	-46.16	-13.55	48.12	196
V _{Ma}	30.39	76.06	-103.59	128.52	306
M _{Ma}	57.3	94.35	-58.41	110.97	328
N _{Ma}	0.01	0.0	0.0	0.0	0
W _{Ma}	95.41	0.0	0.0	0.0	0
R _{CIE}	39.92	58.74	27.99	65.07	25
J _{CIE}	81.26	-2.88	71.56	71.62	92
G _{CIE}	52.23	-42.41	13.6	44.55	162
B _{CIE}	30.57	1.41	-46.46	46.49	272

Ausgabe: Farbmatisches Fernseh-Licht-System TLS00a

für Buntton $h^* = lab^*h = 306/360 = 0.851$

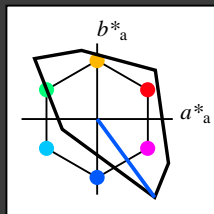
lab^*tch und lab^*nch

D65: Buntton V

LCH*Ma: 30 129 306

olv*Ma: 0.0 0.0 1.0

Dreiecks-Helligkeit t^*



%Umfang

$u^*_{rel} = 158$

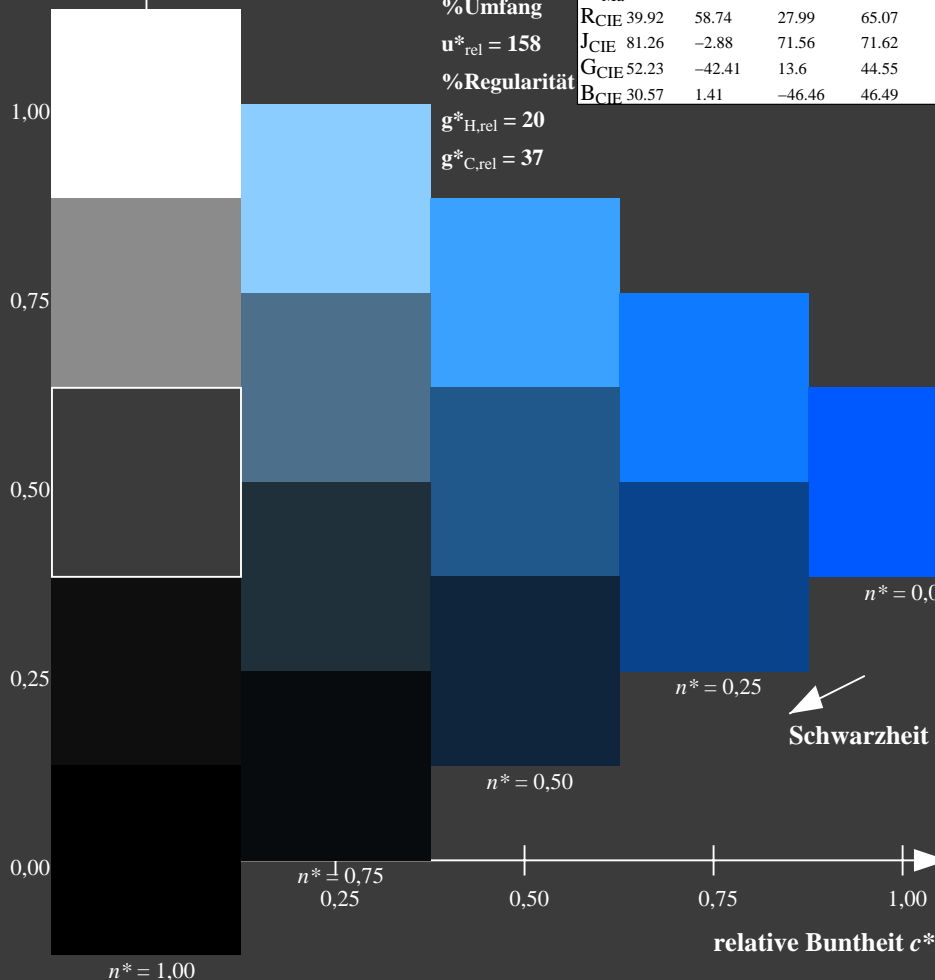
%Regularität

$g^*_{H,rel} = 20$

$g^*_{C,rel} = 37$

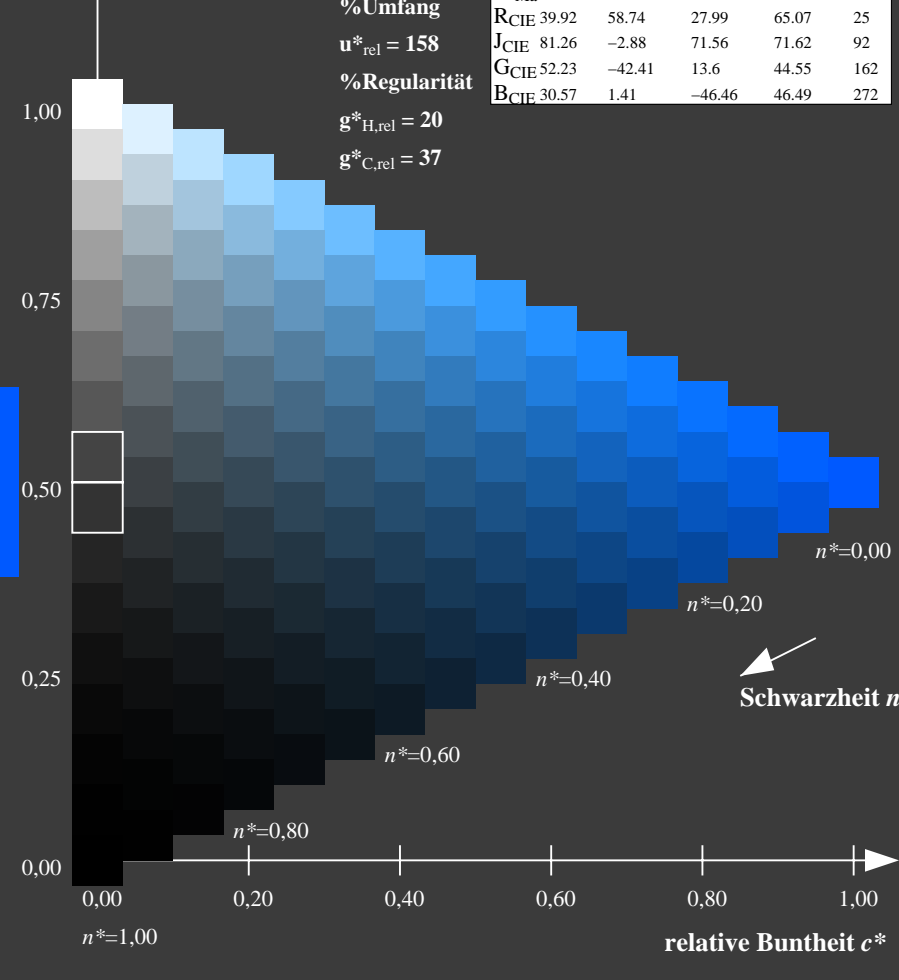
TLS00a; adaptierte CIELAB-Daten

	$L^*=L^*_a$	a^*_a	b^*_a	$C^*_{ab,a}$	$h^*_{ab,a}$
O _{Ma}	50.5	76.92	64.55	100.42	40
Y _{Ma}	92.66	-20.69	90.75	93.08	103
L _{Ma}	83.63	-82.75	79.9	115.04	136
C _{Ma}	86.88	-46.16	-13.55	48.12	196
V _{Ma}	30.39	76.06	-103.59	128.52	306
M _{Ma}	57.3	94.35	-58.41	110.97	328
N _{Ma}	0.01	0.0	0.0	0.0	0
W _{Ma}	95.41	0.0	0.0	0.0	0
R _{CIE}	39.92	58.74	27.99	65.07	25
J _{CIE}	81.26	-2.88	71.56	71.62	92
G _{CIE}	52.23	-42.41	13.6	44.55	162
B _{CIE}	30.57	1.41	-46.46	46.49	272



OG820-7N-137-4: 5-stufige Reihen für konstanten CIELAB Buntton 306/360 = 0.851 (links)

OG82: Prüfvorlage 1 nach DIN 33872-2, Buntton V; 1MR, DEH
Unterscheidbarkeit von 5- und 16-stufigen Farbreihen



16-stufige Reihen für konstanten CIELAB Buntton 306/360 = 0.851 (rechts)

Eingabe: $rgb \rightarrow rgb^*_{de}$ setrgbcolor
Ausgabe 130-4: $g_P=1.0$; $g_N=2.1$

Eingabe: Farbmétrisches Fernseh-Licht-System TLS00a

für Buntton $h^* = lab^*h = 328/360 = 0.912$

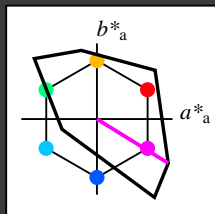
lab^*tch und lab^*nch

D65: Buntton M

LCH*Ma: 57 111 328

olv*Ma: 1.0 0.0 1.0

Dreiecks-Helligkeit t^*



%Umfang

$u^*_{rel} = 158$

%Regularität

$g^*_{H,rel} = 20$

$g^*_{C,rel} = 37$

TLS00a; adaptierte CIELAB-Daten

	$L^*=L^*_a$	a^*_a	b^*_a	$C^*_{ab,a}$	$h^*_{ab,a}$
O _{Ma}	50.5	76.92	64.55	100.42	40
Y _{Ma}	92.66	-20.69	90.75	93.08	103
L _{Ma}	83.63	-82.75	79.9	115.04	136
C _{Ma}	86.88	-46.16	-13.55	48.12	196
V _{Ma}	30.39	76.06	-103.59	128.52	306
M _{Ma}	57.3	94.35	-58.41	110.97	328
N _{Ma}	0.01	0.0	0.0	0.0	0
W _{Ma}	95.41	0.0	0.0	0.0	0
R _{CIE}	39.92	58.74	27.99	65.07	25
J _{CIE}	81.26	-2.88	71.56	71.62	92
G _{CIE}	52.23	-42.41	13.6	44.55	162
B _{CIE}	30.57	1.41	-46.46	46.49	272

Ausgabe: Farbmétrisches Fernseh-Licht-System TLS00a

für Buntton $h^* = lab^*h = 328/360 = 0.912$

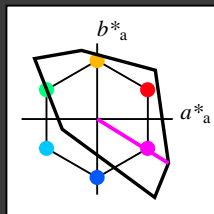
lab^*tch und lab^*nch

D65: Buntton M

LCH*Ma: 57 111 328

olv*Ma: 1.0 0.0 1.0

Dreiecks-Helligkeit t^*



%Umfang

$u^*_{rel} = 158$

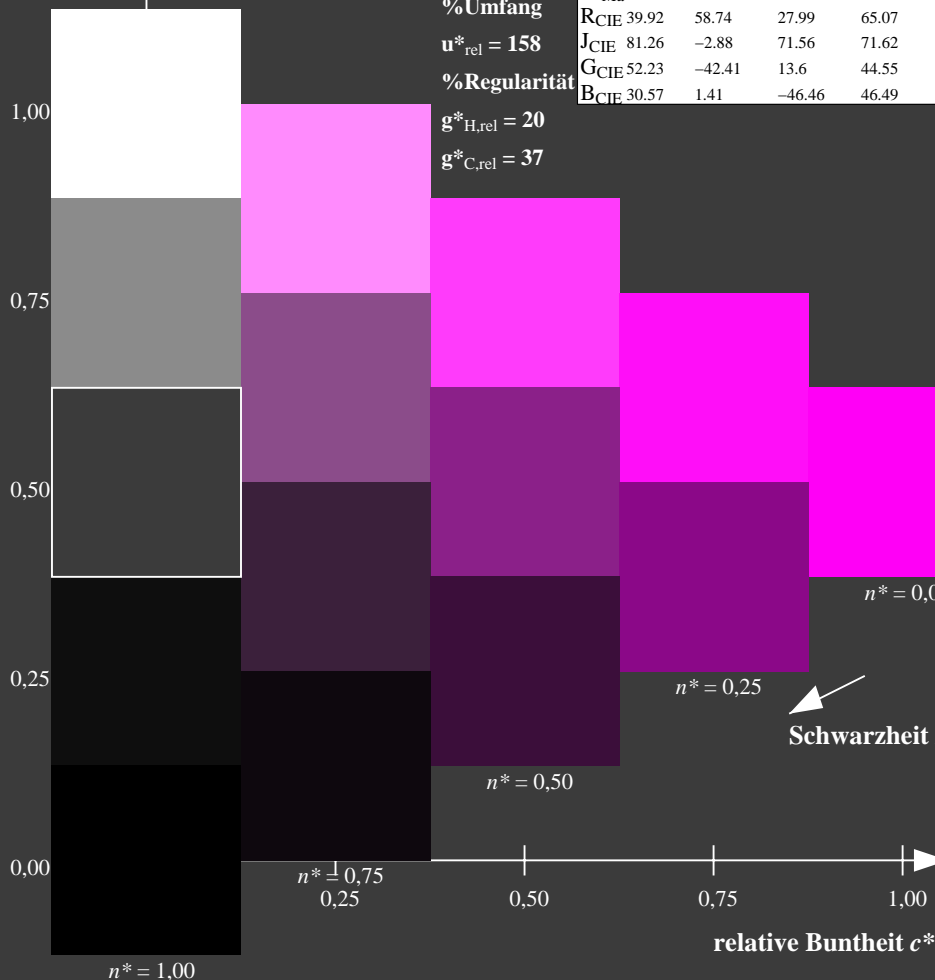
%Regularität

$g^*_{H,rel} = 20$

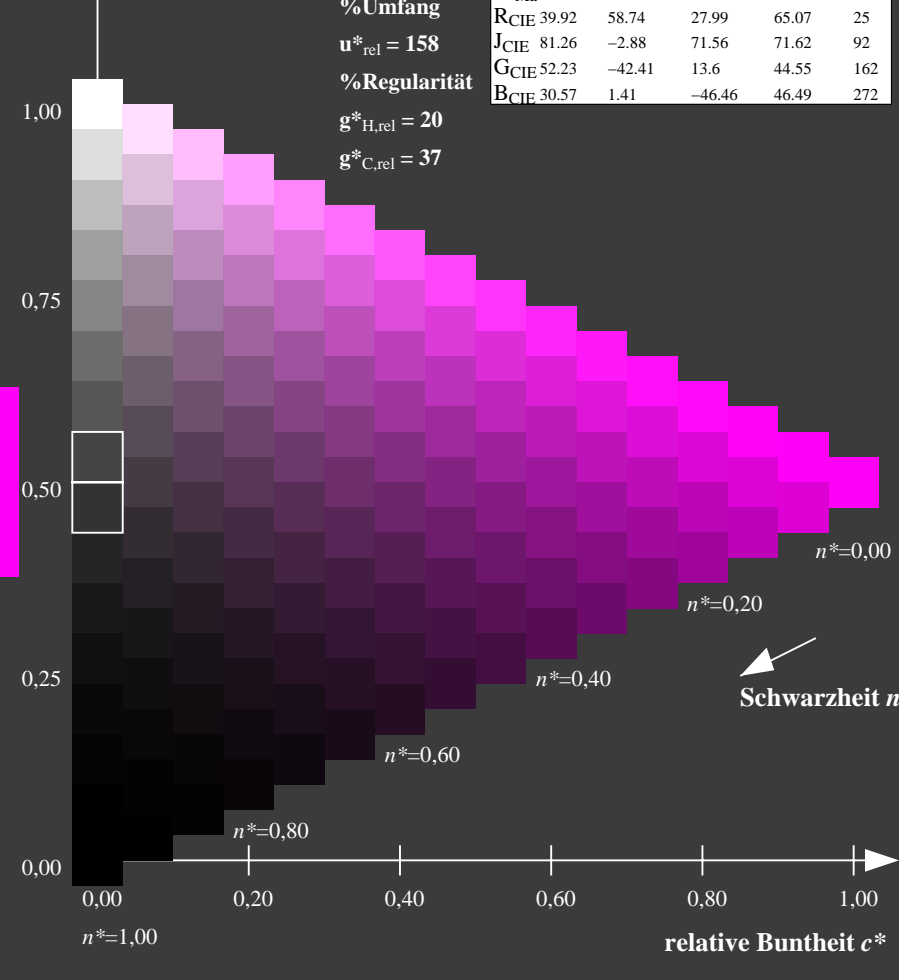
$g^*_{C,rel} = 37$

TLS00a; adaptierte CIELAB-Daten

	$L^*=L^*_a$	a^*_a	b^*_a	$C^*_{ab,a}$	$h^*_{ab,a}$
O _{Ma}	50.5	76.92	64.55	100.42	40
Y _{Ma}	92.66	-20.69	90.75	93.08	103
L _{Ma}	83.63	-82.75	79.9	115.04	136
C _{Ma}	86.88	-46.16	-13.55	48.12	196
V _{Ma}	30.39	76.06	-103.59	128.52	306
M _{Ma}	57.3	94.35	-58.41	110.97	328
N _{Ma}	0.01	0.0	0.0	0.0	0
W _{Ma}	95.41	0.0	0.0	0.0	0
R _{CIE}	39.92	58.74	27.99	65.07	25
J _{CIE}	81.26	-2.88	71.56	71.62	92
G _{CIE}	52.23	-42.41	13.6	44.55	162
B _{CIE}	30.57	1.41	-46.46	46.49	272



OG820-7N-137-5: 5-stufige Reihen für konstanten CIELAB Buntton 328/360 = 0.912 (links)



16-stufige Reihen für konstanten CIELAB Buntton 328/360 = 0.912 (rechts)

OG82: Prüfvorlage 1 nach DIN 33872-2, Buntton M; 1MR, DEH Eingabe: $rgb \rightarrow rgb^*_{de}$ setrgbcolor
Unterscheidbarkeit von 5- und 16-stufigen Farbreihen
Ausgabe 130-5: $g_p=1.0$; $g_N=2.1$

Eingabe: Farbmatisches Fernseh-Licht-System TLS00a

für Buntton $h^* = lab^*h = 25/360 = 0.071$

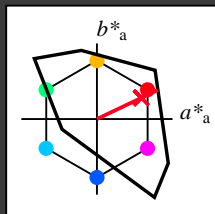
lab^*tch und lab^*nch

D65: Buntton R

LCH*Ma: 52 89 25

olv*Ma: 1.0 0.0 0.21

Dreiecks-Helligkeit t^*



%Umfang

$u^*_{rel} = 158$

%Regularität

$g^*_{H,rel} = 20$

$g^*_{C,rel} = 37$

TLS00a; adaptierte CIELAB-Daten

	$L^*=L^*_a$	a^*_a	b^*_a	$C^*_{ab,a}$	$h^*_{ab,a}$
O _{Ma}	50.5	76.92	64.55	100.42	40
Y _{Ma}	92.66	-20.69	90.75	93.08	103
L _{Ma}	83.63	-82.75	79.9	115.04	136
C _{Ma}	86.88	-46.16	-13.55	48.12	196
V _{Ma}	30.39	76.06	-103.59	128.52	306
M _{Ma}	57.3	94.35	-58.41	110.97	328
N _{Ma}	0.01	0.0	0.0	0.0	0
W _{Ma}	95.41	0.0	0.0	0.0	0
R _{CIE}	39.92	58.74	27.99	65.07	25
J _{CIE}	81.26	-2.88	71.56	71.62	92
G _{CIE}	52.23	-42.41	13.6	44.55	162
B _{CIE}	30.57	1.41	-46.46	46.49	272

Ausgabe: Farbmatisches Fernseh-Licht-System TLS00a

für Buntton $h^* = lab^*h = 25/360 = 0.071$

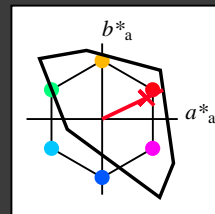
lab^*tch und lab^*nch

D65: Buntton R

LCH*Ma: 52 89 25

olv*Ma: 1.0 0.0 0.21

Dreiecks-Helligkeit t^*



%Umfang

$u^*_{rel} = 158$

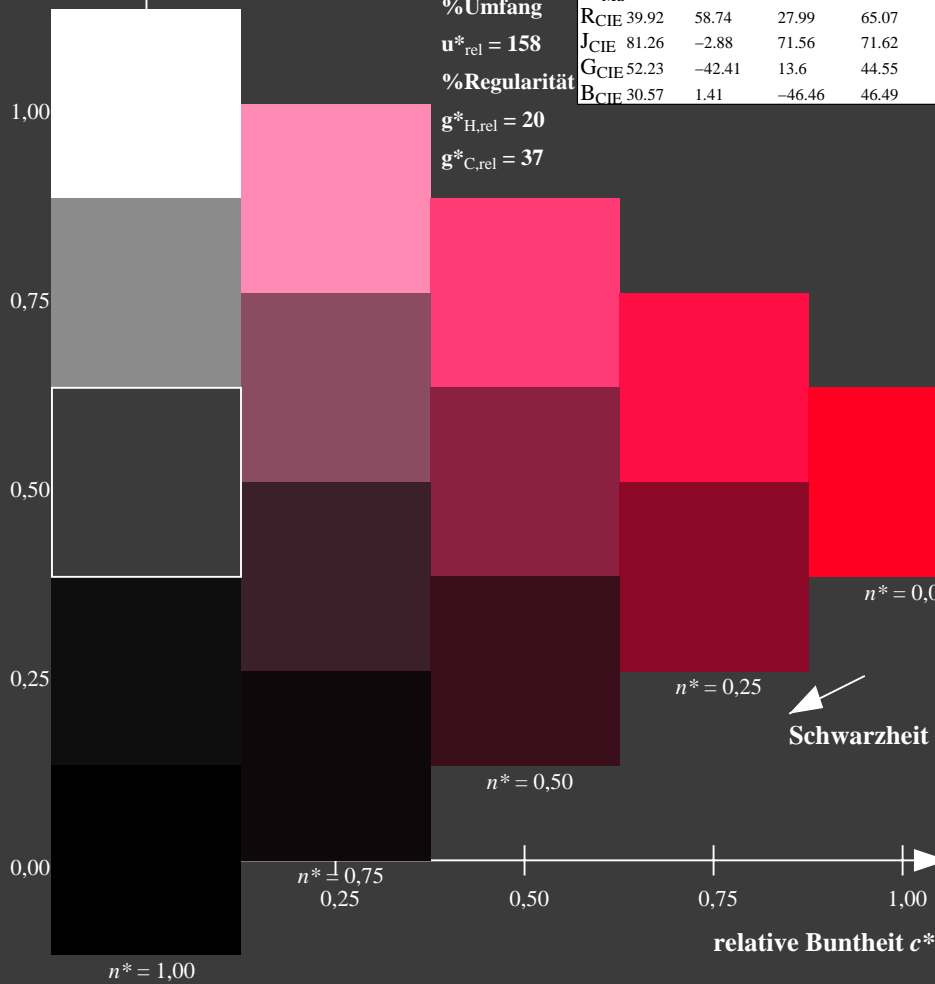
%Regularität

$g^*_{H,rel} = 20$

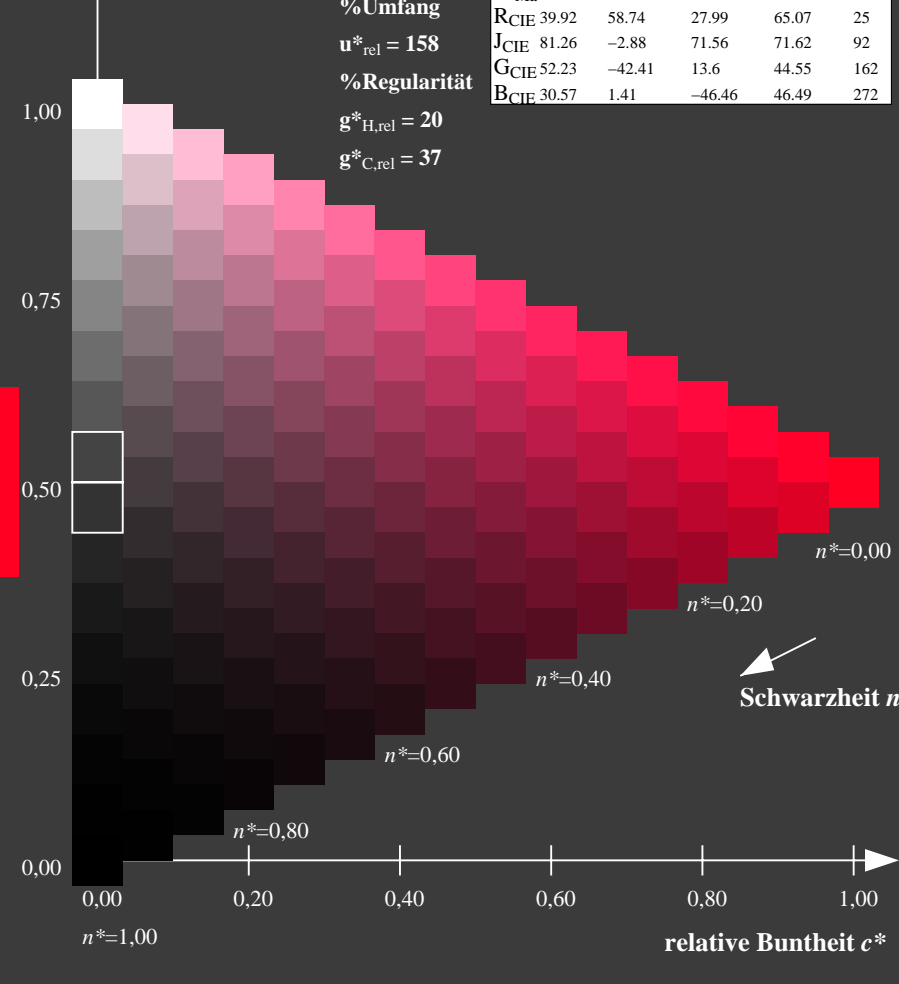
$g^*_{C,rel} = 37$

TLS00a; adaptierte CIELAB-Daten

	$L^*=L^*_a$	a^*_a	b^*_a	$C^*_{ab,a}$	$h^*_{ab,a}$
O _{Ma}	50.5	76.92	64.55	100.42	40
Y _{Ma}	92.66	-20.69	90.75	93.08	103
L _{Ma}	83.63	-82.75	79.9	115.04	136
C _{Ma}	86.88	-46.16	-13.55	48.12	196
V _{Ma}	30.39	76.06	-103.59	128.52	306
M _{Ma}	57.3	94.35	-58.41	110.97	328
N _{Ma}	0.01	0.0	0.0	0.0	0
W _{Ma}	95.41	0.0	0.0	0.0	0
R _{CIE}	39.92	58.74	27.99	65.07	25
J _{CIE}	81.26	-2.88	71.56	71.62	92
G _{CIE}	52.23	-42.41	13.6	44.55	162
B _{CIE}	30.57	1.41	-46.46	46.49	272



OG820-7N-137-6: 5-stufige Reihen für konstanten CIELAB Buntton 25/360 = 0.071 (links)



16-stufige Reihen für konstanten CIELAB Buntton 25/360 = 0.071 (rechts)

OG82: Prüfvorlage 1 nach DIN 33872-2, Buntton R; 1MR, DEEHEingabe: $rgb \rightarrow rgb^*_{dee}$ setrgbcol
Unterscheidbarkeit von 5- und 16-stufigen Farbreihen
Ausgabe 130-6: $g_p=1.0$; $g_N=2.1$

Eingabe: Farbmétrisches Fernseh-Licht-System TLS00a

für Buntton $h^* = lab^*h = 92/360 = 0.256$

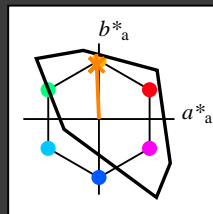
lab^*tch und lab^*nch

D65: Buntton J

LCH*Ma: 85 86 92

olv*Ma: 1.0 0.82 0.0

Dreiecks-Helligkeit t^*



%Umfang

$u^*_{rel} = 158$

%Regularität

$g^*_{H,rel} = 20$

$g^*_{C,rel} = 37$

TLS00a; adaptierte CIELAB-Daten

	$L^*=L^*_a$	a^*_a	b^*_a	$C^*_{ab,a}$	$h^*_{ab,a}$
O _{Ma}	50.5	76.92	64.55	100.42	40
Y _{Ma}	92.66	-20.69	90.75	93.08	103
L _{Ma}	83.63	-82.75	79.9	115.04	136
C _{Ma}	86.88	-46.16	-13.55	48.12	196
V _{Ma}	30.39	76.06	-103.59	128.52	306
M _{Ma}	57.3	94.35	-58.41	110.97	328
N _{Ma}	0.01	0.0	0.0	0.0	0
W _{Ma}	95.41	0.0	0.0	0.0	0
R _{CIE}	39.92	58.74	27.99	65.07	25
J _{CIE}	81.26	-2.88	71.56	71.62	92
G _{CIE}	52.23	-42.41	13.6	44.55	162
B _{CIE}	30.57	1.41	-46.46	46.49	272

Ausgabe: Farbmétrisches Fernseh-Licht-System TLS00a

für Buntton $h^* = lab^*h = 92/360 = 0.256$

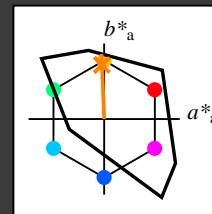
lab^*tch und lab^*nch

D65: Buntton J

LCH*Ma: 85 86 92

olv*Ma: 1.0 0.82 0.0

Dreiecks-Helligkeit t^*



%Umfang

$u^*_{rel} = 158$

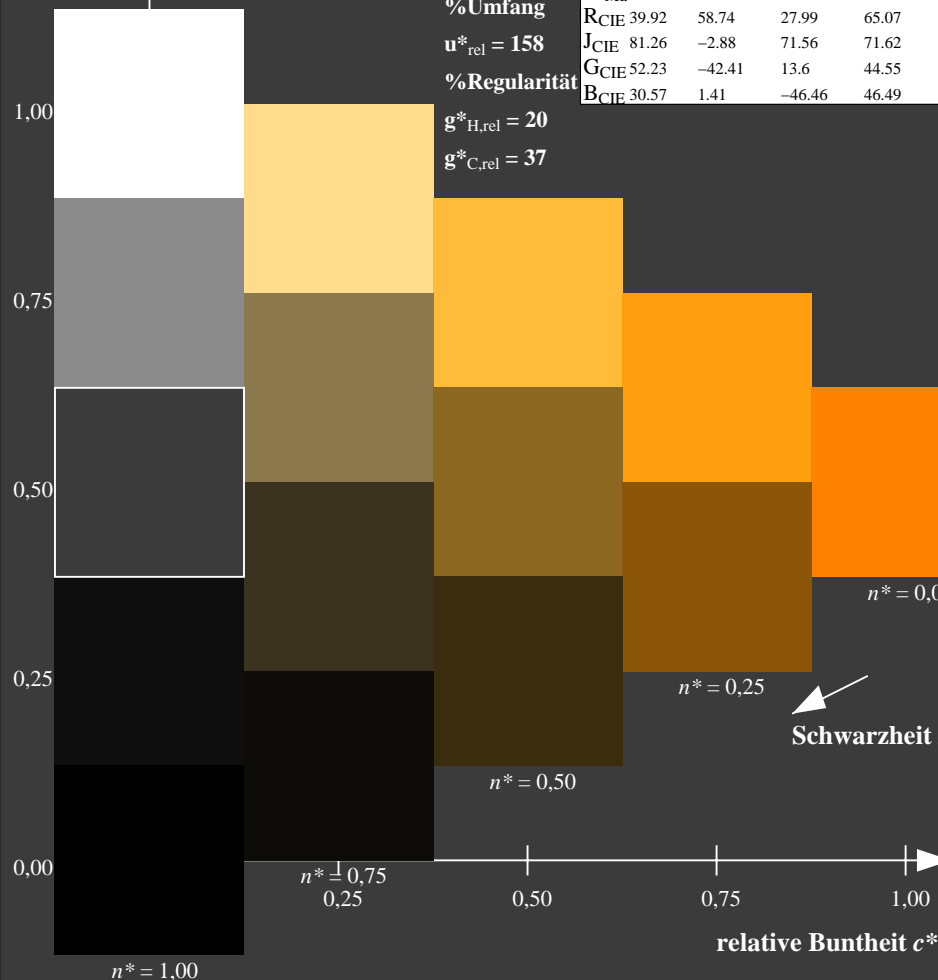
%Regularität

$g^*_{H,rel} = 20$

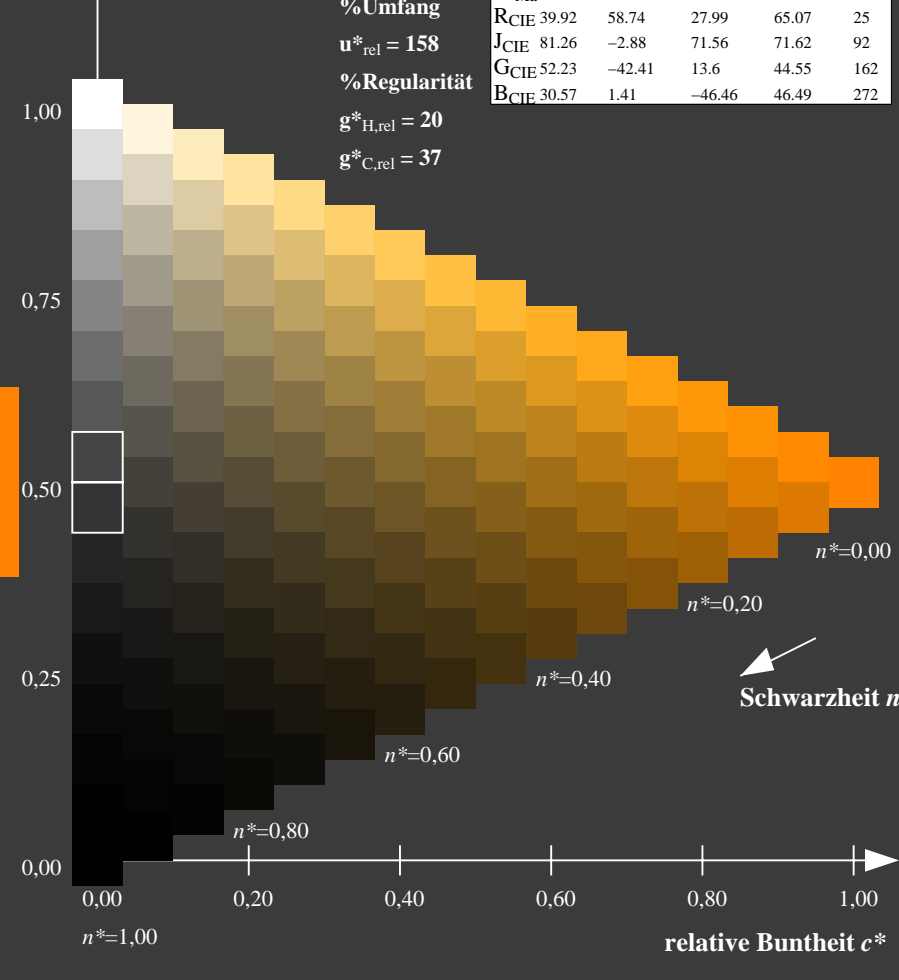
$g^*_{C,rel} = 37$

TLS00a; adaptierte CIELAB-Daten

	$L^*=L^*_a$	a^*_a	b^*_a	$C^*_{ab,a}$	$h^*_{ab,a}$
O _{Ma}	50.5	76.92	64.55	100.42	40
Y _{Ma}	92.66	-20.69	90.75	93.08	103
L _{Ma}	83.63	-82.75	79.9	115.04	136
C _{Ma}	86.88	-46.16	-13.55	48.12	196
V _{Ma}	30.39	76.06	-103.59	128.52	306
M _{Ma}	57.3	94.35	-58.41	110.97	328
N _{Ma}	0.01	0.0	0.0	0.0	0
W _{Ma}	95.41	0.0	0.0	0.0	0
R _{CIE}	39.92	58.74	27.99	65.07	25
J _{CIE}	81.26	-2.88	71.56	71.62	92
G _{CIE}	52.23	-42.41	13.6	44.55	162
B _{CIE}	30.57	1.41	-46.46	46.49	272



OG820-7N-137-7: 5-stufige Reihen für konstanten CIELAB Buntton 92/360 = 0.256 (links)



16-stufige Reihen für konstanten CIELAB Buntton 92/360 = 0.256 (rechts)

OG82: Prüfvorlage 1 nach DIN 33872-2, Buntton J; 1MR, DEEH Eingabe: $rgb \rightarrow rgb^*_{dee}$ setrgbcol
Unterscheidbarkeit von 5- und 16-stufigen Farbreihen
Ausgabe 130-7: $g_p=1.0$; $g_N=2.1$

Eingabe: Farbmétrisches Fernseh-Licht-System TLS00a

für Buntton $h^* = lab^*h = 162/360 = 0.451$

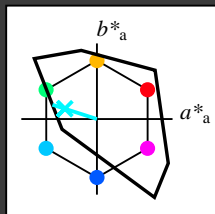
lab^*tch und lab^*nch

D65: Buntton G

LCH*Ma: 86 62 162

olv*Ma: 0.0 1.0 0.65

Dreiecks-Helligkeit t^*



%Umfang

$u^*_{rel} = 158$

%Regularität

$g^*_{H,rel} = 20$

$g^*_{C,rel} = 37$

TLS00a; adaptierte CIELAB-Daten

	$L^*=L^*_a$	a^*_a	b^*_a	$C^*_{ab,a}$	$h^*_{ab,a}$
O _{Ma}	50.5	76.92	64.55	100.42	40
Y _{Ma}	92.66	-20.69	90.75	93.08	103
L _{Ma}	83.63	-82.75	79.9	115.04	136
C _{Ma}	86.88	-46.16	-13.55	48.12	196
V _{Ma}	30.39	76.06	-103.59	128.52	306
M _{Ma}	57.3	94.35	-58.41	110.97	328
N _{Ma}	0.01	0.0	0.0	0.0	0
W _{Ma}	95.41	0.0	0.0	0.0	0
R _{CIE}	39.92	58.74	27.99	65.07	25
J _{CIE}	81.26	-2.88	71.56	71.62	92
G _{CIE}	52.23	-42.41	13.6	44.55	162
B _{CIE}	30.57	1.41	-46.46	46.49	272

Ausgabe: Farbmétrisches Fernseh-Licht-System TLS00a

für Buntton $h^* = lab^*h = 162/360 = 0.451$

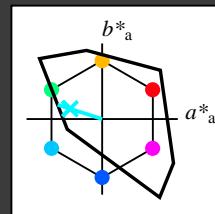
lab^*tch und lab^*nch

D65: Buntton G

LCH*Ma: 86 62 162

olv*Ma: 0.0 1.0 0.65

Dreiecks-Helligkeit t^*



%Umfang

$u^*_{rel} = 158$

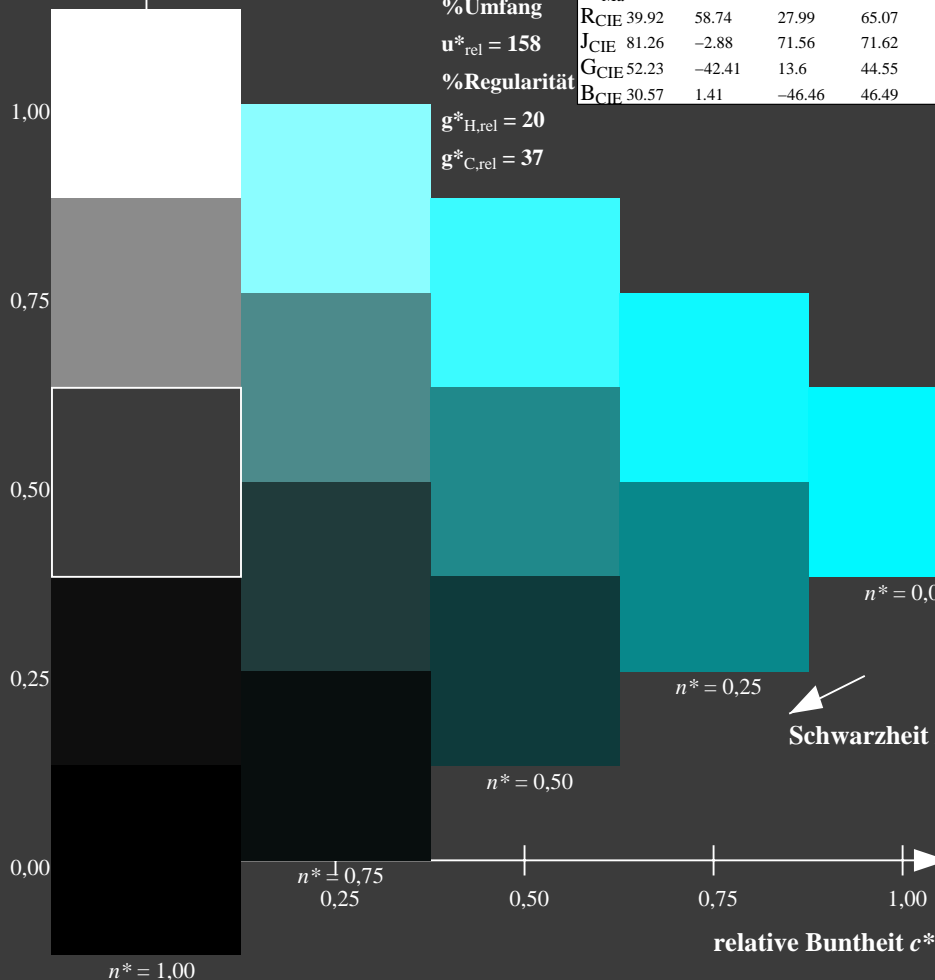
%Regularität

$g^*_{H,rel} = 20$

$g^*_{C,rel} = 37$

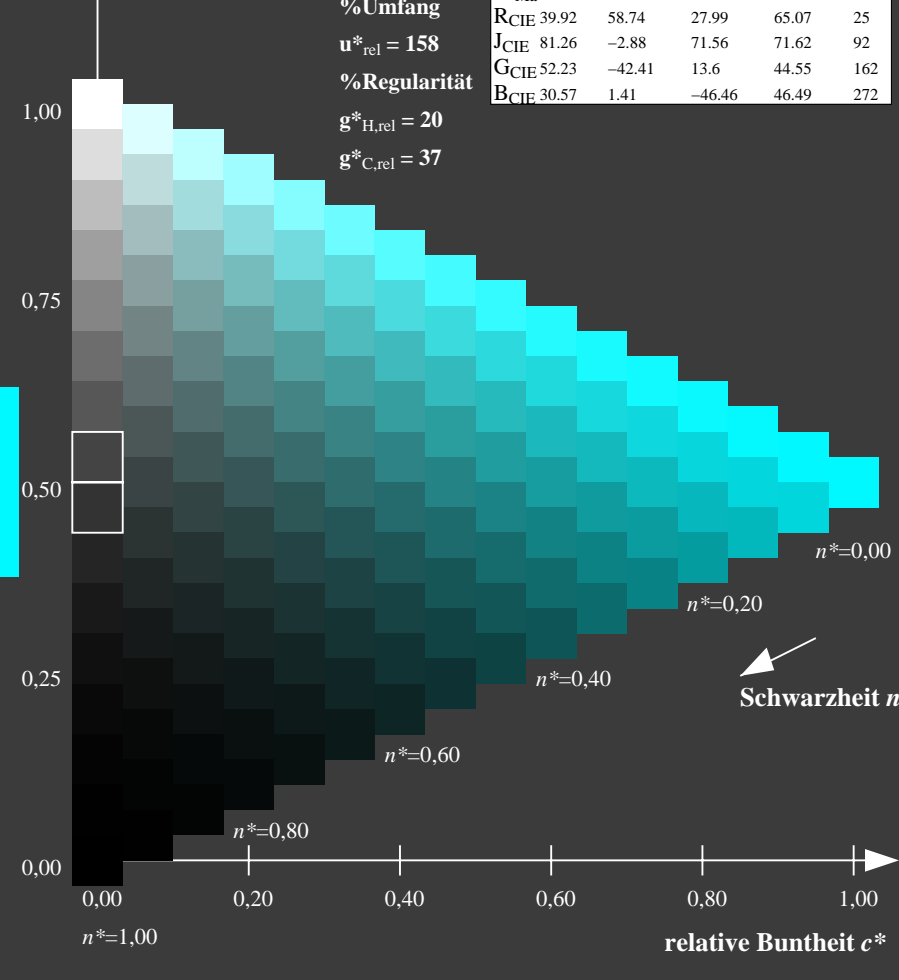
TLS00a; adaptierte CIELAB-Daten

	$L^*=L^*_a$	a^*_a	b^*_a	$C^*_{ab,a}$	$h^*_{ab,a}$
O _{Ma}	50.5	76.92	64.55	100.42	40
Y _{Ma}	92.66	-20.69	90.75	93.08	103
L _{Ma}	83.63	-82.75	79.9	115.04	136
C _{Ma}	86.88	-46.16	-13.55	48.12	196
V _{Ma}	30.39	76.06	-103.59	128.52	306
M _{Ma}	57.3	94.35	-58.41	110.97	328
N _{Ma}	0.01	0.0	0.0	0.0	0
W _{Ma}	95.41	0.0	0.0	0.0	0
R _{CIE}	39.92	58.74	27.99	65.07	25
J _{CIE}	81.26	-2.88	71.56	71.62	92
G _{CIE}	52.23	-42.41	13.6	44.55	162
B _{CIE}	30.57	1.41	-46.46	46.49	272



OG820-7N-137-8: 5-stufige Reihen für konstanten CIELAB Buntton 162/360 = 0.451 (links)

OG82: Prüfvorlage 1 nach DIN 33872-2, Buntton G; 1MR, DEEHEingabe: $rgb \rightarrow rgb^*_{dee}$ setrgbcold
Unterscheidbarkeit von 5- und 16-stufigen Farbreihen



16-stufige Reihen für konstanten CIELAB Buntton 162/360 = 0.451 (rechts)

Ausgabe 130-8: $g_p=1.0$; $g_N=2.1$

Eingabe: Farbmétrisches Fernseh-Licht-System TLS00a

für Buntton $h^* = lab^*h = 272/360 = 0.755$

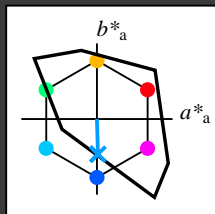
lab^*tch und lab^*nch

D65: Buntton B

LCH*Ma: 65 49 272

olv*Ma: 0.0 0.61 1.0

Dreiecks-Helligkeit t^*



%Umfang

$u^*_{rel} = 158$

%Regularität

$g^*_{H,rel} = 20$

$g^*_{C,rel} = 37$

TLS00a; adaptierte CIELAB-Daten

	$L^*=L^*_a$	a^*_a	b^*_a	$C^*_{ab,a}$	$h^*_{ab,a}$
O _{Ma}	50.5	76.92	64.55	100.42	40
Y _{Ma}	92.66	-20.69	90.75	93.08	103
L _{Ma}	83.63	-82.75	79.9	115.04	136
C _{Ma}	86.88	-46.16	-13.55	48.12	196
V _{Ma}	30.39	76.06	-103.59	128.52	306
M _{Ma}	57.3	94.35	-58.41	110.97	328
N _{Ma}	0.01	0.0	0.0	0.0	0
W _{Ma}	95.41	0.0	0.0	0.0	0
R _{CIE}	39.92	58.74	27.99	65.07	25
J _{CIE}	81.26	-2.88	71.56	71.62	92
G _{CIE}	52.23	-42.41	13.6	44.55	162
B _{CIE}	30.57	1.41	-46.46	46.49	272

Ausgabe: Farbmétrisches Fernseh-Licht-System TLS00a

für Buntton $h^* = lab^*h = 272/360 = 0.755$

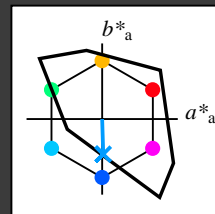
lab^*tch und lab^*nch

D65: Buntton B

LCH*Ma: 65 49 272

olv*Ma: 0.0 0.61 1.0

Dreiecks-Helligkeit t^*



%Umfang

$u^*_{rel} = 158$

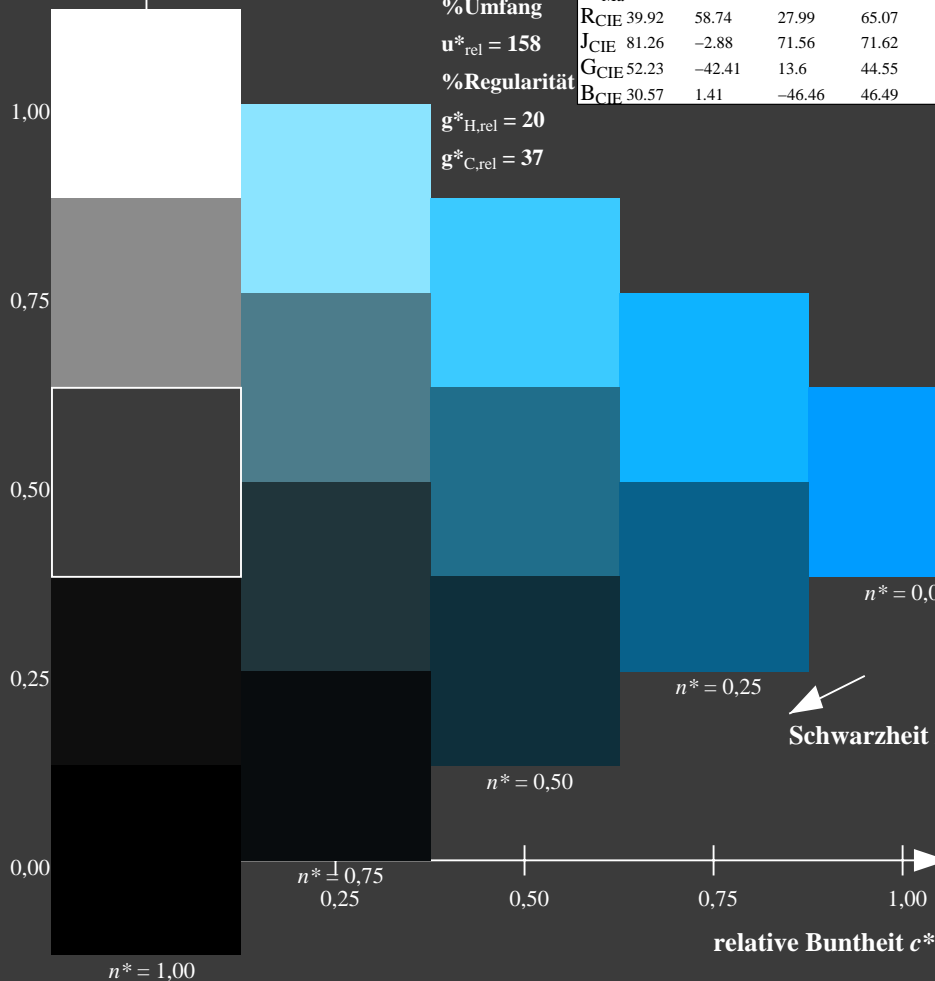
%Regularität

$g^*_{H,rel} = 20$

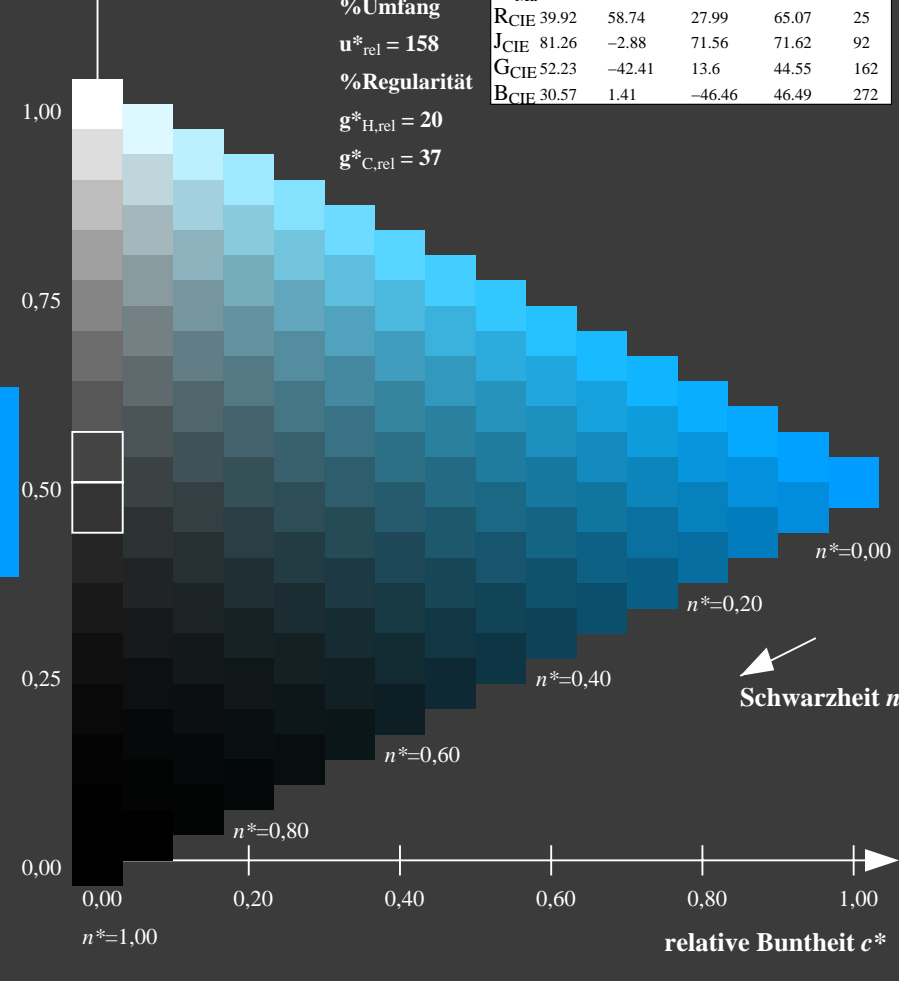
$g^*_{C,rel} = 37$

TLS00a; adaptierte CIELAB-Daten

	$L^*=L^*_a$	a^*_a	b^*_a	$C^*_{ab,a}$	$h^*_{ab,a}$
O _{Ma}	50.5	76.92	64.55	100.42	40
Y _{Ma}	92.66	-20.69	90.75	93.08	103
L _{Ma}	83.63	-82.75	79.9	115.04	136
C _{Ma}	86.88	-46.16	-13.55	48.12	196
V _{Ma}	30.39	76.06	-103.59	128.52	306
M _{Ma}	57.3	94.35	-58.41	110.97	328
N _{Ma}	0.01	0.0	0.0	0.0	0
W _{Ma}	95.41	0.0	0.0	0.0	0
R _{CIE}	39.92	58.74	27.99	65.07	25
J _{CIE}	81.26	-2.88	71.56	71.62	92
G _{CIE}	52.23	-42.41	13.6	44.55	162
B _{CIE}	30.57	1.41	-46.46	46.49	272



OG820-7N-137-9: 5-stufige Reihen für konstanten CIELAB Buntton 272/360 = 0.755 (links)

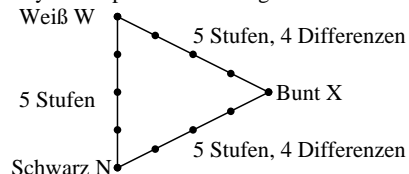


16-stufige Reihen für konstanten CIELAB Buntton 272/360 = 0.755 (rechts)

OG82: Prüfvorlage 1 nach DIN 33872-2, Buntton B; 1MR, DEEHEingabe: rgb (->rgb*dee) setrgbcold
Ausgabe 130-9: $g_P=1.0$; $g_N=2.1$

Unterscheidbarkeit von 5-stufigen Farbreihen (Ja/Nein-Entscheidung)

Layoutbeispiel: drei 5-stufige Farbreihen



Es gibt drei Grundfarben auf jeder Seite:
Schwarz N, Weiß W und Bunt X.
Zehn Seiten enthalten 10 Bunttonebenen
X = OYLCVM und RJGB.
Es gibt maximal 12 unterscheidbare Stufen.

Alle Stufen der drei Serien N-W, W-X und X-N sollen unterscheidbar sein auf **allen** Seiten.
Sind die drei 5-stufigen Reihen auf allen Seiten unterscheidbar? unterstreiche: Ja/Nein

Nur im Fall von Nein: Sind die drei 5-stufigen Reihen auf Seite x von 10 Seiten unterscheidbar?
Unterstreiche Ja/Nein und gib im Fall von Nein die Anzahl unterscheidbarer Stufen an
Seite 1: Ja/Nein, wenn Nein ../12 Stufendifferenzen sind unterscheidbar von O = Orangerot
Seite 2: Ja/Nein, wenn Nein ../12 Stufendifferenzen sind unterscheidbar von Y = Gelb
Seite 3: Ja/Nein, wenn Nein ../12 Stufendifferenzen sind unterscheidbar von L = Laubgrün
Seite 4: Ja/Nein, wenn Nein ../12 Stufendifferenzen sind unterscheidbar von C = Cyanblau
Seite 5: Ja/Nein, wenn Nein ../12 Stufendifferenzen sind unterscheidbar von V = Violettblau
Seite 6: Ja/Nein, wenn Nein ../12 Stufendifferenzen sind unterscheidbar von M = Magentarot
Seite 7: Ja/Nein, wenn Nein ../12 Stufendifferenzen sind unterscheidbar von R = Elementarrot
Seite 8: Ja/Nein, wenn Nein ../12 Stufendifferenzen sind unterscheidbar von J = Elementargelb
Seite 9: Ja/Nein, wenn Nein ../12 Stufendifferenzen sind unterscheidbar von G = Elementargrün
Seite 10: Ja/Nein, wenn Nein ../12 Stufendifferenzen sind unterscheidbar von B = Elementarblau

Summe: ../10 Ja-Seiten und ../120 Stufendifferenzen unterscheidbar

Teil 1

OG820-3N-137-10

Dokumentation von Dateiformat, Hard- und Software für diese Prüfung:

PDF-Datei: http://130.149.60.45/farbmetrik/OG82/OG82L0NP.PDF **unterstreiche Ja/Nein**

PS-Datei: http://130.149.60.45/farbmetrik/OG82/OG82L0NA.PS **oder unterstreiche Ja/Nein**

benutztes Rechner-Betriebssystem:

nur eines von Windows/Mac/Unix/anderes und Version:.....

Die Beurteilung ist für die Geräteausgabe: unterstreiche Monitor/Datenprojektor/Drucker

Geräte-Modell, -Treiber und -Version:.....

Geräteausgabe mit PDF/PS-Datei: unterstreiche PDF-/PS-Datei

Für Geräteausgabe mit PDF-Datei OG82L0NP.PDF:

entweder PDF-Dateitransfer "download, copy" nach PDF-Gerät.....
oder mit Rechnersystem-Interpretation durch "Display-PDF":.....
oder mit Software, z. B. Adobe-Reader/-Acrobat und Version:.....
oder mit Software, z. B. Ghostscript und Version:.....

Für Geräteausgabe mit PS-Datei OG82L0NA.PS:

entweder PS-Dateitransfer "download, copy" nach PS-Gerät.....
oder mit Rechnersystem-Interpretation durch "Display-PS":.....
oder mit Software, z. B. Ghostscript und Version:.....
oder mit Software, z. B. Mac-Yap und Version:.....

Spezielle Anmerkungen:

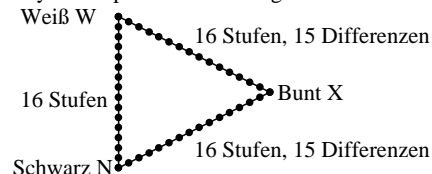
.....
.....
.....

Teil 3

OG820-7N-137-10

Unterscheidbarkeit von 16-stufigen Farbreihen (Ja/Nein-Entscheidung)

Layoutbeispiel: drei 16-stufige Farbreihen



Es gibt drei Grundfarben auf jeder Seite:
Schwarz N, Weiß W und Bunt X.
Zehn Seiten enthalten 10 Bunttonebenen
X = OYLCVM und RJGB.
Es gibt maximal 45 unterscheidbare Stufen.

Alle Stufen der drei Serien N-W, W-X und X-N sollen unterscheidbar sein auf **allen** Seiten.
Sind die drei 16-stufigen Reihen auf allen Seiten unterscheidbar? unterstreiche: Ja/Nein

Nur im Fall von Nein: Sind die drei 16-stufigen Reihen auf Seite x von 10 Seiten unterscheidbar?
Unterstreiche Ja/Nein und gib im Fall von Nein die Anzahl unterscheidbarer Stufen an
Seite 1: Ja/Nein, wenn Nein ../45 Stufendifferenzen sind unterscheidbar von O = Orangerot
Seite 2: Ja/Nein, wenn Nein ../45 Stufendifferenzen sind unterscheidbar von Y = Gelb
Seite 3: Ja/Nein, wenn Nein ../45 Stufendifferenzen sind unterscheidbar von L = Laubgrün
Seite 4: Ja/Nein, wenn Nein ../45 Stufendifferenzen sind unterscheidbar von C = Cyanblau
Seite 5: Ja/Nein, wenn Nein ../45 Stufendifferenzen sind unterscheidbar von V = Violettblau
Seite 6: Ja/Nein, wenn Nein ../45 Stufendifferenzen sind unterscheidbar von M = Magentarot
Seite 7: Ja/Nein, wenn Nein ../45 Stufendifferenzen sind unterscheidbar von R = Elementarrot
Seite 8: Ja/Nein, wenn Nein ../45 Stufendifferenzen sind unterscheidbar von J = Elementargelb
Seite 9: Ja/Nein, wenn Nein ../45 Stufendifferenzen sind unterscheidbar von G = Elementargrün
Seite 10: Ja/Nein, wenn Nein ../45 Stufendifferenzen sind unterscheidbar von B = Elementarblau

Summe: ../10 Ja-Seiten und ../450 Stufendifferenzen unterscheidbar

Teil 2

OG821-3N-137-10

Dokumentation der Beurteiler-Farbseigenschaften für diese Prüfung:

Der Beurteiler hat **normales** Farbsehen nach einer Prüfung:
entweder nach DIN 6160:1996 mit Anomalskop nach *Nagel*
oder mit Farbpunkt-Prüftafeln nach *Ishihara*
oder mit, bitte nennen:.....

unterstreiche Ja/Nein
unterstreiche Ja/unbekannt
unterstreiche Ja/unbekannt
unterstreiche Ja/unbekannt

Für visuelle Bewertung der Display(Monitor, Daten-Projektor)-Ausgabe

Büro-Arbeitsplatz-Beleuchtung ist Tageslicht (bedeckter/Nordhimmel)

PDF-Datei: http://130.149.60.45/farbmetrik/OG82/OG82F1P2.PDF

PS-Datei: http://130.149.60.45/farbmetrik/OG82/OG82F1P2.PS

Bild A7-137-2: Kontrastbereich: (>F:0) (F:0) (E:0) (D:0) (C:0) (A:0) (9:0) (7:0) (5:0) (3:0) (<3:0)

vergleiche Normdruckausgabe nach ISO/IEC 15775 mit Bereich F:0

Anmerkung: Bei Tageslichtbürobeleuchtung ist der Kontrastbereich oft:

am Display zwischen: >F:0 und E:0 (Monitor), D:0 und 3:0 (Datenprojektor)

Nur für optionale farbmimetrische Kennzeichnung mit PDF/PS-Dateiausgabe

PDF-Datei: http://130.149.60.45/farbmetrik/OG82/OG82F1P2.PDF

Bild A7-137-2

unterstreiche Ja/Nein

PS-Datei: http://130.149.60.45/farbmetrik/OG82/OG82F1P2.PS

Bild A7-137-2

oder unterstreiche Ja/Nein

Farbmessung und Kennzeichnung für:

CIE-Normlichtart D65, CIE-2-Grad-Beobachter, CIE-45/0-Geometrie

unterstreiche Ja/Nein

Wenn Nein, bitte andere Parameter nennen:

Farbmimetrische Kennzeichnung mit PS-Datei für Farben der Spalten A bis T

Ersatz der CIELAB-Daten in Datei www.ps.bam.de/Dg17/10L/L17g00NP.PS und Transfer

der PS-Datei L17g00NP.PS in PDF-Datei L17g00NP.PDF

unterstreiche Ja/Nein

Wenn Nein, bitte andere Methode beschreiben:

Teil 4

OG821-7N-137-10

i	LAB*ref	l*out	LAB*out	LAB*out/c-ref	ΔE*
1	69.7 0.0 0.0	0.0 69.7 0.0	0.0 0.0 0.0	0.0 0.0 0.0	0.01
2	71.41 0.0 0.0	0.0 69.75 0.0	0.0 0.0 0.0	-1.65 0.0 0.0	1.66
3	73.13 0.0 0.0	0.01 69.97 0.0	0.0 0.0 0.0	-3.15 0.0 0.0	3.16
4	74.84 0.0 0.0	0.03 70.37 0.0	0.0 0.0 0.0	-4.46 0.0 0.0	4.47
5	76.55 0.0 0.0	0.05 70.99 0.0	0.0 0.0 0.0	-5.55 0.0 0.0	5.56
6	78.27 0.0 0.0	0.08 71.84 0.0	0.0 0.0 0.0	-6.41 0.0 0.0	6.42
7	79.98 0.0 0.0	0.13 72.94 0.0	0.0 0.0 0.0	-7.03 0.0 0.0	7.04
8	81.7 0.0 0.0	0.18 74.29 0.0	0.0 0.0 0.0	-7.4 0.0 0.0	7.41
9	83.41 0.0 0.0	0.24 75.91 0.0	0.0 0.0 0.0	-7.49 0.0 0.0	7.5
10	85.12 0.0 0.0	0.32 77.8 0.0	0.0 0.0 0.0	-7.31 0.0 0.0	7.32
11	86.84 0.0 0.0	0.4 79.98 0.0	0.0 0.0 0.0	-6.85 0.0 0.0	6.86
12	88.55 0.0 0.0	0.5 82.45 0.0	0.0 0.0 0.0	-6.09 0.0 0.0	6.1
13	90.27 0.0 0.0	0.6 85.23 0.0	0.0 0.0 0.0	-5.03 0.0 0.0	5.04
14	91.98 0.0 0.0	0.72 88.3 0.0	0.0 0.0 0.0	-3.67 0.0 0.0	3.68
15	93.7 0.0 0.0	0.86 91.7 0.0	0.0 0.0 0.0	-1.99 0.0 0.0	2.0
16	95.41 0.0 0.0	1.0 95.41 0.0	0.0 0.0 0.0	0.0 0.0 0.0	0.01
17	69.7 0.0 0.0	0.0 69.7 0.0	0.0 0.0 0.0	0.0 0.0 0.0	0.01
18	76.13 0.0 0.0	0.04 70.82 0.0	0.0 0.0 0.0	-5.3 0.0 0.0	5.31
19	82.55 0.0 0.0	0.21 75.07 0.0	0.0 0.0 0.0	-7.48 0.0 0.0	7.49
20	88.98 0.0 0.0	0.52 83.12 0.0	0.0 0.0 0.0	-5.85 0.0 0.0	5.86
21	95.41 0.0 0.0	1.0 95.41 0.0	0.0 0.0 0.0	0.0 0.0 0.0	0.01

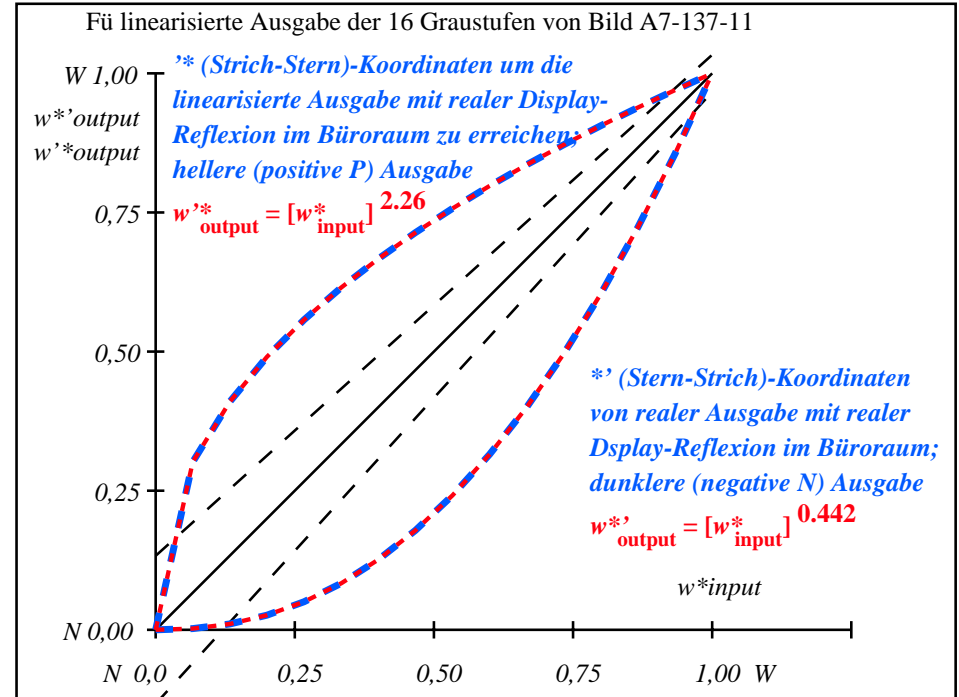
Start-Ausgabe S1
Kennzeichnung nach
ISO/IEC 15775 Anhang G
und DIN 33866-1 Anhang G

Mittlerer Helligkeitsabstand (16 Stufen)
 $\Delta E^*_{CIELAB} = 4.6$

Mittlerer Helligkeitsabstand (5 Stufen)
 $\Delta L^*_{CIELAB} = 3.7$

Mittlerer Farbwiedergabe-Index: $R^*_{ab,m} = 80$

OG820-3N-137-11: File: Measure unknown; Device: Device unknown; Date: Date unknown



OG821-3N-137-11: File: Measure unknown; Device: Device unknown; Date: Date unknown

$L^*/Y_{intended}$ (absolut)	69.7/40.3	71.4/42.8	73.1/45.4	74.8/48.0	76.6/50.8	78.3/53.7	80.0/56.6	81.7/59.7	83.4/62.9	85.1/66.3	86.8/69.7	88.6/73.2	90.3/76.9	92.0/80.7	93.7/84.6	95.4/88.6
$w^* w^* w^*$ setrgb $g_N=2.26$ Nr. und Hex-Code	00;F	01;E	02;D	03;C	04;B	05;A	06;9	07;8	08;7	09;6	10;5	11;4	12;3	13;2	14;1	15;0
$w^*=l^*_{CIELAB,r}$ (relativ)																
$w^*_{intended}$	0.000	0.067	0.133	0.200	0.267	0.333	0.400	0.467	0.533	0.600	0.667	0.733	0.800	0.867	0.933	1.000
w^*_{out}	0.0	0.002	0.01	0.026	0.051	0.083	0.126	0.179	0.241	0.315	0.4	0.496	0.604	0.724	0.855	1.0

OG820-7N, Bild A7-137-11: 16 visuell gleichabständige L^* -Graustufen; PS-Operator: $w^* w^* w^*_{setrgbcolor}$

OG82: Ein-Ausgabe-Beziehung nach ISO 9241-306; 1MR, DEH Eingabe: $rgb \rightarrow rgb^*_{de}$ setrgbcolor
Gesehener Y-Kontrast $Y_W:Y_N=88,9:40$; Y_N -Bereich 30 to <60 Ausgabe 130-11: $g_P=1.0$; $g_N=2.1$